



## ใบรับรองวิทยานิพนธ์ บัณฑิตวิทยาลัย มหาวิทยาลัยเกษตรศาสตร์

วิทยาศาสตร์ธรรมชาติ (วิทยาศาสตร์การประมง)

### ปริญญา

วิทยาศาสตร์การประมง

สาขา

ชีวิทยาประมง

ภาควิชา

เรื่อง การประเมินบทบาทของ *Noctiluca scintillans* (Macartney) Ehrenberg ต่อการใช้ชาต้อาหารในพื้นที่ปากแม่น้ำท่าจีน จังหวัดสมุทรสาคร

Assessment of *Noctiluca scintillans* (Macartney) Ehrenberg Role on Nutrient Uptake:  
A Case Study of Tha Chin Estuary, Samut Sakhon Province

นามผู้วิจัย นางสาววรรณศิริ ชั่นนิยม

ได้พิจารณาเห็นชอบโดย

อาจารย์ที่ปรึกษาวิทยานิพนธ์หลัก

( รองศาสตราจารย์จารุมาศ เมฆสัมพันธ์, Ph.D. )

อาจารย์ที่ปรึกษาวิทยานิพนธ์ร่วม

( รองศาสตราจารย์เชษฐ์พงษ์ เมฆสัมพันธ์, Ph.D. )

หัวหน้าภาควิชา

( รองศาสตราจารย์ย้อนค์ จิรภัทร์, Ph.D. )

บัณฑิตวิทยาลัย มหาวิทยาลัยเกษตรศาสตร์รับรองแล้ว

( รองศาสตราจารย์กัญจนा ชีระกุล, D.Agr. )

คณบดีบัณฑิตวิทยาลัย

วันที่ ..... เดือน ..... พ.ศ. ....

สิงหาคม ๒๕๖๗ มหาวิทยาลัยเกษตรศาสตร์

วิทยานิพนธ์

เรื่อง

การประเมินบทบาทของ *Noctiluca scintillans* (Macartney) Ehrenberg ต่อการใช้ชาต้อาหาร  
ในพื้นที่ปากแม่น้ำท่าจีน จังหวัดสมุทรสาคร

Assessment of *Noctiluca scintillans* (Macartney) Ehrenberg Role on Nutrient Uptake:

A Case Study of Tha Chin Estuary, Samut Sakhon Province

โดย

นางสาววรรณศิริ ชื่นนิยม

เสนอ

บัณฑิตวิทยาลัย มหาวิทยาลัยเกษตรศาสตร์

เพื่อความสมบูรณ์แห่งปริญญาวิทยาศาสตร์มหาบัณฑิต (วิทยาศาสตร์การประมง)

พ.ศ. 2555

วรรณคิริ ชื่นนิยม 2555: การประเมินบทบาทของ *Noctiluca scintillans* (Macartney) Ehrenberg ต่อการใช้ชาตุอาหารในพื้นที่ปากแม่น้ำท่าจีน จังหวัดสมุทรสาคร ปริญญา  
วิทยาศาสตร์มหาบัณฑิต (วิทยาศาสตร์การประมง) สาขาวิทยาศาสตร์การประมง ภาควิชา  
ชีววิทยาประมง อาจารย์ที่ปรึกษาวิทยานิพนธ์หลัก:  
รองศาสตราจารย์ฯ จารุมาศ เมฆสัมพันธ์, Ph.D. 137 หน้า

การศึกษาประชากร *Noctiluca scintillans* ในพื้นที่ปากแม่น้ำท่าจีน เพื่อติดตามรูปแบบ  
การแพร่กระจายของประชากรทั้งในเชิงปริมาณ (ความหนาแน่นของเซลล์) และคุณภาพ (ขนาด  
ของเซลล์) ในช่วงการเกิดปรากฏการณ์น้ำทะเลเปลี่ยนสี โดยเก็บตัวอย่างภาคสนาม ในระหว่าง  
เดือนพฤษภาคม-ธันวาคม 2552 รวม 3 ครั้ง เพื่อติดตามลักษณะการพัฒนาของประชากรในช่วง  
ฤดูกาลเดียวกัน และติดตามการเปลี่ยนแปลงตามฤดูกาลอีก 3 ครั้ง ในเดือนเมษายน สิงหาคม และ<sup>†</sup>  
พฤษภาคม 2553 ใน การศึกษากำหนดสถานีสำรวจ 30 สถานี ทำการตรวจวัดค่าคุณภาพน้ำทั่วไป  
ชาตุอาหาร และคลอโรฟิลล์ เอ ผลการศึกษาพบว่า *N. scintillans* มีความหนาแน่นสูงสุดถึง 72,333  
เซลล์ต่อลิตร โดยพบความหนาแน่นสูงในพื้นที่ตอนนอกของปากแม่น้ำ ซึ่งบริเวณดังกล่าวพบว่า  
ความหนาแน่นเซลล์และชาตุอาหารรูปไข่ในโตรเจนละลายน้ำมีความสัมพันธ์กันอย่างมีนัยสำคัญยิ่ง  
( $r=-0.28$ ,  $P<0.01$ ) ความหนาแน่นของเซลล์ซึ่งสัมพันธ์กับอัตราฟอสเฟต-ฟอสฟอรัส ( $r=-0.23$ ,  
 $P<0.05$ ) นอกจากนี้ ยังพบว่าสัดส่วนของเซลล์ขนาดเล็ก ( $< 300 \mu\text{m}$ ) มีความสัมพันธ์กับอัตราฟอสเฟต-ฟอสฟอรัส ( $r = 0.73$ ,  $P < 0.05$ ) อีกด้วย ผลดังกล่าวทำให้ทราบว่าชาตุอาหารมีบทบาทต่อ<sup>†</sup>  
การเพิ่มขึ้นของประชากรใหม่ของ *N. scintillans* ส่วนผลกระทบวิเคราะห์ระดับคลอโรฟิลล์ เอ ของ *N.  
scintillans* พ布ว่ามีค่าอยู่ระหว่าง 3.42-9.37 นาโนกรัมต่อเซลล์ ซึ่งเมื่อนำไปประเมินบทบาทของ  
*N. scintillans* ต่อการใช้ชาตุอาหารในรูปของไข่ในโตรเจนละลายน้ำและอัตราฟอสเฟตฟอสฟอรัส  
ในพื้นที่ปากแม่น้ำ พ布ว่ามีค่าสูงสุดในช่วงฤดูแล้ง เท่ากับร้อยละ 13.62 และ 21.30 ตามลำดับ โดย  
เขตพื้นที่ตอนนอกมีสัดส่วนการใช้ชาตุอาหารดังกล่าวสูงกว่าในเขตพื้นที่ตอน ผลการศึกษาใน  
ภาพรวมแสดงให้เห็นว่าอัตราฟอสเฟตฟอสฟอรัส เป็นชาตุอาหารที่สำคัญและมีบทบาทในการ  
ควบคุมการเกิดปรากฏการณ์น้ำเปลี่ยนสีจาก *N. scintillans* ได้ จึงควรให้ความสำคัญในการ  
ควบคุมปริมาณที่ปรากฏในพื้นที่ปากแม่น้ำอย่างต่อเนื่องต่อไป

Wansiri Chuenniyom 2012: Assessment of *Noctiluca scintillans* (Macartney) Ehrenberg Role on Nutrient Uptake: A Case Study of Tha Chin Estuary, Samut Sakhon Province. Master of Science (Fisheries Science), Major Field: Fisheries Science, Department of Fishery Biology. Thesis Advisor: Associate Professor Charumas Meksumpun, Ph.D. 137 pages.

Study on *Noctiluca scintillans* population in the Tha Chin Estuary was carried out based on objective to analyze distribution patterns in quantity (cell density) and quality (cell size) during the red tide incident. The 30 survey stations in the estuary were set and the samplings were done 3 times during November-December 2009 (for analysis on population development) and 3 times during April, August, and November 2010 (for analysis on seasonal variation). Water quality, nutrients, and chlorophyll *a* of ambient conditions were simultaneously examined. The results indicated that *N. scintillans* density was high in the outer area of the estuary. Cell density reached 72,333 cells/L and significantly related with dissolved inorganic nitrogen (DIN) ( $r=-0.28$ ,  $P<0.01$ ) and orthophosphate-phosphorous (P) ( $r=-0.23$ ,  $P<0.05$ ). In addition, a significantly relationship between the proportion of small cells ( $<300 \mu\text{m}$ ) and orthophosphate-phosphorus ( $r = 0.73$ ,  $P < 0.05$ ) was recognized. Thus, the DIN and P nutrients played an important role on *N. scintillans* population in this area. Chlorophyll *a* of *N. scintillans* cell ranged from 3.42-9.37 ng/cell. Analysis on roles of *N. scintillans* on DIN and P uptakes in the Tha Chin Estuary implied that the outer zone had higher uptake rates than the inner zone. The uptake rates of DIN and P were highest during dry season (13.62 and 21.30 %, respectively). The overall views of this study implied that P could play important role on *N. scintillans* situation and development in this estuarine area. Thus, the level of P should be monitored and controlled for further conservation of the water environment.

---

Student's signature

Thesis Advisor's signature

## กิตติกรรมประกาศ

เห็นอสิ่งอื่นใดของราบขอบพระคุณรองศาสตราจารย์ ดร. จาลูมาศ เมฆสัมพันธ์ อาจารย์ที่ปรีกษาวิทยานิพนธ์หลัก และรองศาสตราจารย์ ดร. เชษฐพงษ์ เมฆสัมพันธ์ อาจารย์ที่ปรีกษาวิทยานิพนธ์ร่วม ที่ท่านทั้งสองได้กรุณาให้ความรู้ คำแนะนำ และกำลังใจ ตลอดจนการเป็นแบบอย่างที่ดีให้ศิษย์ได้เรียนรู้และปฏิบัติตาม ทั้งในเชิงวิชาการและการดำเนินชีวิต และขอทราบของพระคุณรองศาสตราจารย์ ดร. กัจวัลย์ จันทร์โขต ผู้แทนบัณฑิตวิทยาลัย ที่ได้ให้ข้อคิดเห็นที่เป็นประโยชน์ในการวิจัย และขอทราบของพระคุณรองศาสตราจารย์ ดร. ไวยาภา เลิศวิทยาประเสริฐ ผู้ทรงคุณวุฒิที่ได้ให้คำแนะนำเพิ่มเติม และแก้ไขวิทยานิพนธ์เล่มนี้จนเสร็จสมบูรณ์ ข้าพเจ้าของราบขอบพระคุณท่านคณาจารย์ทุกท่านที่สั่งสอนศิษย์คนนี้ด้วยความรู้ ประสบการณ์ ความเชื่อ ความรักและศรัทธาในการให้

ขอขอบคุณ คุณภัทรารุษ ไทยพิชิตบูรพา คุณพิชาศิษฐ์ แสงเมฆ คุณนิตยา ฤทธิ์นิม พี่ชายและพี่สาว ห้องปฏิบัติการวิจัยคืนตะกอนและลิ่งแวงล้อมหาวิทยาลัย ภาควิชาชีววิทยาประมง ตลอดจนสมาชิกทุกคนในที่ปรีกษาของรองศาสตราจารย์ ดร. เชษฐพงษ์ เมฆสัมพันธ์ ภาควิชาชีววิทยาศาสตร์ทางทะเล ที่ให้คำแนะนำ ช่วยเหลือในการทำวิจัย ขอบคุณสำหรับความรัก ความอบอุ่น กำลังใจ และคุณเด่นองค์นี้อย่างดีเสมอมา ข้าพเจ้าดีใจและภูมิใจเสมอที่ได้มีโอกาสได้เข้ามาอยู่ในบ้านหลังสีเขียวที่อบอุ่นแห่งนี้ ขอบคุณใบไม้สีเขียวทุกใบ สายนำเย็นฟ้าทุกหยด ที่เย็นยิ่มและมอบความชุ่มเย็นในใจให้กับข้าพเจ้าตลอดมา

สุดท้ายนี้ ข้าพเจ้าต้องขอพระคุณแรงใจที่สำคัญ อันได้แก่ คุณพ่อ สุรพล และคุณแม่ ศรีนวล ชื่นนิยม ที่ได้มอบสิ่งที่มีค่าที่สุดคือชีวิต และเดียงดูดูกันนี้ด้วยความรักความอบอุ่น ขอบคุณน้องสุน่องสาวที่น่ารักเสมอ และเพื่อนกลุ่ม “ใบแกลูน” เพื่อน “มีนกร 56” รวมทั้งผู้ที่มีส่วนช่วยเหลือและให้กำลังใจทุกท่านที่ไม่ได้อยู่นานในที่นี้

วรรณศิริ ชื่นนิยม

พฤษภาคม 2555

(1)

## สารบัญ

หน้า

สารบัญ	(1)
สารบัญตาราง	(2)
สารบัญภาพ	(3)
คำนำ	1
วัตถุประสงค์	3
การตรวจเอกสาร	4
อุปกรณ์และวิธีการ	31
อุปกรณ์	31
วิธีการ	32
ผลและวิจารณ์	47
สรุปและข้อเสนอแนะ	117
สรุป	117
ข้อเสนอแนะ	118
เอกสารและสิ่งอ้างอิง	120
ภาคผนวก	131
ประวัติการศึกษาและการทำงาน	137

## สารบัญตาราง

ตารางที่	หน้า
1 อัตราการเติบโตและชีววิทยาของ <i>N. scintillans</i> ณ สภาพแวดล้อมในพื้นที่ต่าง ๆ	9
2 องค์ประกอบเคมีภัยในเซลล์ของ <i>Noctiluca scintillans</i>	12
3 การแพร่กระจายของ <i>Noctiluca scintillans</i> ที่สภาพแวดล้อมในพื้นที่ต่าง ๆ	22
4 ตำแหน่งและพิกัดสถานีเก็บตัวอย่างในพื้นที่ปากแม่น้ำท่าจีน	35
5 คุณภาพน้ำทั่วไปในพื้นที่ปากแม่น้ำท่าจีน	50
6 ขนาดเซลล์ของประชากร <i>Noctiluca scintillans</i> พื้นที่ปากแม่น้ำท่าจีน	89
7 โอกาสการใช้ชาต้อาหารของแพลงก์ตอนพืชทึ่งหมดและการใช้ชาต้อาหารโดยประชากร <i>Noctiluca scintillans</i> ในแต่ละช่วงฤดูกาล (Input ( $\mu\text{M}$ ): ระดับของชาต้อาหารที่เข้ามาในสถานีศึกษา; ไมโครโมลาร์, Uptake <sub>Pl</sub> (%): โอกาสการใช้ชาต้อาหารของแพลงก์ตอนพืชทึ่งหมด; ร้อยละ, Uptake <sub>Noc</sub> (%): โอกาสการใช้ชาต้อาหารโดยประชากร <i>Noctiluca scintillans</i> ; ร้อยละ)	115

## ตารางผนวกที่

1 ผลการวิเคราะห์ความสัมพันธ์ระหว่างปัจจัยลิ่งแวดล้อม และความหนาแน่นของเซลล์ <i>Noctiluca scintillans</i> ในพื้นที่ปากแม่น้ำท่าจีนในช่วงเดือนพฤษภาคม 2552-2553	134
---	-----

## สารบัญภาพ

ภาพที่	หน้า
1 โครงสร้างโดยทั่วไปของ <i>Noctiluca scintillans</i>	5
2 วงจรชีวิตของ <i>Noctiluca scintillans</i>	6
3 กระบวนการของไนโตรเจนใน <i>Noctiluca scintillans</i>	13
4 โครงสร้างโมเลกุลของคลอโรฟิลล์ เอ	25
5 ปริมาณน้ำท่าที่แหล่งแม่น้ำท่าจีน (ค่าเฉลี่ยในระหว่างปี 2543-2553)	33
6 สถานีเก็บตัวอย่างในพื้นที่ปากแม่น้ำท่าจีน จังหวัดสมุทรสาคร	34
7 การประเมินบทบาทของ <i>N. scintillans</i> ต่อการใช้อาหารในพื้นที่ปากแม่น้ำท่าจีน จังหวัดสมุทรสาคร	41
8 การแพร่กระจายของเซลล์ <i>Noctiluca scintillans</i> (เซลล์ต่อลิตร) ตามฤดูกาลปี 2552-2553	48
9 อุณหภูมิที่ระดับผิวน้ำ และระดับน้ำเหนือผิวดินตะกอน (องศาเซลเซียส) ในพื้นที่ปากแม่น้ำท่าจีนในช่วงฤดูหนาวปี 2552	52
10 การแพร่กระจายของความเค็ม (psu) ตามฤดูกาลปี 2552-2553 เดือนพฤษภาคม 2552 (a-b), เดือนเมษายน 2553 (c-d) เดือนสิงหาคม 2553 (e-f) เดือนพฤษภาคม 2553 (g-h)	54
11 ออกซิเจนละลายน้ำ (มิลลิกรัมต่อลิตร) ที่ระดับผิวน้ำ (ภาพบน) และพื้นท้องน้ำเหนือผิวดินตะกอน (ภาพล่าง) พื้นที่ปากแม่น้ำท่าจีนในปี 2552-2553	57
12 ความเป็นกรดเป็นด่างที่ระดับผิวน้ำ (ภาพบน) และพื้นท้องน้ำเหนือผิวดินตะกอน (ภาพล่าง) พื้นที่ปากแม่น้ำท่าจีนในปี 2552-2553	61
13 การแพร่กระจายของซิลิกेट-ซิลิคอน (ไมโครโอมาร์) ตามฤดูกาลปี 2552-2553 (เดือนพฤษภาคม 2552 (a-b) เดือนเมษายน 2553 (c-d) เดือนสิงหาคม 2553 (e-f) เดือนพฤษภาคม 2553 (g-h))	64

## สารบัญภาพ (ต่อ)

ภาพที่	หน้า
14 การแพร่กระจายของไนโตรเจนที่ละลายน้ำ ( <sup>15</sup> ไนโตร โนมาร์) ตามฤดูกาลปี 2552-2553 (เดือนพฤษจิกายน 2552 (a-b) เดือนเมษายน 2553 (c-d) เดือนสิงหาคม 2553 (e-f) เดือนพฤษจิกายน 2553 (g-h))	67
15 การแพร่กระจายของอร์โซฟอสเฟต-ฟอสฟอรัส ( <sup>15</sup> ไนโตร โนมาร์) ตามฤดูกาลปี 2552-2553 (เดือนพฤษจิกายน 2552 (a-b) เดือนเมษายน 2553 (c-d) เดือนสิงหาคม 2553 (e-f) เดือนพฤษจิกายน 2553 (g-h))	70
16 การแพร่กระจายของคลอโรฟิลล์ เอ ( <sup>15</sup> ไนโตรกรัมต่อลิตร) ตามฤดูกาลปี 2552-2553 (เดือนพฤษจิกายน 2552 (a-b) เดือนเมษายน 2553 (c-d) เดือนสิงหาคม 2553 (e-f) เดือนพฤษจิกายน 2553 (g-h))	72
17 การเปลี่ยนแปลงของความหนาแน่นเซลล์ของ <i>Noctiluca scintillans</i> (เซลล์ต่อลิตร) คลอโรฟิลล์ เอ ( <sup>15</sup> ไนโตรกรัมต่อลิตร) และชาตุอาหาร (ซิลิกेट-ซิลิกา ออร์โซฟอสเฟต- ฟอสฟอรัส และไนโตรเจนละลายน้ำ; <sup>15</sup> ไนโตร โนมาร์) ตามระดับความลึก (เมตร) ในสถานี TN19 และ TN26	78
18 ความสัมพันธ์ระหว่างความหนาแน่นเซลล์ (เซลล์ต่อลิตร) และชาตุอาหาร ในไนโตรเจน- ละลายน้ำ ( <sup>15</sup> ไนโตร โนมาร์) ในพื้นที่ปากแม่น้ำท่าจีนที่มีความเค็มปานกลาง (11.70-21.22 psu)	83
19 ความสัมพันธ์ระหว่างความหนาแน่นเซลล์ (เซลล์ต่อลิตร) และชาตุอาหาร ออร์- โซฟอสเฟต ฟอสฟอรัส ( <sup>15</sup> ไนโตร โนมาร์) ในพื้นที่ปากแม่น้ำท่าจีนที่มีความเค็ม ปานกลาง (11.70-21.22 psu)	83
20 ความสัมพันธ์ระหว่างความหนาแน่นเซลล์ (เซลล์ต่อลิตร) และชาตุอาหาร ในไนโตรเจน ละลายน้ำ ( <sup>15</sup> ไนโตร โนมาร์) ในพื้นที่ปากแม่น้ำท่าจีนที่มีความเค็มสูง (22.08-29.00 psu)	84

## สารบัญภาพ (ต่อ)

ภาพที่	หน้า
21 ความสัมพันธ์ระหว่างสัดส่วนเซลล์ขนาดเล็ก ( $< 300 \text{ ไมโครเมตร}$ ; เปรอร์เซ็นต์) และชาตุอาหารօร์โธฟอสเฟต-ฟอสฟอรัส ( $\text{ไมโครโมลาร์}$ ) ในพื้นที่ป่าแม่น้ำท่าจีนที่มีความเค็มสูง (ระหว่าง 22.08-29.00 psu)	84
22 การแพร่กระจายของเซลล์ <i>Noctiluca scintillans</i> (เซลล์ต่อลิตร) ในช่วงฤดูน้ำหลากรปี 2552 (ครั้งที่ 1 (0 วัน) เดือนพฤษภาคม 2552 (a-b) ครั้งที่ 2 (14 วัน) ต้นเดือนธันวาคม 2552 (c-d) และ ครั้งที่ 3 (28 วัน) กลางเดือนธันวาคม 2552 (e-f))	86
23 โครงการสร้างทางนาดของประชาชน <i>Noctiluca scintillans</i> ในพื้นที่ป่าแม่น้ำท่าจีนช่วงกลางฤดูน้ำหลากร 2552 (a-c: ครั้งที่ 1 (0 วัน) เดือนพฤษภาคม 2552 (a) ครั้งที่ 2 (14 วัน) ต้นเดือนธันวาคม 2552 (b) และ ครั้งที่ 3 (28 วัน) กลางเดือนธันวาคม 2552 (c)) ฤดูแล้ง 2553 (d) ต้นฤดูน้ำหลากร 2553 (e) และกลางฤดูน้ำหลากร 2553 (f))	90
24 อุณหภูมิ (องศาเซลเซียส) ที่ระดับผิวน้ำ (ภาพบน) และพื้นที่ท้องน้ำหนึ่นอผิวดินตะกอน (ภาพล่าง) ในพื้นที่ป่าแม่น้ำท่าจีนในช่วงกลางฤดูน้ำหลากรปี 2552	92
25 การแพร่กระจายของความเค็ม (psu) ในช่วงกลางฤดูน้ำหลากรปี 2552 (ครั้งที่ 1 (0 วัน) เดือนพฤษภาคม 2552 (a-b) ครั้งที่ 2 (14 วัน) ต้นเดือนธันวาคม 2552 (c-d) และ ครั้งที่ 3 (28 วัน) กลางเดือนธันวาคม 2552 (e-f))	94
26 ออกซิเจนละลายน้ำ (มิลลิกรัมต่อลิตร) ที่ระดับผิวน้ำ (ภาพบน) และพื้นที่ท้องน้ำหนึ่นอผิวดินตะกอน(ภาพล่าง) พื้นที่ป่าแม่น้ำท่าจีนในช่วงกลางฤดูน้ำหลากรปี 2552	96
27 ความเป็นกรดเป็นด่างที่ระดับผิวน้ำ (ภาพบน) และพื้นที่ท้องน้ำหนึ่นอผิวดินตะกอน (ภาพล่าง) พื้นที่ป่าแม่น้ำท่าจีนในช่วงกลางฤดูน้ำหลากรปี 2552	99
28 การแพร่กระจายของซิลิกेट-ซิลิคอน ( $\text{ไมโครโมลาร์}$ ) ในช่วงกลางฤดูน้ำหลากรปี 2552 (ครั้งที่ 1 (0 วัน) เดือนพฤษภาคม 2552 (a-b) ครั้งที่ 2 (14 วัน) ต้นเดือนธันวาคม 2552 (c-d) และ ครั้งที่ 3 (28 วัน) กลางเดือนธันวาคม 2552 (e-f))	100

## สารบัญภาพ (ต่อ)

ภาพที่	หน้า
29 การแพร่กระจายของไนโตรเจนที่ละลายน้ำ (ไนโตรามาร์) ในช่วงกลางฤดูน้ำหลาก 2552 (ครั้งที่ 1 (0 วัน) เดือนพฤษภาคม 2552 (a-b) ครั้งที่ 2 (14 วัน) ต้นเดือนธันวาคม 2552 (c-d) และ ครั้งที่ 3 (28 วัน) กลางเดือนธันวาคม 2552 (e-f))	102
30 การแพร่กระจายของออร์โธฟอสเฟต-ฟอสฟอรัสในช่วงกลางฤดูน้ำหลากปี 2552 (ครั้งที่ 1 (0 วัน) เดือนพฤษภาคม 2552 (a-b) ครั้งที่ 2 (14 วัน) ต้นเดือนธันวาคม 2552 (c-d) และ ครั้งที่ 3 (28 วัน) กลางเดือนธันวาคม 2552 (e-f))	104
31 การแพร่กระจายของคลอโรฟิลล์ เอ (ไนโตรกรัมต่อลิตร) ในช่วงกลางฤดูน้ำหลากปี 2552 ครั้งที่ 1 เดือนพฤษภาคม 2552 (a-b) ครั้งที่ 2 ต้นเดือนธันวาคม 2552 (c-d) ครั้งที่ 3 กลางเดือนธันวาคม 2552 (e-f)	106
32 Plots ระหว่างขนาดเซลล์ของ <i>Noctiluca scintillans</i> (ไนโตรเมตร; μm) และจำนวน <i>Pedinomonas noctilucae</i> ที่พบในแต่ละเซลล์ของ <i>Noctiluca</i> 1 เซลล์ (Cells/1 <i>Noctiluca</i> cell)	108
33 โอกาสการใช้ชาตุอาหารอาหาร (ร้อยละของระดับชาตุอาหารที่เข้ามา ณ สถานีศึกษา) (ในโตรเจนละลายน้ำ (a) ออร์โธฟอสเฟต-ฟอสฟอรัส (b) ซิลิกेट-ซิลิคอน (c)) ของประชากร <i>N. scintillans</i> ในช่วงฤดูแล้ง 2553	110
34 โอกาสการใช้ชาตุอาหาร อาหาร (ร้อยละของระดับชาตุอาหารที่เข้ามา ณ สถานีศึกษา) (ในโตรเจนละลายน้ำ (a) ออร์โธฟอสเฟต-ฟอสฟอรัส (b) ซิลิกेट-ซิลิคอน (c)) ของประชากร <i>N. scintillans</i> ในช่วงต้นฤดูน้ำหลาก 2553	112
35 โอกาสการใช้ชาตุอาหาร อาหาร (ร้อยละของระดับชาตุอาหารที่เข้ามา ณ สถานีศึกษา) (ในโตรเจนละลายน้ำ (a) ออร์โธฟอสเฟต-ฟอสฟอรัส (b) ซิลิกेट-ซิลิคอน (c)) ของประชากร <i>N. scintillans</i> ในช่วงกลางฤดูน้ำหลาก 2553	113

**การประเมินบทบาทของ *Noctiluca scintillans* (Macartney) Ehrenberg  
ต่อการใช้ชาตุอาหารในพื้นที่ปากแม่น้ำท่าจีน จังหวัดสมุทรสาคร**

**Assessment of *Noctiluca scintillans* (Macartney) Ehrenberg Role  
on Nutrient Uptake: A Case Study of Tha Chin Estuary,  
Samut Sakhon Province**

**คำนำ**

แม่น้ำท่าจีนถือว่าเป็นแม่น้ำสายสำคัญในพื้นที่ภาคกลางของไทยแม่น้ำเจ้าพระยาเนื่องจากเป็นสาขาที่แยกออกมาจากแม่น้ำเจ้าพระยา และไหลผ่านตั้งแต่จังหวัดชัยนาท สุพรรณบุรี นครปฐม และไหลลงสู่อ่าวไทยที่จังหวัดสมุทรสาคร แม่น้ำสายนี้มีการใช้ประโยชน์มากมายหลายด้านตลอดลำน้ำ ไม่ว่าจะเป็นในด้านเกษตรกรรม การอุปโภคบริโภค การเพาะเลี้ยงสัตว์น้ำ รวมถึงอุตสาหกรรม ซึ่งมีความสำคัญในแง่เศรษฐกิจ โดยรวมของประเทศไทย และยังประโยชน์ในการดำรงชีวิต การประกอบอาชีพของชุมชนตลอดลำน้ำ ผลพวงจากการขยายตัวทางด้านเศรษฐกิจสังคม ประชากร ทำให้การใช้ประโยชน์ในช่วงระยะเวลาที่ผ่านมาส่งผลกระทบต่อการเปลี่ยนแปลงสภาพแม่น้ำท่าจีนทั้งด้านกายภาพ เคมี และชีวภาพอย่างหลีกเลี่ยงไม่ได้ และจากข้อมูลการศึกษาวิจัยของหน่วยงานต่าง ๆ ปรากฏชัดว่าการใช้ประโยชน์ที่มีมากขึ้นของแม่น้ำท่าจีนนี้ ส่งผลให้ปริมาณชาตุอาหารบริเวณปากแม่น้ำท่าจีนอยู่ในระดับสูงมาก ทำให้จัดเป็น Hypertrophic waters (จารุมาศ และคณะ, 2552) ซึ่งปรากฏออกมานิรูปของค่าคลอโรฟิลล์ เอที่มีรายงานค่าสูงถึง 1,431 ไมโครกรัมต่อลิตร (Ritnim and Meksumpun, 2011) และเกิดการสะสมของแพลงก์ตอนพืชชนิดต่าง ๆ ตลอดทั้งปี ซึ่งชนิดที่พบว่ามีการสะสมอยู่ครั้ง ได้แก่ *Noctiluca scintillans*, *Ceratium furca*, *Skeletonema costatum* และ *Pseudo-nitzschia* spp. เป็นต้น

*Noctiluca scintillans* เป็นแพลงก์ตอนชนิดหลักที่ทำให้เกิดปรากฏการณ์น้ำทะเลเปลี่ยนสีบริเวณปากแม่น้ำท่าจีน สามารถพบแพร่กระจายได้ตลอดทั้งปี จึงทำให้ *N. scintillans* มีความสำคัญต่อระบบนิเวศปากแม่น้ำท่าจีน ในแง่ของการเป็นตัวถ่ายทอดชาตุอาหารจากระบบนิเวศให้เข้าสู่ห่วงโซ่และสายไหมอาหารบริเวณปากแม่น้ำท่าจีน ในเมืองนี้ โดยสมมุตว่าเป็นการนำชาตุอาหารไปใช้ในกระบวนการทางชีวภาพ ซึ่งเป็นกระบวนการหนึ่งที่ทำให้ชาตุอาหารเคลื่อนย้ายภายในมวลน้ำของ

ระบบนิเวศป่ากแม่น้ำท่าจีน นอกเหนือจากกระบวนการทางกายภาพและกระบวนการทางเคมี ที่ทำให้ชาต้อาหารหมุนเวียนในระบบนิเวศป่ากแม่น้ำท่าจีนแห่งนี้

การศึกษาครั้งนี้จึงมีวัตถุประสงค์เพื่อประเมินบทบาทของประชากร *N. scintillans* ต่อการใช้ชาต้อาหารในพื้นที่ป่ากแม่น้ำท่าจีน ทั้งนี้ เพื่อเป็นการบ่งชี้ถึงระดับการเปลี่ยนแปลงของชาต้อาหารในระบบนิเวศป่ากแม่น้ำท่าจีน ที่เป็นผลเนื่องมาจากการเปลี่ยนแปลงของชาต้อาหารในระบบ *N. scintillans* ในแต่ละฤดูกาล วิเคราะห์ระดับของ คลอโรฟิลล์ เอ รวมถึงประยุกต์ใช้ข้อมูลคลอโรฟิลล์ เอ และการแพร่กระจายของประชากร *N. scintillans* เพื่อประเมินบทบาทของ *N. scintillans* ที่มี ทั้งในเชิงเวลา และพื้นที่ในภาพรวมของป่ากแม่น้ำท่าจีน ต่อไป



## วัตถุประสงค์

1. เพื่อศึกษาการแพร่กระจายทางปริมาณและคุณภาพของ *Noctiluca scintillans* ที่เปลี่ยนแปลงตามเวลาในพื้นที่ปากแม่น้ำท่าจีน
2. เพื่อวิเคราะห์ระดับคลอโรฟิลล์ เอ ภายในเซลล์ของ *Noctiluca scintillans*
3. เพื่อประเมินบทบาทของ *Noctiluca scintillans* ต่อการใช้ชาตุอาหารในพื้นที่ปากแม่น้ำท่าจีน

## การตรวจเอกสาร

### 1. ชีววิทยาของ *Noctiluca scintillans*

#### 1.1 สักษณะทั่วไป

*Noctiluca scintillans* (Macartney) Ehrenberg จัดเป็นแพลงก์ตอนพืช ซึ่งมีการจัดจำแนกตามลำดับทางอนุกรมวิธานไว้ดังนี้

Division Chromophyta

Class Dinophyceae (Dinoflagellates)

Order Noctilucales Haeckel 1894

Family Noctilucaceae Kent 1881

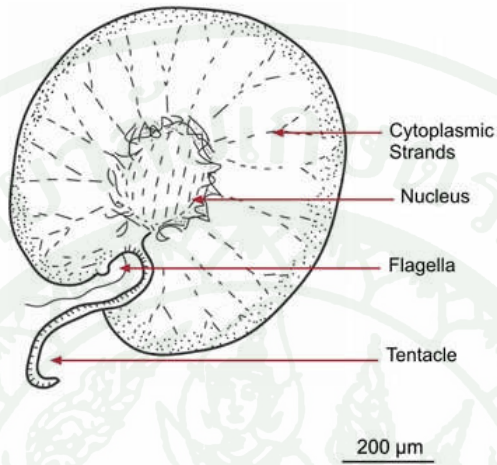
Genus *Noctiluca* Suriray 1836

*Noctiluca scintillans* (Macartney) Ehrenberg 1834

*Noctiluca scintillans* จัดอยู่ในกลุ่มไคโนไฟลอกเจลเลตที่ไม่มีเปลือกหุ้ม (unarmored dinoflagellates) ไม่สามารถสร้างอาหารเองได้ (heterotrophic species) เซลล์มีขนาดใหญ่ เส้นผ่าศูนย์กลาง 150-2,000 ไมโครเมตร เซลล์รูปไข่ใจน้ำนมขนาดใหญ่ มีแส้ (tentacle) 1 เส้น ขนาดใหญ่และยาว พัดใบกไปมาบริเวณใกล้กับ oral pouch และ distal end ไปจนถึง cytostome มีหนวด (flagella) 2 เส้น ซึ่งสั้นมาก และมองเห็นไม่ชัดเจนนัก ภายในเซลล์เต็มไปด้วยช่องว่าง เนื่องด้วยไซโตพลาซึม (cytoplasm) โดยส่วนใหญ่จะไม่มีสี พน food vacuole กระจายโดยทั่วไปในไซโตพลาซึม ภายในเซลล์มีหยดน้ำมันที่สะสมแสงได้ ไม่มีคลอโรพลาสต์ (chloroplast) นิวเคลียส (nucleus) มีขนาดใหญ่อยู่ใกล้กับ ventral groove กับ cytoplasmic stands และแผ่นขยายไปจนถึงผิวเซลล์ (Zingmark, 1970; Sweeney, 1976)

*N. scintillans* เป็นแพลงก์ตอนพืชที่ทำให้เกิดปรากฏการณ์น้ำเปลี่ยนสี แต่เป็นกลุ่มที่ไม่สร้างสารพิษ สามารถพบแพร่กระจายได้ดีในแหล่งน้ำเค็มบริเวณเขตชายฝั่งทั่วโลก (Elbrächter and Qi, 1998) เนื่องจากสามารถกินอาหารได้หลากหลาย ทั้งแพลงก์ตอนพืช แพลงก์ตอนสัตว์ขนาด

เล็กถึงขนาดกลาง รวมถึงไป่ของแพลงก์ตอนสัตว์เหล่านี้ด้วย (Enomoto, 1956; Prasad, 1958; Chen and Qi, 1991; Buskey, 1995)



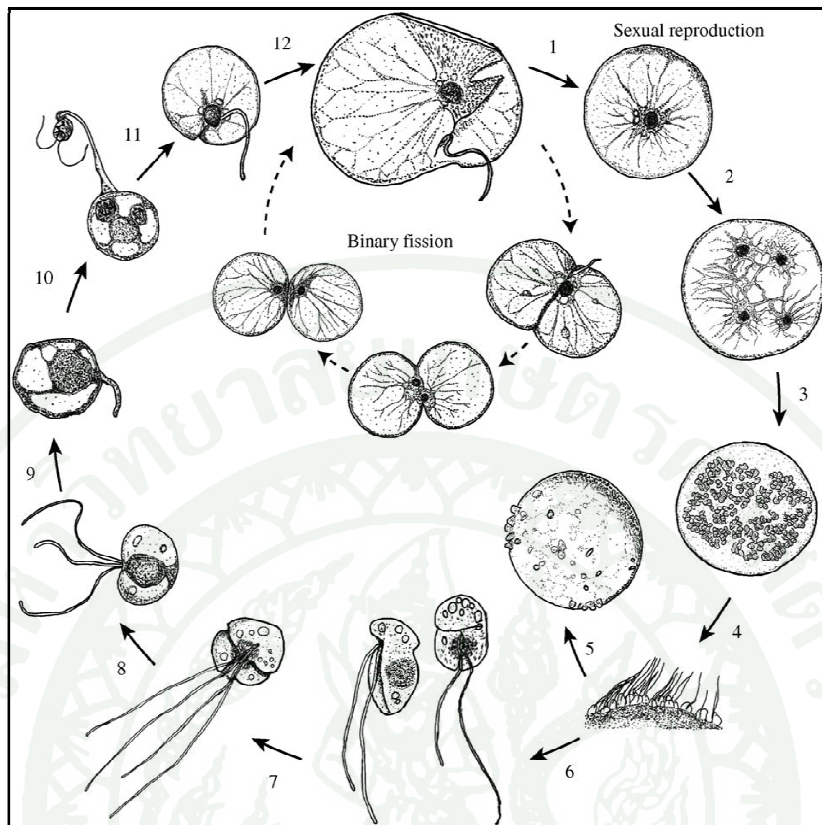
ภาพที่ 1 โครงสร้างโดยทั่วไปของ *Noctiluca scintillans*

ที่มา: Alfred Wegener Institute for Polar and Marine Research (2003)

ขนาดเซลล์สามารถใช้เป็นดัชนีชี้วัดสภาวะของ *N. scintillans* (Hanslik, 1987; Qi and Li, 1994; Buskey, 1995) โดยเซลล์ที่มีขนาดเล็ก (340-450 ไมโครเมตร) จะแสดงถึงพื้นที่ที่มีสภาวะช้าๆ อาหารที่คือกว่าเซลล์ขนาดใหญ่ (400-1,200 ไมโครเมตร) (Murray and Suthers, 1999; Dela-Cruz *et al.*, 2003) ดังนั้นเซลล์ขนาดเล็ก (270-380 ไมโครเมตร) ของ *N. scintillans* ที่เกิดการสาะพร่องจากการศึกษาในทะเลเดคนั้น สะท้อนถึงสถานภาพช้าๆ อาหาร ในแหล่งน้ำที่เหมาะสมสำหรับการเติบโตของ *N. scintillans*

## 1.2 วงจรชีวิต

Fukuda and Endoh (2006) ได้ทำการศึกษาวงจรชีวิตที่สมบูรณ์ของ *N. scintillans* ซึ่งประกอบด้วย การสืบพันธุ์แบบไม่ออาศัยเพศซึ่งเป็นแบบแบ่งเซลล์จากหนึ่งเป็นสอง (binary fission) และการสืบพันธุ์แบบอาศัยเพศ ดังนี้



ภาพที่ 2 วงจรชีวิตของ *Noctiluca scintillans*

ที่มา: Fukuda and Endoh (2006)

1. ช่วงการเปลี่ยนแปลงเริ่มต้นในการสร้างเซลล์สืบพันธุ์
2. นิวเคลียส (nucleus) แบ่งออกเป็น 2 นิวเคลียส ซึ่งการแบ่งในขั้นตอนนี้จะคล้ายกับการแบ่งแบบไโนโซไซต์ (meiosis division)
3. ช่วงก่อนระยะแคมีต จะมีการแบ่งเซลล์ที่ผิวนอก ได้จำนวนเซลล์ 256-1,024 เซลล์
4. ระยะแคมีต
5. parent cell จำลองตัวเองหลังจากปล่อย zoospores
6. ได้ isogametes ที่มีแส้ (flagella) 2 เส้น กือ longitudinal และ transverse groove
7. ระยะไซโกต (zygote) มีแส้ (flagella) 4 เส้น
8. ระยะ โทรฟอนท์ (trophont) จำนวนแส้ (flagella) เริ่มลดลง
9. ช่วงระยะการเปลี่ยนแปลงโครงสร้างภายในของเปลือก, หนวด (tentacle) และเริ่มสร้าง cytoplasmic network

10. tentacle สร้างสมบูรณ์และสามารถกินแบบ phagocytosis ได้แล้ว
11. เป็นขั้นตอนสุดท้ายของการเปลี่ยนแปลง จะได้ minuscule trophont
12. เซลล์เจริญมากขึ้นกลายเป็น trophont ซึ่งจะพบ transverse groove โดย transverse groove แสดงถึงลักษณะของไโดโนแฟลกเจลเลตที่คงไว้ในแกมีต แม้ว่าแสต๊ (flagellum) ทั้งสองเส้นจะไม่ได้เป็นลักษณะพิเศษของ trophont ก็ตาม (ภาพที่ 2)

### 1.3 อัตราการเติบโต

การเติบโตของ red *Noctiluca* ขึ้นอยู่กับอาหารและปัจจัยสิ่งแวดล้อมในบริเวณนั้น ซึ่งใน German Bight พบร่วมกันและอุณหภูมิในแต่ละฤดูกาลเป็นปัจจัยสำคัญที่ทำให้การเติบโตของ *N. scintillans* เพิ่มขึ้น นอกจากนี้ความเค็มยังมีความสำคัญต่ออัตราการเจริญพันธุ์ด้วย (Uhing and Sahling, 1990)

การศึกษาในห้องปฏิบัติการเกี่ยวกับการเติบโตของ red *Noctiluca* ที่เลี้ยงในอาหารชนิดต่าง ๆ ได้มีการศึกษาโดยนักวิจัยหลายท่าน (Buskey, 1995; Nakamura, 1998a; Tiselius and Kiosboe, 1998; Tada *et al.*, 2004; Umani *et al.*, 2004) ขณะที่การศึกษาการเติบโตของ green *Noctiluca* นั้นยังมีการศึกษาไม่มากนัก ดังแสดงในตารางที่ 1 Sweeney (1971) พบร่วมกับ green *Noctiluca* สามารถอยู่รอดจนกระทั่งมีการแบ่งเซลล์ ภายในได้สภาวะที่ไม่ให้อาหารได้อย่างน้อยหนึ่งเดือน พฤติกรรมของ green *Noctiluca* โดยทั่วไปจะคล้ายกับ red *Noctiluca* ซึ่ง endosymbiont จะอยู่ท่ามกลาง และจะตายในสภาวะที่ไม่มีแสง ทั้งอัตราการเติบโต (growth rate) และอัตราการกิน (ingestion rate) จะเพิ่มขึ้นเมื่อปริมาณอาหารที่ให้มากขึ้น และไม่มีความสัมพันธ์กับความเข้มแสง (Hansen *et al.*, 2004)

Saito *et al.* (2006) ได้ทำการทดสอบความสัมพันธ์ระหว่างการสังเคราะห์ด้วยแสงและความเข้มแสงพบว่า มีความเป็นไปได้อย่างมากว่า endosymbiont จะเป็นผู้ที่จัดหาสารอินทรีย์ให้กับ green *Noctiluca* ทำให้มันสามารถอยู่รอดได้ในสภาวะที่ไม่มีอาหาร

อัตราการเติบโตในธรรมชาติของ green *Noctiluca* มีค่าเท่ากับ 0.16 ชั่วโมง เป็นผลการศึกษาจากบริเวณอ่าวมานิลา ประเทศฟิลิปปินส์ (Furuya *et al.*, 2006) โดยการหาอัตราการเติบโต ในห้องปฏิบัติการพบว่า ขึ้นอยู่กับปัจจัยด้านอาหารที่ให้ในการทดลอง โดยมีอัตราการ

เติบโตในห้องปฏิบัติการระหว่าง 0.05-0.33 สำหรับอัตราการเติบโตของ red *Noctiluca* นั้นพบว่ามีอัตราการเติบโตที่สูงกว่าใน green *Noctiluca* และมีความผันแปรในพื้นที่ต่าง ๆ สูง จากการศึกษาในหลายพื้นที่ ซึ่งพบว่ามีค่าอยู่ระหว่าง 0.01-0.72 ดังตารางที่ 1

## 2. องค์ประกอบภายในเซลล์ของ *Noctiluca scintillans*

### 2.1 องค์ประกอบเคมีภายในเซลล์

Tada *et al.* (2000) ได้ทำการศึกษาการรับอนและไนโตรเจนที่เป็นองค์ประกอบของเซลล์ *N. scintillans* ในบริเวณ Seto Inland Sea ประเทศญี่ปุ่น พบว่า จากตัวอย่างในธรรมชาติส่วนประกอบการรับอน ของ *N. scintillans* มีปริมาณอยู่ในช่วง 123-627 นาโนกรัมการรับอนต่อเซลล์ มีค่าเฉลี่ยเท่ากับ 353 นาโนกรัมการรับอนต่อเซลล์ หรือ  $1.12\text{-}2.67 \text{ fg C } \mu\text{m}^{-3}$  โดยมีค่าเฉลี่ยเท่ากับ  $1.98 \text{ fg C } \mu\text{m}^{-3}$  ส่วนประกอบของไนโตรเจนอยู่ระหว่าง 36-232 นาโนกรัม ไนโตรเจนต่อเซลล์ ค่าเฉลี่ยเท่ากับ 131 นาโนกรัม ไนโตรเจนต่อเซลล์ หรือ  $0.499\text{-}0.910 \text{ fg N } \mu\text{m}^{-3}$  โดยมีค่าเฉลี่ยเท่ากับ  $0.694 \text{ fg N } \mu\text{m}^{-3}$  เมื่อปริมาตรเซลล์เพิ่มขึ้น เซลล์การรับอนและไนโตรเจนทั้งหมดจะเพิ่มขึ้นด้วย แต่การรับอนและไนโตรเจนต่อปริมาตรเซลล์กลับมีแนวโน้มลดลง อัตราส่วนระหว่างไนโตรเจนและไนโตรเจนของเซลล์อยู่ในช่วง 2.3-4.4 ซึ่งค่อนข้างต่ำเมื่อเปรียบเทียบกับอัตราส่วนของ Redfield ปริมาณการรับอนและไนโตรเจนในเซลล์ที่ไม่ได้ให้อาหารจะมีปริมาณต่ำมาก ( $91.2 \text{ ng C cell}^{-1}$  และ  $41.8 \text{ ng N cell}^{-1}$  ตามลำดับ) ขณะที่ปริมาณการรับอนและไนโตรเจนสูงมาก ( $528 \text{ ng C cell}^{-1}$  และ  $205 \text{ ng N cell}^{-1}$  ตามลำดับ) ในเซลล์ที่ให้กินได้จะมีปริมาณต่ำ ( $2.3 \times 10^{-3} \text{ pg C } \mu\text{m}^{-3}$  และ  $4.1 \times 10^{-4} \text{ pg N } \mu\text{m}^{-3}$  ตามลำดับ) ซึ่งแสดงว่าปริมาณการรับอนและไนโตรเจนของ *N. scintillans* แปรผันตามลักษณะทางกายภาพของสิ่งแวดล้อมและอาหารที่กิน

Nakamura (1998a) ทำการศึกษาส่วนประกอบของการรับอนและไนโตรเจน การเติบโตรวมถึงลักษณะการกินของ *N. scintillans* พบว่ามีส่วนประกอบของ การรับอนและไนโตรเจน ต่อปริมาตรเซลล์ของ *N. scintillans* เท่ากับ  $2.3 \times 10^{-3} \text{ pg C } \mu\text{m}^{-3}$  และ  $4.1 \times 10^{-4} \text{ pg N } \mu\text{m}^{-3}$  ตามลำดับ ซึ่งมีค่าต่ำกว่าที่มีรายงานใน protozoa อื่น ๆ เช่น Ciliates และกลุ่ม Dinoflagellate ที่เป็นพวก heterotrophic species ในเขตต้อนเนื่องจากในเซลล์ของ *N. scintillans* มีแวดวงโอลกระหายอยู่จำนวนมาก

ตารางที่ 1 อัตราการเติบโตและชีววิทยาของ *N. scintillans* ณ สถานะแวดล้อมในพื้นที่ต่าง ๆ

Area	Cell density (cells/L)	Cell size (μm)	Growth rate (day <sup>-1</sup> )	Temperature (C)	Salinity (psu)	Irradiance (μmol m <sup>-2</sup> s <sup>-1</sup> )	Chlorophyll <i>a</i> (μg/L)	Reference
<b>Red Noctiluca</b>								
German Bight			0.3-0.8					Hanslik (1987)
	25-135		0.01-0.2		22-24			Uhlig and Sahling (1995)
USA	345-529	0.05-0.52	20					Buskey (1995)
		0.08-0.31	19±1					Kirchner <i>et al.</i> (1999)
		0.25-0.99						
	302		12		30			Menden-Deuer and Lessard (2000)
Seto Inland Sea		0.28-0.42						Lee and Hirayama (1992)
		0.03-0.81	5-28	17-34				Nakamura (1998a)
>100	432-475		24	32	150 (12:12)			Nakamura (1998b)
1-345	80-660	0.04-0.28	24-25.5			1.8-11.7		Pithakpol <i>et al.</i> (2000)
0-12.6x10 <sup>3</sup>								Tada <i>et al.</i> (2000)
	48-908							Tada <i>et al.</i> (2004)

ตารางที่ 1 (ต่อ)

Area	Cell density (cells/L)	Cell size (μm)	Growth rate (day <sup>-1</sup> )	Temperature (C)	Salinity (psu)	Irradiance (μmol m <sup>-2</sup> s <sup>-1</sup> )	Chlorophyll <i>a</i> (μg/L)	Reference
Sagami Bay	<100		-0.22-0.65	10-25	30-33		0.353-5.0	Miyaguchi <i>et al.</i> (2006)
	$6.1 \times 10^5$			15.2-17.8	34.9-35.3		1.5-2.4	
				18.22.8	32-35.5		0.4-1.5	
				14.2-24.2	28.0-36.5		<1-2.9	
Benguela,Africa	500-1000		0.04-0.72		35.1-35.5			Tiselius and Kiorboe (1998)
North Adriatic Sea			0.20±0.04	10				Umani <i>et al.</i> (2004)
USA		1300		19±1				Jakobsen and Tang (2002)
<b>Green <i>Noctiluca</i></b>	51.3-		0.16(in situ)	27.5-28.8	27.5-28.8	32.1-33.6		Furuya <i>et al.</i> (2006)
Manila Bay	$1004 \times 10^6$							Hansen <i>et al.</i> (2004)
			0.058-0.14	26	36	45-300		
			0.09-0.24					
			(ให้อาหาร)					
								Saito <i>et al.</i> (2006)
			0.33	26	28	150		
			(ให้อาหาร)					
			0.21					
			(ให้อาหาร)					

ตารางที่ 1 (ต่อ)

Area	Cell density (cells/L)	Cell size (μm)	Growth rate (day <sup>-1</sup> )	Temperature (C)	Salinity (psu)	Irradiance (μmol m <sup>-2</sup> s <sup>-1</sup> )	Chlorophyll <i>a</i> (μg/L)	Reference
Gulf of Thailand		302-325	0.07-0.24			80-500	0.5-0.22 fg μm <sup>-3</sup>	Sriwoon (2006)

ตารางที่ 2 องค์ประกอบเคมีภายในเซลล์ของ *Noctiluca scintillans*

Area	Carbon (fg C/ $\mu\text{m}^3$ )	Nitrogen (fg N/ $\mu\text{m}^3$ )	$\text{C}^{14}$ uptake (ng C/cell/h)	Reference
<b>Red <i>Noctiluca</i></b>	0.003	ND		Menden-Deuer and Lessard
USA	Pg C/ $\mu\text{m}^3$			(2000)
Seto Inland Sea	4.6-5.9			Lee and Hirayama (1992)
	$2.3 \times 10^{12}$			Nakamura (1998a)
	0.499-0.910			Tada <i>et al.</i> (2000)
	1.12-2.67			Tada <i>et al.</i> (2004)
<b>Green <i>Noctiluca</i></b>	0.55-522			Furuya <i>et al.</i> (2006)
Manila Bay	410 ng/cell	101		Hensen <i>et al.</i> (2004)
	6.20-7.99	0.71-1.15		Sriwoon (2006)

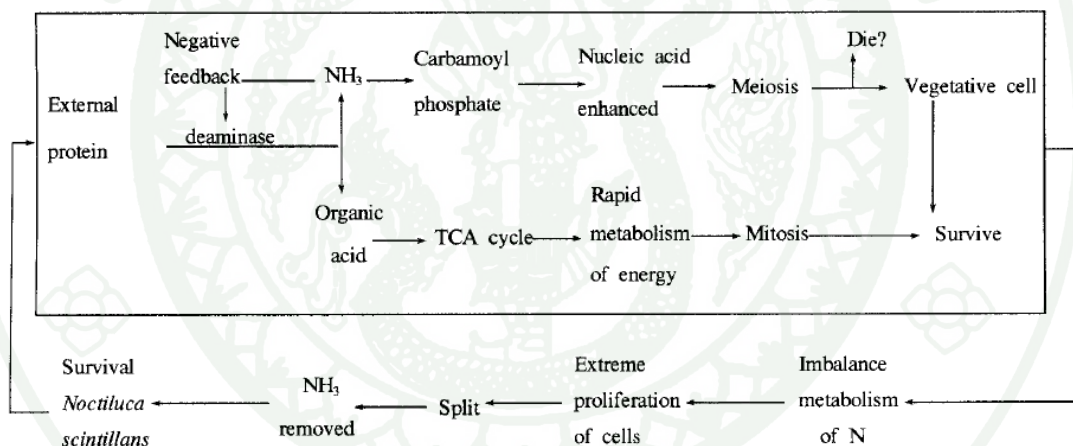
## 2.2 ชาตุอาหารภายในเซลล์

Okaichi and Nishio (1976) พบว่า ภายในเซลล์ *N. miliaris* (ชนิดเดียวกับ *N. scintillans*) มีแอมโมเนียมประมาณ 6.6-68.9 นาโนกรัมแอมโมเนียม-ในโตรเจนต่อกรัม ซึ่งส่งผลให้ในแหล่งน้ำที่มีการสะสมของ *N. miliaris* มีความเป็นพิษจากแอมโมเนียม ซึ่งการศึกษาต่อมากพบว่าในเซลล์ของ green *Noctiluca* ประกอบด้วยแอมโมเนียม-ในโตรเจน เท่ากับ 0.3-0.5 มิลลิโมลต่อกรัมน้ำหนักแห้ง เมื่อเปรียบเทียบกับ red *Noctiluca* จะพบว่ามีแอมโมเนียม-ในโตรเจน ประมาณ 0.5-4.9 มิลลิโมลต่อกรัมน้ำหนักแห้ง (Okaichi *et al.*, 1991) ซึ่งการที่แอมโมเนียม-ในโตรเจนใน red *Noctiluca* มีค่าสูงกว่านั้น น่าจะเป็นผลมาจากการ ammonification ของการได้รับโปรตีนจากการกินแบบ phagocytosis ซึ่งออกซิไซด์คาร์บอนได้ออกไซด์พลังงาน ส่วนใน green *Noctiluca* อาจมีปริมาณสารสูงได้โดยการกินแบบ phagocytosis แต่จะถูกจำกัดจาก endosymbiont ภายใน green *Noctiluca* ที่ใช้แอมโมเนียม-ในโตรเจนเป็นแหล่งในโตรเจน เพื่อสังเคราะห์กรดอะมิโนที่ใช้ในการเจริญเติบโต

Montani *et al.* (1998) พบว่าภายในเซลล์ *N. scintillans* จะมีแอมโมเนียม-ในโตรเจน พอสเฟต-ฟอสฟอรัส และซิลิกेट-ซิลิคอน ประมาณ 2470, 183 และ 54 พิโคโมลต่อเซลล์ ตามลำดับ

ความเข้มข้นของแอมโมเนียม-ในไนโตรเจน และฟอสเฟต-ฟอสฟอรัส ที่ผิวน้ำสัมพันธ์กับการแพร่กระจายของเซลล์ *N. scintillans* Okaichi et al. (1991) พบว่าฟอสเฟต-ฟอสฟอรัส ภายในเซลล์ของ green *Noctiluca* เท่ากับในเซลล์ของ red *Noctiluca* แต่แอมโมเนียม-ในไนโตรเจน ในเซลล์ของ green *Noctiluca* มีค่าต่ำกว่า red *Noctiluca* ซึ่งปริมาณแอมโมเนียม-ในไนโตรเจน อาจใช้เป็นตัวชี้วัดหรือสาเหตุของการใช้ชาต้อาหารของ *Pedinomonas noctilucae* และ *Pedinomonas noctilucae* น่าจะเป็นตัวหลักในการใช้แอมโมเนียม-ในไนโตรเจน และฟอสเฟต-ฟอสฟอรัส

Zhou and Wu (1999) ได้ทำการศึกษาการเกิดปรากฏการณ์น้ำทะเลเปลี่ยนสีของแพลงก์ตอนพืชในกลุ่มไนโตรเจนและทราบถึงสารพิษที่เกิดขึ้นด้วย โดยในการศึกษานี้ Zhou and Wu ได้เสนอกระบวนการของไนโตรเจนที่ควบคุมลักษณะทางด้านสรีรวิทยาของ *N. scintillans* ซึ่งอาจจะสามารถสร้างเป็นทฤษฎีเพื่อใช้ในระดับโมเลกุล ดังภาพที่ 3



ภาพที่ 3 กระบวนการของไนโตรเจนใน *Noctiluca scintillans*

ที่มา: Zhou and Wu (1999)

### 3. พฤติกรรมของ *Noctiluca scintillans*

#### 3.1 ภาวะอาศัยร่วม

ภายในเซลล์ *N. scintillans* จะพบว่ามีสาหร่ายสีเขียวขนาดเล็ก อาศัยอยู่ร่วมด้วยภายในแวดวงไซโอลของเซลล์ ทำให้เมื่อมองจากภายนอกจะเห็นเซลล์ของ *N. scintillans* เป็นเม็ดสีเขียวอ่อน ซึ่ง Sweeney (1971) รายงานว่า เป็นสาหร่ายสกุล *Pedinomonas noctilucae* จัดอยู่ใน Division Chlorophyta Class Prasinophyceae ดำรงชีวิตอยู่ในลักษณะ green symbiont ของ *N. scintillans* โดยเซลล์มีรูปร่างรี ลำตัวแบนทางด้านหลังและด้านห้อง ขนาดลำตัวยาว 4.5 ไมโครเมตร หนา 2 ไมโครเมตร มีแส้ 1 เส้น ยาว 6 ไมโครเมตร อยู่ทางด้านหัวของเซลล์ ที่ผิวด้านนอกมีขนบาง ๆ ขนาดเล็ก มีคอนแทคต์ไซโอล (contractile vacuole) อยู่ใกล้กับฐานแส้ มีคลอโรพลาสต์ 1 อัน พบไฟรินอยด์ที่มีเป็นลักษณะ ไข่ฟิชชัน (binary fission) และลักษณะแบบอาชัยเพศโดยการรวมกันของเซลล์ 2 เซลล์ได้เป็นไซโอกต

โดยพบว่า *P. noctilucae* จะอยู่ภายในเซลล์ของ *N. scintillans* เท่านั้นและจะไม่พบในน้ำทะเล เนื่องจากมีความสามารถดูดซึกระบบ pH 4.5-5.0 จึงไม่สามารถมีชีวิตอยู่ในน้ำทะเลได้ (Okaichi *et al.*, 1991) มีความหนาแน่นของ *P. noctilucae* ประมาณ 6,000-10,000 เซลล์ต่อ *N. scintillans* หนึ่งเซลล์ ซึ่งปริมาตรเซลล์ของ *N. scintillans* โดยส่วนใหญ่มีค่าระหว่าง  $30-80 \times 10^6$  ลูกบาศก์ไมโครเมตร จะพบว่ามี *P. noctilucae* มีความหนาแน่นประมาณ 4,500-7,500 เซลล์ต่อ *N. scintillans* หนึ่งเซลล์ และไม่พบแนวโน้มความสัมพันธ์ระหว่างปริมาณ *P. noctilucae* กับปริมาตรเซลล์ของ *N. scintillans* (ไทยดาวร และคณะ, 2548) แต่จากการศึกษาของ Sriwoon (2006) พบว่า ปริมาณ endosymbiont มีความสัมพันธ์เชิงเส้นแบบพกผันกับปริมาตรเซลล์ *N. scintillans* ( $R=0.86$ ,  $p<0.05$ )

Furuya and Lirdwitayaprasit (2000) พบว่า องค์ประกอบของสารสีใน *P. noctilucae* ประกอบด้วย neoxanthin, antheraxanthin, violaxanthin, zeaxanthin, lutein, chlorophyll a และ β-carotene ซึ่งใช้ในการกระบวนการสังเคราะห์ด้วยแสง

โดยปกติ *N. scintillans* จะมีรูปแบบทางโภชนาการเป็นการกินแพลงก์ตอนชนิดอื่นที่มีขนาดเล็กกว่าหรือดูดซึมสารอินทรีย์จากน้ำทะเลไปใช้โดยตรง (Lee, 1980) แต่เมื่อเซลล์อยู่ในสภาพว่างขาดแคลนอาหาร (starvation) จะพบว่า *N. scintillans* จะย่อย *P. noctilucae* ภายในเซลล์ของมันเพื่อใช้เป็นอาหาร และเมื่อปริมาณของ *P. noctilucae* ภายในเซลล์ *N. scintillans* ลดลงหรือหมดไปจะทำให้ *N. scintillans* มีสีที่ซีดลงจนกลายเป็นสีชมพูอ่อนและอาจตายลงได้ และเมื่อความสัมพันธ์ดังกล่าวนี้อยู่ภายใต้สภาวะที่มีแสง *P. noctilucae* จะทำหน้าที่ในการสังเคราะห์ด้วยแสงและส่งสารตัวกลางรวมถึงผลผลิตที่ได้ให้แก่เซลล์ของ *N. scintillans* แต่ในนานน้ำべาหนาว (temperate zone) จะไม่พบความสัมพันธ์แบบอาศัยร่วมของ *P. noctilucae* และ *N. scintillans* ทำให้เห็นเซลล์ของ *N. scintillans* เป็นสีชมพูอ่อนอมแดงหรือสีขาวขุ่นและพบว่าจะไม่มี *P. noctilucae* ที่มีความสัมพันธ์แบบภาวะอาศัยร่วมอยู่ภายใต้เซลล์ของ *N. scintillans*

### 3.2 การกินอาหาร

Food vacuoles ของ *N. scintillans* พบว่ามีสาหร่ายขนาดเล็กที่สร้างสารพิษ ได้แก่สกุล *Dinophysis* และ *Pseudo-nitzschia* อยู่ภายใน ซึ่ง *N. scintillans* ซึ่งอาจมีบทบาทสำคัญในการเปลี่ยนแปลงพลวัตรประชากรของสาหร่ายที่สร้างสารพิษนี้ขณะที่ *N. scintillans* สะพรั่งได้ และอาจเป็นพาหะของพิษจากสาหร่ายไปยังสั่งมีชีวิตที่มีลำดับการกินที่สูงกว่า ซึ่งอาจทำให้ผลกระทบที่เกิดจาก *N. scintillans* บริเวณแหล่งอาศัยของสัตว์น้ำที่มีเปลือก และบริเวณแหล่งเพาะเลี้ยงสัตว์น้ำอาจมีเพิ่มขึ้นเซลล์เหล่านี้ได้กินสาหร่ายที่มีพิษ (Escalera *et al.*, 2007)

Buskey (1995) ได้ทำการศึกษาความเข้มข้นและคุณภาพของอาหารที่มีผลต่ออัตราการเจริญเติบโตและศักยภาพในการเกิด bioluminescence ของ *N. scintillans* พบว่า อาหารที่อยู่ในกลุ่ม diatom และ prasinophytes สนับสนุนทำให้ *N. scintillans* มีอัตราการเติบโตสูงสุด ซึ่งมีค่าเท่ากับ 0.5 ต่อวัน Nakamura (1998a) พบว่า เหยื่อที่มีขนาดเส้นผ่าศูนย์กลางมากกว่า 10 ไมโครเมตร จะเป็นอาหารที่ดีของ *N. scintillans* แต่ชนิดที่มีขนาดน้อยกว่า 5 ไมโครเมตร จะไม่อืดต่อการเติบโตของ *N. scintillans*

Nakamura (1998b) ทำการศึกษาความชุกชุม และมวลชีวภาพของ *N. scintillans* ที่เปลี่ยนแปลงจากศักยภาพในการเลือกเหยื่อเพื่อเป็นอาหารใน Seto Inland Sea ประเทศญี่ปุ่นในฤดูร้อนปี 1977 (17 ก.ค.-11 ส.ค.) พบว่าความชุกชุมและมวลชีวภาพที่ระดับความลึก 19 เมตร มีค่าอยู่

ในช่วง 1-345 เซลล์ต่อลิตร (ค่าเฉลี่ยของพื้นที่ เท่ากับ 93 เซลล์ต่อลิตร) และ 0.1-49.6 ไมโครกรัม คาร์บอนต่อลิตร (ค่าเฉลี่ยของพื้นที่ เท่ากับ 13.8 ไมโครกรัมคาร์บอนต่อลิตร) ตามลำดับ โดยประชากร *N. scintillans* มีการเปลี่ยนแปลงตามปริมาณแพลงก์ตอนพืช โดยมีมวลชีวภาพเพิ่มขึ้น และอัตราการเติบโตสูงสุดในช่วงที่มีการสะพรั่งของกลุ่ม ไดอะatom มีผลผลิตเฉลี่ยน้อยกว่า 0.1-5.2 ไมโครกรัมคาร์บอนต่อลิตรต่อวัน (ค่าเฉลี่ยของพื้นที่ เท่ากับ 1.4 ไมโครกรัมคาร์บอนต่อลิตรต่อวัน) คิดเป็นร้อยละ 64 ของผลผลิต Calanoid copepod ในฤดูเดียวกัน ส่วนอัตราการหายไปของกลุ่ม ไดอะatom จากการกินของ *N. scintillans* มีค่าอยู่ในช่วง 0.10-0.35 มิลลิลิตรต่อเซลล์ต่อวัน และประชากรแพลงก์ตอนพืชหายไปเนื่องจากการกินของ *N. scintillans* น้อยกว่าร้อยละ 12 ต่อวัน ซึ่งการกินของ *N. scintillans* ส่งผลให้ปริมาณแพลงก์ตอนพืชลดลง แต่นั้นก็มีบทบาทสำคัญในด้านมวลชีวภาพและการผลิตของ Seto Inland Sea ในช่วงฤดูร้อน

#### 4. ปัจจัยสิ่งแวดล้อมต่อการแพร่กระจายของ *Noctiluca scintillans*

การศึกษาเกี่ยวกับการแพร่กระจายของ *N. scintillans* ซึ่งสัมพันธ์กับปัจจัยสิ่งแวดล้อมนั้น พบว่า โดยส่วนใหญ่จะเน้นทำการศึกษาใน red *Noctiluca* ส่วน green *Noctiluca* นั้นมีการศึกษาค่อนข้างน้อย แต่จากการศึกษาที่ผ่านมาจะเห็นว่าปัจจัยสิ่งแวดล้อมน่าจะมีผลต่อการแพร่กระจายทั้งทางด้านเวลาและพื้นที่ รวมทั้งการเกิดการสะพรั่งของชนิดนี้ด้วยเช่นกัน โดย Miyaguchi *et al.* (2006) ศึกษาความสัมพันธ์ระหว่างการสะพรั่งของ *N. scintillans* กับปัจจัยสิ่งแวดล้อมพบว่ารูปแบบการสะพรั่งมีกระบวนการ 3 ขั้นตอน ดังนี้ 1) การเพิ่มขึ้นของเซลล์ในระยะเริ่มต้น โดย *N. scintillans* จะมีความชุกชุมเพิ่มขึ้นพร้อม ๆ กับการเพิ่มของปัจจัยทางอุทกวิทยาและชีววิทยาที่เข้าสู่ภาวะที่เหมาะสม โดยปัจจัยเหล่านี้ ได้แก่ อุณหภูมิ ความเค็ม และปริมาณคลอโรฟิลล์ เอ 2) ปริมาณของ *N. scintillans* จะเพิ่มขึ้นในน้ำทะเลด้วยปัจจัยด้านปริมาณฟอนและความเร็วลมที่ลดต่ำลง 3) ปรากฏการณ์ swarmer-effect เป็นปัจจัยที่เพิ่มระดับการสะพรั่ง และปัจจัยสิ่งแวดล้อมต่าง ๆ เป็นตัวกำหนดการเติบโตของประชากร *N. scintillans* ซึ่งปัจจัยเหล่านี้มีความแตกต่างกันซึ่งปัจจัยที่มีอิทธิพลที่มีการศึกษาไว้มีดังนี้

#### 4.1 ลุมมรสุ่ม

อ่าวไทยตอนบนมีลักษณะเป็นอ่าวกึ่งปิด มีการไหลเวียนของมวลน้ำค่อนข้างต่ำ และมีปริมาณของชาตุอาหารสูง เนื่องมาจากได้รับมวลน้ำและชาตุอาหารจากแม่น้ำสายหลัก 4 สายด้วยกัน คือ แม่น้ำแม่กลอง แม่น้ำเจ้าพระยา แม่น้ำท่าจีน และแม่น้ำบางปะกง สภาพแวดล้อมดังกล่าวมีอิทธิพลหลักเนื่องมาจากลมมรสุม โดยในช่วงเดือนพฤษภาคม-ตุลาคม จะเป็นช่วงที่มีลมมรสุม ตะวันตกเฉียงใต้พัดผ่านอ่าวไทย ส่วนลมมรสุมตะวันออกเฉียงเหนือจะอยู่ในช่วงเดือนพฤษจิกายน-กุมภาพันธ์

Sriwoon (2006) ได้ทำการศึกษาการแพร่กระจายของ *N. scintillans* ในอ่าวไทยตอนบน บริเวณอ่างศิลา พบว่าในฤดูมรสุมตะวันตกเฉียงใต้ (พ.ค.-ต.ค.) พบรเชลล์มีความหนาแน่นมากกว่า 10 เชลล์ต่อลิตร ซึ่งเชลล์มีขนาดเล็ก endosymbiont มีความหนาแน่นสูง และแสดงพฤติกรรมในการกินอาหาร มีการสืบพันธุ์แบบอาศัยเพศ พบรความสัมพันธ์เชิงบวกระหว่างปริมาณชาตุอาหาร แอมโมเนียม-ในไตรเจน ในไตรท์และในเตρท-ในไตรเจน ซิลิกेट-ซิลิคอนและฟอสเฟต-ฟอสฟอรัส และปริมาณคลอโรฟิลล์ เอ กับปริมาณเชลล์ *N. scintillans* ส่วนในฤดูมรสุม ตะวันออกเฉียงเหนือ (พ.ย.-ก.พ.) พบรเชลล์มีความหนาแน่นน้อยกว่า 10 เชลล์ต่อลิตร ปริมาณอาหาร ในธรรมชาติน้อย แต่สามารถดำรงชีวิตได้เนื่องจากได้รับสารอินทรีย์จาก *P. noctilucae* ซึ่งใช้แอมโมเนียม-ในไตรเจนภายในเชลล์ของ *N. scintillans*

#### 4.2 แสง

จากการศึกษาของ Sweeney (1971) พบว่า green *Noctiluca* สามารถดำรงชีวิตอยู่ในบริเวณที่มีแสงจันทรารถแบ่งเชลล์ได้อย่างน้อยหนึ่งเดือน โดยไม่ต้องให้อาหาร ในขณะที่การทดลองที่ไม่มีการให้แสงจะพบว่า endosymbiont จะค่อย ๆ หายไป และจะตายภายในไม่กี่วันหลังจากนั้น Sriwoon (2006) ได้ทำการศึกษาผลของการเข้มแสงต่อการเติบโตและปริมาณคาร์บอนและในไตรเจนของเชลล์ *N. scintillans* พบร่วมปริมาณการเติบโตของ *N. scintillans* อよู่ในช่วง 0.07-0.24 ต่อวัน อัตราการเติบโตเพิ่มขึ้นแบบเชิงเส้นในช่วงระดับความเข้มแสง 80-200 ไมโครโตรโนต่อตารางเมตรต่อวินาที และลดลงในช่วงความเข้มแสงตั้งแต่ 300-500 ไมโครโตรโนต่อตารางเมตรต่อวินาที และแสงมีผลต่อปริมาณคาร์บอนโดยเพิ่มขึ้นแบบเชิงเส้นในช่วงระดับความเข้มแสง 80-300 ไมโครโตรโนต่อตารางเมตรต่อวินาที และลดลงตั้งแต่ 400-

500 ไมโครโมลิฟต์อนต่อตารางเมตรต่อวินาที ส่วนปริมาณไนโตรเจนที่ความเข้มแสงทุกระดับไม่แตกต่างกัน และมีแนวโน้มเพิ่มขึ้นเมื่อความเข้มแสงเพิ่มขึ้นและลดลงเมื่อถึงระดับความเข้มแสง 300 ไมโครโมลิฟต์อนต่อตารางเมตรต่อวินาที และลดลงเมื่อความเข้มแสงเพิ่มขึ้น

#### 4.3 ความเค็ม

ความเค็มเป็นปัจจัยสิ่งแวดล้อมที่มีความผันแปรในบริเวณปากแม่น้ำและพื้นที่ชายฝั่งทะเล จึงเป็นปัจจัยที่เป็นตัวกำหนดการเปลี่ยนแปลงประชากรของแพลงก์ตอนหลายชนิด การเติบโตของ *N. scintillans* นั้นได้รับผลกระทบความเค็มที่มีการเปลี่ยนแปลงนี้ แต่มีความสามารถปรับตัวและดำรงชีวิตอยู่ได้ในช่วงความเค็มที่กว้างซึ่งมีรายงานการศึกษาจากหลายพื้นที่ Sriwoon (2006) ได้ทำการศึกษาการแพร่กระจายของ green *Noctiluca* ในอ่าวไทยพบว่าสามารถแพร่กระจายในช่วงความเค็ม 14–35 psu และมีการสะพรั่งในช่วงความเค็ม 25–30 psu Thong-ra-ra *et al.* (1995) และ Lirdwitayaprasit (2006) พบร green *Noctiluca* ในช่วงความเค็ม 11–34 psu และ Chuennniyom *et al.* (2012) รายงานพบร green *Noctiluca* แพร่กระจายอยู่ในช่วงความเค็ม 14–29 psu โดยมีความหนาแน่นเซลล์สูงที่ความเค็มระหว่าง 25–29 psu ส่วนผลจากการศึกษาในอ่าวมะนิลา (Furuya *et al.*, 2006) และในอินเดีย (Eashwar *et al.*, 2001) พบร green *Noctiluca* สะพรั่งในช่วงความเค็ม 31–34 psu ส่วน red *Noctiluca* มีรายงานการเกิดในช่วงความเค็มตั้งแต่ 17–36.5 psu (Lee and Hirayama, 1992; Murray and Suthers, 1999)

#### 4.4 อุณหภูมิ

อุณหภูมิเป็นปัจจัยที่มีความสำคัญและมีผลโดยตรงต่อกระบวนการทางสรีรวิทยาของสิ่งมีชีวิต อันได้แก่ กระบวนการเมtabolism และการสืบพันธุ์ นอกจากนี้ยังมีผลต่อปัจจัยสิ่งแวดล้อมอื่น ๆ ด้วย ใน red *Noctiluca* พบร่วมมีการเจริญได้ในช่วงอุณหภูมิ 5–28.6 องศาเซลเซียส (Huang and Qi, 1997; Jokobsen and Tang, 2002; Umani *et al.*, 2004; Miyaguchi *et al.*, 2006) ในห้องปฏิบัติการพบว่ามีอัตราการเติบโตสูงสุดในช่วง 23–24 องศาเซลเซียส (Lee and Hirayama, 1992; Nakamura, 1998a; Uhlig and Sahlig, 1995)

green *Noctiluca* โดยส่วนใหญ่แล้วจะพบอยู่ในช่วงอุณหภูมิ 23–32 องศาเซลเซียส (Thong-ra-ar *et al.*, 1995; Eashwar *et al.*, 2001; Hansen *et al.*, 2004; Furuya *et al.*, 2006;

Lirdwitayaprasit *et al.*, 2006; Sriwoon, 2006) ชี้งพบว่าอุณหภูมิน้ำที่ทำให้เกิดปรากฏการณ์น้ำทะเลเปลี่ยนสีบริเวณชายฝั่งใกล้กับ จังหวัดชลบุรีอยู่ในช่วง 26-29 องศาเซลเซียส (Thong-ra-ar *et al.*, 1998)

#### 4.5 ชาต้อาหาร

##### ไนโตรเจน

ไนโตรเจนเป็นชาต้อาหารที่มีความสำคัญต่อการเริ่มต้น生物ของแพลงก์ตอนพืช โดยถูกนำมาใช้ในการสังเคราะห์กรดอะมิโนและโปรตีนในไนโตรเจนที่พบในแหล่งน้ำน้ำยุ่นในรูปโนยาลกูลของสารอนินทรีย์ในไนโตรเจน เช่น  $\text{NO}_3^-$ ,  $\text{NO}_2^-$  และ  $\text{NH}_4^+$  และพบอยู่ในรูปของสารประกอบอนินทรีย์ในไนโตรเจน เช่น กรดอะมิโน และยูเรีย (ราษฎร์ฯ, 2542) ชี้งมาจากการขับถ่ายของเสียงของสัตว์น้ำ ในไนโตรเจนในรูปสารประกอบอนินทรีย์ในไนโตรเจนถือว่ามีความสำคัญต่อการเติบโตของแพลงก์ตอนพืช เป็นแหล่งของไนโตรเจนที่ถูกปลดปล่อยออกมายโดยอาศัยจุลินทรีย์ในการย่อยสลายลักษณะ (2530) กล่าวว่าแพลงก์ตอนพืชส่วนใหญ่จะใช้ไนโตรเจนในรูปแอมโมเนียมและไนเตรตแต่จะเลือกใช้ในรูปแอมโมเนียมมากกว่า โดยแพลงก์ตอนพืชจะใช้ไนโตรเจนในรูปต่าง ๆ เรียงตามลำดับจากมากไปหาน้อยคือ  $\text{NH}_4^+ > \text{Urea} > \text{NO}_3^- > \text{NO}_2^-$  (Smayda, 1983) ในแหล่งน้ำที่มีไนโตรเจนสูงมากจะพบแพลงก์ตอนพืชในปริมาณมาก ในบริเวณที่มีน้ำผุดในธรรมชาติเป็นแหล่งของไนโตรเจนที่สำคัญของแพลงก์ตอนพืช และหากเมื่อปริมาณของไนเตรตและแอมโมเนียมลดลงจนถึง 0.05 มีโคลิมาร์ ยูเรียจะกล้ายเป็นแหล่งไนโตรเจนที่สำคัญของแพลงก์ตอนพืช (Joint *et al.*, 2001) นอกจากนี้แล้วแพลงก์ตอนพืชกลุ่มสาหร่ายสีเขียวแกมน้ำเงินสามารถดึงไนโตรเจนในอากาศได้โดยตรง เช่น *Nostoc*, *Anabaena*, *Anabaenopsis*, *Oscillatoria* เป็นต้น ในการเกิดปรากฏการณ์น้ำทะเลเปลี่ยนสี (red tide) มักจะเกิดในแหล่งน้ำที่มีสารประกอบไนโตรเจนและฟอสฟอรัสในปริมาณสูง รวมกับสภาพแวดล้อมที่มีแมดเดจัค และมีอุณหภูมิสูง

##### ฟอสฟอรัส

ฟอสฟอรัสเป็นชาต้อาหารที่มีความสำคัญต่อกำลังผลิตของแหล่งน้ำ เนื่องจากฟอสฟอรัสเป็นตัวควบคุมกำลังผลิตปฐมภูมิ (primary productivity) ดังนั้นข้อมูลปริมาณฟอสฟอรัสในแหล่งน้ำจึงมีความสำคัญมาก ฟอสฟอรัสเกือบทั้งหมดในแหล่งน้ำพบอยู่ในรูปสารประกอบ

ฟอสเฟต แบ่งได้เป็น 3 กลุ่มคือ ออร์โธฟอสเฟต (orthophosphate) หรือฟอฟอรัสที่ละลายน้ำได้สารประกอบพากนีแพลงก์ตอนพืชสามารถนำไปใช้เพื่อการเติบโตได้อีกกลุ่มนึงคือ โพลีฟอฟอสเฟต (polyphosphates) เป็นสารประกอบที่พบได้มากในน้ำทึบที่มารากบ้านเรือนเนื่องจากเป็นส่วนผสมของน้ำยาทำความสะอาดและผงซักฟอก เมื่อแตกตัวจะให้ออร์โธฟอสเฟตออกมา พากสุดท้ายคือ พากสารอินทรีย์ฟอสเฟต (organic phosphates) ที่ได้จากการบวนการทางชีวภาพ พบรได้ในสารละลายสารแ徊วนลดอย หรืออินทรีย์วัตถุที่กำลังเน่าสลาย ฟอสเฟตในน้ำอาจจะรวมด้วยกัน ไอออนต่าง ๆ เช่น เฟอริกและแคลเซียม โดย pH ของน้ำ จะเป็นตัวกำหนดคุณสมบัติของสารประกอบฟอสเฟต ในน้ำที่เป็นกลางหรือค่อนข้างกรดค่อนข้างด่าง แคลเซียมฟอสเฟตมาก ถ้าหาก pH สูง จะพบว่ามีโซเดียมฟอสเฟตแต่ถ้าหากเป็นกรดจะพบ เฟอริกฟอสเฟต (ไมตรี และ จาจุวรรณ, 2528; ประเทือง, 2534) ฟอฟอรัสจะมีบทบาทที่สำคัญต่อปฏิกิริยาทางชีวเคมีภายในเซลล์ของแพลงก์ตอนพืชโดยเกี่ยวข้องกับการขนส่งพลังงานภายในเซลล์ซึ่งมีผลต่อการเติบโต และสืบพันธุ์ของแพลงก์ตอนพืชระดับความต้องการฟอฟอรัสของแต่ละชนิดมีความแตกต่างกัน

สารประกอบฟอฟอรัสที่พบในแหล่งน้ำธรรมชาติ มีทั้งในรูปสารอินทรีย์ฟอฟอรัส และสารอนินทรีย์ฟอฟอรัส โดยปกติแพลงก์ตอนพืชจะดูดซึมฟอฟอรัสในรูปของออร์โธฟอสเฟต หรือ soluble reactive phosphorous ซึ่งได้แก่ พาก  $\text{PO}_4^{3-}$ ,  $\text{HPO}_4^{2-}$  และ  $\text{H}_2\text{PO}_4^-$  เพื่อนำไปใช้ในการเติบโต ฟอสเฟตเป็นปัจจัยที่มีผลต่อความชุกชุมของไไมโครแพลงก์ตอนสกุลต่าง ๆ กล่าวคือถ้าพบฟอสเฟตมากจะพบปริมาณแพลงก์ตอนมากตามไปด้วย แหล่งน้ำปกติจะมีปริมาณฟอฟอรัสปริมาณ 0.010-0.030 ppm การมีฟอสเฟตในแหล่งน้ำมากเกินทำให้แพลงก์ตอนชนิดต่าง ๆ เช่น ไคนอนแฟลเจลเดตเติบโตขยายพันธุ์อย่างรวดเร็ว จนทำให้เกิดเป็นพิษต่อสัตว์น้ำได้ (ไมตรี และ จาจุวรรณ, 2528; ประเทือง, 2534)

### ซิลิคอน

ซิลิกาเป็นธาตุที่พบทั้งในรูปสารละลายและสารแ徊วนลดอย ซิลิกาที่ละลายน้ำจะอยู่ในรูปกรดออกซิซิลิซิค ( $\text{Si}(\text{OH})_4$ ) ส่วนสารแ徊วนลดอยในน้ำส่วนใหญ่ได้จากการสึกกร่อนของหินจากพื้นดิน ได้แก่ ควอทซ์ เฟลสปาร์ ทราย และโคลน ซิลิกาเป็นแร่ธาตุที่สำคัญในการเติบโตของแพลงก์ตอนพืชกลุ่มไฮอะตوم ซิลิโคนแฟลเจลเดต แพลงก์ตอนพืชที่มีหนวดที่มีเกล็ดหุ้มเซลล์บางชนิด และแพลงก์ตอนสัตว์กลุ่มเรดิโวเลเรียน เนื่องจากกลุ่มน้ำไปใช้ในการสร้างโครงสร้างของเซลล์

โดยนำไปใช้ในรูปของออกซิซิลิกेट ( $\text{SiO}_3^{2-}$ ) ซิลิกาในน้ำจะลดลงเมื่อมีการสร้างผนังเซลล์และจะหมุนเวียนกลับคืนสู่น้ำอย่างช้าๆ โดยการละลายกลับคืนสู่น้ำของพวกรสิ่งมีชีวิตที่ตายแล้ว (ลัดดา, 2530) ซิลิกอนไม่มีความสำคัญในแง่ขององค์ประกอบของprotoplasm ของพืชและสัตว์ แต่เป็นส่วนที่สำคัญของ shell หรือ frustule ของไครอตอม ในน้ำที่มี pH น้อยกว่า 9 ซิลิกาจะอยู่ในรูป silicic acid การเจริญของไครอตอมนั้นปริมาณของซิลิกามีความสำคัญมากกว่าในโตรเรนและฟอสฟอรัส จึงสามารถใช้ซิลิกาเป็นครรชนีในการศึกษาความชุกชุมของไครอตอม ได้ซิลิกาในผนังเซลล์ของไครอตอมเมื่อคิดเป็นน้ำหนักแห้งแล้วมีปริมาณค่อนข้างสูง อยู่ที่ร้อยละ 26–63 ทั้งนี้ขึ้นอยู่กับชนิดของไครอตอม

ในน้ำทะเลโดยเฉลี่ยมีซิลิกาประมาณ 1 มิลลิกรัมต่อลิตร โดยน้ำบริเวณชายฝั่งมีสูงกว่าในทะเลเปิด (สมอวิล, 2540) ซิลิกาที่ละลายน้ำพบได้ปริมาณสูงในบริเวณปากแม่น้ำ และไม่ค่อยพบการเปลี่ยนแปลงตามฤดูกาลมากนัก การเปลี่ยนแปลงความเข้มข้นของซิลิกาในน้ำทะเลขึ้นอยู่กับการนำพาโดยแม่น้ำ การใช้ซิลิกาของสิ่งมีชีวิต การย่อยสลายจากสิ่งมีชีวิต การเปลี่ยนแปลงรูปของแร่ดินเหนียว และกระบวนการทางฟิสิกส์ โดยทั่วไปจะพบซิลิกาแurenlooy อยู่ในน้ำมากกว่าที่จะละลายในน้ำ นอกจากซิลิกาจะมีความสำคัญต่อไครอตอมแล้ว ยังพบว่าแพลงก์ตอนพืชกลุ่ม silicoflagellate ก็ต้องอาศัยซิลิกาในการเติบโต (สาโรจน์, 2546)

ตารางที่ 3 การแพร่กระจายของ *Noctiluca scintillans* ที่สกาวะแวนด์ล้อมในพื้นที่ต่าง ๆ

Area	Cell density (cells/L)	Season	Cell size (μm)	Chlorophyll a (μg/L)	Temperature (C)	Salinity (psu)	Reference
<b>Red <i>Noctiluca</i></b>							
German Birht	25-135				22-24		Uhlig and Sahling (1995)
Black Sea	100	Summer			13.5-15.75	30.0-32.5	Schaumann <i>et al.</i> (1988)
Dapeng Bay	>200 $2.8 \times 10^5$	Mar-Apr		0.39-28.3 <5	15.8-28.6 19.8-22	19.1-33.4 29	Huang and Qi (1997)
Seto Inland					5-28	17-34	Lee and Hirayama (1992)
	>100		380-660 432-475	2.25	24-25.5 24		Nakamura (1998b)
							Pithakpol <i>et al.</i> (2000)
Sagami Bay	$6.1 \times 10^5$	Spring- Summer Mar-May (SW-SE) Jan-Dec		0.535-5.0 1.5-2.4 0.4-1.5	10-25 15.2-17.8 18-22.8	30-33 34.9-35.5 32-35.5	Miyaguchi <i>et al.</i> (2006)

ตารางที่ 3 (ต่อ)

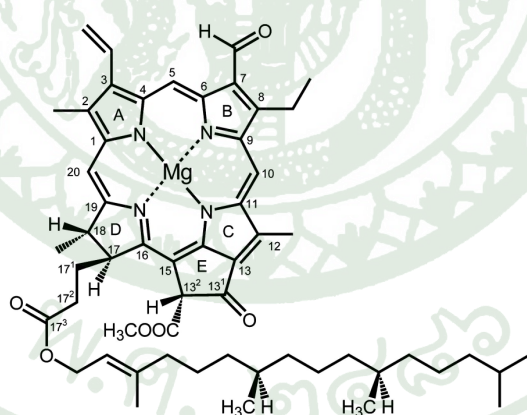
Area	Cell density (cells/l)	Season	Cell size ( $\mu\text{m}$ )	Chlorophyll <i>a</i> ( $\mu\text{g/l}$ )	Temperature (C)	Salinity (psu)	Reference
Sagami Bay	$6.1 \times 10^5$	Spring- Summer		0.535-5.0	10-25	30-33	Miyaguchi <i>et al.</i> (2006)
		Mar-May (SW-SE)		1.5-2.4	15.2-17.8	34.9-35.5	
		Jan-Dec		0.4-1.5	18-22.8	32-35.5	
Australia	$6,300-2.2 \times 10^5$			<1-2.9	14.2-24.2	28.0-36.5	Murray and Suthers (1999)
	>100	Spring,late summer	340-450				
	<5	Summer&Winter	400-1200				
	16	Spring&Summer	<525	<1-3	>20	<35	Dela-Cruz <i>et al.</i> (2002, 2003)
	<1	Autumm&Winter	>600	<1->3	18.5-19.5	35.1-35.5	
North Adriatic Sea							
1977-1980	$>10^3$	Spring&Summer			>20		Umani <i>et al.</i> (2004)
1988-1993	<2				>20		
1997-2001	>10				>20		
2002	<2.2				>20		
2003	>2				7.3-10		

ตารางที่ 3 (ต่อ)

Area	Cell density (cells/L)	Season	Cell size ( $\mu\text{m}$ )	Chlorophyll <i>a</i> ( $\mu\text{g/L}$ )	Temperature (C)	Salinity (psu)	Reference
USA			1300		19±1		Jakobson and Tang (2002)
<b>Green <i>Noctiluca</i></b>							
Manila Bay				0.55-522	27.5-28.8		Furuya <i>et al.</i> (2006)
India	51.3-  $1004 \times 10^6$  $1.5-2.3 \times 10^4$						Devassy (1989)  Eashwar <i>et al.</i> (2001)
Gulf of Thailand	$2.0 \times 10^6$	July-Sep (eastern)  Dec-Feb (western)					Lirdwitayaprasit (1995)
		Aug-Oct			23-32	11-34	Thong-ra-ar <i>et al.</i> (1995)
		June-Oct			25-32	22-30	Lirdwitayaprasit (2006)
Angsila	100  <10	Mar-Oct (SW)  Nov-Feb (NE)			27-32	14-35	Sriwoon (2006)

#### 4.6 คลอโรฟิลล์ เอ

เซลล์แพลงก์ตอนพืชทุกชนิดจะมีคลอโรฟิลล์ ซึ่งเป็นรงค์วัตถุสีเขียวที่มีความสำคัญในการสังเคราะห์ด้วยแสง มีสูตรทางเคมี คือ  $C_{55}H_7O_5N_4Mg$  คุณสมบัติของคลอโรฟิลล์ เอ คือ ไม่ละลายน้ำแต่ละลายในตัวทำละลายอินทรีชี (Fogg, 1975) คลอโรฟิลล์เป็นสารที่ละลายได้ดีในอะซีโตนและแอลกอฮอล์ โครงสร้างอาจแบ่งได้เป็นสองส่วน คือ ส่วนหัว และส่วนหาง โดยที่ส่วนหัวของคลอโรฟิลล์มีลักษณะเป็นวงแหวนไพรอล (pyrole ring) ที่มีในโครงเจนเป็นองค์ประกอบอยู่ 4 วง และมีชาตุแมgnีเซียมอยู่ตรงกลาง โดยทำพันธะกับในโครงเจน ส่วนหัวนี้มีขนาดประมาณ  $1.5 \times 1.5$  อังศตروم ส่วนหางของคลอโรฟิลล์มีลักษณะเป็นสารประกอบไฮดรคาร์บอนที่มีคาร์บอนเป็นองค์ประกอบ 20 อะตอม มีความยาวประมาณ 2 อังศตروم คลอโรฟิลล์ดูดกลืนแสงได้ดีที่ช่วงคลื่นของแสงสีฟ้าและสีแดง แต่ดูดกลืนช่วงแสงสีเหลืองและเขียวได้น้อย ดังนั้นมีอิทธิพลรับแสงจะดูดกลืนแสงสีฟ้าและสีแดงไว้ ส่วนแสงสีเขียวที่ไม่ได้ดูดกลืนจึงสะท้อนออกมาก ทำให้เห็นคลอโรฟิลล์มีสีเขียว โดยวงแหวนไพรอลที่สองของคลอโรฟิลล์ เอ มีโซ่ข้างเป็นหมู่เมทิล (-CH<sub>3</sub>) ทำให้มีคุณสมบัติละลายได้ดีในสารละลายที่มีข้าว เช่น เมทิลแอลกอฮอล์ เนื่องจากหมู่เมทิลของคลอโรฟิลล์ทำให้มีเลกุลาร์น้ำ และจะพบว่าคลอโรฟิลล์ เอ จะมีสีเขียวเข้ม (ภาควุฒิ, 2550)



ภาพที่ 4 โครงสร้างโมเลกุลของคลอโรฟิลล์ เอ

ที่มา: Merchant and Sawaya (2005)

โดยปกติปริมาณคลอโรฟิลล์ เอ ที่พบในแพลงก์ตอนพืชจะมีประมาณร้อยละ 0.5–1.5 ของน้ำหนักแห้ง และสามารถเพิ่มสูงขึ้นถึงร้อยละ 6 ในแพลงก์ตอนพืชที่อยู่ในที่มีความเข้ม

แสงแสงอ่อน ๆ โดยทั่วไปปริมาณคลอโรฟิลล์ เอ มีความสัมพันธ์กับปริมาณของแพลงก์ตอนพืชในลักษณะแปรผันตามกัน ปัจจัยที่มีผลต่อการแพร่กระจายของคลอโรฟิลล์ เอ มีทั้งปัจจัยทางกายภาพ เช米 และชีวภาพ ที่สำคัญ ได้แก่ การแบ่งชั้นของน้ำ กระแสน้ำ อุณหภูมน้ำ ปริมาณแสง และการตกกระแทบของแสง การกินแพลงก์ตอนพืชโดยแพลงก์ตอนสัตว์หรือสัตว์ และปริมาณธาตุอาหาร

## 5. พื้นที่ศึกษา

### 5.1 ลักษณะทั่วไป

ปากแม่น้ำท่าเจินตั้งอยู่ในเขตพื้นที่อำเภอเมือง จังหวัดสมุทรสาคร เป็นช่วงท้ายสุดของแม่น้ำท่าเจิน ซึ่งถือว่าเป็นแม่น้ำที่มีความสำคัญในพื้นที่ลุ่มน้ำภาคกลาง มีความยาวทั้งหมด 325 กิโลเมตร โดยแยกมาจากแม่น้ำเจ้าพระยาบริเวณปากคลองมะขามเจ้า ในเขตอำเภอวัดสิงห์ จังหวัดชัยนาท แล้วเจ้าสายนี้จะไหลลงไปทางใต้ด้านตะวันตกของแม่น้ำเจ้าพระยา ผ่านอำเภอเมือง อำเภอหันค้าในเขตจังหวัดชัยนาท แม่น้ำสายนี้มีชื่อเรียกด้วยกันหลายชื่อ โดยแบ่งออกเป็นช่วง ๆ ตอนบนที่ไหลผ่านเขตจังหวัดชัยนาทเรียกว่าแม่น้ำมะขามเจ้า เมื่อไหลผ่านอำเภอเดิมบางนางบัว อำเภอสามชุก อำเภอศรีประจันต์ อำเภอเมืองสุพรรณบุรี อำเภอบางปลาหม้า อำเภอสองพี่น้อง ในเขตจังหวัดสุพรรณบุรี มีชื่อเรียกว่าแม่น้ำสุพรรณบุรี แล้วเข้าเขตจังหวัดนครปฐม ผ่านอำเภอบางเลน อำเภอนครชัยศรี อำเภอสามพราน ช่วงนี้มีชื่อเรียกว่าแม่น้ำนกรชัยศรี และจากอำเภอสามพราน จังหวัดนครปฐม ไหลต่อไปยังอำเภอกระทุ่มแบน จังหวัดสมุทรสาคร ไปออกทะเลอ่าวไทยที่อำเภอเมืองจังหวัดสมุทรสาคร จะมีชื่อเรียกว่าแม่น้ำท่าเจิน เนื่องจากบริเวณนี้เคยปรากฏหลักฐานการตั้งถิ่นฐานของชาวจีนมาแต่ครั้งโบราณกาลนั้นเอง

### 5.2 ลักษณะทางอุตุนิยมวิทยา

แม่น้ำท่าเจินตั้งอยู่ใกล้บริเวณเส้นศูนย์สูตรในชีกโลกเหนือ จึงมีลักษณะอากาศประเภทเขตร้อน มีความกดอากาศโดยเฉลี่ยประมาณ 1,009 มิลลิบาร์ มีอุณหภูมิเฉลี่ยตลอดปีประมาณ 28 องศาเซลเซียส ความชื้นสัมพัทธ์เฉลี่ยประมาณร้อยละ 72.3 อัตราการระเหยเฉลี่ยประมาณ 1,870 มิลลิเมตรต่อปี ปริมาณฝนเฉลี่ยทั้งปี 1,136.7 มิลลิเมตรต่อปี จำนวนวันที่ฝนตกประมาณ 102 วันต่อปี

### 5.2.1 ปริมาณน้ำฝน

ลุ่มน้ำท่าเจ็นมีปริมาณฝนรายปีเฉลี่ยผันแปรตั้งแต่ 800 – 1,500 มิลลิเมตร โดยมีปริมาณฝนรายปีเฉลี่ยทั้งพื้นที่ลุ่มน้ำเท่ากับ 1,040.8 มิลลิเมตร เป็นปริมาณฝนในช่วงฤดูฝน 916.9 มิลลิเมตร (คิดเป็นร้อยละ 88.10) ของปริมาณฝนทั้งปี ซึ่งต่ำกว่าค่าเฉลี่ยของประเทศไทย คือ 1,467 มิลลิเมตรต่อปี (กรมชลประทาน, 2546) เดือนที่มีปริมาณฝนต่ำสุด คือเดือนธันวาคม มีปริมาณฝน 4 มิลลิเมตร เดือนที่มีปริมาณฝนสูงสุดคือ เดือนกันยายน มีปริมาณฝน 237 มิลลิเมตร

### 5.2.2 ปริมาณน้ำท่า

พื้นที่ลุ่มน้ำท่าเจ็นมีพื้นที่รับน้ำ 13,681 ตารางกิโลเมตร มีปริมาณน้ำท่ารายปีเฉลี่ยประมาณ 1,364.4 ล้านลูกบาศก์เมตร หรือมีปริมาณน้ำท่ารายปีเฉลี่ยต่อหน่วยพื้นที่รับน้ำฝนประมาณ 3.16 ลิตรต่อวินาทีต่อตารางเมตร (กรมชลประทาน, 2546) ผลการวิเคราะห์ปริมาณน้ำท่าจากโครงการจัดทำแผนรวมการบริหารจัดการทรัพยากร้ำในพื้นที่ลุ่มน้ำเจ้าพระยา สะแกรัง และท่าเจ็น ของกรมชลประทาน ปี 2546 สรุปได้ว่า ลุ่มน้ำท่าเจ็นมีปริมาณน้ำท่าของลุ่มน้ำเฉลี่ยปีละ 1,395.4 ล้านลูกบาศก์เมตร เป็นปริมาณน้ำท่าในฤดูแล้ง (เดือนพฤษภาคมถึงเมษายน) เฉลี่ย 212.1 ล้านลูกบาศก์เมตร คิดเป็นร้อยละ 15.2 ของปริมาณน้ำท่าเฉลี่ยทั้งปี

### 5.2.3 สภาพภูมิอากาศ

ฤดูกาลในเขตลุ่มน้ำท่าเจ็น แบ่งออกเป็น 3 ฤดู เช่นเดียวกับลุ่มน้ำต่าง ๆ ในภาคกลางของประเทศไทย คือ ฤดูฝน ฤดูหนาว และฤดูร้อน

ฤดูฝน มีช่วงเวลา 6 เดือน เริ่มตั้งแต่เดือนพฤษภาคมถึงเดือนตุลาคม โดยได้รับฝนมาจากอิทธิพลของลมมรสุมตะวันตกเฉียงใต้ และลมจากทะเลจีนใต้ ในช่วงเวลาดังกล่าวจะมีปริมาณฝนรวมเกินกว่าเดือนละ 100 มิลลิเมตร เดือนกันยายน เป็นเดือนที่มีฝนตกสูงที่สุด ปริมาณฝนรวมในเขตลุ่มน้ำท่าเจ็นในช่วงฤดูฝนมีประมาณร้อยละ 87 ของปริมาณฝนทั้งปี

ถดถอย น้ำท่าจีน ช่วงเวลาประมาณ 3 เดือน เริ่มประมาณกลางเดือนพฤษภาคมและสิ้นสุดประมาณกลางเดือนกุมภาพันธ์ โดยได้รับความหนาวยืน เนื่องจากอิทธิพลของลมมรสุมตะวันออกเฉียงเหนือ ซึ่งจะพัดมวลอากาศแห้ง และลมหนาจากประเทศไทย ไปเลี้ยมภาคลุ่มแม่น้ำเจ้าพระยา ประมาณ 9.4–14.8 องศาเซลเซียส ตามปกติในช่วงเดือนมกราคม จะเป็นช่วงที่มีอากาศหนาวที่สุด

ถดถอย น้ำท่าจีน ช่วงเวลาประมาณ 3 เดือนเริ่มตั้งแต่ประมาณกลางเดือนกุมภาพันธ์ถึงประมาณกลางเดือนพฤษภาคม เนื่องจากเป็นช่วงเวลาที่ประเทศไทยอยู่ใกล้ดวงอาทิตย์มากที่สุด ซึ่งอุณหภูมิสูงสุดในช่วงเวลาดังกล่าวในเขตลุ่มน้ำท่าจีนจะอยู่ระหว่าง 39.8-41.4 องศาเซลเซียส ตามปกติในเดือนเมษายนจะเป็นเดือนที่ประเทศไทย มีอากาศร้อนที่สุด แต่จากสถิติในเขตลุ่มน้ำท่าจีน เดือนพฤษภาคมจะเป็นเดือนที่มีอุณหภูมิสูงสุดประมาณ 41.1 องศาเซลเซียส

### 5.3 คุณภาพน้ำ

แม่น้ำท่าจีนตอนล่าง (กิโลเมตรที่ 0-82) ตั้งแต่ปากแม่น้ำท่าจีนอำเภอเมือง จังหวัดสมุทรสาครถึงบริเวณน้ำที่ว่าการอำเภอครชัยศรีจังหวัดนครปฐม คุณภาพน้ำอยู่ในระดับเสื่อมโทรมมากขึ้นอยู่ในระดับมาตรฐานคุณภาพแหล่งน้ำประเภทที่ 5 (เพื่อการคุ้มนาคม) ข้อมูลการวิเคราะห์คุณภาพน้ำตั้งแต่ปี 2528-2541 พบว่าปริมาณออกซิเจนละลายน้อยกว่า 2.0 มิลลิกรัมต่อลิตร โดยเฉพาะในปี พ.ศ. 2538 บางครั้งตรวจวัดได้มีค่าต่ำกว่า 1.0 มิลลิกรัมต่อลิตร ปริมาณความสกปรกในรูปบีโอดี มีค่าเฉลี่ยระหว่าง 1.0-6.0 มิลลิกรัมต่อลิตร ส่วนปริมาณแบคทีเรีย กลุ่มโคลิฟอร์มทั้งหมดมีค่าเฉลี่ยระหว่าง 25,000-1,387,000 หน่วยจดออยู่ในระดับมาตรฐานคุณภาพแหล่งน้ำ ประเภทที่ 4-5 (เพื่อการอุตสาหกรรมและการคุ้มนาคม) ซึ่งคุณภาพน้ำในแม่น้ำท่าจีนตอนล่างนี้ มีแนวโน้มที่จะเสื่อมโทรมลงมากขึ้นโดยมีสาเหตุสำคัญมาจากการระบายน้ำเสียของแหล่งชุมชนโรงงานอุตสาหกรรมและฟาร์มสุกรที่มีอยู่อย่างหนาแน่นในบริเวณอำเภอเมือง จังหวัดนครปฐม (กรมควบคุมมลพิษ, 2547)

จากการตรวจวัดคุณภาพน้ำของกรมควบคุมมลพิษในปี 2537-2545 พบว่าบริเวณปากแม่น้ำท่าจีนที่ระยะห่างจากฝั่ง 500 เมตร มีความโปร่งใสลดลงมาก ในบางฤดูกาลที่มีน้ำหลักบริเวณที่มีความลึกประมาณ 3.0 เมตร จะมีความโปร่งใสเท่ากับ 0.13 เมตร เท่านั้น ส่วนความ

เก็บมีการเปลี่ยนแปลงในช่วงค่อนข้างกว้างมากตั้งแต่ 1.4-34.0 psu เนื่องจากเป็นบริเวณที่ได้รับอิทธิพลจากน้ำจืดในถุ่ม

ปริมาณออกซิเจนละลายนโดยทั่วไปอยู่ในช่วง 1.0-6.6 มิลลิกรัมต่อลิตร ซึ่งส่วนใหญ่ปริมาณออกซิเจนละลายนี้ที่ตรวจวัดค่าได้ในบริเวณนี้จะมีค่าน้อยกว่าค่ามาตรฐานคุณภาพน้ำทะเลชายฝั่ง และในปี 2540 พบปริมาณออกซิเจนละลายน้ำสุดมีค่าเท่ากับ 1.0 มิลลิกรัมต่อลิตร ในด้านทิศตะวันตกของปากแม่น้ำท่าจีนมีค่าอยู่ระหว่าง 1.3-6.6 มิลลิกรัมต่อลิตร ส่วนด้านทิศตะวันออกมีค่าอยู่ในช่วง 1.5-7.0 มิลลิกรัมต่อลิตร

ธิติมา และคณะ (2552) ทำการศึกษาคุณภาพน้ำทะเลเบริเวณปากแม่น้ำท่าจีน (เม.ย. 2550-เม.ย.2551) พบว่าปัจจัยคุณภาพน้ำมีค่าพิสัยดังนี้ ออกซิเจนละลายน้ำ 0.7-10.4 มิลลิกรัมต่อลิตร แบคทีเรียกลุ่มคลอโรฟอร์มทั้งหมด <2-170,000 MPN/100 มิลลิลิตร จากการคำนวณหาค่าดัชนีคุณภาพน้ำ เพื่อการประเมินสภาพคุณภาพน้ำทะเล พบว่าคุณภาพน้ำทะเลเบริเวณปากแม่น้ำท่าจีน จังหวัดสมุทรสาครส่วนใหญ่อยู่ในเกณฑ์เดือนโถรมมาก

ปัญญาเนียมและกัลยา (2532) ทำการสำรวจแม่น้ำท่าจีนตอนล่างในถุ่มแล้ง (มีนาคม) และถุ่มน้ำหลาก (สิงหาคม) พบว่ามีปริมาณชาตุอาหารจำพวกไนโตรเจนและฟอสฟอรัสในถุ่มแล้งมากกว่าถุ่มน้ำหลาก โดยมีค่าแอมโมเนียม-ไนโตรเจนอยู่ในช่วง 0.02-0.46 มิลลิกรัมต่อลิตร ในไตรท์-ไนโตรเจนในช่วง 0.002-0.27 มิลลิกรัมต่อลิตร ในเตรท-ไนโตรเจนในช่วง 0.03-1.77 มิลลิกรัมต่อลิตร และฟอสเฟต-ฟอสฟอรัส มีค่าระหว่าง 0.08-1.13 มิลลิกรัมต่อลิตร โดยพบว่าฟอสเฟต-ฟอสฟอรัสในแม่น้ำท่าจีนตอนล่างมีค่าสูงกว่าแม่น้ำสายหลักอื่น ๆ ที่ไหลลงสู่อ่าวไทย และพบว่าในไตรเจนเป็นปัจจัยสำคัญสำหรับแพลงก์ตอนพืช

ภัตราภูช และคณะ (2551) ทำการวิเคราะห์สถานการณ์ปัญหาคุณภาพสิ่งแวดล้อมทางน้ำเพื่อการอนุรักษ์และฟื้นฟูทรัพยากรหอยลายในพื้นที่ปากแม่น้ำท่าจีน ในช่วงเดือนสิงหาคม 2550 ถึงเดือนมีนาคม 2551 พบว่าพื้นที่ปากแม่น้ำนี้มีความอุดมสมบูรณ์สูงมาก และปริมาณการหากากของน้ำมีบทบาทต่อปัจจัยคุณภาพน้ำต่าง ๆ อย่างเด่นชัด โดยมีปริมาณคลอโรฟิลล์ เอ เท่ากับ 6.02-1431.12 ไมโครกรัมต่อลิตร และปริมาณชาตุอาหารสูง โดยชาตุอาหารในกลุ่มไนโตรเจน ได้แก่ แอมโมเนียม-ไนโตรเจน และไนไตรท์-ไนเตรท ในไตรเจน มีค่าอยู่ในช่วง 1.25-84.97 และ ND-28.53 ไมโครโมลาร์ ตามลำดับ ชาตุอาหารจำพวกฟอสฟอรัสที่อยู่ในรูปออร์โธฟอสเฟตมีค่าอยู่

ระหว่าง ND-17.98 ในโครโนมลาร์ ส่วนปริมาณซิลิกेट-ซิลิคอน อยู่ในช่วง 4.90-266.54 ในโครโนมลาร์ส่วนปัจจัยคุณภาพน้ำอื่น ๆ มีค่าดังนี้ ออกซิเจนละลายน้ำอยู่ในช่วง 0.48-10.81 มิลลิกรัมต่อลิตร อุณหภูมิอยู่ในช่วง 26.47-32.29 องศาเซลเซียส ค่าความเป็นกรดเป็นด่าง อยู่ในช่วง 6.93-9.11 ความเค็มอยู่ระหว่าง 0.48-30.53 psu ค่าความโปร่งแสง 10-395 เชนติเมตร



## อุปกรณ์และวิธีการ

### อุปกรณ์

#### เครื่องมือที่ใช้ในการเก็บตัวอย่างภาคสนาม

1. เครื่องวัดคุณภาพน้ำหลายตัวแปร (Multi Parameter Water Quality Monitor รุ่น 6600)
2. เครื่องวัดความลึก (Depth Meter-VA 22066 USA)
3. เครื่องบอกตำแหน่งบนพื้นโลก (Global Positioning System: GPS)
4. อุปกรณ์วัดความโปร่งแสง (Secchi disc)
5. เครื่องสูบน้ำ (Water pump)
6. กระบอกเก็บน้ำขนาด 2 ลิตร (Kemmerer Sampler)
7. ถุงเก็บน้ำขนาด 5 ลิตร (Poly bag)
8. กล้องถ่ายรูปดิจิตอล (Digital camera)
9. เรือเก็บตัวอย่าง (Boat)

#### อุปกรณ์ที่ใช้ในการวิเคราะห์ตัวอย่างในห้องปฏิบัติการ

1. กล้องจุลทรรศน์กำลังขยายสูงพร้อมอุปกรณ์ในการถ่ายภาพนิ่ง (Light microscope with digital camera)
2. กล้องจุลทรรศน์กำลังขยายต่ำ (Stereo microscope)
3. กระดาษอลูมิเนียม (Aluminium foil)
4. ตู้แช่แข็ง (Freezer)
5. แผ่นสไลด์สำหรับดูตัวอย่าง และนับจำนวน (Haemacytometer)
6. pipette
7. Auto micro-pipette
8. หลอดทดลอง (test tube)
9. เครื่อง Spectrophotometer CECIL CE 1020S SCANNING
10. เครื่อง Fluorescence Spectrometer LS 55

11. เครื่อง Sonicator
12. เครื่องเหวี่ยงหนีศูนย์กลาง (Centrifuge ALC 4236)
13. กระดาษกรอง Glass Microfiber Filter: GF/F (Whatman) เส้นผ่าศูนย์กลาง 25 มิลลิเมตรและกระดาษกรอง GF/C เส้นผ่าศูนย์กลาง 47 มิลลิเมตร
14. ชุดกรองน้ำ (Filter set)

### สารเคมี

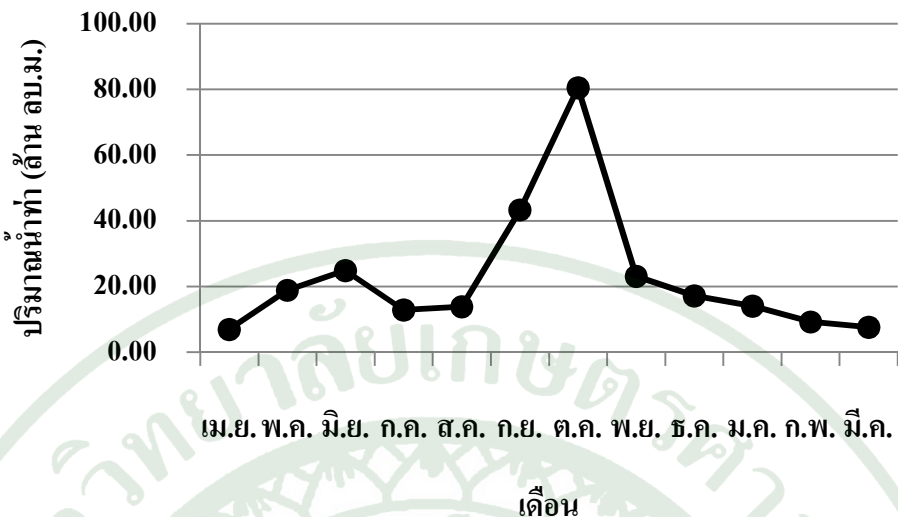
1. น้ำยาเก็บรักษาตัวอย่างฟอร์มอลิน (Formalin) เข้มข้น 2 เปอร์เซ็นต์
2. กรดไฮโดรคลอโริก (Hydrochloric acid)
3. อะซิโตน (Acetone) ความเข้มข้น 90 เปอร์เซ็นต์

### วิธีการ

1. การศึกษาการแพร่กระจายทางปริมาณและคุณภาพของ *Noctiluca scintillans* ที่เปลี่ยนแปลงตามเวลาในพื้นที่ปากแม่น้ำท่าจีน จังหวัดสมุทรสาคร

#### 1.1 การศึกษาการเปลี่ยนแปลงตามฤดูกาล

ทำการศึกษาการแพร่กระจายทางปริมาณของ *N. scintillans* โดยพิจารณาจากความหนาแน่นที่เปลี่ยนแปลงตามฤดูกาล ในพื้นที่ปากแม่น้ำท่าจีน ทำการศึกษาเปรียบเทียบการแพร่กระจายของ *N. scintillans* ซึ่งได้แบ่งช่วงฤดูกาลจากปริมาณน้ำท่าเฉลี่ยในปี 2543-2553 (ภาคที่ 5) ออกเป็น 3 ฤดูกาล และทำการออกแบบ 4 ครั้ง ในช่วง กลางฤดูน้ำหลาก (เดือนพฤษภาคม 2552) ฤดูแล้ง (เดือนเมษายน 2553) ต้นฤดูน้ำหลาก (เดือนสิงหาคม 2553) และกลางฤดูน้ำหลาก (เดือนพฤษภาคม 2553) โดยทำการศึกษาเปรียบเทียบความหนาแน่นที่ระดับผิวน้ำและพื้นท้องน้ำในแต่ละครั้งที่ศึกษา



ภาพที่ 5 ปริมาณหน้าท่าที่ให้ผลลัพธ์แม่น้ำท่าจีน (ค่าเฉลี่ยในระหว่างปี 2543-2553)

ที่มา: ศูนย์อุทกวิทยาและบริหารน้ำภาคกลาง กรมชลประทาน (2555)

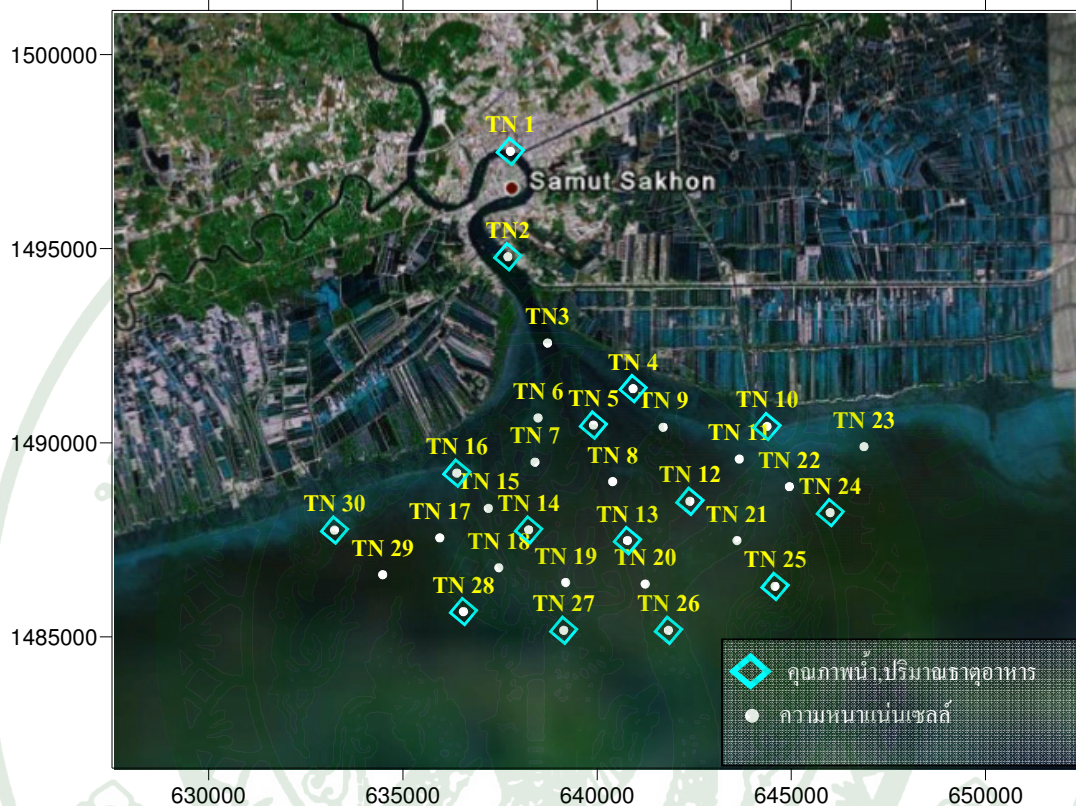
### 1.2 การศึกษาการพัฒนาของประชากร

ในช่วงกลางฤดูน้ำหลากทำการศึกษาติดตามการเปลี่ยนแปลงของประชากร *N. scintillans* ทั้งในด้านปริมาณ (ความหนาแน่นเซลล์) และคุณภาพ (ขนาดเซลล์) โดยเก็บตัวอย่างรวม 3 ครั้ง ห่างกันทุก 14 วัน ทั้งนี้เพื่อศึกษารักษาการพัฒนาของประชากรใหม่ (การเกิดทดแทนที่) ในช่วงเวลาที่เป็นฤดูกาลการเกิดปรากฏการณ์น้ำทะเลเปลี่ยนสีหลักของพื้นที่นี้ด้วย

### 1.3 พื้นที่และสถานีศึกษาการแพร่กระจายของ *Noctiluca scintilla*

กำหนดสถานีเก็บตัวอย่างทั้งหมด 30 สถานี (ตารางที่ 4) ในพื้นที่ปากแม่น้ำท่าจีน จังหวัดสมุทรสาคร แต่ละสถานีห่างกันประมาณ 1.5 กิโลเมตร ครอบคลุมพื้นที่รวมประมาณ 85 ตารางกิโลเมตร (ภาพที่ 6) ซึ่งกำหนดให้ TN 1 เป็นสถานีต่อนบนสุดของพื้นที่ศึกษานี้องจากบริเวณนี้เป็นช่วงลamina ในเขตน้ำกร่อยเป็นจุดรับน้ำจากลาม้าน้ำด้านบน และมีความเค็มที่มีการเปลี่ยนแปลงตามการบีบลงของน้ำ นอกจากนี้จะใช้แนวร่องน้ำเป็นเขตแบ่งพื้นที่ออกเป็นฝั่ง

ตะวันออกและฝั่งตะวันตก เพื่อกำหนดสถานีเป็นตัวแทนของพื้นที่ปากแม่น้ำส่วนต่าง ๆ ซึ่งในภาพรวมประกอบด้วย



ภาพที่ 6 สถานีเก็บตัวอย่างและสำรวจคุณภาพน้ำ 30 สถานี (TN1-TN30)  
ในพื้นที่ปากแม่น้ำเจ้า嫉 จังหวัดสมุทรสาคร

สถานีในพื้นที่ร่องน้ำ 8 สถานี ได้แก่ TN1 TN2 TN3 TN5 TN8 TN13 TN20 และ TN2

สถานีในพื้นที่ตอนฝั่งตะวันออก 10 สถานี ได้แก่ TN4 TN9 TN10 TN11 TN12 TN2  
TN22 TN23 TN24 และ TN25

สถานีในพื้นที่ตอนฝั่งตะวันตก 12 สถานี ได้แก่ TN6 TN7 TN14 TN15 TN16 TN17  
TN18 TN19 TN27 TN28 TN29 และ TN30

ตารางที่ 4 ที่ตั้งพิกัดของสถานีเก็บตัวอย่างและตำแหน่งในพื้นที่ปากแม่น้ำท่าจีน

Stations	E	N	ตำแหน่ง/ที่ตั้ง
TN1	637767	1497508	กลางลำน้ำท่าจีนตรงแนวศาลเจ้าพ่อหลักเมือง จังหวัดสมุทรสาคร
TN2	637703	1494793	กลางลำน้ำท่าจีนแนววัดศรีสุทธาราม (วัดคำพร้า)
TN3	638725	1492570	กลางลำน้ำท่าจีนแนวลำน้ำปีกกว้างออก
TN4	640926	1491395	ฝั่งตะวันออกของร่องน้ำ
TN5	639905	1490455	กลางร่องน้ำระหว่างดอนแคบสองฝั่ง
TN6	638480	1490640	ฝั่งตะวันตกของร่องน้ำ
TN7	638400	1489500	ฝั่งตะวันตกของร่องน้ำ
TN8	640400	1489000	กลางร่องน้ำ
TN9	641700	1490400	ฝั่งตะวันออกของร่องน้ำ
TN10	644374	1490420	ฝั่งตะวันออกของร่องน้ำ
TN11	643660	1489580	ฝั่งตะวันออกของร่องน้ำ
TN12	642388	1488492	กลางร่องน้ำ
TN13	640780	1487480	กลางร่องน้ำ
TN14	638238	1487756	ฝั่งตะวันตกของร่องน้ำ
TN15	637200	1488310	ฝั่งตะวันตกของร่องน้ำ
TN16	636388	1489219	ฝั่งตะวันตกของร่องน้ำ
TN17	635950	1487550	ฝั่งตะวันตกของร่องน้ำ
TN18	637470	1486780	ฝั่งตะวันตกของร่องน้ำ
TN19	639190	1486400	ฝั่งตะวันตกของร่องน้ำ
TN20	641240	1486360	กลางร่องน้ำ
TN21	643600	1487480	ฝั่งตะวันออกของร่องน้ำ
TN22	644950	1488870	ฝั่งตะวันออกของร่องน้ำ
TN23	646870	1489900	ฝั่งตะวันออกของร่องน้ำ
TN24	646000	1488200	ฝั่งตะวันออกของร่องน้ำ

#### ตารางที่ 4 (ต่อ)

Stations	E	N	ตำแหน่ง/ที่ดัง
TN25	644580	1486300	ฝั่งตะวันออกของร่องน้ำ
TN26	641836	1485168	แนวอกสุดของพื้นที่ศึกษา
TN27	639140	1485168	ฝั่งตะวันออกของร่องน้ำ
TN28	636560	1485650	ฝั่งตะวันออกของร่องน้ำ
TN29	634480	1486600	ฝั่งตะวันออกของร่องน้ำ
TN30	633240	1487749	ฝั่งตะวันออกของร่องน้ำ

#### 1.4 การศึกษาความหนาแน่นของประชากร *Noctiluca scintillans*

เก็บตัวอย่าง *N. scintillans* ในแต่ละสถานีที่ความลึก 2 ระดับ คือ ที่ระดับความลึก 0.5 เมตร จากผิวน้ำและเหนือพื้นห้องน้ำ 0.5 เมตร (ถ้าในกรณีที่มีความลึกน้ำไม่เกิน 3 เมตร จะทำการเก็บตัวอย่างเฉพาะระดับความลึก 0.5 เมตร จากผิวน้ำเท่านั้น เนื่องจากมวลน้ำมีการผสมผสานกันดี) ทำการเก็บตัวอย่างโดยใช้เครื่องสูบน้ำคุณภาพจากระดับความลึกดังกล่าวขึ้นมาบนเรือ และสุ่มนับจำนวนเซลล์ *N. scintillans* ทันที ด้วยตาเปล่าในน้ำที่ทราบปริมาตรโดยศึกษา 3 ชั้น

#### 1.5 การศึกษาขนาดเซลล์ของประชากร *Noctiluca scintillans*

เก็บตัวอย่างน้ำที่มีเซลล์ *N. scintillans* บริเวณปากแม่น้ำท่าจีน ในทุกสถานีที่พบเซลล์ *N. scintillans* โดยเก็บตัวอย่างเซลล์ ใส่ถุงน้ำขนาด 5 ลิตร นำกลับมาศึกษายังห้องปฏิบัติการ สุ่มเซลล์จำนวนอย่างน้อย 100 เซลล์ตรวจสอบขนาดเซลล์ในแต่ละสถานีภายใต้กล้องจุลทรรศน์กำลังขยายสูง เพื่อทราบช่วงความผันแปรของขนาดเซลล์ในแต่ละครั้ง

## 1.6 การวิเคราะห์ข้อมูลการแพร่กระจายของ *Noctiluca scintillans*

### 1.6.1 Contour map ของค่าเฉลี่ยความหนาแน่นของประชากร

นำข้อมูลความหนาแน่นของเซลล์จากการเก็บตัวอย่างภาคสนามในแต่ละสถานี 3 ชั้นมาหาค่าเฉลี่ยให้ได้ตัวแทนความหนาแน่นของเซลล์ *N. scintillans* ในแต่ละสถานี แยกเป็นบริเวณผิวน้ำ และบริเวณพื้นท้องน้ำ หลังจากนั้นนำข้อมูลมาแสดงในรูปแบบของ contour map เพื่อแสดงการแพร่กระจายของความหนาแน่นของเซลล์ *N. scintillans* ในพื้นที่ปากแม่น้ำได้อย่างชัดเจนยิ่งขึ้น

### 1.6.2 การเปรียบเทียบการแพร่กระจายตามฤดูกาลของ *Noctiluca scintillans*

ทำการวิเคราะห์การเปลี่ยนแปลงตามฤดูกาลของ *N. scintillans* โดยเปรียบเทียบข้อมูลการแพร่กระจายของความหนาแน่นของประชากร *N. scintillans* ในทุกสถานี ที่ได้จากการเก็บตัวอย่างในแต่ละฤดูกาล และใช้สถิติเชิงพรรณนา เพื่อเปรียบเทียบการเปลี่ยนแปลงความหนาแน่นตามฤดูกาลต่าง ๆ

### 1.6.3 Histogram ของขนาดเซลล์ *Noctiluca scintillans*

นำข้อมูลขนาดเซลล์ที่พบในแต่ละฤดูกาลมาทำการฟiltration โดยคิดเป็นค่าร้อยละ หลังจากนั้นนำข้อมูลมาแสดงในรูปแบบของกราฟ Histogram เพื่อแสดงความผันแปรของจำนวนในแต่ละขนาดของเซลล์ *N. scintillans* และใช้พิจารณาการเกิดเซลล์ขนาดเล็ก ณ เวลาต่าง ๆ เปรียบเทียบกัน

#### 1.6.4 การวิเคราะห์ความสัมพันธ์ระหว่างประชากร *N. scintillans* กับปัจจัยสิ่งแวดล้อม

ทำการวิเคราะห์ความสัมพันธ์ระหว่างประชากร *N. scintillans* กับปัจจัยสิ่งแวดล้อมทางน้ำที่ศึกษา โดยใช้หลักการวิเคราะห์ความสัมพันธ์ (Correlation analysis) ในรูปแบบของพารามิตริก (Parametric procedure) และวิเคราะห์ค่าสัมประสิทธิ์สหสัมพันธ์เพียร์สัน (Pearson's Correlation Coefficient) โดยใช้โปรแกรมทางสถิติตามรูป SPSS (version 11.5)

### 2. การวิเคราะห์ระดับคลอโรฟิลล์ เอ ของ *Noctiluca scintillans*

ในการศึกษานี้ทำการวิเคราะห์ระดับคลอโรฟิลล์ เอ ของ *N. scintillans* โดยใช้แนวทาง 2 แบบ คือ 1) การประเมินจากปริมาณคลอโรฟิลล์ เอ ภายในเซลล์ของ *N. scintillans* โดยรวม และ 2) การประเมินจากคลอโรฟิลล์ เอ ของ *Pedinomonas noctilucae* ที่มีชีวิตภายในเซลล์ของ *N. scintillans* โดยมีขั้นตอนในการวิเคราะห์ ดังต่อไปนี้

#### 2.1 การเก็บตัวอย่างเซลล์ *Noctiluca scintillans*

เก็บตัวอย่างน้ำที่มีเซลล์ *N. scintillans* บริเวณปากแม่น้ำท่าเจ็น ในทุกสถานีที่พบเซลล์ *N. scintillans* โดยเก็บตัวอย่างเซลล์มีชีวิต ใส่ถุงน้ำขวด 5 ลิตร นำกลับมาศึกษาขั้นตอนปฏิบัติการ

#### 2.2 การวิเคราะห์ปริมาณคลอโรฟิลล์ เอ

##### 2.2.1 ระดับคลอโรฟิลล์ เอ รวมจากภายในเซลล์ของ *N. scintillans*

นำเซลล์ *N. scintillans* ในแต่ละสถานีมาทำการแยกขนาดภายนอกลักษณะเดียวกัน Stereomicroscope ออกเป็น 2 กลุ่ม คือ เซลล์ขนาดเล็ก (ขนาด  $< 300 \text{ } \mu\text{m}$  โครเมตร) และเซลล์ขนาดกลาง-ใหญ่ (ขนาดตั้งแต่  $300 \text{ } \mu\text{m}$  โครเมตรขึ้นไป) ใส่ลงในหลอดทดลองที่บรรจุน้ำทะเลที่ผ่านการกรองด้วยกระดาษ GF/C หลอดละ 50 เซลล์ หลังจากนั้น นำไปวิเคราะห์หาปริมาณคลอโรฟิลล์ เอ โดยวิธี Fluorometric method อีกส่วนหนึ่งนำมาสู่เซลล์จำนวนอย่างน้อย 100 เซลล์ นำมา

ตรวจสอบขนาดเซลล์ในแต่ละสถานีภายใต้กล้องจุลทรรศน์กำลังขยายสูง เพื่อทราบช่วงความผันแปรของขนาดเซลล์ในแต่ละสถานี

### 2.2.2 ระดับคลอโรฟิลล์ เอ จากเซลล์ของ *Pedinomonas noctilucae*

นำเซลล์ *N. scintillans* มาทำการแยกเซลล์ *P. noctilucae* ด้วยการกรองผ่านผ้ากรองขนาด 10 ไมโครเมตร และสุ่มนับจำนวน *P. noctilucae* ด้วย Haemacytometer เพื่อทราบจำนวนเซลล์ของ *P. noctilucae* ก่อนนำไปวิเคราะห์หาปริมาณคลอโรฟิลล์ เอ โดยใส่ลงในน้ำทะเลที่ทราบปริมาตรซึ่งผ่านการกรองด้วยกระดาษ GF/C (Whatman) แล้ว หลังจากนั้นนำไปวิเคราะห์หาปริมาณคลอโรฟิลล์ เอ โดยวิธี Spectrophotometric method (Parson *et al.*, 1987)

### 2.3 การนับจำนวนเซลล์ *Pedinomonas noctilucae* ภายในเซลล์ *Noctiluca scintillans*

สูมตัวอย่างเซลล์ *N. scintillans* นำมาวัดขนาดด้วย micrometer ภายใต้กล้องจุลทรรศน์ กำลังขยายสูง และแยก *P. noctilucae* ด้วย pipette ใส่ในหลอดขนาดเล็ก ซึ่งบรรจุน้ำทะเลปริมาตร 1 มิลลิเมตร ที่ผ่านการกรองด้วยกระดาษ GF/F (Whatman) แล้ว และสุ่มนับจำนวน *P. noctilucae* ด้วย Haemacytometer ทึ้งหมด 3 ชั้น จากตัวอย่างเซลล์ *N. scintillans* 1 เซลล์ ใช้ *N. scintillans* จำนวน 61 เซลล์ในการศึกษา

### 2.4 การวิเคราะห์ความสัมพันธ์ระหว่างขนาดเซลล์ กับจำนวน *Pedinomonas noctilucae*

นำข้อมูลขนาดเซลล์ของ *N. scintillans* มาหาความสัมพันธ์กับจำนวน *P. noctilucae* ภายในเซลล์ โดยใช้การวิเคราะห์ความสัมพันธ์ (Correlation analysis) ในรูปแบบพารามทริก (Parametric procedure) และวิเคราะห์ค่าสัมประสิทธิ์สหสัมพันธ์เพียร์สัน (Pearson's Correlation Coefficient) โดยใช้โปรแกรมทางสถิติสำหรับ SPSS (version 11.5) จะได้รูปแบบความสัมพันธ์ของจำนวน *P. noctilucae* ในเซลล์ กับขนาดเซลล์ของ *N. scintillans*

### 3. การประเมินบทบาทของ *Noctiluca scintillans* ต่อการใช้ชาตุอาหารในพื้นที่ปากแม่น้ำท่าจีน

#### 3.1 การศึกษาปริมาณชาตุอาหารในน้ำ

เก็บตัวอย่างน้ำเพื่อนำมาวิเคราะห์หาปริมาณชาตุอาหารในน้ำ เพื่อทราบปริมาณชาตุอาหารที่มีอยู่ในมวลน้ำ โดยทำการศึกษาทั่งหมด 15 สถานี ในแต่ละสถานีทำการเก็บตัวอย่างที่ระดับความลึก 0.5 เมตร จากผิวน้ำ และหนึ่งพื้นท้องน้ำ 0.5 เมตร โดยใช้กระบอกเก็บน้ำในการเก็บตัวอย่างน้ำ หลังจากนั้นกรองน้ำทันทีผ่านผ่านชุดกรอง (Filter set) ที่มีกระดาษกรอง GF/F (Whatman) ขนาดเส้นผ่านศูนย์กลาง 25 มิลลิเมตร บรรจุอยู่ เก็บน้ำตัวอย่างที่ผ่านการกรองไว้ในหลอดเก็บตัวอย่างขนาด 10 มิลลิลิตร แบ่งเป็นที่อุณหภูมิ 4 องศาเซลเซียส นำกลับมาขึ้นห้องปฏิบัติการ เก็บรักษาตัวอย่างน้ำที่อุณหภูมิ -20 องศาเซลเซียส เพื่อรอการวิเคราะห์หาปริมาณชาตุอาหาร โดยใช้เครื่องวิเคราะห์ชาตุอาหารอัตโนมัติ (Nutrient Auto-analyzer ของ Skalar)

#### 3.2 การศึกษาคุณภาพน้ำทั่วไป

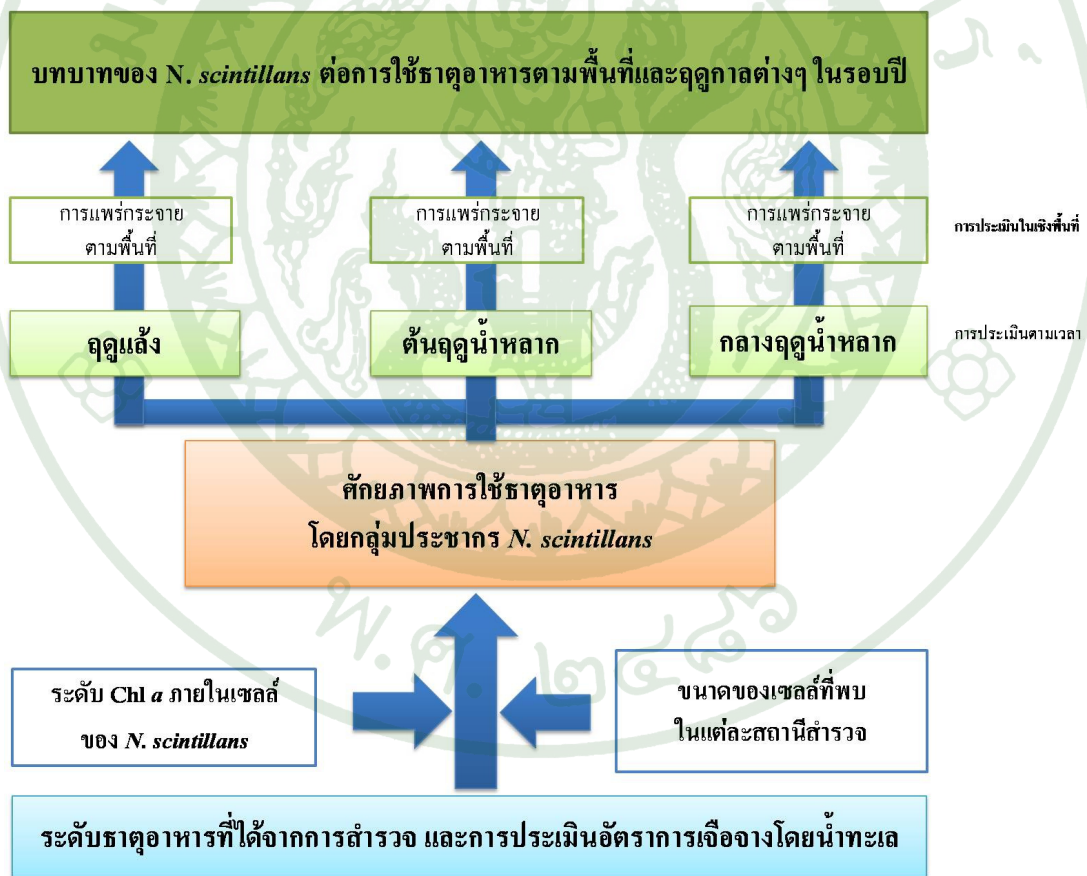
สำรวจคุณภาพน้ำทั่งหมด 15 สถานี เพื่อให้ได้ข้อมูลที่บอกถึงสถานภาพของแหล่งน้ำ เวลาที่เก็บตัวอย่าง โดยทำการศึกษาที่ 2 ระดับความลึกที่มีการสูญเสียตัวอย่างเชลล์ *N. scintillans* โดยใช้เครื่องวัดคุณภาพน้ำหลายตัวแปร (Multi Parameter Water Quality Monitor รุ่น 6600) ทำการตรวจวัดคุณภาพน้ำ ได้แก่ อุณหภูมิ ค่าความเป็นกรดเป็นด่าง ความเค็ม และปริมาณออกซิเจนที่ละลายน้ำ วัดความลึกด้วยเครื่องวัดความลึก (Depth Meter-VA 22066 USA) วัดความโปร่งแสง ด้วยอุปกรณ์วัดความโปร่งแสง (Secchi disc)

#### 3.3 การประเมินบทบาทของ *Noctiluca scintillans* ต่อการใช้ชาตุอาหารในพื้นที่ปากแม่น้ำท่าจีน

จากการศึกษาองค์ประกอบด้านระดับของคลอโรฟิลล์ เอ ของ *N. scintillans* ในแต่ละขนาดของเชลล์นั้นและข้อมูลความหนาแน่นของประชากรในแต่ละสถานี จะทำให้ทราบถึงปริมาณคลอโรฟิลล์ เอ รวมที่เกิดขึ้นจากประชากรของ *N. scintillans* ในแต่ละสถานีได้ ซึ่งทั้งนี้จะนำไปสู่

การประเมินโอกาสและ/หรือศักยภาพในการใช้ชาตุอาหารของประชากร *N. scintillans* ในพื้นที่ป่ากแม่น้ำท่าจีนตามคุณภาพ ดังกรอบแนวคิดที่แสดงใน ภาพที่ 7

ในการศึกษานี้เราสามารถนำมาประเมินระดับชาตุอาหารที่ถูกใช้โดย *N. scintillans* แยกจากการที่ชาตุอาหารถูกเจือจาง โดยการบีบลงของน้ำทะเล โดยใช้หลักการหาระดับความเข้มข้นของชาตุอาหารหลังจากการถูกเจือจาง โดยน้ำทะเลเลือกมาก่อน โดยประเมินจากสูตรประเมินความเข้มข้นของสารผสม ( $C_{\text{Mix}} V_{\text{Mix}} = C_1 V_1 + C_2 V_2$ ) และใช้ข้อมูลความเค็ม ณ ตำแหน่งนั้น ๆ เป็นค่าพิจารณา นอกจากนี้ ได้ทำการประเมินศักยภาพของประชากร *N. scintillans* ในคุณภาพต่าง ๆ โดยใช้ข้อมูลด้านความหนาแน่นของประชากร *N. scintillans* และพื้นที่ (ขอบเขตการแพร่กระจาย) เข้ามผนวกกันตามขั้นตอนดังแสดงใน ภาพที่ 7



ภาพที่ 7 การประเมินบทบาทของ *N. scintillans* ต่อการใช้ชาตุอาหาร  
ในพื้นที่ป่ากแม่น้ำท่าจีน จังหวัดสมุทรสาคร

### 3.3.1 การประเมินสัดส่วนของการผสมพืชโดยน้ำทะเลจากค่าความเค็มที่ปรากฏ

ความเค็ม ณ สถานีศึกษานั้นเกิดจากการผสมพืชระหว่างปริมาณน้ำจืด และน้ำทะเลเดียวอัตราส่วนหนึ่ง ๆ ซึ่งอัตราการผสมพืชโดยน้ำทะเลในแต่ละสถานีจะนำไปประเมินระดับความเข้มข้นของแร่ธาตุอาหารจากกระบวนการผสมพืชกับน้ำทะเลเพียงอย่างเดียว โดยในครั้งนี้เป็นการประเมินอัตราการผสมพืชจากสถานีที่มีระดับชาต้อาหารสูงสุด สามารถคำนวณโดยใช้โดยใช้หลักการผสมของสาร จากข้อมูลความเค็ม ณ สถานีนั้น ๆ และความเค็ม ณ สถานีที่มีระดับชาต้อาหารสูงสุด ซึ่งกำหนดให้ความเค็มของน้ำทะเลที่เข้ามาผสมในพื้นที่ปากแม่น้ำมีค่าเท่ากับ 31.5 psu (เป็นค่าความเค็มของน้ำทะเลบริเวณตอนออกของปากแม่น้ำท่าจีนซึ่งห่างจากสถานีนอกสุด ในการศึกษาครั้งนี้ประมาณ 11 กิโลเมตร; Buranapratheprat *et al.*, 2010) โดยจะได้สูตรคำนวณอัตราการผสมพืชโดยน้ำทะเล ( $D_{SW}$ ) ตามลำดับขั้นดังนี้

$$D_{SW} = \frac{V_{SW}}{V_{Nutrient Max}} \quad (1)$$

แทนค่าในสมการ (1) ดังนี้

$D_{SW}$	= อัตราการผสมพืชกับน้ำทะเล
$V_{SW}$	= ปริมาตรน้ำทะเล (ลูกบาศก์เมตร)
$V_{Nutrient Max}$	= ปริมาตรน้ำ ณ สถานีที่มีระดับชาต้อาหารสูงสุด (ลูกบาศก์เมตร)

$$V_{Nutrient Max} = \frac{V_{SW}(Sal_{SW}-Sal_{Obs})}{(Sal_{Obs}-Sal_{Nutrient Max})} \quad (2)$$

$V_{Nutrient Max}$	= ปริมาตรน้ำ ณ สถานีที่มีระดับชาต้อาหารสูงสุด (ลูกบาศก์เมตร)
$V_{SW}$	= ปริมาตรน้ำทะเล (ลูกบาศก์เมตร)
$Sal_{Nutrient Max}$	= ความเค็ม ณ สถานีที่มีระดับชาต้อาหารสูงสุด (psu)
$Sal_{SW}$	= ความเค็มของน้ำทะเล (psu) เท่ากับ 31.5 psu
$Sal_{Obs}$	= ความเค็ม ณ สถานีศึกษา (psu)

เมื่อแทนสมการ (2) ใน (1) จะได้สมการดังนี้

$$D_{SW} = \frac{Sal_{Obs} - Sal_{Nutrient Max}}{Sal_{SW} - Sal_{Obs}} \quad (3)$$

$D_{SW}$	= อัตราการผสมพืชกับน้ำทะเล
$Sal_{SW}$	= ความเค็มของน้ำทะเล (psu) เท่ากับ 31.5 psu
$Sal_{Obs}$	= ความเค็ม ณ สถานีศึกษา (psu)
$Sal_{Nutrient Max}$	= ความเค็ม ณ สถานีที่มีระดับชาต้อาหารสูงสุด (psu)

### 3.5.2 การประเมินระดับความเข้มข้นของแร่ธาตุอาหารจากกระบวนการผสมพืชกับน้ำทะเล

การประเมินโอกาสการใช้ชาต้อาหารในสถานีศึกษา จำเป็นจะต้องทราบถึงระดับชาต้อาหารจากกระบวนการผสมพืชกับน้ำทะเล ณ สถานีนั้น ๆ ซึ่งใช้ข้อมูลจากสถานีที่มีระดับชาต้อาหารสูงสุดในแต่ละครั้งที่ศึกษา และปริมาณชาต้อาหารของน้ำทะเลเป็นรูปแบบต่อนอกของปากแม่น้ำท่าจีน โดยในครั้งนี้ได้อ้างอิงจากการศึกษาของ Buranapratheprat *et al.* (2010) ซึ่งในโตรเจนละลายน้ำ และอร์โซฟอสเฟต-ฟอสฟอรัส มีค่าเท่ากับ 1.5 ในโครโนมาร์ ส่วนซิลิกेट-ซิลิคอน มีค่าเท่ากับ 25 ในโครโนมาร์ ในการประเมินระดับความเข้มข้นของชาต้อาหารจากกระบวนการผสมพืชกับน้ำทะเลเพียงอย่างเดียว ( $C_{Est}$ ) โดยใช้หลักการประเมินความเข้มข้นของสารผสม เช่นเดียวกับการคำนวณอัตราการเจือจาง โดยน้ำทะเลเดิมที่ได้กล่าวมาแล้วข้างต้น ดังสมการ

$$C_{Est} = \frac{C_{Nutrient Max} V_{Nutrient Max} + C_{SW} V_{SW}}{V_{Nutrient Max} + V_{SW}} \quad (4)$$

โดยที่  $C_{Est}$  = ระดับชาต้อาหารจากการผสมพืชกับน้ำทะเลเพียงอย่างเดียว (ในโครโนมาร์)

$C_{Nutrient Max}$  = ความเข้มข้นชาต้อาหาร ณ สถานีที่มีชาต้อาหารสูงสุด (ในโครโนมาร์)

$C_{SW}$  = ความเข้มข้นชาต้อาหารของน้ำทะเล เท่ากับ

ในโตรเจนละลายน้ำ	1.5	ในโครโนมาร์
------------------	-----	-------------

อร์โซฟอสเฟต-ฟอสฟอรัส	1.5	ในโครโนมาร์
----------------------	-----	-------------

ซิลิกेट-ซิลิคอน	25.0	ในโครโนมาร์
-----------------	------	-------------

$$V_{SW} = \text{ปริมาตรน้ำทะเล (ลูกบาศก์เมตร)}$$

$$V_{\text{Nutrient Max}} = \text{ปริมาตรน้ำ ณ สถานีที่มีระดับชาตุอาหารสูงสุด (ลูกบาศก์เมตร)}$$

เมื่อแทนค่าปริมาณน้ำ ณ สถานีที่มีระดับชาตุอาหารสูงสุด ( $V_{\text{Nutrient Max}}$ ) จากสมการ (2) ใน (4) จะได้สมการ ดังนี้

$$C_{\text{Est}} = \frac{C_{\text{Nutrient Max}}(\text{Sal}_{SW} - \text{Sal}_{\text{Obs}}) + C_{SW}(\text{Sal}_{\text{Obs}} - \text{Sal}_{\text{Nutrient Max}})}{\text{Sal}_{SW} - \text{Sal}_{\text{Nutrient Max}}} \quad (5)$$

$C_{\text{Est}}$  = ระดับชาตุอาหารจากพสมพسانกับน้ำทะเลเพียงอย่างเดียว  
(ไมโครโมลาร์)

$C_{\text{Nutrient Max}}$  = ความเข้มข้นชาตุอาหาร ณ สถานีที่มีชาตุอาหารสูงสุด  
(ไมโครโมลาร์)

$C_{SW}$  = ความเข้มข้นชาตุอาหารของน้ำทะเล เท่ากับ  
ในไตรเจนละลายน้ำ 1.5 ไมโครโมลาร์  
อร์โซฟอสเฟต-ฟอสฟอรัส 1.5 ไมโครโมลาร์  
ซิลิกेट-ซิลิคอน 25.0 ไมโครโมลาร์

$\text{Sal}_{\text{Nutrient Max}}$  = ความเค็ม ณ สถานีที่มีระดับชาตุอาหารสูงสุด (psu)

$\text{Sal}_{SW}$  = ความเค็มของน้ำทะเล (psu) เท่ากับ 31.5 psu

$\text{Sal}_{\text{Obs}}$  = ความเค็ม ณ สถานีศึกษา (psu)

### 3.5.3 การประเมินโอกาสในการใช้แร่ชาตุอาหารของแพลงก์ตอนพืชรวม

การประเมินโอกาสที่ชาตุอาหารจะถูกนำไปใช้โดย *N. scintillans* นั้น ต้องทราบโอกาสการใช้ชาตุอาหาร โดยแพลงก์ตอนพืชทั้งหมด (%Uptake rate<sub>Pl</sub>) เสียก่อน โดยใช้ระดับชาตุอาหารที่มาจากการพสมพسانกับน้ำทะเลเพียงอย่างเดียว ( $C_{\text{Est}}$ ) ที่ประเมินจาก 3.5.2 และข้อมูลชาตุอาหารที่ตรวจพบในสถานีศึกษา ( $C_{\text{Obs}}$ ) ในการประเมิน ดังสมการ

$$\% \text{Uptake rate}_{\text{Pl}} = \frac{C_{\text{Est}} - C_{\text{Obs}}}{C_{\text{Est}}} \times 100 \quad (6)$$

โดยที่  $\%Uptake\ rate_{Pl}$  = ร้อยละโอกาสการใช้ชาตุอาหาร โดยแพลงก์ตอนพืชทั้งหมด  
 $C_{Est}$  = ระดับชาตุอาหารจากกระบวนการผลสมพسانกับน้ำทะเลเพียงอย่างเดียว  
 $(\text{ไมโคร โมลาร์})$   
 $C_{Obs}$  = ระดับชาตุอาหารที่ตรวจวัดได้ ณ สถานีศึกษา ( $\text{ไมโคร โมลาร์}$ )

### 3.5.4 การประเมินโอกาสในการใช้แร่ชาตุอาหาร โดยประชาก *Noctiluca scintillans*

การประเมินการใช้ชาตุอาหาร โดย *N. scintillans* นี้จะทำการประเมินจากสัดส่วนของคลอโรฟิลล์ เอ ที่มาจากการเซลล์ *N. scintillans* จากระดับคลอโรฟิลล์ เอ ทั้งหมดที่ตรวจวัดได้ ณ สถานีศึกษา แต่เนื่องจากคลอโรฟิลล์ เอ ที่มีสักษภาพในการสังเคราะห์แสงเพื่อสร้างพลังงานในการนำชาตุอาหารเข้าสู่เซลล์ และนำไปใช้จริงคือ คลอโรฟิลล์ เอ ที่มาจากการเซลล์ที่มีชีวิตของ *P. noctilucae* ในครั้งนี้เรามีใช้ข้อมูลของคลอโรฟิลล์ เอ ที่มาจากการเซลล์ *P. noctilucae* นำมาประเมินระดับชาตุอาหารที่ถูกใช้โดย *N. scintillans* ดังสมการ

$$\%Uptake_{Noc} = \frac{\%Chl\ a_{Noc} \times \%Uptake\ rate_{Pl}}{100} \quad (7)$$

โดยที่  $\%Uptake_{Noc}$  = ร้อยละของโอกาสการใช้ชาตุอาหาร โดย *N. scintillans* ณ สถานีศึกษา  
 $\%Uptake\ rate_{Pl}$  = ร้อยละของโอกาสการใช้ชาตุอาหาร โดยแพลงก์ตอนพืชทั้งหมด  
 $\%Chl\ a_{Noc}$  = ร้อยละของคลอโรฟิลล์ เอ จาก *N. scintillans*

$$\%Chl\ a_{Noc} = \frac{(Chl\ a_{Ped} \times D_{Ped}) \times D_{Noc}}{Chl\ a_{Obs}} \quad (8)$$

$Chl\ a_{Ped}$  = คลอโรฟิลล์ เอ ของ *P. noctilucae* ( $\text{ไมโครกรัมต่อลิตร}$ )

$Chl\ a_{Obs}$  = คลอโรฟิลล์ เอ ณ สถานีศึกษา ( $\text{ไมโครกรัมต่อลิตร}$ )

$D_{Ped}$  = ความหนาแน่นของ *P. noctilucae* ในเซลล์ *N. scintillans*  
 $(\text{เซลล์ต่อ } N. scintillans 1 \text{ เซลล์})$

$D_{Noc}$  = ความหนาแน่นของเซลล์ *N. scintillans* ณ สถานีศึกษา  
(เซลล์ต่อลิตร)



## ผลและวิจารณ์

### 1. การแพร่กระจายของ *Noctiluca scintillans* ตามพื้นที่และการเปลี่ยนแปลงตามฤดูกาล

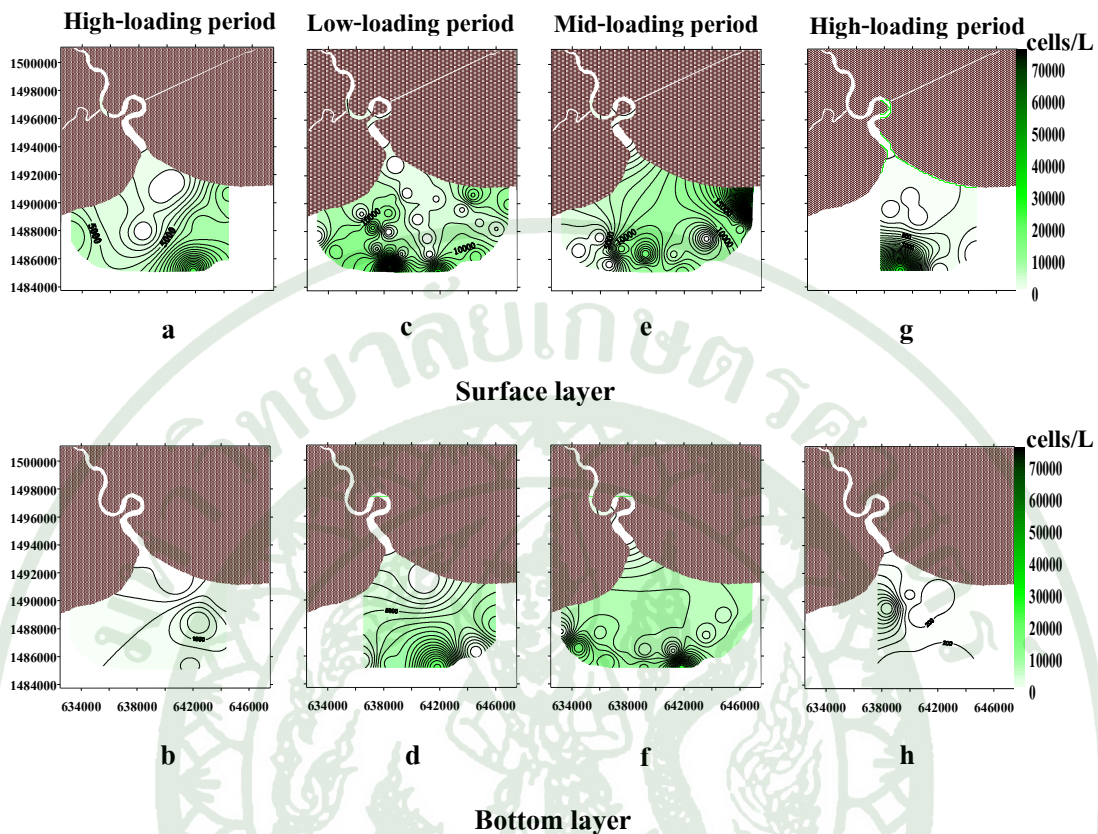
การแพร่กระจายของ *N. scintillans* บริเวณปากแม่น้ำท่าจีน มีลักษณะการเปลี่ยนแปลงตามพื้นที่และฤดูกาล ดังนี้

ฤดูแล้ง (เมษายน 2553)

*N. scintillans* มีความหนาแน่นเซลล์ 0-72,333 เซลล์ต่อลิตร โดยที่ระดับผิวน้ำและที่ระดับน้ำหนึ่งมีค่าอยู่ในช่วง 0-72,333 และ 0-21,333 เซลล์ต่อลิตร และมีค่าเฉลี่ยเท่ากับ  $11,488 \pm 20,180$  และ  $6,116 \pm 7,907$  เซลล์ต่อลิตร ตามลำดับ ในสถานี TN27 พบ *N. scintillans* มีความหนาแน่นสูงสุดในครั้งนี้ และต่ำสุดในสถานี TN13 ซึ่งมีความหนาแน่นเพียง 50 เซลล์ต่อลิตร โดยไม่พบ *N. scintillans* ในสถานีที่อยู่ในตัวลำน้ำ และแนวร่องน้ำในบางพื้นที่ การแพร่กระจายมีแนวโน้มหนาแน่นในพื้นที่ตอนนอกของปากแม่น้ำเป็นอย่างมาก และพบว่าพื้นที่ในฝั่งตะวันตกมีความหนาแน่นสูงกว่าในฝั่งตะวันออก ส่วนการแพร่กระจายตามแนวดิ่งน้ำพบว่าที่ระดับผิวน้ำมีความหนาแน่นสูงกว่าที่ระดับน้ำด้านล่าง ซึ่งมีรูปแบบการแพร่กระจายเช่นเดียวกับที่ระดับผิวน้ำ

ต้นฤดูน้ำหลาก (สิงหาคม 2553)

*N. scintillans* มีความหนาแน่นเซลล์ 0-27,333 เซลล์ต่อลิตร โดยที่ระดับผิวน้ำและที่ระดับน้ำหนึ่งมีค่าอยู่ในช่วง 0-11,667 และ 0-2,600 เซลล์ต่อลิตร และมีค่าเฉลี่ยเท่ากับ  $5,288 \pm 5034$  และ  $8,096 \pm 8,667$  เซลล์ต่อลิตร ตามลำดับ ซึ่งในสถานี TN26 มีความหนาแน่นสูงสุดในครั้งนี้ โดยที่ระดับน้ำ 3 เมตรมีความหนาแน่นมากกว่าที่ระดับผิวน้ำในสถานีดังกล่าว และสถานีอื่น ๆ ส่วนในพื้นที่ตัวลำน้ำไม่พบการแพร่กระจายของเซลล์ *N. scintillans* การแพร่กระจายมีแนวโน้มหนาแน่นในพื้นที่ตอนนอกของปากแม่น้ำ เช่นเดียวกันทุกระดับความลึก



ภาพที่ 8 การแพร่กระจายของเซลล์ *Noctiluca scintillans* (เซลล์ต่อลิตร) ตามฤดูกาลปี 2552-2553  
 (เดือนพฤษภาคม 2552 (a-b) เดือนเมษายน 2553 (c-d) เดือนสิงหาคม 2553 (e-f)  
 เดือนพฤษภาคม 2553 (g-h))

กล่างฤดูน้ำหลาก (พฤษภาคม 2553)

*N. scintillans* มีความหนาแน่นเซลล์ 0-3,333 เซลล์ต่อลิตร โดยที่ระดับผิวน้ำและที่ระดับน้ำ 2 เมตร มีค่าอยู่ในช่วง 0-3,333 และ 0-200 เซลล์ต่อลิตร และมีค่าเฉลี่ยเท่ากับ  $584 \pm 1,348$  และ  $84 \pm 90$  เซลล์ต่อลิตร ตามลำดับ ในสถานี TN27 มีความหนาแน่นเซลล์สูงสุด โดยที่ระดับน้ำเหนือผิวดินต่อกัน (5 เมตร) ไม่พบเซลล์ *N. scintillans* แต่ในสถานี TN25 และ TN26 บังคับพบรการแพร่กระจายของเซลล์ในระดับดังกล่าวอยู่ อาจจะเนื่องจากอุณหภูมิและความเค็มที่สูงกว่าสองสถานีดังกล่าว และพบว่ามีระดับชาต้อาหารต่ำกว่าเล็กน้อย แต่พบคลอโรฟิลล์ เอ สูงกว่าในสถานี TN25 และ TN26 จึงอาจเป็นไปได้ว่ามีแพลงก์ตอนชนิดอื่นแพร่กระจายอยู่ เนื่องจากในครั้งนี้พบเซลล์ *N. scintillans* น้อยกว่าในครั้งอื่น ๆ มาก

การแพร่กระจายของเซลล์ *N. scintillans* ในพื้นที่ปากแม่น้ำท่าจีนในปี 2552-2553 มีความหนาแน่นอยู่ในช่วง 0-72,333 เซลล์ต่อลิตร โดยในพื้นที่ด้าวลำน้ำด้านในไม่พบการแพร่กระจายของเซลล์ *N. scintillans* แต่จากการสังเกตในช่วงฤดูแล้งน้ำหนึ่งเดือนน้ำขึ้นสูงสุดน้ำสามารถพบเซลล์ *N. scintillans* ในสถานีต่อนในของลำน้ำได้ โดยในช่วงฤดูแล้งพบความหนาแน่นสูงถึง 1,667 เซลล์ต่อลิตร น้ำแสดงถึงอิทธิพลของน้ำขึ้น-ลง มีบทบาทสำคัญอย่างมากในการแพร่กระจายของเซลล์ในพื้นที่ปากแม่น้ำท่าจีน เนื่องจากในช่วงน้ำลงจะได้รับอิทธิพลจากน้ำจืดค่อนข้างมาก ซึ่งเป็นสมบูรณ์ด้านการพัฒนาเซลล์เข้าไปในพื้นที่ดังกล่าว เซลล์จึงมักถูกผลักดันออกไปในพื้นที่ตอนนอก ประกอบกับในพื้นที่มีตะกอนทราย เป็นอุปสรรคในการสังเคราะห์ด้วยแสงแม้จะมีชาตุอาหารอยู่ในระดับสูงมากก็ตาม ก็ไม่เอื้ออำนวยของ *N. scintillans*

ตลอดช่วงการศึกษาพบว่าในช่วงฤดูแล้งมีความหนาแน่นของเซลล์ *N. scintillans* สูงสุด ในสถานี TN27 และในสถานีตอนนอก รองลงมาคือในช่วงต้นฤดูน้ำหลากร่องรอยและพบความหนาแน่นต่ำ ในช่วงฤดูน้ำหลากร่องรอยในปี 2553 มีความหนาแน่นน้อยกว่าในปี 2552 รูปแบบการแพร่กระจายแตกต่างกันในแต่ละครั้งที่ศึกษา แต่จะพบความหนาแน่นของเซลล์สูงในพื้นที่ด้านนอกสุดของ การศึกษาเสมอ ซึ่งนี้ให้เห็นว่าในพื้นที่ตอนนอกน้ำจะเป็นแหล่งกำเนิดของ *N. scintillans* ที่แพร่กระจายในพื้นที่ปากแม่น้ำทั้งหมด หรืออาจเป็นไปได้ว่าเซลล์ *N. scintillans* ถูกกระแสนำพาพามารวมตัวกันในบริเวณนี้

เมื่อเทียบกับรายงานการศึกษาริเวณปากแม่น้ำท่าจีนและชายฝั่งจังหวัดสมุทรสาครระหว่างปี 2546-2551 ซึ่งพบว่าบริเวณปากแม่น้ำ *N. scintillans* มีความหนาแน่นอยู่ระหว่าง 225-72,695 เซลล์ต่อลิตร ในฝั่งตะวันตกพบความหนาแน่นอยู่ระหว่าง 840-8,708 เซลล์ต่อลิตรและฝั่งตะวันออก (ด้านที่ติดกับบางปูเทียน) พบความหนาแน่นอยู่ระหว่าง 280-39,600 เซลล์ต่อลิตร ซึ่งในรายงานได้ระบุว่า *N. scintillans* เป็นแพลงก์ตอนที่เป็นสาเหตุหลักของปรากฏการณ์น้ำทะเลเปลี่ยนสีในบริเวณชายฝั่งจังหวัดสมุทรสาครเป็นประจำ (อัจฉราภรณ์; 2552 อ้างถึงรวมทรัพย์, 2549; ศูนย์วิจัยทรัพยากรทางทะเลและชายฝั่งอ่าวไทยตอนบน) ซึ่งสอดคล้องกับการศึกษาในครั้งนี้ที่พบเซลล์ *N. scintillans* ในทุกครั้งที่เก็บตัวอย่าง แต่จะมีความผันแปรของความหนาแน่นแตกต่างกันไป ส่วนการศึกษาของอัจฉราภรณ์ (2552) ในพื้นที่ชายฝั่งบ้านกระซ้าขาว จังหวัดสมุทรสาคร ซึ่งใกล้กับสถานี TN30 ใน การศึกษาครั้งนี้ ในช่วงเดือนมิถุนายน 2550-พฤษภาคม 2551 พบรูปเซลล์ *N. scintillans* หนาแน่นตั้งแต่ 877-33,470 เซลล์ต่อลิตร ซึ่งพบว่า *N. scintillans* ไม่ได้มีการ

แพร่กระจายตลอดทั้งปีในบริเวณนี้ โดยมีความหนาแน่นสูงสุดในเดือนพฤษภาคม ซึ่งสอดคล้องกับการศึกษาในครั้งนี้ที่พบ *N. scintillans* หนาแน่นในช่วงฤดูแล้งเช่นเดียวกัน

สำหรับพื้นที่อื่น ๆ ในอ่าวไทยตอนบนมีรายงานพบเซลล์ *N. scintillans* ในพื้นที่ชายฝั่งจังหวัดสมุทรสงคราม พบรความหนาแน่น 1,013-5,433 เซลล์ต่อลิตร ในปี 2546-2547 (รวมทั้งปี 2549) และ 411-12,669 เซลล์ต่อลิตร ในปี 2550-2551 (อัจฉราภรณ์, 2552) ส่วนในพื้นที่ฝั่งตะวันออกของอ่าวไทย มีรายงานในบริเวณอ่างศิลาในปี 2545-2546 พบร *N. scintillans* มีความหนาแน่นตั้งแต่ 91-18,733 เซลล์ต่อลิตร (Sriwoon, 2006)

## 2. การเปลี่ยนแปลงของปัจจัยสิ่งแวดล้อมทางน้ำตามพื้นที่ และฤดูกาล

ปัจจัยสิ่งแวดล้อมทางน้ำบริเวณปากแม่น้ำท่าจีนในช่วงเวลาที่ทำการสำรวจเดือนพฤษภาคม 2552-2553 เพื่อศึกษาการเปลี่ยนแปลงตามฤดูกาล ได้แก่ ฤดูแล้ง (เมษายน 2553) ต้นฤดูน้ำหลาก (สิงหาคม 2553) และกลางฤดูน้ำหลาก (พฤษภาคม 2552 และ 2553) และศึกษาความผันแปรในช่วงฤดูกาลเดียวกัน แสดงดังตารางที่ 5

ตารางที่ 5 ปัจจัยสิ่งแวดล้อมทางน้ำที่สำรวจในพื้นที่ปากแม่น้ำท่าจีน ในช่วงปี 2552-2553

Season	High-loading	Low-loading	Midium loading	High-loading
	period	period	period	period
Parameters	16 Nov 09	19 Apr 10	5 Aug 10	5 Nov 10
Water temperature (C)	29.24-32.01	30.50-33.40	29.82-31.28	26.04-28.12
Salinity (psu)	0.80-26.58	14.11-28.39	0.94-27.83	0.32-26.66
DO(mg/L)	0.88-9.20	0.50-12.01	0.62-5.28	0.09-9.63
pH	6.82-7.97	8.09-8.88	8.01-8.75	6.71-8.31
NH <sub>4</sub> <sup>+</sup> -N (μM)	11.82-61.49	6.05-75.60	14.74-74.84	21.32-68.06
NO <sub>2</sub> <sup>-</sup> +NO <sub>3</sub> <sup>-</sup> -N (μM)	0.29-6.25	0.08-8.01	0.16-1.11	2.89-12.18
Si(OH) <sub>4</sub> (μM)	32.19-102.45	29.98-83.94	39.20-104.70	39.72-68.01
PO <sub>4</sub> <sup>3-</sup> -P (μM)	0.64-6.43	0.10-13.79	0.20-20.09	1.52-6.89
Chlorophyll a (μg /L)	7.63-166.88	5.34-200.25	2.67-40.05	0.56-14.24
Cell density (cells/L)	0-2,4000	0-72,333	0-27,333	0-3,333

## 2.1 ปัจจัยสิ่งแวดล้อมทางกายภาพ

### 2.1.1 อุณหภูมิ

จากการศึกษาอุณหภูมิน้ำในพื้นที่ปากแม่น้ำท่าจีน พบว่าอุณหภูมิในบริเวณปากแม่น้ำมีลักษณะการเปลี่ยนแปลงตามพื้นที่ ดังนี้

ฤดูแล้ง (เมษายน 2553)

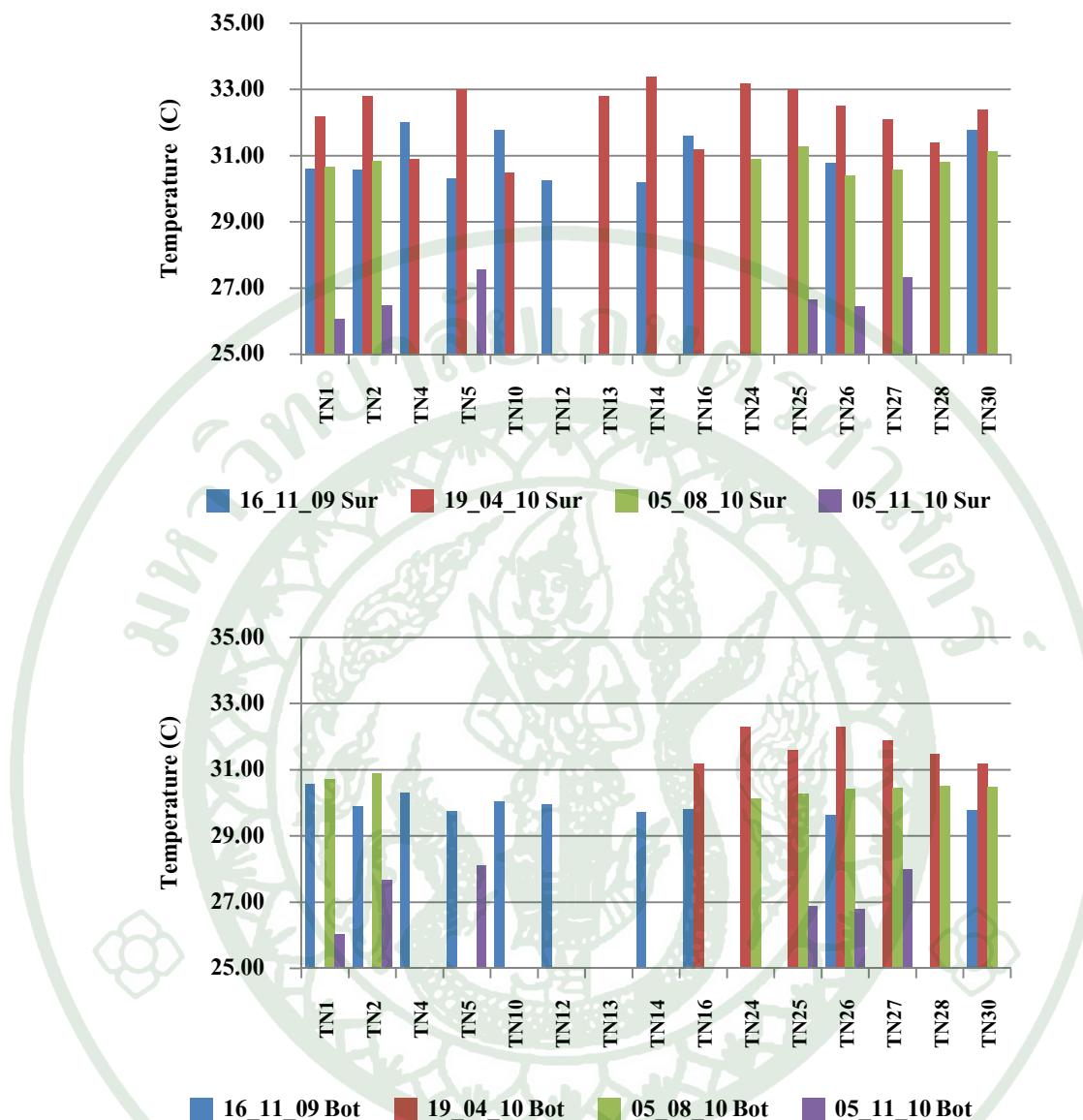
อุณหภูมิอยู่ระหว่าง 30.50-33.40 องศาเซลเซียส โดยที่ระดับผิวน้ำและระดับน้ำเหนือผิวดินตะกอนอุณหภูมิอยู่ในช่วง 30.50-33.40 และ 31.2-32.30 องศาเซลเซียส ซึ่งมีค่าเฉลี่ยเท่ากับ  $32.24 \pm 0.91$  และ  $31.71 \pm 0.47$  องศาเซลเซียส ตามลำดับ แสดงให้เห็นว่าในแต่ละระดับความลึกอุณหภูมิไม่มีความแตกต่างกัน

ต้นฤดูน้ำหลากราช (สิงหาคม 2553)

อุณหภูมิอยู่ระหว่าง 29.82-31.28 องศาเซลเซียส อุณหภูมิที่ระดับผิวน้ำและระดับน้ำเหนือผิวดินตะกอนอุณหภูมิอยู่ในช่วง 30.41-31.28 และ 30.14-30.91 องศาเซลเซียส โดยมีค่าเฉลี่ยเท่ากับ  $30.83 \pm 0.28$  และ  $30.49 \pm 0.24$  องศาเซลเซียส ตามลำดับ ซึ่งไม่มีความแตกต่างกันในความลึกทั้งสองระดับ

กลางฤดูน้ำหลากราช (พฤษจิกายน 2553)

มีอุณหภูมิอยู่ระหว่าง 29.24-32.01 องศาเซลเซียส อุณหภูมิที่ระดับผิวน้ำและระดับน้ำเหนือผิวดินตะกอนอุณหภูมิอยู่ในช่วง 26.07-27.77 และ 26.05-28.12 องศาเซลเซียส โดยมีค่าเฉลี่ยเท่ากับ  $27.00 \pm 0.61$  และ  $27.37 \pm 0.74$  องศาเซลเซียส ตามลำดับ



ภาพที่ 9 อุณหภูมิ (องศาเซลเซียส) ที่ระดับผิวน้ำ (ภาพบน) และพื้นที่ดินหน้าผึ่งติดตะกอน (ภาพล่าง) ในพื้นที่ปากแม่น้ำท่าจีนปี 2552-2553

เมื่อพิจารณาผลของอุณหภูมิในระยะเวลาที่ศึกษาตามฤดูกาลแล้ว พบว่าในช่วงฤดูแล้งอุณหภูมิมีค่าสูงกว่าในฤดูกาลอื่น โดยเฉพาะอย่างยิ่งที่ระดับผิวน้ำ โดยมีอุณหภูมิสูงสุดถึง 33.50 องศาเซลเซียส เมื่อเข้าสู่ช่วงกลางต้นฤดูน้ำหลากอุณหภูมิในบริเวณนี้ได้ลดระดับลงมา จนถึงในช่วงกลางฤดูน้ำหลากปี 2553 พบว่า อุณหภูมิลดลงต่ำสุดถึง 26.04 องศาเซลเซียส ซึ่งมีอุณหภูมิต่ำกว่าเมื่อเปรียบเทียบกับช่วงฤดูน้ำหลากปี 2552 จากการวิเคราะห์ผลทางสถิติด้วย One-way ANOVA

แสดงให้เห็นว่าอุณหภูมิมีความผันแปรตามฤดูกาล โดยอุณหภูมิมีความแตกต่างกันอย่างมีนัยสำคัญ ยิ่งทางสถิติที่ระดับความเชื่อมั่นร้อยละ 99

สำหรับในพื้นที่ปากแม่น้ำท่าจีนนั้น อุณหภูมิได้รับอิทธิพลหลักมาจากการอุณหภูมิของอากาศ โดยในช่วงเดือนเมษายน 2553 อุณหภูมิสูงสุดเฉลี่ยมีค่าถึง 37.4 องศาเซลเซียส ซึ่งทำให้อากาศร้อนที่สุดตั้งแต่มีการบันทึกข้อมูลมา (กรมอุตุนิยมวิทยา, 2553) และในแต่ละฤดูกาลพบว่ามีความแตกต่างของอุณหภูมิอากาศอย่างชัดเจน รวมถึงระดับความลึกของน้ำที่มีความแตกต่างกันในแต่ละครั้งที่ศึกษา โดยในเดือนเมษายนนั้นระดับน้ำในแต่ละสถานีต่ำกว่าครั้งอื่น ๆ เช่นในสถานี TN14 ซึ่งมีอุณหภูมิสูงสุดในการศึกษารั้งนี้ พบร่วมระดับน้ำมีความลึกเพียง 0.8 เมตรในสถานีดังกล่าว นอกจากนี้ปริมาณน้ำจีดที่เข้ามาน้อยในปากแม่น้ำน่าจะส่งผลต่ออุณหภูมิที่สูงขึ้นด้วย เช่นกัน ซึ่งสอดคล้องกับไนตรี และ จากรูรรม (2528) ที่กล่าวว่าการเปลี่ยนแปลงของอุณหภูมน้ำจะขึ้นอยู่กับสภาพภูมิอากาศ ฤดูกาล ระดับความสูง กระแสลม ความลึก ปริมาณสารแขวนลอย และสภาพแวดล้อมทั่วไปของแหล่งน้ำ

โดยภาพรวมจากผลการศึกษาในรอบปี 2552-2553 พบร่วมกับอุณหภูมิในพื้นที่ปากแม่น้ำท่าจีนผันแปรอยู่ในช่วง 26.04-33.40 องศาเซลเซียส เมื่อเปรียบเทียบกับการศึกษาของ จิตima และคณะ (2552) ในพื้นที่ปากแม่น้ำท่าจีนเดือนพฤษภาคม 2550-เมษายน 2551 พบร่วมกับอุณหภูมิอยู่ระหว่าง 25.0-33.3 องศาเซลเซียส ซึ่งใกล้เคียงกับการศึกษารั้งนี้ และจากการศึกษาของสำนักงานสิ่งแวดล้อมภาคที่ 5 (2552) ในพื้นที่แม่น้ำท่าจีนตอนล่างปี 2552 บริเวณสามเหลี่ยมเป็นสถานี TN1 ในการศึกษารั้งนี้ พบร่วมกับอุณหภูมิมีค่าอยู่ในช่วง 28.1-30.1 องศาเซลเซียส ซึ่งผันแปรน้อยกว่าอุณหภูมิในการศึกษารั้งนี้ (26.05-32.20 องศาเซลเซียส) ที่สถานีเดียวกัน

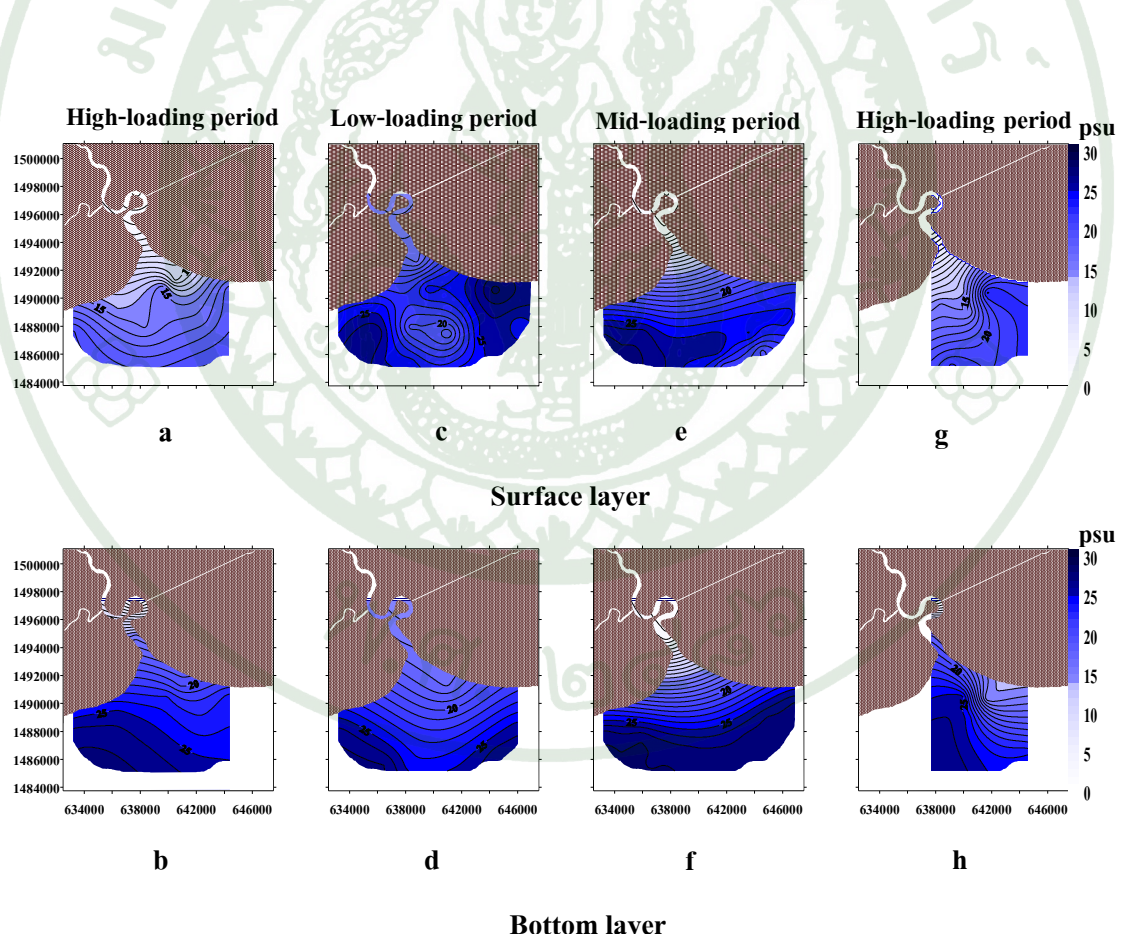
## 2.1 ปัจจัยสิ่งแวดล้อมทางเคมี

### 2.2.1 ความเค็ม

ความเค็มเป็นปัจจัยที่มีการผันแปรอย่างมากบริเวณปากแม่น้ำ เนื่องจากได้รับอิทธิพลจากการขึ้นลงของน้ำ และปริมาณน้ำท่าที่ไหลลงสู่ปากแม่น้ำ โดยความเค็มในพื้นที่ปากแม่น้ำท่าจีนมีความผันแปรดังต่อไปนี้

### ถลุง (เมษายน 2553)

ความเค็มในพื้นที่ปากแม่น้ำท่าเจินมีพิสัยอยู่ในช่วง 14.11-28.93 psu โดยที่ระดับผิวน้ำ มีค่าอยู่ระหว่าง 14.11-28.39 psu และมีค่าเฉลี่ยเท่ากับ  $22.04 \pm 4.40$  psu เนื่องจากช่วงเวลาที่เก็บตัวอย่างเป็นช่วงที่น้ำกำลังลง ทำให้โดยส่วนใหญ่แต่ละสถานีมีน้ำลึกไม่ถึง 3 เมตร ยกเว้นในแนวคันนอกสุดซึ่งพบว่าที่ระดับ 2 เมตร มีค่าอยู่ระหว่าง 14.11-26.95 psu และ มีค่าเฉลี่ยเท่ากับ  $23.19 \pm 5.20$  psu ความเค็มในช่วงถลุงนี้มีค่าสูงมากทั้งพื้นที่ โดยมีค่าต่ำสุดในสถานี TN1 ซึ่งอยู่ในตัวลำน้ำ โดยมีค่าสูงถึง 14.11 psu และคงว่าอิทธิพลจากน้ำท่ามีน้อยมากในช่วงนี้ แม้ว่าในช่วงเวลาที่เก็บตัวอย่างจะเป็นช่วงที่น้ำลงมากก็ตาม อิทธิพลจากปริมาณน้ำท่านี้จะส่งผลให้ความเค็มมีค่าลดลงในสถานีแนวร่องน้ำและสถานีใกล้เคียงมากกว่าสถานีในแนวนอก รวมถึงฝั่งด้านตะวันออกและตะวันตก



**ภาพที่ 10** การแพร่กระจายของความเค็ม (psu) ตามถลุงปี 2552-2553 เดือนพฤษจิกายน 2552 (a-b), เดือนเมษายน 2553 (c-d), เดือนสิงหาคม 2553 (e-f), เดือนพฤษจิกายน 2553 (g-h)

### ต้นฤดูน้ำหลาก(สิงหาคม 2553)

ความเค็มในพื้นที่ปากแม่น้ำท่าจีนมีพิสัยอยู่ในช่วง  $0.94-27.83 \text{ psu}$  โดยที่ระดับผิวน้ำและระดับน้ำเหนือผิวดินต่อกันมีค่าอยู่ระหว่าง  $0.94-26.93$  และ  $0.94-27.83 \text{ psu}$  ค่าเฉลี่ยทั้งสองระดับมีค่าเท่ากับ  $18.34 \pm 10.66$  และ  $21.12 \pm 12.09 \text{ psu}$  ตามลำดับ ในครั้งนี้ตรวจพบค่าความเค็มต่ำสุดในสถานี TN1 และสูงสุดในสถานีแวนออกที่ระดับน้ำเหนือผิวดินต่อกันซึ่งมีค่าใกล้เคียงกันในทุกสถานี ( $\bar{X} = 27.65 \pm 0.12$ ) โดยจะมีความแตกต่างของความเค็มในระบบบริเวณผิวน้ำ

### กลางฤดูน้ำหลาก (พฤษภาคม 2553)

ความเค็มในพื้นที่ปากแม่น้ำท่าจีนมีพิสัยอยู่ในช่วง  $0.32-26.66 \text{ psu}$  โดยที่ระดับผิวน้ำและระดับน้ำเหนือผิวดินต่อกันมีค่าอยู่ระหว่าง  $0.32-22.44$  และ  $0.35-26.66 \text{ psu}$  ค่าเฉลี่ยทั้งสองระดับมีค่าเท่ากับ  $13.45 \pm 10.30$  และ  $19.96 \pm 10.02 \text{ psu}$  ตามลำดับ ในครั้งนี้ตรวจพบความเค็มต่ำสุดในสถานี TN1 และมีค่าสูงขึ้นในสถานีตอนนอก โดยมีค่าสูงสุดที่ระดับน้ำเหนือผิวดินต่อกันณ สถานี TN27

ความเค็มในพื้นที่ปากแม่น้ำท่าจีนในรอบปี 2552-2553 มีค่าผันแปรอยู่ในช่วง  $0.80-29.00 \text{ psu}$  โดยมีค่าสูงสุดและต่ำสุดในช่วงกลางฤดูน้ำหลากปี 2552 แสดงถึงความผันแปรของความเค็มในพื้นที่นี้จะมีสูงในช่วงฤดูกาลตั้งแต่ต้น เนื่องจากช่วงฤดูน้ำหลากเป็นช่วงที่พื้นที่ปากแม่น้ำรับมวลน้ำจืดจากลำน้ำท่าจีนสูงกว่าในฤดูอื่น ส่งผลให้ความผันแปรมีสูงตามพื้นที่ โดยพื้นที่ตอนในช่วงเชื้อมต่อ กับ ตัวลำน้ำย้อมได้รับอิทธิพลจากน้ำจืด ส่งผลให้ความเค็มลดลงในพื้นที่ตอนในมากกว่าตอนนอกของปากแม่น้ำ ประกอบกับอิทธิพลของน้ำขึ้น-ลง ในรอบวันจึงส่งผลให้มีความแตกต่างของความเค็มที่บริเวณผิวน้ำและระดับน้ำเหนือผิวดินต่อกัน ส่วนในฤดูแล้งจะพบความผันแปรของความเค็มน้อยกว่าในฤดูกาลอื่น เนื่องจากได้รับมวลน้ำจืดน้อย ประมาณ 5.96 ล้านลูกบาศก์เมตร (กรมชลประทาน, 2555)

เมื่อวิเคราะห์ความแตกต่างของความเค็มในแต่ละฤดูกาลทางสถิติด้วย One-way ANOVA พบว่าความเค็มในพื้นที่ปากแม่น้ำท่าจีนมีความแตกต่างอย่างมีนัยสำคัญทางสถิติ ที่ระดับความเชื่อมั่นร้อยละ 95 ซึ่งยืนยันว่าฤดูกาลเป็นปัจจัยที่ส่งผลต่อความผันแปรของความเค็มในพื้นที่ปากแม่น้ำท่าจีน เนื่องจากในแต่ฤดูกาลมีปัจจัยสิ่งแวดล้อมหลายปัจจัยที่แตกต่างกันอย่าง

ชัดเจน โดยเฉพาะอย่างยิ่งปริมาณน้ำท่าซึ่งส่งผลต่อการเปลี่ยนแปลงความเค็มในพื้นที่ปากแม่น้ำอย่างมาก ดังที่ได้กล่าวไว้แล้วข้างต้น

จากผลการศึกษาค่าความเค็มในพื้นที่ปากแม่น้ำท่าจีนในการรวม เมื่อเปรียบเทียบกับการศึกษาที่ผ่านมาจากการศึกษาของ ฐิติมา และคณะ (2552) ในพื้นที่ปากแม่น้ำท่าจีนเดือนพฤษภาคม 2550-เมษายน 2551 พบว่าความเค็มน้ำอยู่ในช่วง 0.7-29.3 psu ซึ่งมีค่าใกล้เคียงกับการศึกษาในครั้งนี้ (0.80-29.00 psu) และจากการศึกษาของสำนักงานสิ่งแวดล้อมภาคที่ 5 (2552) ในพื้นที่แม่น้ำท่าจีนตอนล่างปี 2552 บริเวณศาลเจ้าซึ่งเป็นสถานี TN1 ในการศึกษาครั้งนี้ พบว่าความเค็มน้ำอยู่ในช่วง 3.10-14.67 psu ซึ่งใกล้เคียงกับค่าความเค็มจากในการศึกษาครั้งนี้ ซึ่งตรวจสอบความเค็มที่ต่างกว่าเล็กน้อย (0.80-14.11 psu) ที่สถานีเดียวกัน

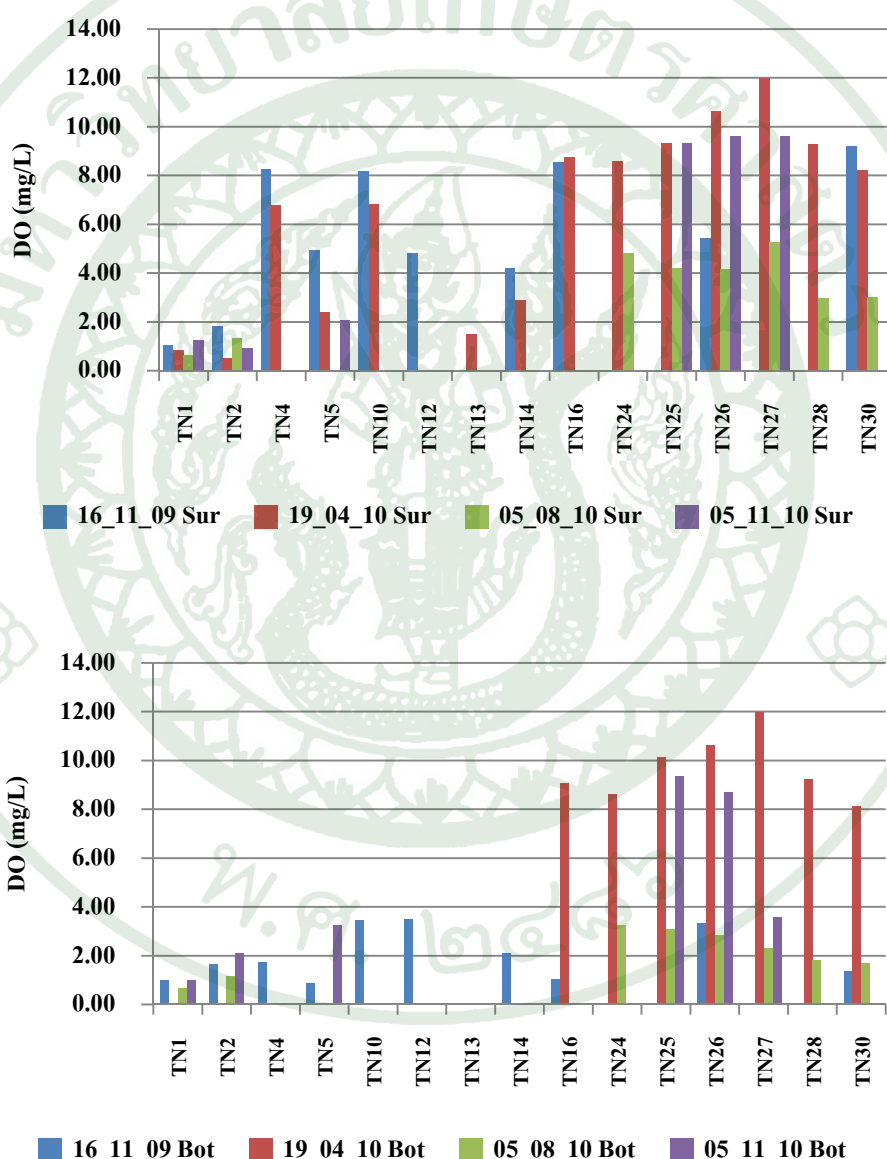
#### 2.2.2 ออกซิเจนละลายน้ำ

ออกซิเจนละลายน้ำถือเป็นปัจจัยสิ่งแวดล้อมอันดับแรก ๆ ที่นักวิจัยโดยทั่วไปให้ความสำคัญ เพื่อสำหรับใช้ประเมินสถานภาพของแหล่งน้ำ เนื่องจากสิ่งมีชีวิตทุกชนิดในระบบนิเวศจำเป็นต้องใช้ออกซิเจนในกระบวนการต่าง ๆ เพื่อก่อให้เกิดพลังงาน ออกซิเจนจึงเป็นปัจจัยที่เกี่ยวเนื่องกับสิ่งมีชีวิตในแหล่งน้ำเป็นอย่างมาก และมักจะมีการเปลี่ยนแปลงเนื่องจากสิ่งมีชีวิตเป็นหลัก จึงเป็นปัจจัยที่สามารถสะท้อนถึงสภาพของระบบและสิ่งมีชีวิตในแหล่งน้ำนั้น ๆ ได้ โดยปริมาณออกซิเจนในพื้นที่ปากแม่น้ำท่าจีนจากการศึกษาและติดตามในช่วงกลางฤดูน้ำหลาก (พฤษภาคม-ธันวาคม 2552) และฤดูกาลอื่น ๆ ในรอบปี (2552-2553) มีรายละเอียดเป็นดังนี้

#### ฤดูแล้ง (เมษายน 2553)

ค่าออกซิเจนละลายน้ำอยู่ในช่วง 0.50-12.01 มิลลิกรัมต่อลิตร โดยที่ระดับผิวน้ำ และระดับน้ำที่ 2 เมตร มีค่าอยู่ระหว่าง 0.50-12.01 และ 8.13-11.99 มิลลิกรัมต่อลิตร ค่าเฉลี่ยทั้งสองระดับมีค่าเท่ากับ  $6.33 \pm 3.91$  และ  $9.70 \pm 1.32$  มิลลิกรัมต่อลิตร ตามลำดับ ในครั้งนี้พบว่าค่าออกซิเจนละลายน้ำมีค่าสูงมาก โดยเฉพาะอย่างยิ่งในสถานีแนวอกสุด (TN24-TN30) พบว่าปริมาณออกซิเจนละลายน้ำมีค่าสูงจนเกินจุดอิ่มตัวค่อนข้างมาก ซึ่งมีค่าเฉลี่ยเท่ากับ  $9.68 \pm 1.33$  มิลลิกรัมต่อลิตร ในพื้นที่ฝั่งตะวันตกในสถานี rim ฝั่งกีบพบว่ามีค่าออกซิเจนละลายน้ำสูงใกล้เคียงกัน ส่วนในพื้นที่ฝั่งตะวันออก (TN4 และ TN10) ปริมาณออกซิเจนละลายน้ำจะลดระดับลงมาเหลือกว่าในพื้นที่

ตอนนอกแต่ก็ถือว่าอยู่ในระดับที่สูง โดยมีค่าประมาณ 6.8 มิลลิกรัมต่อลิตร และพบว่าในตัวลำน้ำท่าจีนมีปริมาณออกซิเจนต่ำมาก รวมถึงในสถานีร่องน้ำและตอนกลางของปากแม่น้ำด้วย (TN5 13 และ TN14) แสดงถึงอิทธิพลของน้ำจืดส่งผลให้ปริมาณออกซิเจนลดต่ำลงในพื้นที่ปากแม่น้ำเนื่องจากในแนวร่องน้ำมักจะได้รับอิทธิพลจากน้ำจืดมากกว่าพื้นที่อื่น ๆ ของปากแม่น้ำ ประกอบกับในช่วงเวลาดังกล่าวเป็นช่วงที่น้ำลงต่ำสุดของวัน จึงทำให้ได้รับอิทธิพลมากนั่นเอง



ภาพที่ 11 ออกซิเจนละลายน้ำ (มิลลิกรัมต่อลิตร) ที่ระดับผิวน้ำ (ภาพบน) และพื้นท้องน้ำเหนือพิโนดินตะกอน (ภาพล่าง) พื้นที่ปากแม่น้ำท่าจีนในปี 2552-2553

### ต้นฤดูน้ำหลากร (สิงหาคม 2553)

ค่าออกซิเจนละลายน้ำอยู่ในช่วง 0.62-5.28 มิลลิกรัมต่อลิตร โดยที่ระดับผิวน้ำ และระดับน้ำเหนือผิวดินต่อกันมีค่าอยู่ระหว่าง 0.62-5.28 และ 0.67-3.26 มิลลิกรัมต่อลิตร ค่าเฉลี่ยทั้งสองระดับมีค่าเท่ากับ  $5.86 \pm 2.90$  และ  $2.11 \pm 0.93$  มิลลิกรัมต่อลิตร ตามลำดับ โดยออกซิเจนละลายน้ำที่ระดับผิวน้ำมีปริมาณสูงกว่าที่ระดับน้ำเหนือผิวดินต่อกัน ซึ่งตรวจพบค่าสูงสุดในสถานี TN27 และต่ำสุดในสถานี TN1 ที่เป็นสถานีในตัวลำน้ำ โดยค่าออกซิเจนละลายน้ำมีแนวโน้มสูงขึ้น ในพื้นที่แนวนอกของปากแม่น้ำ

### กลางฤดูน้ำหลากร (พฤศจิกายน 2553)

ค่าออกซิเจนละลายน้ำอยู่ในช่วง 0.09-9.63 มิลลิกรัมต่อลิตร โดยที่ระดับผิวน้ำ และระดับน้ำเหนือผิวดินต่อกันมีค่าอยู่ระหว่าง 0.93-9.63 และ 1.0-9.36 มิลลิกรัมต่อลิตร ค่าเฉลี่ยทั้งสองระดับมีค่าเท่ากับ  $5.47 \pm 4.46$  และ  $4.67 \pm 3.51$  มิลลิกรัมต่อลิตร ตามลำดับ โดยตรวจพบค่าสูงสุดในสถานี TN26 และต่ำสุดในสถานี TN2 ที่ระดับผิวน้ำ ซึ่งเมื่อตรวจวัดตามระดับความลึกพบว่าในสถานี TN2 ออกซิเจนละลายน้ำมีแนวโน้มเพิ่มขึ้นตามระดับความลึก แต่ในสถานี TN1 กับน้ำที่ระดับความลึก 10 เมตร ออกซิเจนละลายน้ำลดต่ำลงเหลือเพียง 0.09 มิลลิกรัมต่อลิตร ทั้งนี้น่าจะเนื่องมาจากความลึกในสถานี TN1 มีมากถึง 17 เมตร ส่งผลให้การแพร่ผ่านของออกซิเจนจากอากาศเป็นไปได้ยาก และในระดับน้ำที่มีความลึกมากเข่นนี้ ปริมาณของผู้แพลิต โดยเฉพาะอย่างยิ่งแพลงก์ตอนพืชยื่อมมีน้อยลงด้วยเห็นกัน แต่ในทางตรงกันข้ามแบบที่เรียกว่าออกซิเจนไปใช้กับมีมาก เนื่องจากสถานีดังกล่าวมีปริมาณสารอินทรีย์อยู่ในระดับที่สูงมากนั่นเอง ส่วนค่าออกซิเจนละลายน้ำในพื้นที่ตอนนอกน้ำมีแนวโน้มสูงขึ้นและสูงจนเกินจุดอิ่มตัว

เมื่อเปรียบเทียบการเปลี่ยนแปลงตามฤดูกาลของค่าออกซิเจนละลายน้ำในพื้นที่ปากแม่น้ำท่าจีนพบว่ามีค่าผันแปรอยู่ในช่วง 0.09-12.01 มิลลิกรัมต่อลิตร โดยตรวจพบค่าต่ำสุดในฤดูน้ำหลากรปี 2553 และสูงสุดในฤดูแล้ง ซึ่งในช่วงกลางต้นฤดูน้ำหลากรค่าออกซิเจนจะมีค่าต่ำกว่าในฤดูกาลแล้ง เมื่อทดสอบความแตกต่างทางสถิติด้วย One-way ANOVA พบว่าในช่วงกลางต้นฤดูน้ำหลากรและฤดูแล้งมีความแตกต่างกันอย่างมีนัยสำคัญทางสถิติ ที่ระดับความเชื่อมั่นร้อยละ 95 ในภาพรวมออกซิเจนละลายน้ำมีแนวโน้มในแต่ลีนที่คล้ายคลึงกัน โดยจะมีค่าสูงในพื้นที่ตอนนอก

ของปากแม่น้ำรวมถึงสถานีที่อยู่ริมฝั่งทั้งตะวันออกและตะวันตก และพบมีค่าลดลงในพื้นที่ตอนกลางของปากแม่น้ำ ซึ่งตรวจพบค่าต่ำสุดในสถานีที่ตั้งอยู่ในตัวลำน้ำ เนื่องจากอิทธิพลของน้ำจีดส่งผลให้ออกซิเจนลดลง โดยเฉพาะอย่างยิ่งพื้นที่ที่มีสารอินทรีย์สูงดังเช่นสถานี TN1 และ TN2

นอกจากนี้ยังพบว่าค่าออกซิเจนละลายน้ำที่ระดับผิวน้ำและระดับน้ำหนึ่งอัตราคิดเป็น 0.50-12.01 มิลลิกรัมต่อลิตร และมีค่าเฉลี่ยเท่ากับ  $5.61 \pm 3.33$  มิลลิกรัมต่อลิตร ส่วนที่ระดับน้ำหนึ่งอัตราคิดเป็น 0.09-11.99 มิลลิกรัมต่อลิตร และมีค่าเฉลี่ยเท่ากับ  $3.25 \pm 2.47$  มิลลิกรัมต่อลิตร โดยที่ระดับผิวน้ำมีปริมาณออกซิเจนสูงกว่าที่ระดับน้ำหนึ่งอัตราคิดเป็น 0-10.4 มิลลิกรัมต่อลิตร ซึ่งมีค่าใกล้เคียงกับการศึกษาในครั้งนี้ ( $0.09-12.01$  มิลลิกรัมต่อลิตร) โดยการศึกษาครั้งนี้มีค่าสูงกว่าเล็กน้อยเนื่องจากสถานีในการเก็บตัวอย่างออกไซเจนในพื้นที่ตอนบนอยู่ห่างจากแม่น้ำมากกว่าที่ในครั้งนี้ ( $0.09-11.99$  มิลลิกรัมต่อลิตร) ได้แก่แพลงก์ตอนพืชน้ำจะพบในบริเวณผิวน้ำมากกว่าที่ระดับน้ำด้านล่าง ทำให้ออกซิเจนบริเวณผิวน้ำมากกว่าอย่างชัดเจน

ปริมาณออกซิเจนละลายน้ำเมื่อเปรียบเทียบกับการศึกษาของ ฐิติมา และคณะ (2552) ในพื้นที่ปากแม่น้ำท่าเจินเดือนพฤษภาคม 2550-เมษายน 2551 พบว่าออกซิเจนละลายน้ำมีค่าอยู่ในช่วง 0-10.4 มิลลิกรัมต่อลิตร ซึ่งมีค่าใกล้เคียงกับการศึกษาในครั้งนี้ ( $0.09-12.01$  มิลลิกรัมต่อลิตร) โดยการศึกษาครั้งนี้มีค่าสูงกว่าเล็กน้อยเนื่องจากสถานีในการเก็บตัวอย่างออกไซเจนในพื้นที่ตอนบนอยู่ห่างจากแม่น้ำมากกว่า ซึ่งการศึกษาของ ฐิติมา และคณะ (2552) ยังยืนยันอีกว่าในสถานีที่ตั้งอยู่ห่างจากแม่น้ำมากกว่า 0.5 กิโลเมตร มีค่าออกซิเจนละลายน้ำสูง เนื่องจากเป็นช่วงที่แพลงก์ตอนรวมตัวกันส่งผลให้ออกซิเจนในบริเวณดังกล่าวสูงขึ้น และยังพบว่าในต้นฤดูน้ำหลากจะมีค่าออกซิเจนละลายน้ำต่ำกว่าในช่วงฤดูแล้ง เนื่องจากได้รับอิทธิพลจากน้ำจีด ซึ่งสอดคล้องกับการศึกษาในครั้งนี้ และจากการศึกษาของ สำนักงานสิ่งแวดล้อมภาคที่ 5 (2552) ในพื้นที่แม่น้ำท่าเจินตอนล่างปี 2552 บริเวณศาลเจ้าซึ่งเป็นสถานี TN1 ใน การศึกษาครั้งนี้ พบว่าออกซิเจนละลายน้ำมีค่าอยู่ในช่วง 1.00-6.30 มิลลิกรัมต่อลิตร ซึ่งสูงกว่าค่าออกซิเจนละลายน้ำจากการตรวจวัดในการศึกษาครั้งนี้ที่สถานีเดียวกัน ( $0.62-2.28$  มิลลิกรัมต่อลิตร) ส่วนค่าออกซิเจนละลายน้ำจากการสำรวจสภาพแวดล้อมและคุณภาพน้ำพื้นฐานพื้นที่ชายฝั่งทั่วประเทศในปี 2552-2553 พบว่าค่าออกซิเจนละลายน้ำมีค่าผันแปรอยู่ในช่วง  $0.96-5.45$  มิลลิกรัมต่อลิตร ซึ่งพบว่าออกซิเจนละลายน้ำมีค่าสูงในเดือนเมษายน (ฤดูแล้ง) และลดต่ำลงในเดือนสิงหาคม (กลางต้นฤดูน้ำหลาก) เช่นเดียวกับการศึกษาในครั้งนี้

### 2.2.3 ค่าความเป็นกรดเป็นด่าง

ค่าความเป็นกรดเป็นด่าง เป็นปัจจัยที่มีความสำคัญในแหล่งน้ำ โดยเฉพาะอย่างยิ่งแหล่งน้ำที่มีความเค็มดังเช่นปากแม่น้ำท่าจีนแห่งนี้ เนื่องจากค่าความเป็นกรดเป็นด่างจะมีคุณสมบัติเป็นบัฟเฟอร์ และยังสามารถดูดซับอิทธิพลของน้ำจืดในพื้นที่ปากแม่น้ำได้ โดยพื้นที่ปากแม่น้ำท่าจีนมีค่าความเป็นกรดเป็นด่างตั้งรายละเอียดต่อไปนี้

ฤดูแล้ง (เมษายน 2553)

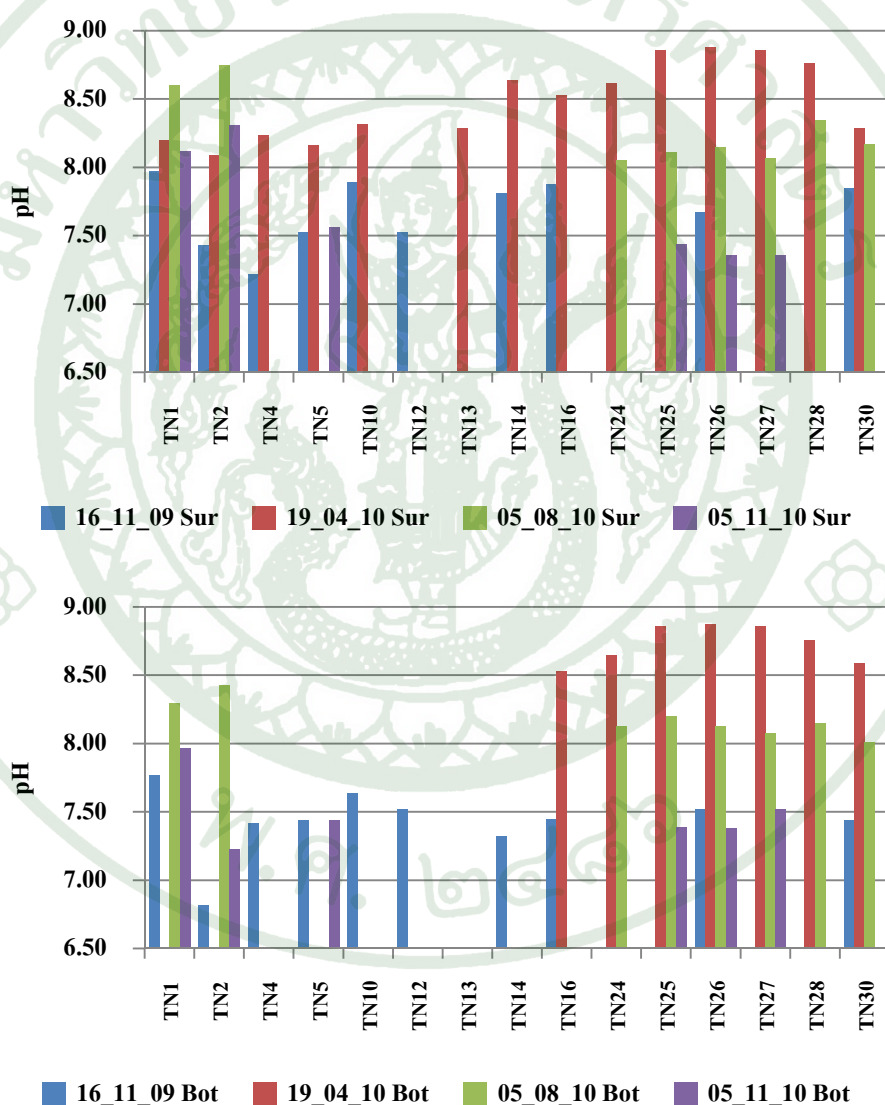
ความเป็นกรดเป็นด่างมีค่าอยู่ในช่วง 8.09-8.88 ซึ่งบริเวณพิวน้ำและระดับน้ำหนึ่งอัตราคงอนมีค่า 8.09-8.88 และ 8.53-8.88 ซึ่งมีค่าเฉลี่ยเท่ากับ  $8.48 \pm 0.29$  และ  $8.73 \pm 0.14$  ตามลำดับ ในสถานีต่อนอกของปากแม่น้ำพบว่ามีค่าความเป็นกรดเป็นด่างสูงกว่าในสถานีต่อนในเล็กน้อย เนื่องจากพื้นที่ตอนนอกมีการแพร่กระจายของแพลงก์ตอนพืชอยู่อย่างหนาแน่น ซึ่งกระบวนการสังเคราะห์แสงที่มีมากขึ้นและอุณหภูมิที่สูงขึ้นนั้นส่งผลให้ความเป็นกรดเป็นด่างมีค่าสูงขึ้นด้วยจากการที่เมืองตากลิซึ่งสูงขึ้นการนำคาร์บอน dioxide ไปใช้จึงสูงขึ้นด้วย (สุรัจนา, 2550)

ต้นฤดูน้ำหลาก (สิงหาคม 2553)

ความเป็นกรดเป็นด่างมีค่าอยู่ในช่วง 8.01-8.75 ซึ่งบริเวณพิวน้ำและระดับน้ำหนึ่งอัตราคงอนมีค่า 8.05-8.75 และ 8.01-8.43 ซึ่งมีค่าเฉลี่ยเท่ากับ  $8.28 \pm 0.26$  และ  $8.18 \pm 0.13$  ตามลำดับ ความเป็นกรดเป็นด่างในสถานีต่อนในของลำน้ำ (TN1 และ TN2) มีค่าสูงกว่าพื้นที่ตอนนอก ทั้งนี้เนื่องมาจากในพื้นที่ตอนนอกมีการสะสมพืชพันธุ์ N. scintillans อย่างหนาแน่นในครั้งนี้ ซึ่งกำลังอยู่ในช่วงระยะสายตัว จึงส่งผลให้แอมโมเนียม-ไนโตรเจน ที่อยู่ภายในเซลล์ N. scintillans มีโอกาสออกมายานอกได้ส่งผลให้ค่าความเป็นกรดเป็นด่างในมวลน้ำลดลงได้นั่นเอง

### กล่างกุญช์หาลาก (พุศจิกายน 2553)

ความเป็นกรดเป็นด่างมีค่าอยู่ในช่วง 6.71-8.31 ซึ่งบริเวณผิวน้ำและระดับน้ำเหนือผิวดินตะกอนมีค่า 7.36-8.31 และ 6.71-7.38 ซึ่งมีค่าเฉลี่ยเท่ากับ  $7.69 \pm 0.42$  และ  $7.49 \pm 0.25$  ตามลำดับ ความเป็นกรดเป็นด่างที่บริเวณผิวน้ำมีค่าสูงกว่าระดับน้ำที่อยู่ลึกลงไปในสถานีต่อนในของลำน้ำ (TN 1 และ TN2) เนื่องจากระดับน้ำด้านล่างมีการย่อยสลายสูงกว่าที่ผิวน้ำ



ภาพที่ 12 ความเป็นกรดเป็นด่างที่ระดับผิวน้ำ (ภาพบน) และพื้นท้องน้ำเหนือผิวดินตะกอน (ภาพล่าง) พื้นที่ปากแม่น้ำท่าจีนในปี 2552-2553

ค่าความเป็นกรดเป็นด่างในพื้นที่ปากแม่น้ำท่าจีนมีค่าผันแปรอยู่ในช่วง 6.71-8.88 เมื่อเปรียบเทียบผลการศึกษาในแต่ละฤดูกาลพบว่าความเป็นกรดเป็นด่างต่ำมีค่าสูง ในช่วงฤดูแล้ง ส่วนในช่วงฤดูน้ำหลากนั้นจะมีค่าความเป็นกรดเป็นด่างต่ำกว่าในฤดูกาลอื่น ๆ เนื่องจากในช่วงดักกล่าวมีปริมาณน้ำจืดไหลเข้าสู่ปากแม่น้ำจำนวนมาก ซึ่งจะนำสารอินทรีย์เข้ามา สูง เช่นเดียวกัน จึงเกิดกระบวนการย่อยสลายสารอินทรีย์มากขึ้นตามไปด้วยโดยการสลายตัวของ สารอินทรีย์เหล่านี้ น่าจะทำให้เกิดกรดอินทรีย์ และทำให้ค่าความเป็นกรดเป็นด่างในน้ำลดลงได้ และเมื่อทำการทดสอบความแตกต่างทางสถิติพบว่า ในช่วงฤดูน้ำหลากมีค่าความเป็นกรดเป็นด่าง ต่างจากในฤดูแล้งและช่วงกลางต้นฤดูน้ำหากอย่างมีนัยสำคัญยิ่งทางสถิติ ที่ระดับความเชื่อมั่นร้อย ละ 99

นอกจากนี้ความเข้มข้นของคาร์บอนไดออกไซด์ที่ละลายในน้ำก็มีส่วนทำให้ ความเป็นกรดเป็นด่างของน้ำเปลี่ยนแปลงไปด้วย โดยแพลงก์ตอนพืชจะใช้คาร์บอนไดออกไซด์ เพื่อการสังเคราะห์แสงในตอนกลางวันทำให้ความเป็นกรดเป็นด่างของน้ำสูงขึ้นและลดลงในตอน กลางคืน เมื่อจากการบันทึกไดออกไซด์ถูกปลดปล่อยออกจากบวนการหายใจและการย่อยสลาย สารอินทรีย์ของลิงมีชีวิตในน้ำ ดังนั้นในสถานีที่พบแพลงก์ตอนพืชอย่างหนาแน่นมากจะพบว่ามี ความเป็นกรดเป็นด่างสูงขึ้น ดังเช่นสถานีในพื้นที่ตอนนอกของปากแม่น้ำ แต่สำหรับในพื้นที่ที่พบ การสะพรั่งของแพลงก์ตอนพืชชนิด *N.scintillans* นั้น จะพบว่าในระยะสลายตัวหลังเกิดการสะพรั่ง จะมีค่าความเป็นกรดเป็นด่างลดต่ำลง เนื่องจากแอมโมเนียม-ในไตรเจนภายในเซลล์ ออกมาน้ำ ภายนอกเนื่องจากการตายของเซลล์นั้นเอง ดังจะเห็นได้จากในช่วงกลางต้นฤดูน้ำหาก

เมื่อเปรียบเทียบผลการศึกษาในครั้งนี้กับการศึกษาของ ฐิตima และคณะ (2552) ในพื้นที่ปากแม่น้ำท่าจีนเดือนพฤษภาคม 2550-เมษายน 2551 พบว่าค่าความเป็นกรดเป็นด่างมีค่า ผันแปรอยู่ระหว่าง 6.8-8.8 ซึ่งใกล้เคียงกับการศึกษาในครั้งนี้ (6.82-8.75) และการศึกษาของ สำนักงานสิ่งแวดล้อมภาคที่ 5 (2552) ในพื้นที่แม่น้ำท่าจีนตอนล่างปี 2552 บริเวณคลองเจ้าซึ่งเป็น สถานี TN1 ในการศึกษาครั้งนี้ พบว่ามีค่าอยู่ในช่วง 6.74-7.30 ซึ่งมีแนวโน้มต่ำกว่าในการศึกษาครั้ง นี้ (7.03-8.60) ซึ่งน่าจะมีอิทธิพลจากการขึ้นลงของน้ำทะเลในช่วงเวลาการเก็บตัวอย่างที่แตกต่างกัน

ปากแม่น้ำท่าจีนหรือแม่น้ำท่าจีนตอนล่างถูกจัดให้เป็นแหล่งน้ำผิวดินประเภทที่ 4 ใช้สำหรับเพื่อการนันทนาการตั้งแต่ปี 2547 ซึ่งอยู่ในสภาพเสื่อมโทรมมาก (กรมควบคุมมลพิษ, 2547) ซึ่งในปี 2552 สำนักจัดการคุณภาพน้ำ ได้ทำการประเมินคุณภาพน้ำชายฝั่งทั่วประเทศจาก

ดัชนีคุณภาพน้ำทะเล พบร้าปากแม่น้ำท่าเจินเป็นแหล่งน้ำที่จัดอยู่ในระดับเสื่อมโทรมมากเช่นเดิม (กรมควบคุมมลพิษ, 2555) รวมถึงผลการศึกษาครั้งนี้ในช่วงระยะเวลาสำรวจตั้งแต่เดือน พฤษภาคม 2552-2553 ที่ยังคงยืนยันว่าปากแม่น้ำท่าเจินยังคงมีสภาวะเสื่อมโทรมเช่นเดียวกัน โดยออกซิเจนละลายน้ำที่ทำการตรวจวัดมีค่าผันแปรสูงตั้งแต่  $0.09-12.01$  มิลลิกรัมต่อลิตร ซึ่งการผันแปรของค่าออกซิเจนละลายน้ำดังกล่าวจะส่งผลกระทบในทางลบต่อสิ่งมีชีวิตในแหล่งน้ำ โดยเฉพาะอย่างยิ่งในช่วงเวลากลางคืนซึ่งมีการใช้ออกซิเจนในการหายใจของสิ่งมีชีวิตทุกชนิดในแหล่งน้ำ ทำให้อาจเกิดสภาวะการขาดออกซิเจน ได้ และในสถานีตอนในพบว่ามีปริมาณออกซิเจนละลายน้ำต่ำกว่าค่ามาตรฐานคุณภาพน้ำทะเลอยู่มาก (ไม่น้อยกว่า  $4$  มิลลิกรัมต่อลิตร) ซึ่งสภาวะดังกล่าวส่งผลต่อปัจจัยสิ่งแวดล้อมอื่น ๆ ในพื้นที่ เช่น ความเป็นกรดเป็นด่าง ที่ผันแปรไปจากปริมาณคาร์บอนไดออกไซด์ที่ผันแปรในแหล่งน้ำ เป็นต้น โดยอุณหภูมิที่มีแนวโน้มสูงขึ้นนั้นก็เป็นปัจจัยหนึ่งที่กระตุ้นกระบวนการต่าง ๆ ให้เกิดเร็วขึ้น อาทิ กระบวนการย่อยสลายสารอินทรีย์ กระบวนการสังเคราะห์แสงของแพลงก์ตอนพืช ซึ่งล้วนส่งผลกระทบต่อสมดุลของระบบนิเวศปากแม่น้ำท่าเจินอย่างมาก

#### 2.2.4 ชิลิกेट-ชิลิคอน

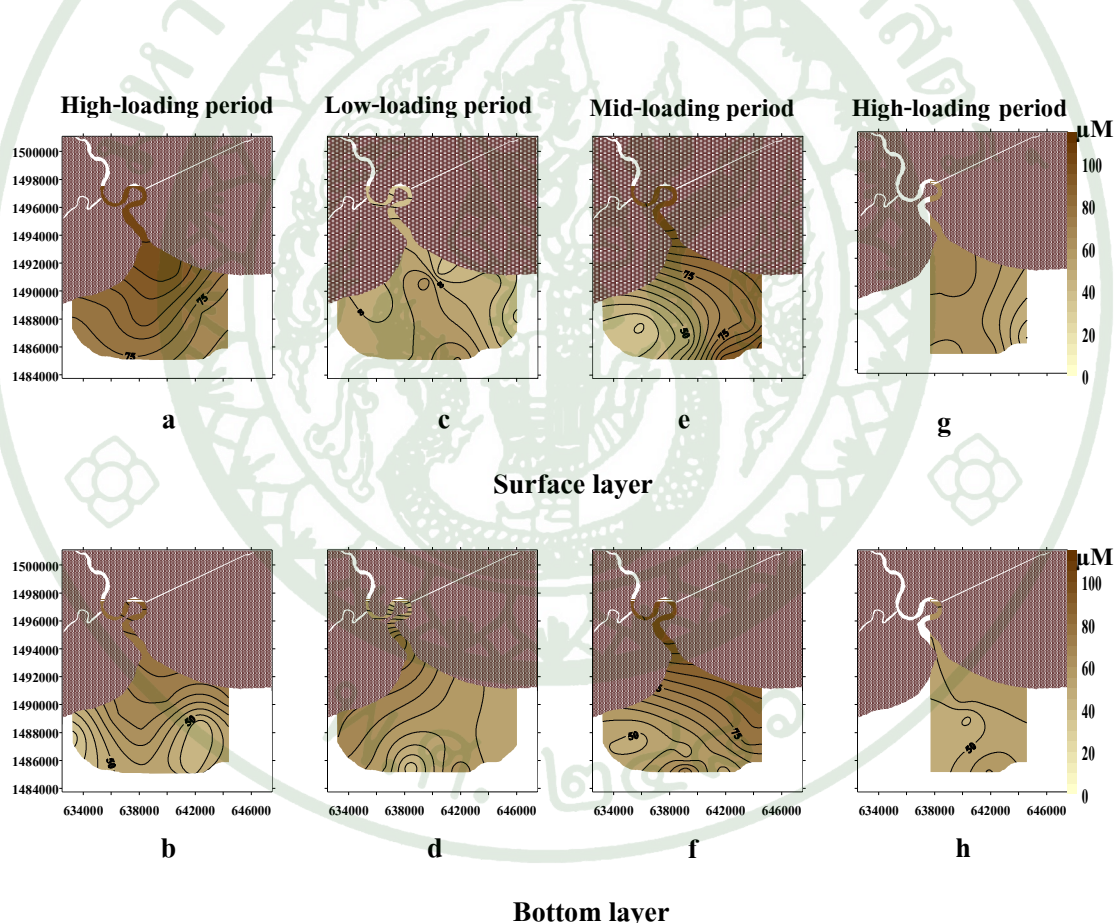
ชิลิกेट-ชิลิคอน เป็นธาตุอาหารที่มีปริมาณสูงในแหล่งน้ำ เนื่องจากแหล่งที่มาของชิลิกेट-ชิลิคอน นั้นมาจากการกัดเซาะและชะล้างของแม่น้ำจากน้ำที่ไหลลงมาสู่แหล่งน้ำ แม่น้ำ ชิลิกेट-ชิลิคอน จึงเป็นปัจจัยที่สังท้อนถึงการเข้ามาของมวลน้ำจืดในพื้นที่ปากแม่น้ำได้ โดยในพื้นที่ปากแม่น้ำท่าเจินนั้นมีปริมาณของชิลิกेट-ชิลิคอน ดังรายละเอียดดังไปนี้

#### ดูดัด (เมษายน 2553)

ความเข้มข้นของชิลิกेट-ชิลิคอน ในพื้นที่ปากแม่น้ำท่าเจินมีค่าอยู่ระหว่าง  $29.98-83.94$  ไมโครโมลาร์ โดยที่ระดับผิวน้ำและระดับน้ำเหนือผิวดินตะกอนมีค่าอยู่ในช่วง  $29.98-75.18$  และ  $34.13-83.94$  ไมโครโมลาร์ ซึ่งมีค่าเฉลี่ยเท่ากับ  $50.83 \pm 12.39$  และ  $55.75 \pm 16.77$  ไมโครโมลาร์ ตามลำดับ ชิลิกेट-ชิลิคอน มีค่าสูงสุดในสถานี TN2 และต่ำสุดในสถานี TN1 เนื่องจากมีมวลน้ำบางส่วนที่รับมาจากคลองมหาชัย เมื่อทดสอบความแตกต่างทางสถิติพบว่าปริมาณชิลิกेट-ชิลิคอน ที่ระดับผิวน้ำและระดับน้ำเหนือผิวดินตะกอนมีความแตกต่างกันอย่างมีนัยสำคัญทางสถิติ ที่ระดับความเชื่อมั่นร้อยละ  $95$

### ต้นฤดูน้ำหลาก (สิงหาคม 2553)

ความเข้มข้นของซิลิกेट-ซิลิคอน ในพื้นที่ปากแม่น้ำท่าจีนมีค่าอยู่ระหว่าง 39.20-104.23 ไมโครโมลาร์ โดยที่ระดับผิวน้ำและระดับน้ำหนึ่งห้านือพิวดินตะกอนมีค่าอยู่ในช่วง 36.72-78.88 และ 50.73-104.70 ไมโครโมลาร์ ซึ่งมีค่าเฉลี่ยเท่ากับ  $80.34 \pm 29.88$  และ  $75.87 \pm 23.80$  ไมโครโมลาร์ ตามลำดับ ซิลิกेट-ซิลิคอน มีค่าสูงสุดในสถานี TN1 และ TN2 ซึ่งสถานีดังกล่าวไม่มีความแตกต่าง ตามระดับความลึก และแนวโน้มลดลงในสถานีตอนออก ซึ่งมีค่าต่ำสุดในสถานี TN30 ซึ่งในครั้งนี้พบว่าในฝั่งตะวันออกของปากแม่น้ำมีความเข้มข้นของซิลิกेट-ซิลิคอน สูงขึ้นมาอย่างชัดเจน ซึ่งน่าจะเนื่องมาจากการปล่อยน้ำจากอุ่นกุ้งที่มีจำนวนมากในบริเวณชายฝั่งตะวันออก



ภาพที่ 13 การแพร่กระจายของซิลิกेट-ซิลิคอน (ไมโครโมลาร์) ตามฤดูกาลปี 2552-2553

เดือนพฤษภาคม 2552 (a-b) เดือนเมษายน 2553 (c-d) เดือนสิงหาคม 2553 (e-f)  
เดือนพฤษภาคม 2553 (g-h)

### กลางฤคุณ้ำຫາລາກ (ພຸກສິກຍານ 2553)

ຄວາມເຂັ້ມຂັ້ນຂອງຊີລິເກຕ-ຊີລິຄອນ ໃນພື້ນທີ່ປາກແມ່ນໍາທ່າຈິນມີຄ່າອູ່ຮະຫວ່າງ  $39.20\text{-}104.70$  ໂມໂຄຣ ໂມລາຣ໌ ໂດຍທີ່ຮະດັບຜົວນໍ້າແລະຮະດັບນໍ້າໜີ້ຜົວດິນຕະກອນມີຄ່າອູ່ໃນຂ່າວ  $39.72\text{-}68.01$  ແລະ  $49.95\text{-}67.41$  ໂມໂຄຣ ໂມລາຣ໌ ຜົ່ງມີຄ່າເຄີຍເທົກນ  $60.79\pm 11.01$  ແລະ  $57.28\pm 6.22$  ໂມໂຄຣ ໂມລາຣ໌ ຕາມດຳດັບ ຊີລິເກຕ-ຊີລິຄອນ ມີຄ່າສູງສຸດ ໃນສຕານີ TN1 ແລະ TN2 ຜົ່ງມີຄວາມເຂັ້ມຂັ້ນໄມ່ແຕກຕ່າງກັນນາກ ທີ່ຮະດັບຜົວນໍ້າ ແລະບັງພວກວ່າໃນສຕານີຄອນອກນັ້ນຊີລິເກຕ-ຊີລິຄອນ ລດຄອງເພີຍເລືກນ້ອຍ

ຈາກຜລກກາຮືກຍາໃນຮອບປີ 2552-2553 ພບວ່າໃນພື້ນທີ່ປາກແມ່ນໍາທ່າຈິນມີປຣິມາມ ຊີລິເກຕ-ຊີລິຄອນ ອູ່ໃນຂ່າວ  $19.95\text{-}104.70$  ໂມໂຄຣ ໂມລາຣ໌ ເມື່ອເປົ້າຍເຖິງປຣິມາມຊີລິເກຕ-ຊີລິຄອນ ໃນ ແຕ່ລະຄຸງກາລນັ້ນ ພບວ່າຕົ້ນຕົ້ນຄຸນໍ້າຫາລາກມີປຣິມາມຊີລິເກຕ-ຊີລິຄອນສູງສຸດ ແລະມີປຣິມາມນ້ອຍໃນຄຸງ ແລ້ວ ສ່ວນຂ່າວກລາງຄຸນໍ້າຫາລາກນັ້ນ ໃນປີ 2552 ມີປຣິມາມຊີລິເກຕ-ຊີລິຄອນ ສູງກວ່າປີ 2553 ແລະເມື່ອທ່າ ກາຣທດສອນຄວາມແຕກຕ່າງທາງສົດີພົບວ່າ ຄຸງແລ້ວມີຄວາມແຕກຕ່າງກັນຂ່າວກລາງຕົ້ນຄຸນໍ້າຫາລາກຍ່າງມີ ນັຍສຳຄັງ ແລະຂ່າວກລາງຄຸນໍ້າຫາລາກໃນປີ 2552 ອ່າງມີນັຍສຳຄັງຢູ່ທີ່ຮະດັບຄວາມເຂົ້ມໍ່ນ້ອຍລ 95 ແລະ 99 ຕາມດຳດັບໂດຍໃນທຸກຄັ້ງທີ່ທໍາກາຣສຶກຍາຊີລິເກຕ-ຊີລິຄອນ ມີແນວໂນົມລດຄອງຕາມຮະຍະທາງທີ່ຫ່າງ ຈາກລຳນໍ້າ ເນື່ອຈາກມີກາຣລດຄອງຈາກກາຣຜສມຜສານໂຄຍນໍ້າທະເລ ແຕ່ໃນຂ່າວຕົ້ນຕົ້ນຄຸນໍ້າຫາລາກຈະພນ ຄວາມເຂັ້ມຂັ້ນຂອງຊີລິເກຕ-ຊີລິຄອນ ໃນຝ່າງທະວັນອອກຍກະຮັບສູງເຂົ້ນກວ່າຄຸງກາລອື່ນໆ ຈະ ແສດງສິ່ງກາເຫຼົາ ມາຂອງຊີລິເກຕ-ຊີລິຄອນ ຈາກພື້ນທີ່ບ່ອກຸ້ງຍ່າງໜັດເຈນ ຜົ່ງເປົ້າຍເສີມອື່ນແຫ່ງຂອງຮາຕຸອາຫາຮລັກ ທີ່ເຂົ້າມາໃນພື້ນທີ່ປາກແມ່ນໍາແຫ່ງນີ້ ນອກເໜີ້ອຈາກລຳນໍ້າທ່າຈິນໃນຕອນນນ

ເມື່ອເປົ້າຍເຖິງກັບກາຣສຶກຍາຂອງ ອັຈນຮາກຮັນ (2552) ໃນພື້ນທີ່ຫ່າຍຝຶ່ງນ້ຳນັກຮະໜ້າ ຂາວ ຜົ່ງໄກລືກັບສຕານີ TN30 ໃນກາຣສຶກຍາຄັ້ງນີ້ ໃນຂ່າວເດືອນມິຖຸນາຍານ 2550-ພຸດຍກາມ 2551 ພບວ່າ ຊີລິເກຕ-ຊີລິຄອນ ມີຄ່າຜົນແປຮອູ່ຮະຫວ່າງ  $21.43\text{-}142.86$  ໂມໂຄຣ ໂມລາຣ໌ ຜົ່ງຜົນແປຮມາກກວ່າໃນ ກາຣສຶກຍາຄັ້ງນີ້ມັກ ( $31.73\text{-}75.70$  ໂມໂຄຣ ໂມລາຣ໌) ໃນ ສຕານີເຄີຍກັນ ໂດຍບຣິເວນຫາຍຝຶ່ງຈັງໜັດ ສມຸຫຣສາຄຣຊີເກຕມີແນວໂນົມເພີ່ມສູງເຂົ້ນມາດັ່ງແຕ່ປີ 2537 ເປັນຕົ້ນມາ ນັ້ນແສດງສິ່ງກາຮະລ້າງຂອງ ແຜ່ນດິນທີ່ມີມາກເຂົ້ນໃນປັຈຈຸບັນ

### 2.2.5 ในโครงการที่ละลายน้ำ

ในโครงการที่ละลายน้ำเป็นชาตุอาหารที่มีความสำคัญอย่างมากต่อแพลงก์ตอนพืช โดยนำมาใช้ในการสังเคราะห์กรดอะมิโนและโปรตีน จึงเป็นปัจจัยที่ส่งเสริมการเพิ่มจำนวนของแพลงก์ตอนพืชในบริเวณปากแม่น้ำ และสะท้อนถึงการเข้ามาของน้ำเสียในพื้นที่ สำหรับปากแม่น้ำท่าจีนนั้น จากการศึกษาในเดือนพฤษภาคม 2552-2553 แสดงค้างรายละเอียดต่อไปนี้

ฤดูแล้ง (เมษายน 2553)

ในโครงการละลายน้ำมีค่าอยู่ระหว่าง 6.17-81.55 ไมโครโมลาร์ โดยที่ระดับผิวน้ำและที่ระดับน้ำ 2 เมตร มีค่าอยู่ในช่วง 7.80-81.55 และ 6.17-81.39 ไมโครโมลาร์ และมีค่าเฉลี่ยเท่ากับ  $39.35 \pm 30.25$  และ  $33.24 \pm 29.76$  ไมโครโมลาร์ ตามลำดับ ในครั้งนี้ตรวจพบค่าสูงสุดที่ระดับผิวน้ำในสถานี TN2 และต่ำสุดในสถานี TN27 ที่ระดับน้ำหนึ่งมิลลิเมตรตากอง โดย ในโครงการละลายน้ำมีปริมาณสูงในพื้นที่ตอนในจนถึงตอนกลางของปากแม่น้ำ และมีแนวโน้มลดลงในพื้นที่แนวออก รวมถึงฝั่งตะวันออกและฝั่งตะวันตกในสถานีที่อยู่ใกล้ฝั่ง ซึ่งไม่มีความผันแปรของในโครงการละลายน้ำตามระดับความลึก เนื่องจากในครั้งนี้เป็นช่วงน้ำลงทำให้ระดับน้ำไม่ลึกมาก

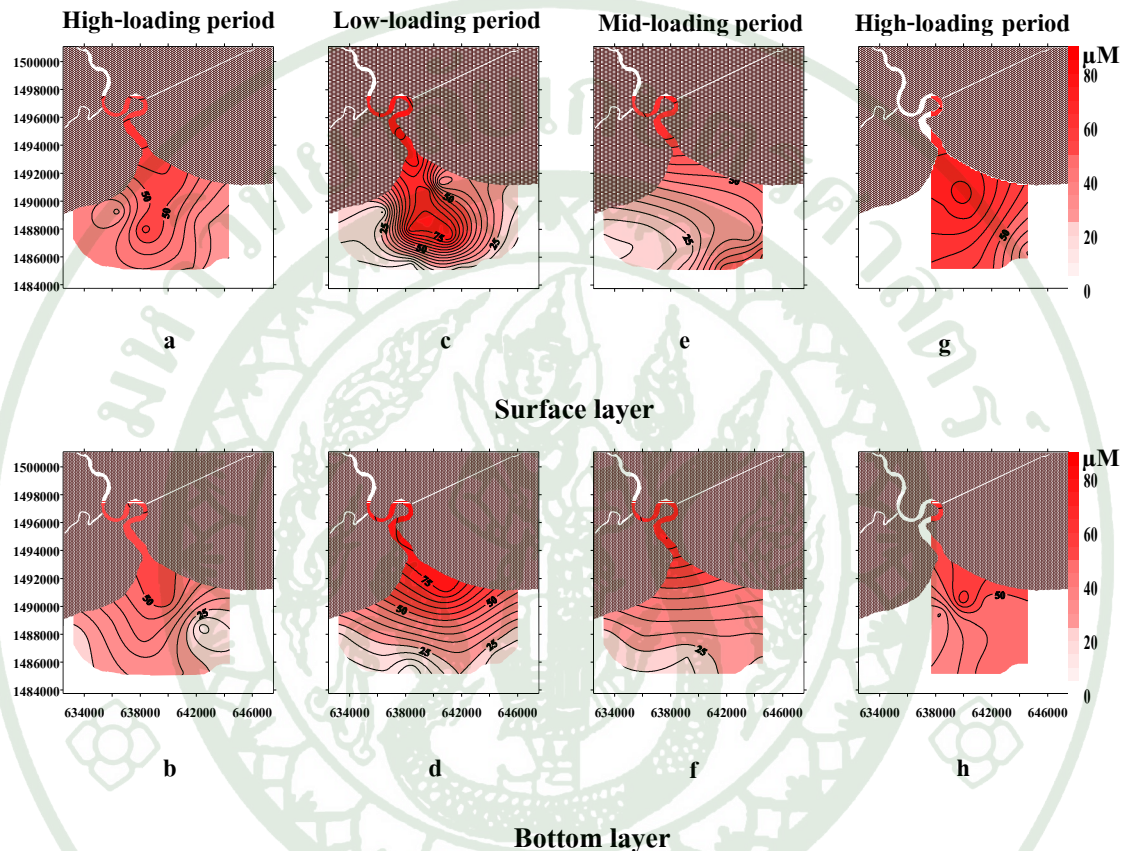
ต้นฤดูน้ำหลาภ (สิงหาคม 2553)

ในโครงการละลายน้ำมีค่าอยู่ระหว่าง 14.98-75.36 ไมโครโมลาร์ โดยที่ระดับผิวน้ำและที่ระดับน้ำ 2 เมตร มีค่าอยู่ในช่วง 14.98-75.36 และ 18.76-75.16 ไมโครโมลาร์ และมีค่าเฉลี่ยเท่ากับ  $51.76 \pm 24.60$  และ  $39.74 \pm 26.39$  ไมโครโมลาร์ ตามลำดับ ซึ่งตรวจพบค่าสูงสุดในสถานี TN1 และต่ำสุดในสถานี TN30 โดยในสถานีแนวออกสุดทางด้านฝั่งตะวันตกจะมีความเข้มข้นของในโครงการละลายน้ำมากกว่าในฝั่งตะวันออก ส่วนความผันแปรตามระดับความลึกจะพบในสถานีในแนวออกสุดเท่านั้น

กลางฤดูน้ำหลาภ (พฤษภาคม 2553)

ในโครงการละลายน้ำมีค่าอยู่ระหว่าง 29.37-78.18 ไมโครโมลาร์ โดยที่ระดับผิวน้ำ และที่ระดับน้ำ 2 เมตร มีค่าอยู่ในช่วง 29.37-78.18 และ 38.47-67.50 ไมโครโมลาร์ และมีค่าเฉลี่ย

เท่ากับ  $57.96 \pm 16.63$  และ  $52.86 \pm 10.99$  ไมโครโมลาร์ ตามลำดับ ตรวจพบค่าสูงสุดในสถานี TN5 และต่ำสุดในสถานี TN25 ในโตรเจนละลายน้ำในครั้งนี้มีค่าสูงมากทั้งพื้นที่มีแนวโน้มลดลง เล็กน้อยในสถานีตอนนอกสุด และในระดับน้ำที่ลึกลงไป



**ภาพที่ 14** การแพร่กระจายของไนโตรเจนที่ละลายน้ำ (ไมโครโมลาร์) ตามฤดูกาลปี 2552-2553  
(เดือนพฤษภาคม 2552 (a-b) เดือนเมษายน 2553 (c-d) เดือนสิงหาคม 2553 (e-f)  
เดือนพฤษภาคม 2553 (g-h))

จากผลการศึกษาในภาพรวมพบว่าในพื้นที่ปากแม่น้ำท่าจีนพบว่าในโตรเจนละลายน้ำมีค่าผันแปรอยู่ในช่วง 6.17-81.55 ไมโครโมลาร์ เมื่อเปรียบเทียบตามฤดูกาลพบว่าในฤดูแล้ง (เมษายน 2553) มีความผันแปรมากกว่าในฤดูกาลอื่น ในสถานี TN2 เป็นสถานีที่มีความเข้มข้นสูงที่สุดตลอดการศึกษา เนื่องจากเป็นสถานีที่อยู่ปลายน้ำสามารถสะสมตัวของไนโตรเจนละลายน้ำจึงมีมากกว่าในสถานีอื่น ๆ ข้อมูลในสถานีนี้จึงสามารถสะท้อนการเข้ามาของน้ำเสียในพื้นที่ปากแม่น้ำได้จากค่าไนโตรเจนละลายน้ำ โดยในช่วงกลางฤดูหนาวปี 2552 ในโตรเจนละลายน้ำ มีปริมาณ

ต่ำกว่าฤดูกาลอื่น รวมถึงช่วงฤดูน้ำหลากในปี 2553 ด้วย เนื่องจากปริมาณน้ำท่าในปี 2552 (239 ล้านลูกบาศก์เมตร) มีปริมาณน้อยกว่าในปี 2553 (400 ล้านลูกบาศก์เมตร) (กรมชลประทาน, 2555)

ความผันแปรของ ในไตรเจนละลายน้ำในแต่ละสถานีมีมาก ซึ่งนอกจากอิทธิพล จากระบวนการเจือจางที่เกิดขึ้น โดยมวลน้ำทะเลในพื้นที่ปากแม่น้ำแล้ว กระบวนการนำไปใช้โดย แพลงก์ตอนพืชที่เกิดการสะพรั่งในบริเวณดังกล่าว น่าจะมีส่วนในการลดลงของความเข้มข้นของ ในไตรเจนละลายน้ำในพื้นที่ โดยเฉพาะอย่างยิ่ง ในไตรเจนละลายน้ำในรูปของแอมโมเนียม- ในไตรเจน เนื่องจากเป็นรูปแบบที่แพลงก์ตอนพืชนำไปใช้ในกระบวนการของเซลล์ได้ง่าย เพราะมี โนเลกูลเล็กกว่า ในไตรเจนในรูปอื่น ๆ จากการศึกษาของ Torres-Valdés and Purdie (2006) แสดง ให้เห็นว่าแพลงก์ตอนพืชสามารถนำสารประกอบในไตรเจนในรูปของแอมโมเนียมไปใช้ในอัตรา ประมาณร้อยละ 28 ต่อชั่วโมง ของปริมาณที่มีอยู่ในน้ำ นับว่ามีค่าเร็วกว่าในรูปของใน terrestrial ที่ มีอัตราประมาณร้อยละ 9 ต่อชั่วโมงเท่านั้น

เมื่อเปรียบเทียบกับการศึกษาที่ผ่านมาของของ สุจิตมา และคณะ (2552) ในพื้นที่ ปากแม่น้ำท่าจีนเดือนพฤษภาคม 2550-เมษายน 2551 พบว่า ในไตรท์ ในเตรท และแอมโมเนียม มีค่า อยู่ระหว่าง ND-6.03 ND-9.47 และ 0.03-95.45 ไมโครโมลาร์ ซึ่งสูงกว่าในการการศึกษารังนี้ โดย ในไตรท์-ในเตรท และแอมโมเนียม-ในไตรเจน มีค่าอยู่ในช่วง 0.01-12.18 และ 3.15-75.60 ไมโคร โมลาร์ และเมื่อเปรียบเทียบกับการสำรวจสภาพแวดล้อมและคุณภาพน้ำพื้นฐานพื้นที่ชายฝั่งทั่ว ประเทศในช่วงเวลาที่ทำการศึกษา ใกล้เคียงกับสถานี TN2 พบว่า ในไตรท์ ในเตรท และแอมโมเนียม มีค่าอยู่ระหว่าง 0.57-4.96 0.03-1.38 และ 31.14-68.26 ไมโครโมลาร์ (สำนักจัดการคุณภาพน้ำ กรม ควบคุมมลพิษ, 2554) ซึ่งมีแนวโน้มไม่ต่างกันมากนัก ส่วนการศึกษาของสำนักงานสิ่งแวดล้อมภาค ที่ 5 (2552) ในพื้นที่แม่น้ำท่าจีนตอนล่างปี 2552 บริเวณศาลเจ้าซึ่งเป็นสถานี TN1 ใน การศึกษารังนี้ พบว่ามีในไตรท์และในเตรท มีค่าประมาณ 7.14 ไมโครโมลาร์ ซึ่งสูงกว่าในการศึกษารังนี้ ส่วน แอมโมเนียมมีค่าอยู่ในช่วง 14.29-171.43 ไมโครโมลาร์ ซึ่งมีความผันแปรมากกว่าในการศึกษารังนี้ ในภาพรวมจากการศึกษาที่ผ่านมา และจากการศึกษาในครั้งนี้แสดงให้เห็นว่าในพื้นที่ปากแม่น้ำท่า จีนมีปริมาณ ในไตรเจนละลายน้ำมีค่าสูงมาก โดยเฉพาะอย่างยิ่งในรูปของแอมโมเนียม-ในไตรเจน ซึ่งจะส่งผลต่อการเพิ่มของแอมโมเนียมที่เป็นพิษกับสัตว์น้ำ ในสภาวะที่ความเป็นกรดเป็นด่างและ อุณหภูมิเพิ่มสูงขึ้น และยังส่งผลต่อการเพิ่มจำนวนของแพลงก์ตอนพืชซึ่งมักเกิดการสะพรั่งใน พื้นที่ปากแม่น้ำท่าจีนเป็นประจำอีกด้วย

## 2.2.6 օր్նիֆօսֆետ-ֆօսֆօրస

ຖគ្គលេង (មេមាយន 2553)

ออร์โธฟอสเฟต-ฟอสฟอรัสมีค่าอยู่ระหว่าง 0.1-13.79 ในโครโนลาร์ โดยที่ระดับผิวน้ำและที่ระดับน้ำ 2 เมตร มีค่าอยู่ในช่วง 0.10-13.79 และ 0.59-13.79 ในโครโนลาร์ และมีค่าเฉลี่ยเท่ากับ  $3.64 \pm 4.31$  และ  $4.08 \pm 5.51$  ในโครโนลาร์ ตามลำดับ ในครั้งนี้ตรวจพบค่าสูงสุดและต่ำสุดในสถานี TN2 และสถานี TN30 ตามลำดับ จากภาพที่ 15 c-d แสดงให้เห็นว่าออร์โธฟอสเฟต-ฟอสฟอรัสสูงในตัวลำน้ำและแนวร่องน้ำ ส่วนในตอนนอกของปากแม่น้ำ รวมถึงฝั่งตะวันออกและตะวันตกมีการลดลงอย่างชัดเจน โดยเฉพาะบริเวณผิวน้ำ ซึ่งส่วนหนึ่งน่าจะมีการนำไปใช้โดยแพลงก์ตอนพืช

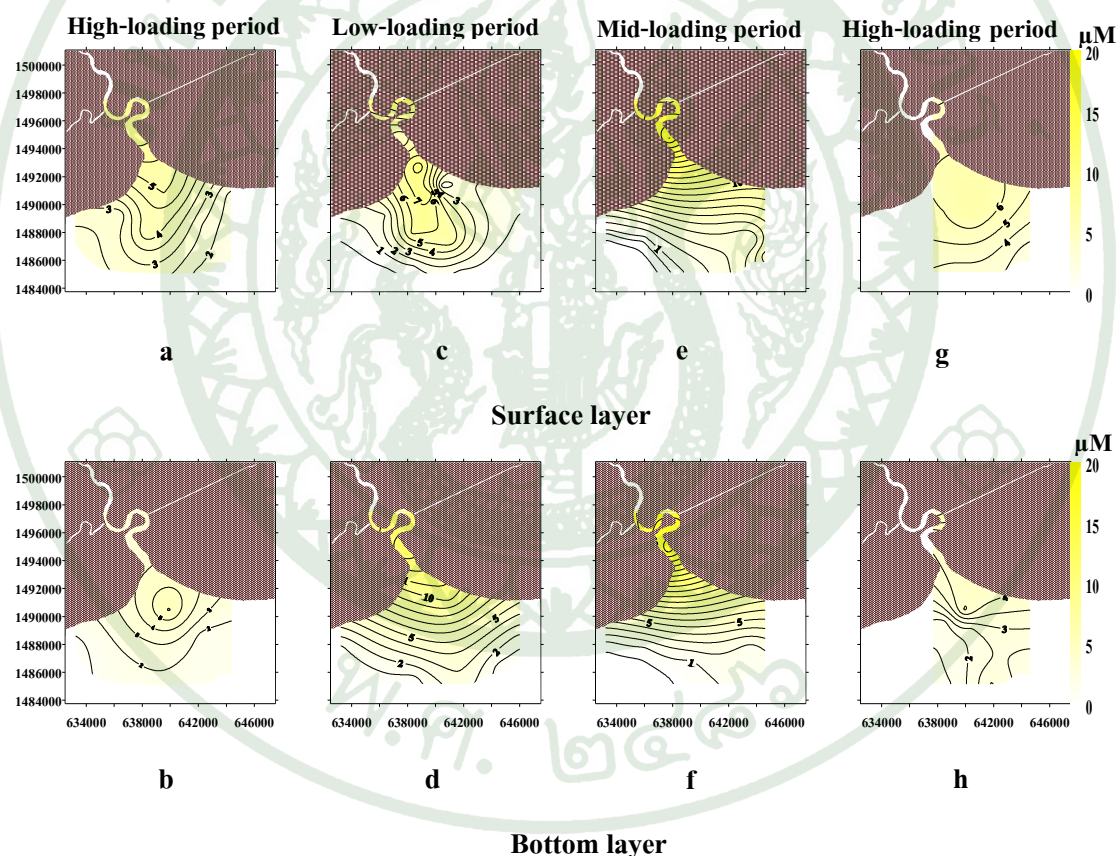
ต้นฤดูน้ำหลาภ (สิงหาคม 2553)

ออร์โธฟอสเฟต-ฟอสฟอรัสมีค่าอยู่ระหว่าง 0.20-20.09 ไนโครโอมาร์ โดยที่ระดับผิวน้ำและที่ระดับน้ำ 2 เมตร มีค่าอยู่ในช่วง 0.20-20.09 และ 0.2-19.50 ไนโครโอมาร์ และมีค่าเฉลี่ยเท่ากับ  $8.31 \pm 8.25$  และ  $6.78 \pm 9.20$  ไนโครโอมาร์ ตามลำดับ ตรวจพบออร์โธฟอสเฟต-ฟอสฟอรัสมีค่าสูงสุดในสถานี TN2 และต่ำสุดในสถานี TN30 จากภาพที่ 15 การแพร่กระจายออร์โธฟอสเฟต-ฟอสฟอรัสมีปริมาณสูงในด้วยน้ำ และลดลงในพื้นที่ตอนนอก โดยฝั่งตะวันตกมีอัตราการลดลงที่มากกว่าฝั่งตะวันออก

กางงดอนนำหลัก (พฤษจิกายน 2553)

ออร์โธฟอสเฟต-ฟอสฟอรัสมีค่าอยู่ระหว่าง 1.52-6.89 ไมโครโมลาร์ โดยที่ระดับผิวน้ำและที่ระดับน้ำ 2 เมตร มีค่าอยู่ในช่วง 2.13-6.89 และ 1.52-6.79 ไมโครโมลาร์ และมีค่าเฉลี่ยเท่ากับ  $4.41 \pm 1.71$  และ  $3.67 \pm 1.92$  ไมโครโมลาร์ ตามลำดับ ตรวจพบออร์โธฟอสเฟต-ฟอสฟอรัสมีค่าสูงสุดที่ระดับผิวน้ำในสถานี TN3 และต่ำสุดที่ระดับน้ำหนึ่งเมตรในสถานี TN27 จากภาพที่ 15 g-h แสดงการแพร่กระจายของออร์โธฟอสเฟต-ฟอสฟอรัสในช่วงนี้ จะเห็นว่าในแต่ละสถานีไม่มีความผันแปรของออร์โธฟอสเฟต-ฟอสฟอรัสมากนัก

จากผลการศึกษาในพื้นที่ปากแม่น้ำท่าจีนตั้งแต่เดือนพฤษภาคม 2552-2553 พบว่า ออร์โธฟอสเฟต-ฟอสฟอรัส ผันแปรอยู่ในช่วง 0.10-20.09  $\mu\text{M}$  ในโครโนมาาร์ โดยมีค่าต่ำสุดในสถานี TN30 ในช่วงฤดูแล้ง และมีค่าสูงสุดในสถานี TN2 ในช่วงต้นฤดูน้ำหลากเมื่อเปรียบเทียบในเชิงพื้นที่พบว่าออร์โธฟอสเฟต-ฟอสฟอรัสมีค่าสูงสุดในพื้นที่ตอนในคือ สถานี TN2 ซึ่งเป็นสถานีที่อยู่ในลำน้ำท่าจีน และสถานีดังกล่าวได้รับออร์โธฟอสเฟต-ฟอสฟอรัสจากการซักด้างในพื้นที่ชุมชน และโรงงานอุตสาหกรรมต่างๆ ในสถานีดังกล่าวและพื้นที่ตอนบน เมื่อทำการทดสอบความแตกต่างทางสถิติด้วย One-way ANOVA พบว่าออร์โธฟอสเฟต-ฟอสฟอรัสในพื้นที่ปากแม่น้ำท่าจีนไม่มีความผันแปรตามฤดูกาล



**ภาพที่ 15** การแพร่กระจายของออร์โธฟอสเฟต-ฟอสฟอรัส ( $\mu\text{M}$  โครโนมาาร์) ตามฤดูกาล ปี 2552-2553 (เดือนพฤษภาคม 2552 (a-b) เดือนเมษายน 2553 (c-d) เดือนสิงหาคม 2553 (e-f) เดือนพฤษภาคม 2553 (g-h))

เมื่อเปรียบเทียบกับการศึกษาที่ผ่านมากของของ สูติมา และคณะ (2552) ในพื้นที่ป่าแแม่น้ำท่าจีนเดือนพฤษภาคม 2550-เมษายน 2551 พบว่าออร์โธฟอสเฟต-ฟอสฟอรัสมีค่าอยู่ในช่วง 0.23-15.35 ในโครโนมาร์ ซึ่งผันแปรน้อยกว่าในการศึกษาครั้งนี้เล็กน้อย (0.1-20.09 ในโครโนมาร์) และจากการศึกษาของอัจฉราภรณ์ (2552) ในพื้นที่ชายฝั่งบ้านกระซ้าขาว ซึ่งใกล้กับสถานี TN30 ในการศึกษาครั้งนี้ ในช่วงเดือนมิถุนายน 2550-พฤษภาคม 2551 พบว่าออร์โธฟอสเฟต-ฟอสฟอรัสมีค่าอยู่ระหว่าง 0.29-8.57 ในโครโนมาร์ ซึ่งสูงกว่าการศึกษาครั้งนี้ ณ สถานีเดียวกัน (0.10-2.25 ในโครโนมาร์) เมื่อเปรียบเทียบกับค่ามาตรฐานน้ำทะเลได้กำหนดให้ฟอสเฟต ฟอสฟอรัสมีได้ไม่เกิน 45 ในโครกรัมต่อลิตรสำหรับแหล่งน้ำประเภทที่ 3 เพื่อการเพาะเลี้ยงสัตว์น้ำ ประเภทที่ 5 เพื่อการอุดสาหกรรมและท่าเรือ และประเภทที่ 6 สำหรับชุมชน (กรมควบคุมมลพิษ, 2549) ซึ่งพบว่าออร์โธฟอสเฟต-ฟอสฟอรัสในพื้นที่ป่าแแม่น้ำท่าจีนยังมีค่าต่ำกว่ามาตรฐานน้ำทะเล แต่ในความเป็นจริงแล้วระดับออร์โธฟอสเฟต-ฟอสฟอรัสดังกล่าวมีค่าสูงมากเมื่อเปรียบเทียบกับป่าแแม่น้ำอื่นในพื้นที่อ่าวไทยตอนบน เช่น ป่าแแม่น้ำแม่กลอง เจ้าพระยา บางปะกง เป็นต้น (สำนักจัดการคุณภาพน้ำ กรมควบคุมมลพิษ, 2554)

ในภาพรวมสถานการณ์ชาต้อาหารในพื้นที่ป่าแแม่น้ำท่าจีนพบว่าอยู่ในระดับที่สูงมาก แม้ในบางปัจจัยยังพบว่าอยู่ในเกณฑ์มาตรฐานคุณภาพน้ำทะเลเกิดตาม เนื่องจากเมื่อเปรียบเทียบกับป่าแแม่น้ำอื่น ๆ ในพื้นที่อ่าวไทยตอนบน (สำนักจัดการคุณภาพน้ำ กรมควบคุมมลพิษ, 2554) แล้วพบว่าป่าแแม่น้ำท่าจีนเป็นพื้นที่ที่มีชาต้อาหารสูงในระดับญี่ปุ่นฟิเชชั่น จึงเป็นปัจจัยสำคัญที่ส่งผลต่อการเติบโตของแพลงก์ตอนพืชในพื้นที่ โดยเฉพาะแพลงก์ตอนพืชชนิด *N. scintillans* แต่ในทางกลับกัน แพลงก์ตอนพืชในพื้นที่ก็น่าจะมีส่วนในการลดระดับของชาต้อาหารในพื้นที่ให้มีลดลงได้เช่นกัน

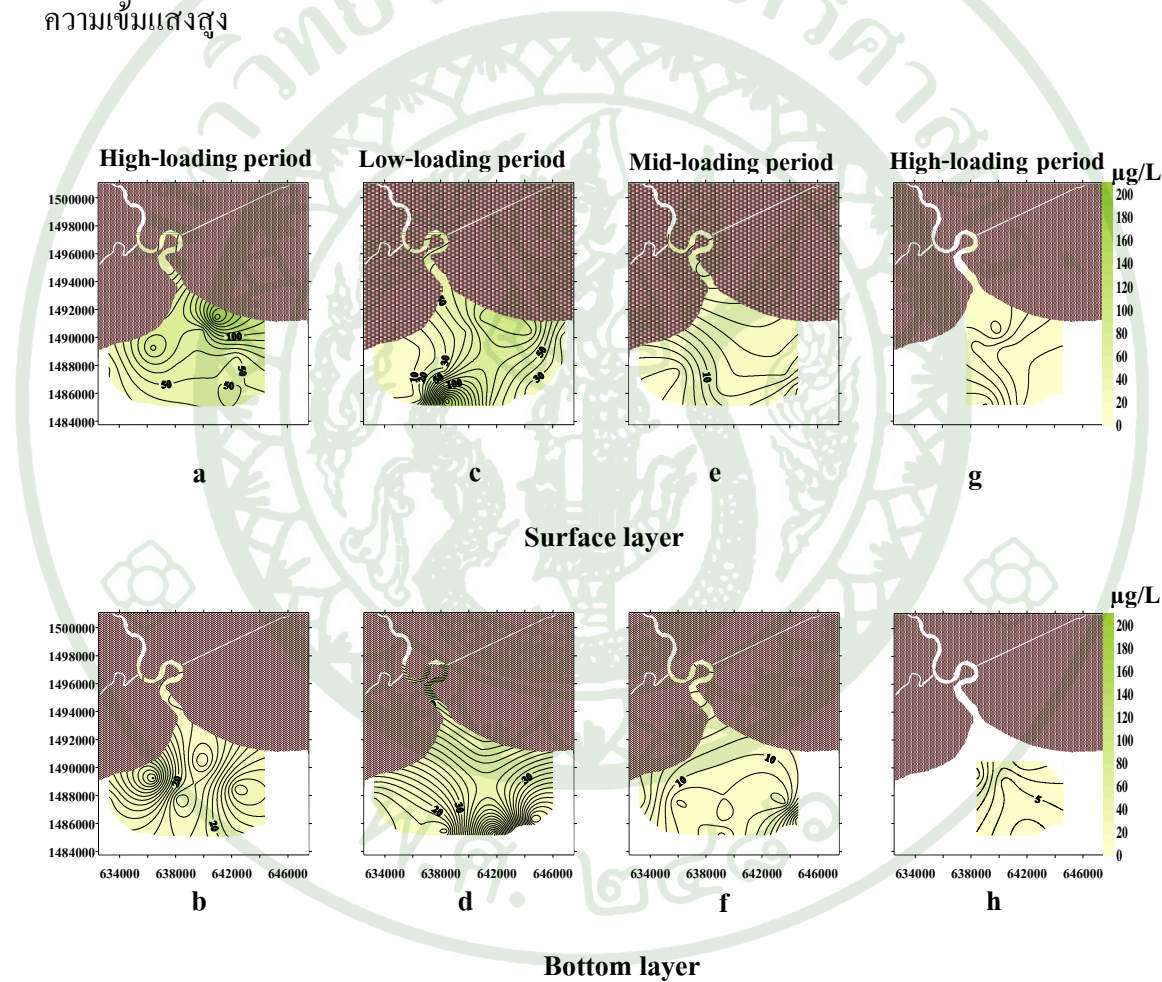
### 2.3 ปัจจัยสิ่งแวดล้อมทางชีวภาพ

#### 2.3.1 คลอโรฟิลล์ เอ

ฤดูแล้ง (เมษายน 2553)

คลอโรฟิลล์ เอ มีค่าอยู่ระหว่าง 5.34-200.25 ในโครกรัมต่อลิตร โดยที่ระดับพิวน้ำและที่ระดับน้ำ 2 เมตร มีค่าอยู่ในช่วง 5.34-200.25 และ 8.01-102.35 ในโครกรัมต่อลิตร และมี

ค่าเฉลี่ยเท่ากับ  $49.98 \pm 50.79$  และ  $36.07 \pm 33.59$  ไมโครกรัมต่อลิตร ตามลำดับ โดยในสถานี TN27 พบรการสะพรั่งของแพลงก์ตอนพีชชนิด *N. scintillans* ส่งผลให้ตรวจพบค่าคลอโรฟิลล์ เอ สูงที่สุด ในครั้งนี้ถึง 200.25 ไมโครกรัมต่อลิตร และพบค่าต่ำสุดในสถานี TN30 จากภาพที่ 16 แสดงให้เห็น ว่าการแพร่กระจายของคลอโรฟิลล์ เอ มีปริมาณสูงในพื้นที่ฝั่งตะวันออก และสูงมากในพื้นที่ตอน นอกสุดของปากแม่น้ำ โดยในครั้งนี้คลอโรฟิลล์ เอ ที่ระดับผิวน้ำมีค่าสูงกว่าที่ระดับน้ำหนึ่งเดือน ต่อ กอนอย่างมาก ยกเว้นในสถานี TN1 ซึ่งพบคลอโรฟิลล์ เอ มีค่าสูงถึง 102.35 ไมโครกรัมต่อลิตร ที่ระดับน้ำ 2 เมตร เนื่องจากแพลงก์ตอนพีชน่าจะมีการเคลื่อนตัวในแนวคิดลงสู่ด้านล่างในช่วงที่มี ความเข้มแสงสูง



ภาพที่ 16 การแพร่กระจายของคลอโรฟิลล์ เอ (ไมโครกรัมต่อลิตร) ตามฤดูกาลปี 2552-2553

(เดือนพฤษภาคม 2552 (a-b) เดือนเมษายน 2553 (c-d) เดือนสิงหาคม 2553 (e-f) เดือน พฤศจิกายน 2553 (g-h))

### ต้นฤๅษีน้ำหลากร (สิงหาคม 2553)

คลอโรฟิลล์ เอ มีค่าอยู่ระหว่าง  $2.67-40.05$  ไมโครกรัมต่อลิตร โดยที่ระดับผิวน้ำ และที่ระดับน้ำ 2 เมตร มีค่าอยู่ในช่วง  $2.67-25.03$  และ  $3.34-28.04$  ไมโครกรัมต่อลิตร และมีค่าเฉลี่ยเท่ากับ  $12.29 \pm 8.80$  และ  $16.00 \pm 8.46$  ไมโครกรัมต่อลิตร ตามลำดับ

### กลางฤๅษีน้ำหลากร (พฤษจิกายน 2553)

คลอโรฟิลล์ เอ มีค่าอยู่ระหว่าง  $0.56-14.24$  ไมโครกรัมต่อลิตร โดยที่ระดับผิวน้ำ และที่ระดับน้ำ 2 เมตร มีค่าอยู่ในช่วง  $0.56-14.24$  และ  $3.34-6.26$  ไมโครกรัมต่อลิตร และมีค่าเฉลี่ยเท่ากับ  $7.67 \pm 5.37$  และ  $4.91 \pm 1.22$  ไมโครกรัมต่อลิตร ตามลำดับ ในสถานี TN27 ตรวจพบค่าคลอโรฟิลล์ เอ สูงสุดในครั้งนี้ และต่ำสุดในสถานี TN25 ในครั้งนี้ตรวจพบระดับของคลอโรฟิลล์ เอ ต่ำมากทั้งพื้นที่ ซึ่งน่าจะมีผลมาจากการปริมาณน้ำท่าที่เข้ามายังปากแม่น้ำท่าเจ็นมีสูงในช่วงนี้

จากการศึกษาในเดือนพฤษจิกายน 2552-2553 พบว่าระดับของคลอโรฟิลล์ เอ พันเปอร์เซ็นต์ในช่วง  $0.56-200.25$  ไมโครกรัมต่อลิตร คลอโรฟิลล์ เอ มีระดับสูงมากในช่วงฤๅษีแล้ง และอยู่ในระดับต่ำช่วงกลางฤๅษีน้ำหลากรปี 2553 ซึ่งแตกต่างอย่างมากกับช่วงกลางฤๅษีน้ำหลากรปี 2552 ที่มีระดับของคลอโรฟิลล์ เอ สูงกว่ามาก ส่วนในช่วงกลางต้นฤๅษีน้ำหลากรก็พบว่ามีระดับไม่สูงมากนัก โดยจะพบว่าที่ระดับผิวน้ำมีปริมาณคลอโรฟิลล์ เอ สูงกว่า เนื่องจากในช่วงเวลากลางวัน แพลงก์ตอนพืชต้องทำการสังเคราะห์ด้วยแสงเพื่อสร้างพลังงานให้กับเซลล์ จึงมักจะลอยตัวขึ้นมา รับแสงซึ่งเป็นปัจจัยสำคัญในการบุนการตั้งกล่าว ที่ระดับผิวน้ำจึงมีปริมาณแพลงก์ตอนพืชมากกว่าในระดับน้ำที่อยู่ลึกลงไป ประกอบกับในระดับน้ำที่ลึกและตะกอนแbewnlogy ในพื้นที่ปากแม่น้ำมักเป็นอุปสรรคต่อการส่องผ่านลงไปของแสงที่น้อยลงด้วย นอกจากนี้ ปัจจัยลิ่งแวดล้อมอื่น ๆ เช่น ธาตุอาหาร ความเค็ม เป็นต้น ล้วนแล้วแต่ส่งผลต่อปริมาณแพลงก์ตอนพืชทั้งสิ้น ซึ่งส่งผลโดยตรงกับปริมาณคลอโรฟิลล์ เอ ในพื้นที่

เมื่อทดสอบความแตกต่างทางสถิติด้วย One-way ANOVA พบว่า ระดับคลอโรฟิลล์ เอ ในช่วงกลางฤๅษีน้ำหลากรปี 2552 และฤๅษีแล้งแตกต่างกับต้นฤๅษีน้ำหลากรและฤๅษีน้ำหลากรปี 2553 อย่างมีนัยสำคัญยิ่งทางสถิติ ที่ระดับความเชื่อมั่นร้อยละ 99 และ 95 แสดงให้เห็นว่า ฤๅษีน้ำหลากรเป็นเพียงปัจจัยหนึ่งที่ทำให้เกิดการเปลี่ยนแปลงปัจจัยสิ่งแวดล้อมในระบบนิเวศ แต่การ

เปลี่ยนแปลงของปัจจัยสิ่งแวดล้อมดังกล่าวต้องเปลี่ยนในสภาวะที่เหมาะสมต่อการเจริญของแพลงก์ตอนพืช จึงจะส่งผลต่อการเพิ่มขึ้นของระดับคลอโรฟิลล์ เอ ในพื้นที่

เมื่อเปรียบเทียบกับการศึกษาของ อัจฉรากรณ์ (2552) ในพื้นที่ชายฝั่งบ้านกระชา ขาว ซึ่งใกล้กับสถานี TN30 ใน การศึกษารั้งนี้ ในช่วงเดือนมิถุนายน 2550-พฤษภาคม 2551 พบร้า ระดับคลอโรฟิลล์ เอ ผันแปรตั้งแต่ 2.00-30.00 ไมโครกรัมต่อลิตร ซึ่งผันแปรน้อยกว่าในการศึกษา ครั้งนี้ ( $0.56-200.25$  ไมโครกรัมต่อลิตร) ส่วนการศึกษาของภัทราวุช และคณะ (2551) พบร้าอยู่ ในช่วง  $6.02-1431.12$  ไมโครกรัมต่อลิตร ซึ่งสูงมากเนื่องจากเกิดปรากฏการณ์น้ำทะเลเปลี่ยนสีในพื้นที่

### 3. การศึกษาความสัมพันธ์ระหว่าง *Noctiluca scintillans* และปัจจัยสิ่งแวดล้อมทางน้ำ

#### 3.1 ปัจจัยทางกายภาพ

##### 3.1.1 อุณหภูมิ

อุณหภูมิเป็นปัจจัยที่ส่งผลต่อกระบวนการเรมหาบอลิชีนของเซลล์แพลงก์ตอนพืช อุณหภูมิที่เพิ่มสูงขึ้นจะไปเร่งปฏิกิริยาภายในเซลล์ให้เกิดเร็วขึ้น แต่อุณหภูมนั้นต้องไม่สูงมาก เกินกว่าความทนทานของแพลงก์ตอนพืชนิดนั้น ๆ เนื่องจากจะไม่ส่งผลดีต่อการดำรงชีวิตของแพลงก์ตอนพืชนั้นเอง นอกจากนี้ยังส่งผลต่อปัจจัยสิ่งแวดล้อมอื่น ๆ เช่น การละลายได้ของก๊าซคาร์บอน dioxide ออกซิเจน เป็นต้น สำหรับในพื้นที่ปากแม่น้ำท่าจีนนี้ต้องอยู่ในเขตวัน อุณหภูมิในพื้นที่ไม่ผันแปรมากนักดังเช่นในเขตอบอุ่นที่มีความแตกต่างของอุณหภูมิในแต่ละฤดูกาลอย่างชัดเจน โดยจากการศึกษาในครั้งนี้พบว่ามีความผันแปรอยู่ในช่วง  $26.04-33.40$  องศาเซลเซียส ซึ่งอุณหภูมิในแต่ละฤดูกาลมีความแตกต่างกันเนื่องจากอิทธิพลของอุณหภูมิอากาศและปริมาณน้ำท่าเป็นสำคัญ

เมื่อทดสอบความสัมพันธ์ทางสถิติพบว่า อุณหภูมิมีความสัมพันธ์ไปในทิศทางเดียวกันกับความหนาแน่นเซลล์ของ *N. scintillans* อย่างมีนัยสำคัญยิ่งทางสถิติ ที่ระดับความเชื่อมั่นร้อยละ 99 และมีระดับความสัมพันธ์ร้อยละ 36 ( $r = 0.36$ ) แสดงว่าเมื่ออุณหภูมิเพิ่มขึ้นจะส่งผลให้ความหนาแน่นเซลล์ของ *N. scintillans* เพิ่มขึ้นด้วยเช่นกัน ดังจะเห็นได้จากในช่วงฤดูแล้งที่มี

อุณหภูมิสูงกว่าในฤดูกาลอื่น ๆ พบความหนาแน่นเซลล์ ของ *N. scintillans* สูงทั้งพื้นที่ โดยเฉพาะอย่างยิ่งในสถานี TN27 ที่พบความหนาแน่นเซลล์สูงถึง 72,333 เซลล์ต่อตร. ที่ อุณหภูมิ 32.10 องศาเซลเซียส

อุณหภูมิในพื้นที่ปักแม่น้ำท่าจีนจากการศึกษาครั้งนี้ ถือว่าอยู่ในช่วงที่เหมาะสมสำหรับการเจริญของเซลล์ *N. scintillans* ยืนยันได้จากการผลการศึกษาที่พบ *N. scintillans* ในทุกครั้งที่ทำการสำรวจ ซึ่งโดยทั่วไปแล้วอุณหภูมิที่พบ *N. scintillans* ในประเทศไทยนั้นอยู่ในช่วง 23-32 องศาเซลเซียส (อัจฉรากรณ์, 2552; Thong-ra-ar *et al.*, 1995; Lirdwitayaprasit, 2006; Sriwoon, 2006)

### 3.2 ปัจจัยทางเคมี

#### 3.2.1 ความเค็ม

ความเค็มเป็นปัจจัยลึกลับส้อมที่ส่งผลต่อชนิด ปริมาณ และการแพร่กระจายของแพลงก์ตอนพืช เนื่องจากแพลงก์ตอนตอนพืชเดตะชนิดอยู่ในช่วงความเค็มที่แตกต่างกัน (ลัดดา, 2530) สำหรับ *N. scintillans* สามารถอยู่ได้ในช่วงความเค็มที่กว้าง สำหรับในการศึกษาครั้งนี้ ตรวจพบความเค็มในพื้นที่ปักแม่น้ำท่าจีนพันแปรอยู่ในช่วง 0.80-29.00 psu และ rekab Lub พบการแพร่กระจายของ *N. scintillans* ในช่วงความเค็ม 13.59-29.00 psu

จากรายงานการศึกษาการแพร่กระจายของ *N. scintillans* ในอ่าวไทย สามารถพบ *N. scintillans* แพร่กระจายได้ในช่วงความเค็มตั้งแต่ 11-38.5 psu (อัจฉรากรณ์, 2552; Thong-ra-ar *et al.*, 1995; Lirdwitayaprasit, 2006; Sriwoon, 2006) ซึ่งมีความแตกต่างกันตามพื้นที่ โดยในพื้นที่ปักแม่น้ำท่าจีนจากการศึกษาของอัจฉรากรณ์ (2552) พบ *N. scintillans* ในช่วงความเค็ม 24.3-38.5 psu ในอ่าวไทยฝั่งตะวันออก บริเวณอ่างศิลาจากการศึกษาของ Sriwoon (2006) พบว่า สามารถแพร่กระจายในช่วงความเค็ม 14-35 psu ซึ่งมีการสะพรั่งในช่วงความเค็ม 25-30 psu (Thong-ra-ra *et al.*, 1995) และ 22-33 psu (Lirdwitayaprasit *et al.*, 2006) และจากการศึกษาในห้องปฏิบัติการ โดย ไทยดาวร และคณะ (2548) แสดงให้เห็นว่า *N. scintillans* เจริญได้ดีในช่วงความเค็ม 15-35 psu และที่ระดับความเค็ม 27 psu จากการศึกษาของธีราพร (2540)

เมื่อทดสอบความสัมพันธ์ทางสถิติพบว่า ความเค็มไม่มีความสัมพันธ์กับความหนาแน่นเซลล์ของ *N. scintillans* ในพื้นที่ปากแม่น้ำท่าจีน แต่จะเห็นว่าความเค็มเป็นปัจจัยที่จำกัดการแพร่กระจายของเซลล์ แม้จะไม่มีความสัมพันธ์ในเชิงเส้นตรงก็ตาม ผลการศึกษาในภาพรวม สะท้อนให้เห็นว่าบริเวณที่มีความเค็มสูงกว่าเหมาะสมกับการขยายประชากรของ *N. scintillans* ใน การศึกษาระดับน้ำที่พื้นที่ปากแม่น้ำท่าจีน ที่มีความเค็มประมาณ 25 psu แต่ในพื้นที่ตอนในกีสามารถพบ *N. scintillans* ได้แต่จะมีความหนาแน่นน้อยกว่ามาก เนื่องจากมวลน้ำทะเลและกระแสน้ำจะพัดพาเซลล์เข้ามาความหนาแน่นจึงลดลงในพื้นที่ตอนในของปากแม่น้ำ

### 3.2.2 ออกรชีเจนละลายน้ำ

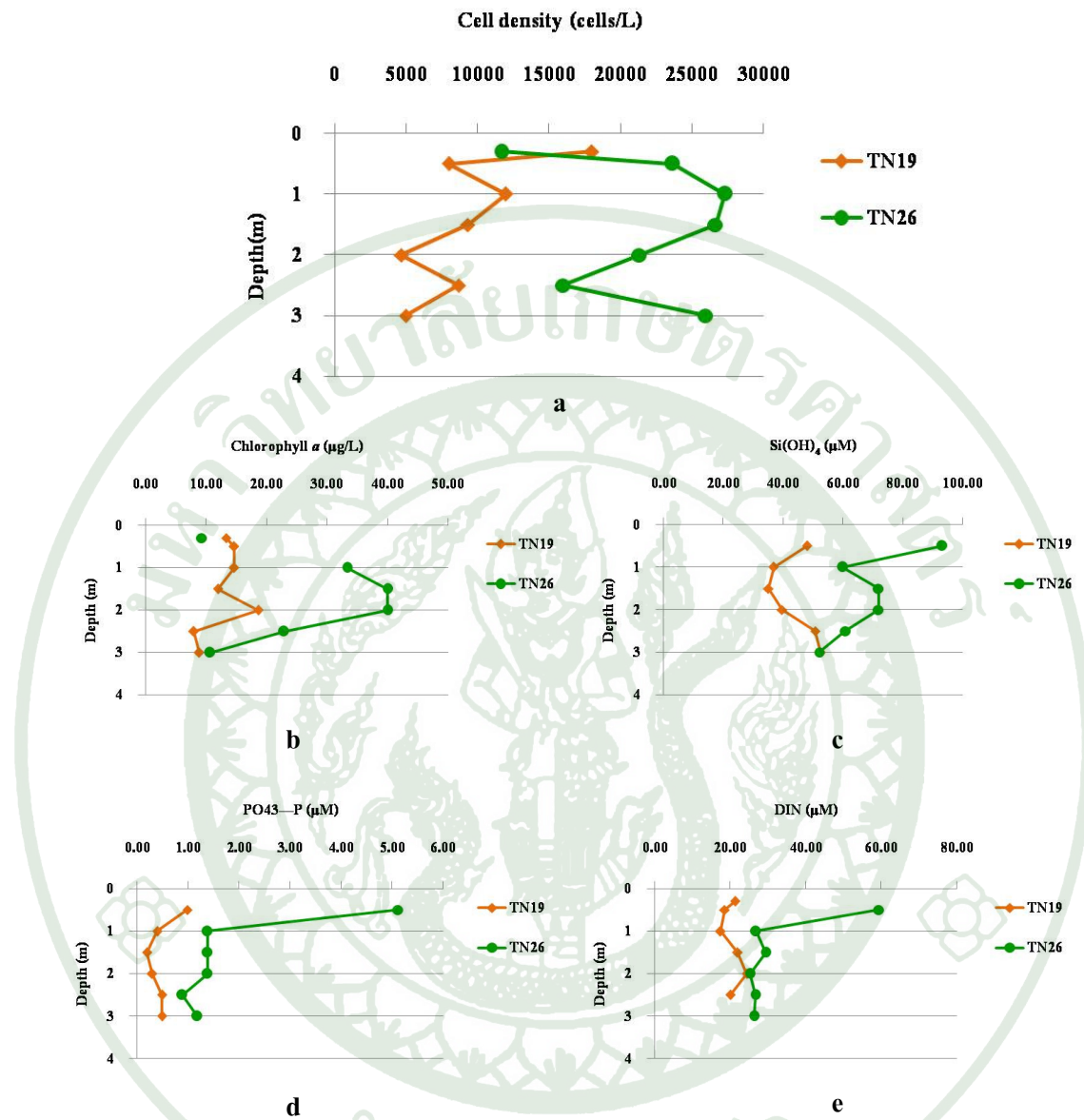
ออกรชีเจนละลายน้ำเป็นปัจจัยที่ได้รับอิทธิพลโดยตรงจากแพลงก์ตอนพืชในแหล่งน้ำเนื่องจากออกรชีเจนเป็นผลพลอยได้จากการสังเคราะห์ด้วยแสง โดยในพื้นที่ปากแม่น้ำท่าจีน จากการศึกษาในครั้งนี้พบว่าออกรชีเจนละลายน้ำมีความผันแปรสูงมากซึ่งมีค่าตั้งแต่ 0.09-12.01 มิลลิกรัมต่อลิตร โดยมีค่าต่ำในตัวคำน้ำ และมีแนวโน้มสูงขึ้นในพื้นที่ตอนนอก และสูงมากจนเกินจุดอิ่มตัวในสถานีที่พบระบังของแพลงก์ตอนพืช โดยเฉพาะอย่างยิ่งแพลงก์ตอนพืชชนิด *N. scintillans* โดยในสถานีที่พบร *N. scintillans* มีปริมาณออกรชีเจนละลายน้ำอยู่ในช่วง 1.40-12.01 มิลลิกรัมต่อลิตร จากรายงานการศึกษาที่ผ่านมาพบระดับของออกรชีเจนละลายน้ำในช่วงที่เกิดการสะพรั่งของ *N. scintillans* สูงสุดเท่ากับ 8 มิลลิกรัมต่อลิตร ในอ่าวไทยฝั่งตะวันออก บริเวณอ่างศิลาจากการศึกษาของ Sriwoon (2006) ส่วนในพื้นที่บริเวณบ้านกระซ้าขาว ชายฝั่งจังหวัดสมุทรสาคร และ บ้านบางบ่อ จังหวัดสมุทรสงคราม ในช่วงที่พบร *N. scintillans* พบร ว่า มีปริมาณออกรชีเจนละลายน้ำอยู่ในช่วง 3.86-8.82 และ 7.39-7.80 มิลลิกรัมต่อลิตร (อัจฉรากรณ์, 2552)

เมื่อทดสอบความสัมพันธ์ทางสถิติพบว่า ออกรชีเจนละลายน้ำมีความสัมพันธ์ไปในทิศทางเดียวกันกับความหนาแน่นเซลล์ของ *N. scintillans* อย่างมีนัยสำคัญยิ่งทางสถิติ ที่ระดับความเชื่อมั่นร้อยละ 99 และมีระดับความสัมพันธ์ร้อยละ 23 แสดงว่า *N. scintillans* เป็นผู้ผลิตสำคัญที่เพิ่มออกรชีเจนละลายน้ำให้กับระบบปากแม่น้ำท่าจีน ดังจะเห็นได้จากสถานีตอนนอกของปากแม่น้ำ โดยเฉพาะอย่างยิ่งในสถานี TN27 ในช่วงฤดูแล้งซึ่งพบร *N. scintillans* สูงสุด และพบว่ามีปริมาณออกรชีเจนละลายน้ำสูงถึง 12.01 มิลลิกรัมต่อลิตร

### 3.2.3 ความเป็นกรดเป็นด่าง

ความเป็นกรดเป็นด่างเป็นปัจจัยที่เกี่ยวเนื่องกับปริมาณคาร์บอนไดออกไซด์ และในคาร์บอนเนตในน้ำทะเล ซึ่งส่งผลต่อกระบวนการสังเคราะห์ด้วยแสง โดยตรงของแพลงก์ตอนพืช รวมถึง *N. scintillans* ด้วย ระดับความเป็นกรดเป็นด่างในพื้นที่ปากแม่น้ำท่าจีนพบว่ามีความผันแปรอยู่ในช่วง 6.71 -8.88 โดยความเป็นกรดเป็นด่างจะมีค่าต่ำในช่วงฤดูน้ำแล้ง เนื่องจากได้รับอิทธิพลจากน้ำจืด แสดงให้เห็นว่าความเป็นกรดเป็นด่างน่าจะเป็นปัจจัยหนึ่งที่สามารถสะท้อนการเข้ามาของปริมาณน้ำจืดในพื้นที่ได้ ปริมาณน้ำจืดดังกล่าวในส่วนส่งผลให้เซลล์ *N. scintillans* ถูกผลักดันออกไปด้านนอกของปากแม่น้ำดังได้กล่าวไว้แล้ว ซึ่งสถานที่พนแซลล์ *N. scintillans* มีความเป็นกรดเป็นด่างอยู่ในช่วง 7.01-8.88 โดยรายงานศึกษาที่ผ่านมารายงานการพบ *N. scintillans* ในช่วงความเป็นกรดเป็นด่างตั้งแต่ 7.33-7.89 บริเวณบ้านกระซ้าขาว ชายฝั่งจังหวัดสมุทรสาคร และ 7.39-7.80 บริเวณบ้านบางบ่อ จังหวัดสมุทรสงคราม (อัจฉราภรณ์, 2552) จากการศึกษาของธีราพร (2540) ในห้องปฏิบัติการพบว่า *N. scintillans* เจริญได้ดีที่ความเป็นกรดเป็นด่างเท่ากับ 8

เมื่อทดสอบความสัมพันธ์ทางสถิติพบว่า ความเป็นกรดเป็นด่างมีความสัมพันธ์ไปในทิศทางเดียวกันกับความหนาแน่นเซลล์ของ *N. scintillans* อย่างมีนัยสำคัญยิ่งทางสถิติ ที่ระดับความเชื่อมั่นร้อยละ 99 แสดงว่าเมื่อพบร *N. scintillans* มีความหนาแน่นสูงขึ้นจะส่งผลให้ความเป็นกรดเป็นด่างสูงขึ้นด้วย ทั้งนี้เนื่องจาก *N. scintillans* ใช้คาร์บอนไดออกไซด์ในมวลน้ำไปในกระบวนการสังเคราะห์แสงของ *P. noctilucae* ส่งผลให้ความเป็นกรดเป็นด่างสูงขึ้นนั่นเอง ซึ่งในทางกลับกันยังพบเซลล์ *N. scintillans* ในช่วงที่กำลังตายจะปลดปล่อยแอมโมเนียม-ในโตรเจนภายในเซลล์ที่มีสูงถึง 15-25 mM (Nawata and Sibaoka, 1975) ออกมายกานออกเซลล์ ซึ่งส่งผลให้ความเป็นกรดเป็นด่างลดลง ได้เช่นกัน นอกจากนี้ความเป็นกรดเป็นด่างยังมีความสำคัญต่อแพลงก์ตอนพืช รวมถึง *N. scintillans* โดยมีบทบาทสำคัญต่อการแยกเปลี่ยนอิเล็กตรอนที่บริเวณเยื่อหุ้มเซลล์ การขนส่งอิเล็กตรอนทางพลาสมาเคมมา และศักย์ทางไฟฟ้าบริเวณเยื่อหุ้มเซลล์ (ศรัณยา, 2541) ซึ่งส่งผลต่อการนำชาตุอาหารเข้าสู่เซลล์ *N. scintillans* ส่งเสริมการเจริญของ *N. scintillans* ในพื้นที่นี้



ภาพที่ 17 การเปลี่ยนแปลงของความหนาแน่นเซลล์ของ *Noctiluca scintillans* (เซลล์ต่อลิตร)(a) คลอโรฟิลล์ เอ (ไมโครกรัมต่อลิตร)(b) และชาตุอาหาร (ซิลิกेट-ซิลิคอน(c) ออร์โนฟอสเฟส-ฟอสฟอรัส (d) และในไตรเจนละลายน้ำ (e); ไมโครโมลาร์) ตามระดับความลึก (เมตร) ในสถานี TN19 และ 263.2.4 ซิลิกेट-ซิลิคอน

ซิลิกेट-ซิลิคอน เป็นชาตุอาหารที่มีความสำคัญในการเจริญเติบโตของแพลงก์ตอนพืช โดยเฉพาะอย่างยิ่งในกลุ่มที่มีเปลือกหุ้มเซลล์ เช่น ไครอตอม เป็นต้น ซึ่งสำหรับ *N. scintillans* แล้ว ไม่มีบทบาทสำคัญมากนัก โดยในพื้นที่ปากแม่น้ำท่าจีนพบการแพร่กระจายของ *N.*

*scintillans* ในสถานีที่มีระดับของซิลิกेट-ซิลิคอน อยู่ระหว่าง 19.95-95.93 ในโครโนมาเร ซึ่งการศึกษาของวินชาและคณะ (2552) พบปริมาณซิลิกेट-ซิลิคอน ในช่วงเกิดปรากฏการณ์น้ำทะเลขเปลี่ยนสีโดย *N. scintillans* อยู่ระหว่าง 69.503-217.903 ในโครโนมาเร ซึ่งสูงกว่าในการศึกษารั้งนี้ เป็นอย่างมากแสดงว่าในช่วงเวลาดังกล่าวมีการเข้ามาของน้ำจืดค่อนข้างมาก ประกอบกับพนเชลล์ *N. scintillans* น้อยกว่าในการศึกษารั้งนี้ด้วย

เมื่อทดสอบความสัมพันธ์ทางสถิติพบว่า ซิลิกेट-ซิลิคอน ไม่มีความสัมพันธ์กับความหนาแน่นเชลล์ของ *N. scintillans* แต่พบว่าซิลิกेट-ซิลิคอน มีความสัมพันธ์แบบแปรผกผันกับความเค็มและออกซิเจนละลายน้ำอย่างมีนัยสำคัญยิ่งทางสถิติ ที่ระดับความเชื่อมั่นร้อยละ 99 และมีความสัมพันธ์ไปในทางเดียวกันกับระดับของชาตุอาหารอื่น ๆ ในพื้นที่ทั้งในรูปอร์โธฟอสเฟต-ฟอสฟอรัส และในโตรเจนละลายน้ำ อย่างมีนัยสำคัญยิ่งทางสถิติ ที่ระดับความเชื่อมั่นร้อยละ 99 ซิลิกेट-ซิลิคอน ในพื้นที่ปากแม่น้ำเป็นปัจจัยที่สามารถสะท้อนปริมาณมวลน้ำจืดที่เข้าสู่ปากแม่น้ำ ตลอดจนลักษณะการผสมผสานของมวลน้ำจืดกับน้ำทะเลขในแต่ละระยะเวลาที่ศึกษาได้ อีกทั้งยังแสดงถึงการเข้ามาของชาตุอาหารในรูปอื่น ๆ ในพื้นที่นี้ด้วย ดังจะเห็นได้จากรูปแบบการแพร่กระจายของซิลิกेट-ซิลิคอนในพื้นที่ปากแม่น้ำท่าเจ็น ดังภาพที่ 13 รวมถึงการแพร่กระจายตามระดับความลึกที่สอดคล้องกับชาตุอาหารในรูปอื่น ๆ ดังภาพที่ 17

### 3.2.5 ในโตรเจนละลายน้ำ

ในโตรเจนละลายน้ำเป็นชาตุอาหารที่มีความสำคัญต่อการเจริญของแพลงก์ตอนพืช ปริมาณของแพลงก์ตอนพืชในธรรมชาติ จะถูกจำกัดโดยปริมาณของในโตรเจนที่กระจายอยู่ในน้ำ และเป็นปัจจัยที่ช่วยสนับสนุนการสังเคราะห์ด้วยแสง (Fogg, 1980) และนำมาใช้ในการสังเคราะห์ กรณีมีไนโตรเจน และไนโตรตีน (ไมตรี และ จารุวรรณ, 2528) สำหรับในพื้นที่ปากแม่น้ำท่าเจ็นนั้น พบว่า *N. scintillans* แพร่กระจายในบริเวณที่มีระดับของในโตรเจนละลายน้ำระหว่าง 6.17-80.59 ในโครโนมาเร

จากรายงานการศึกษาที่ผ่านมาในพื้นที่ปากแม่น้ำท่าเจ็นพบการแพร่กระจายของ *N. scintillans* ในพื้นที่ที่มีระดับของในโตรเจนละลายน้ำในรูปของ แอนโนเมนิม-ในโตรเจน ในไตรท์-ในโตรเจน และในเตอร์ท-ในโตรเจน อยู่ในช่วง 3.657-60.660 0.127-5.990 และ 0.317-5.393 ในโครโนมาเร ตามลำดับ (วินชาและคณะ, 2552) ซึ่งเมื่อเปรียบเทียบกับการศึกษาในครั้งนี้พบว่ามี

ค่าไกล์เดียงกับการศึกษาในครั้งนี้ ส่วนในพื้นที่บริเวณชายฝั่งจังหวัดชลบุรีในเดือนมิถุนายน 2545-2546 รายงานพค่าแอมโมเนียม-ในโตรเจน อยู่ในช่วง 5.77-74.70 ไมโครโมลาร์ ในไตรท์-ในเตรท ในโตรเจน 0.01-19.49 ไมโครโมลาร์ (Sriwoon, 2006) ซึ่งค่าแอมโมเนียม-ในโตรเจนไกล์เดียง กับการศึกษาในครั้งนี้ แต่ในไตรท์-ในเตรท ในโตรเจนมีค่าสูงกว่าเล็กน้อย อาจเนื่องมาจากการ บริเวณดังกล่าวเกิดกระบวนการออกซิเดชันได้สูงกว่าในพื้นที่ปากแม่น้ำท่าจีน โดยเฉพาะในพื้นที่ ตอนในลำน้ำท่าจีนที่พบออกซิเจนมีค่าต่ำมากถึง 0.88 มิลลิกรัมต่อลิตร ซึ่งส่งผลโดยตรงต่อ กระบวนการดังกล่าว

เมื่อทดสอบความสัมพันธ์ทางสถิติพบว่า ในโตรเจนละลายน้ำมีความสัมพันธ์ ไปในทิศทางแปรผกผันกับความหนาแน่นเซลล์ของ *N. scintillans* อย่างมีนัยสำคัญยิ่งทางสถิติ ที่ระดับความเชื่อมั่นร้อยละ 99 ดังจะเห็นได้จากการแพร่กระจายของในโตรเจนละลายน้ำที่มี แนวโน้มลดลงในพื้นที่ตอนนอก เช่น ในสถานี TN27 ช่วงฤดูแล้งที่พบ *N. scintillans* มีความ หนาแน่นสูงสุดในการศึกษาครั้งนี้ ซึ่งพบว่าในสถานีดังกล่าวตรวจพบระดับในโตรเจนละลายน้ำ เพียง 7.80 ไมโครโมลาร์ นอกจากนี้ยังพบความผันแปรตามระดับความลึกของ *N. scintillans* และ ในโตรเจนละลายน้ำที่มีทิศทางตรงข้ามกัน โดยเฉพาะอย่างยิ่งในบริเวณพื้นที่ดังภาพที่ 8 แสดงให้ เห็นว่า *N. scintillans* นั้นน่าจะมีบทบาทสำคัญในการลดลงของในโตรเจนละลายน้ำในพื้นที่ปากแม่น้ำท่าจีน เนื่องจาก *N. scintillans* เป็นชนิดหลักที่มักจะเกิดการสะพรั่งในพื้นที่นี้

การลดลงของในโตรเจนละลายน้ำในพื้นที่นี้ อันเนื่องมาจากการดูดซึมของ *N. scintillans* มีความเป็นไปได้สูงเนื่องจากเซลล์ *N. scintillans* นั้นมีการสะสมของปริมาณ แอมโมเนียม-ในโตรเจนภายในเซลล์สูงถึง 15-25 มิลลิโมล (Nawata and Sibaoka, 1975) และพบ สัดส่วนของแอมโมเนียมต่อน้ำหนักแห้งประมาณ 0.5 มิลลิโมลต่อกิรัมน้ำหนักแห้ง ทั้งนี้เนื่องจาก *P. noctilucae* ต้องการธาตุอาหารในรูปของแอมโมเนียม-ในโตรเจน ในการเจริญสูง (Okaichi *et al.*, 1991) ส่งผลให้ *N. scintillans* น่าจะมีการดูดซึมธาตุอาหารในรูปในโตรเจนสูงในพื้นที่ปากแม่น้ำท่าจีนด้วย จึงเห็นแนวโน้มการลดลงดังกล่าว

### 3.2.6 ออร์โธฟอสเฟต-ฟอสฟอรัส

ออร์โธฟอสเฟต-ฟอสฟอรัส เป็นธาตุอาหารที่มีความสำคัญต่อการเติบโตของ แพลงก์ตอนพืช และมีบทบาทสำคัญต่อปฏิกิริยาทางชีวเคมีภysis ในเซลล์ ซึ่งเกี่ยวข้องกับการสร้าง

และบนสั่งพลังงานภายในเซลล์ ซึ่งมีผลต่อการเติบโตและการสืบพันธุ์ของแพลงก์ตอนพืช รวมถึงเป็นองค์ประกอบของกรดนิวคลีอิก โปรตีน ฟอสฟอลิปิด และองค์ประกอบสำคัญของเนื้อเยื่อแพลงก์ตอนพืช และสั่งพลังงานผ่านทาง ATP และสารประกอบให้พลังงานอื่น ๆ เพื่อนำไปใช้ในกระบวนการสังเคราะห์แสงและหายใจ (ศรันยา, 2541) โดยในพื้นที่ปากแม่น้ำท่าจีนพบปริมาณออร์โซฟอสเฟต-ฟอสฟอรัส อยู่ในระดับที่สูง ซึ่งผันแปรอยู่ระหว่าง 0.10-20.09 ไมโครโมลาร์ แต่สำหรับ *N. scintillans* พบระยะชาวยอยู่ในพื้นที่ที่มีระดับของออร์โซฟอสเฟต-ฟอสฟอรัสอยู่ในช่วง 0.10-7.49 ไมโครโมลาร์

เมื่อเปรียบเทียบกับรายงานการศึกษาที่ผ่านมาพบว่าในช่วงที่เกิดปรากฏการณ์น้ำทะเลเปลี่ยนสีในพื้นที่ปากแม่น้ำท่าจีน พบริมาณออร์โซฟอสเฟต-ฟอสฟอรัส อยู่ระหว่าง 1.847-8.383 ไมโครโมลาร์ (วรินชา และคณะ, 2552) ซึ่งใกล้เคียงกับการศึกษาในครั้งนี้ ส่วนในบริเวณชายฝั่งจังหวัดชลบุรีที่มักพบการเกิดปรากฏการณ์น้ำทะเลเปลี่ยนสีเนื่องจาก *N. scintillans* รายงานพบริมาณออร์โซฟอสเฟต-ฟอสฟอรัส อยู่ในช่วง 0.08-3.88 ไมโครโมลาร์ ซึ่งมีปริมาณต่ำกว่าในการศึกษาครั้งนี้เล็กน้อย แต่อาจจะไม่มีความแตกต่างกันมากนัก เนื่องจากการศึกษาองค์ประกอบภายในเซลล์ *N. scintillans* ที่มี *P. noctilucae* อยู่ภายในตัวอย่างบริเวณปากแม่น้ำเจ้าพระยา เปรียบเทียบกับ *N. scintillans* ในประเทศไทยปั่นชั่งไม่มี *P. noctilucae* อยู่ภายใน พนว่ามีปริมาณที่ไม่แตกต่างกันมากนัก จึงอาจเป็นเครื่องบ่งชี้ว่า *P. noctilucae* ใช้สารประกอบฟอสเฟต-ฟอสฟอรัสในปริมาณที่เล็กน้อยเท่านั้น (Okaichi *et al.*, 1991)

เมื่อทดสอบความสัมพันธ์ทางสถิติพบว่า ออร์โซฟอสเฟต-ฟอสฟอรัสมีความสัมพันธ์ไปในทิศทางแปรผกผันกับความหนาแน่นเซลล์ของ *N. scintillans* อย่างมีนัยสำคัญทางสถิติ ที่ระดับความเชื่อมั่นร้อยละ 95 แสดงให้เห็นว่า ออร์โซฟอสเฟต-ฟอสฟอรัสมีการใช้ไปโดยเซลล์ของ *N. scintillans* ในพื้นที่

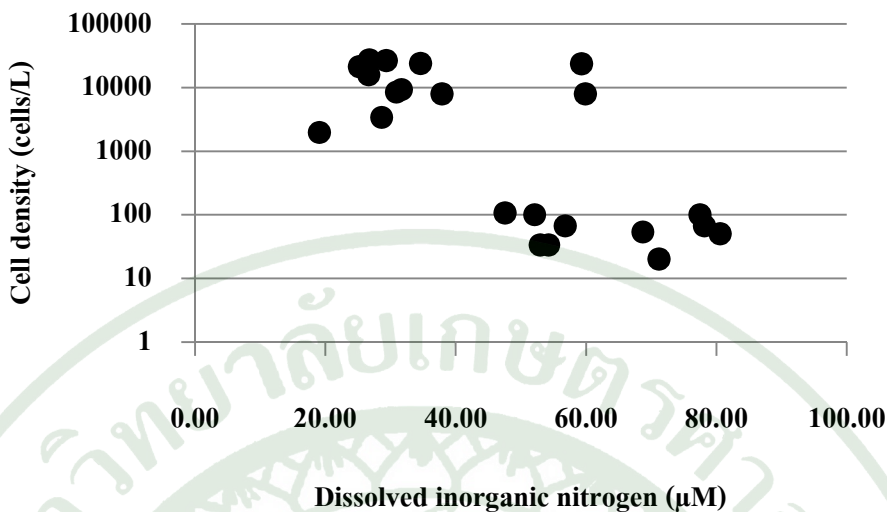
จากผลการวิเคราะห์ข้างต้นเป็นการวิเคราะห์ความสัมพันธ์ในภาพรวมทั้งพื้นที่ปากแม่น้ำแต่เนื่องจากในพื้นที่ปากแม่น้ำนั้นได้รับอิทธิพลจากการเจือจางโดยน้ำทะเลเป็นปัจจัยหลักในการลดลงของธาตุอาหารในพื้นที่ ประกอบกับในพื้นที่ตอนในและตอนกลางของปากแม่น้ำ มักเกิดการสะสมของแพลงก์ตอนชนิด *Ceratium furca* เกิดร่วมด้วยทำให้การลดลงของธาตุอาหารอาจมีได้เนื่องจากปัจจัยอื่นดังที่กล่าวมา จึงต้องจัดกลุ่มข้อมูลด้วยความคุ้ม ออกเป็น 3 กลุ่ม

เพื่อพิจารณาเฉพะความสัมพันธ์ระหว่างประชากร *N. scintillans* กับชาต้อหาร “ได้ชัดเจนยิ่งขึ้น ดังนี้

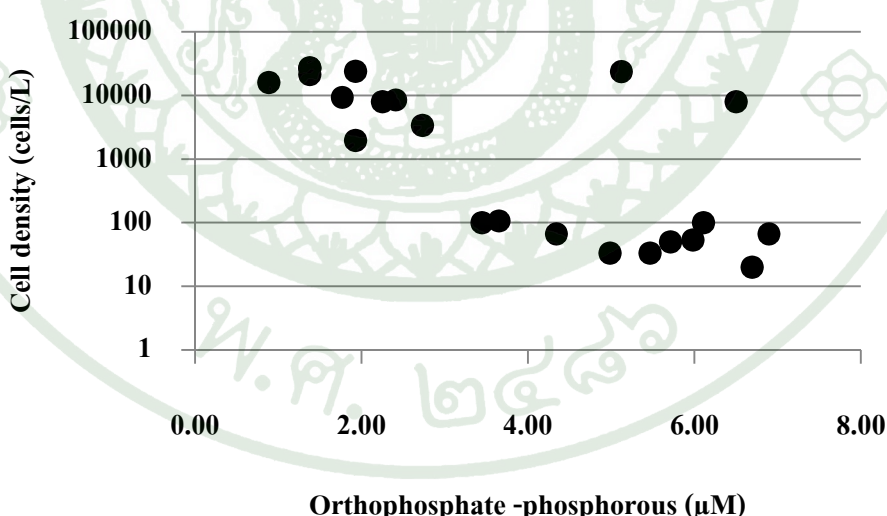
กลุ่มที่ 1 มีความเค็มอยู่ระหว่าง 0.32-9.60 psu ซึ่งพื้นที่ปากแม่น้ำท่าเจ็นไม่พบประชากรแพร่กระจาย *N. scintillans* ในช่วงความเค็มนี้ เนื่องจากได้รับอิทธิพลจากน้ำจืดมากกว่าในกลุ่มอื่น ๆ แม้ว่าจะมีปริมาณชาต้อหารสูง แต่ปัจจัยถึงแวดล้อมอื่นในสถานีที่มีความเค็มต่ำ ยังไม่เหมาะสมต่อการเติบโตของ *N. scintillans*

กลุ่มที่ 2 มีความเค็มอยู่ระหว่าง 11.70-21.22 psu ส่วนใหญ่อยู่ในพื้นที่ตอนใน และตอนกลางของปากแม่น้ำ พบรากะเพรี้ยวของแพลงก์ตอนชนิด *Ceratium furca* ร่วมกับ *N. scintillans* โดยพบความสัมพันธ์เปรียกผันระหว่างความหนาแน่นของเซลล์ *N. scintillans* กับชาต้อหารในรูปของไนโตรเจน ( $r=-0.62$ ) และลายน้ำและօร์โซฟอสเฟต-ฟอสฟอรัส ( $r=-0.53$ ) อย่างมีนัยสำคัญยิ่งทางสถิติ ที่ระดับความเชื่อมั่นร้อยละ 99

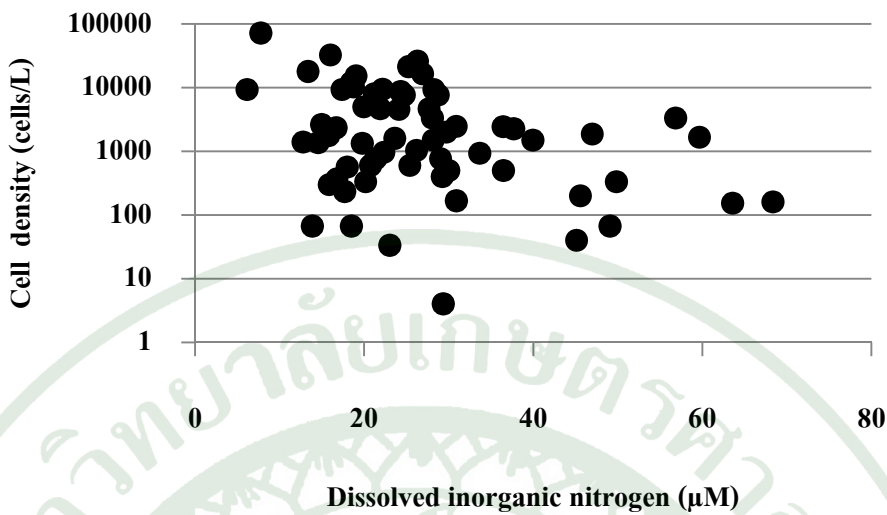
กลุ่มที่ 3 มีความเค็มอยู่ระหว่าง 22.08-29.00 psu อยู่ในพื้นที่ตอนนอกของปากแม่น้ำและพบการสะพรั่งของ *N. scintillans* ในทุกครั้งที่ทำการศึกษา พบความสัมพันธ์ระหว่างชาต้อหารในรูปของไนโตรเจนและลายน้ำ ( $r=-0.32$ ) กับความหนาแน่นเซลล์ แสดงถึงการใช้ในโตรเจนและลายน้ำของ *N. scintillans* ที่กระตุ้นการเพิ่มจำนวนเซลล์ในพื้นที่ นอกจากนี้ยังพบความสัมพันธ์ระหว่างօร์โซฟอสเฟต-ฟอสฟอรัสกับสัดส่วนของเซลล์ขนาดเล็ก ( $<300 \text{ } \mu\text{m}$ ) ในช่วงกลางเดือน ธันวาคม อีกด้วย แสดงให้เห็นว่าในพื้นที่มีความเค็มสูงมีการเกิดของประชากรใหม่ ซึ่งเป็นข้อสนับสนุนที่ว่า *N. scintillans* มีแหล่งกำเนิดในเขตทะเล และօร์โซฟอสเฟต-ฟอสฟอรัสมีส่วนในการกระตุ้นให้เกิดเซลล์ใหม่ในพื้นที่นั่นเอง



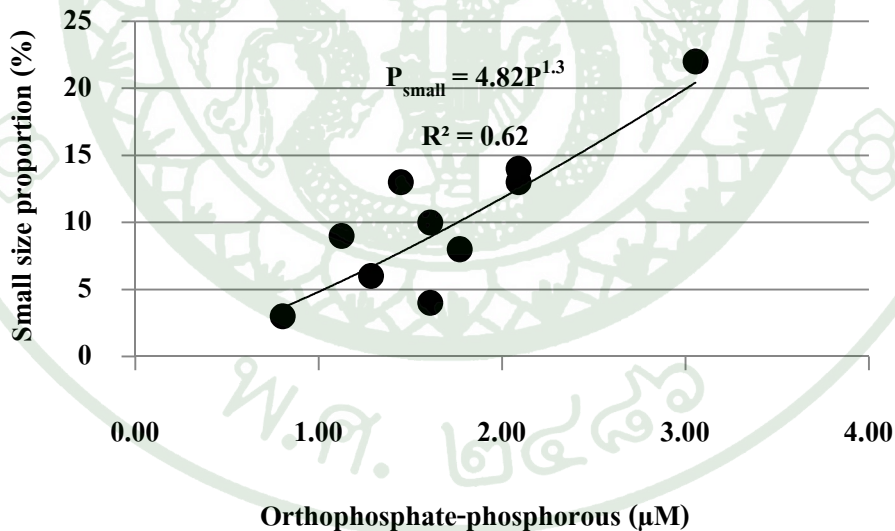
ภาพที่ 18 ความสัมพันธ์ระหว่างความหนาแน่นเซลล์ (เซลล์ต่อลิตร) และชาตุอาหาร ในโตรเจน ละลายน้ำ (ไมโครโมลาร์) ในพื้นที่ป่ากแม่น้ำท่าจีนที่มีความเค็มปานกลาง (11.70-21.22 psu)



ภาพที่ 19 ความสัมพันธ์ระหว่างความหนาแน่นเซลล์ (เซลล์ต่อลิตร) และชาตุอาหารออร์ฟอสเฟต-ฟอสฟอรัส (ไมโครโมลาร์) ในพื้นที่ป่ากแม่น้ำท่าจีนที่มีความเค็มปานกลาง (11.70-21.22 psu)



ภาพที่ 20 ความสัมพันธ์ระหว่างความหนาแน่นเซลล์ (เซลล์ต่อลิตร) และชาตุอาหาร ในโตรเจน ละลายน้ำ (ไมโครโมลาร์) ในพื้นที่ป่ากแม่น้ำท่าจีนที่มีความเค็มสูง (22.08-29.00 psu)



ภาพที่ 21 ความสัมพันธ์ระหว่างสัดส่วนเซลล์ขนาดเล็ก (< 300 ไมโครเมตร; ร้อยละ) และชาตุอาหารออร์โฟอสเฟต-ฟอสฟอรัส (ไมโครโมลาร์) ในพื้นที่ป่ากแม่น้ำท่าจีนที่มีความเค็มสูง (ระหว่าง 22.08-29.00 psu)

### 3.3 ปัจจัยทางชีวภาพ

#### คลอโรฟิลล์ เอ

คลอโรฟิลล์ เอ เป็นปัจจัยชีวภาพที่แสดงถึงชีวมวลของแพลงตอนพืชในพื้นที่ป่าแม่น้ำแห่งนี้ รวมถึง *N. scintillans* ด้วย โดยในพื้นที่ป่าแม่น้ำท่าจีนพบปริมาณคลอโรฟิลล์ เอ ที่สูงมาก แต่สำหรับในพื้นที่ที่มีการแพร่กระจายของเซลล์ พบว่ามีปริมาณคลอโรฟิลล์ เอ อยู่ในช่วง 1.34-200.25 ไมโครกรัมต่อลิตร โดยคลอโรฟิลล์ เอมีค่าสูงในพื้นที่ตอนนอกซึ่งมีการสะพรั่งของ *N. scintillans* และในพื้นที่ตอนในฝั่งตะวันออก เนื่องจากการสะพรั่งของ *Ceratium furca* ซึ่งในรายงานการศึกษาถ่อนหน้าน้ำพบว่าในช่วงที่เกิดปรากฏการณ์น้ำทะเลเปลี่ยนสีในพื้นที่ป่าแม่น้ำท่าจีน ตรวจปริมาณคลอโรฟิลล์ เอ อยู่ระหว่าง 10.997-67.470 ไมโครกรัมต่อลิตร (วิน茬และคณะ, 2552) และมีรายงานระดับคลอโรฟิลล์ เอ สูงที่สุดในพื้นที่ป่าแม่น้ำท่าจีน สูงถึง 1,431.12 ไมโครกรัมต่อลิตร ในช่วงที่เกิดการสะพรั่งของ *N. scintillans*

เมื่อทดสอบความสัมพันธ์ทางสถิติพบว่า ระดับคลอโรฟิลล์ เอ มีความสัมพันธ์ไปในทิศทางเดียวกับความหนาแน่นเซลล์ของ *N. scintillans* อย่างมีนัยสำคัญยิ่งทางสถิติ ที่ระดับความเชื่อมั่นร้อยละ 99 เช่นเดียวกับการศึกษาที่ผ่านมา (วิน茬และคณะ, 2552; Sriwoon, 2006) แสดงให้เห็นว่า *N. scintillans* มีบทบาทสำคัญต่อการเพิ่มขึ้นของระดับคลอโรฟิลล์ เอ

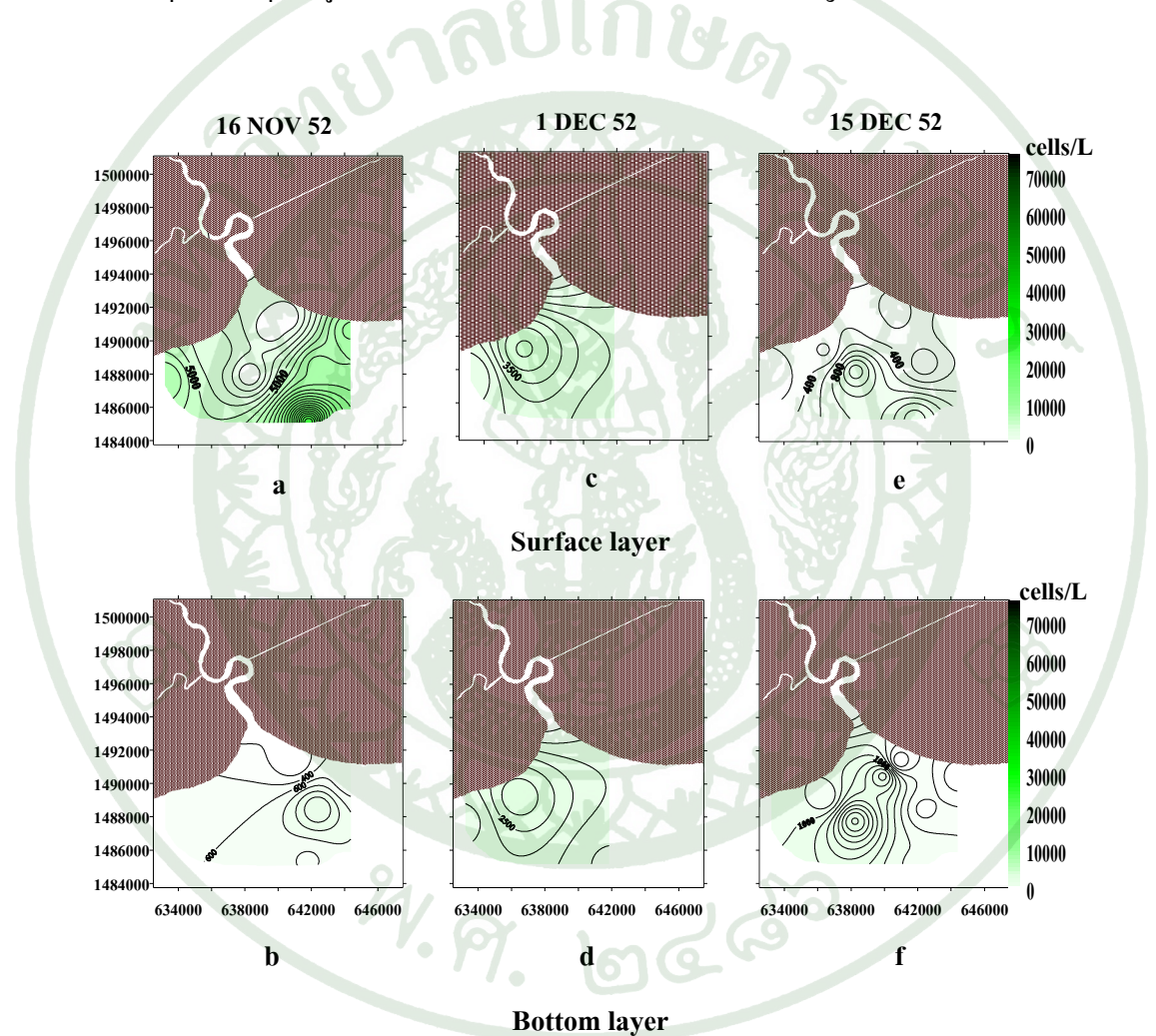
## 2 การติดตามการเกิดทดลองที่ของประชาก *Noctiluca scintillans* ในช่วงกลางฤดูน้ำแล้ง

### 2.1 การศึกษาเชิงปริมาณและคุณภาพของ *Noctiluca scintillans*

#### 4.1.1 ความหนาแน่นของประชาก *Noctiluca scintillans* (เชิงปริมาณ)

ครั้งที่ 1 (16 พฤศจิกายน 2552) *N. scintillans* มีความหนาแน่นเซลล์ 0-24,000 เซลล์ต่อลิตร โดยที่ระดับผิวน้ำและระดับน้ำเหนือผิวดินตะกอนมีค่าอยู่ในช่วง 0-24,000 และ 0-1,400 เซลล์ต่อลิตร และมีค่าเฉลี่ยเท่ากับ  $5,333 \pm 7,648$  และ  $414 \pm 505$  เซลล์ต่อลิตร ตามลำดับ ซึ่งไม่พบเซลล์ *N. scintillans* ในพื้นที่ตอนในเขตที่เป็นด้วยลักษณะ ส่วนในสถานี TN26 พบรความหนาแน่นของ *N. scintillans* สูงสุดในครั้งนี้ และต่ำสุดที่พบเซลล์คือในสถานี TN5 เพียง 33 เซลล์

ต่ออัตรatheran ชี้แนวโน้มการแพร่กระจายพบว่าเชลล์มีความหนาแน่นในพื้นที่ตอนนอกทางฝั่งตะวันออก ส่วนฝั่งตะวันตกหนาแน่นในบริเวณสถานี TN30 และลดลงในพื้นที่ตอนในดังภาพที่ 22 สำหรับการแพร่กระจายของ *N. scintillans* ที่ระดับความลึกเหนือผิวดินตะกอนมีความหนาแน่นน้อยกว่าที่ผิวน้ำอย่างมาก เนื่องจากในปัจจัยสิ่งแวดล้อมที่ระดับผิวน้ำและระดับน้ำเหนือผิวดินกอนมีความแตกต่างกัน ดังเช่น ปริมาณแสงที่ส่องผ่านลงไปในน้ำที่ระดับลึกลงไปจะน้อยกว่า รวมถึงปริมาณชาตุอาหาร อุณหภูมิ เป็นต้น ซึ่งล้วนเป็นปัจจัยที่เอื้อต่อการเจริญของ *N. scintillans*



ภาพที่ 22 การแพร่กระจายของเชลล์ *Noctiluca scintillans* (เชลล์ต่ออัตราระบบ) ในช่วงฤดูหนาวภาคปี 2555 (ครั้งที่ 1 (0 วัน) เดือนพฤษภาคม 2552 (a-b), ครั้งที่ 2 (14 วัน) ต้นเดือนธันวาคม 2552 (c-d) และ ครั้งที่ 3 (28 วัน) กลายเดือนธันวาคม 2552 (e-f))

ครั้งที่ 2 (1 ธันวาคม 2552) *N. scintillans* มีความหนาแน่นเซลล์ 0-4,600 เซลล์ต่อลิตร โดยที่ระดับผิวน้ำและระดับน้ำเหนือผิวดินตะกอนมีค่าอยู่ในช่วง 0-4,600 และ 0-3,333 เซลล์ต่อลิตร และมีค่าเฉลี่ยเท่ากับ  $2,117 \pm 1,909$  และ  $1,400 \pm 1,404$  เซลล์ต่อลิตร ตามลำดับ ในสถานี TN16 มีความหนาแน่นเซลล์สูงสุดในครั้งนี้ซึ่งอยู่พื้นที่ฝั่งตะวันตกของปากแม่น้ำ และไม่พบเซลล์ในสถานีต่อนในลำน้ำ ที่ระดับผิวน้ำมีความหนาแน่นเซลล์มากกว่าที่ระดับน้ำเหนือผิวดินตะกอน เล็กน้อย ในภาพรวมครั้งนี้การพักรายไม่มีความแตกต่างตามพื้นที่มากนัก

ครั้งที่ 3 (15 ธันวาคม 2552) *N. scintillans* มีความหนาแน่นเซลล์ 0-2,433 เซลล์ต่อลิตร โดยที่ระดับผิวน้ำและที่ระดับน้ำ 2 เมตร มีค่าอยู่ในช่วง 0-1,500 และ 0-2,433 เซลล์ต่อลิตร และมีค่าเฉลี่ยเท่ากับ  $420 \pm 597$  และ  $879 \pm 864$  เซลล์ต่อลิตร ตามลำดับ ซึ่งที่ระดับน้ำ 2 เมตรในสถานี TN14 พบร่วมกับความหนาแน่นสูงสุดในครั้งนี้ และต่ำสุดในสถานี TN4 ซึ่งมีความหนาแน่นเพียง 33 เซลล์ต่อลิตรเท่านั้น ส่วนสถานีในตัวลำน้ำไม่พบเซลล์ *N. scintillans* ในครั้งนี้พบร่วมกับที่ระดับน้ำ 2 เมตรมีการแพร่กระจายของ *N. scintillans* หนาแน่นกว่าที่ระดับผิวน้ำ และมีรูปแบบการแพร่กระจายไม่สม่ำเสมอ

จากการศึกษาในช่วงฤดูหนาว (พฤศจิกายน-ธันวาคม 2552) ทั้ง 3 ครั้ง พบร่วมกับความหนาแน่นสูงสุดที่สถานี TN26 ในเดือนพฤษภาคม เมื่อเปรียบเทียบแต่ละครั้งพบว่าความหนาแน่นเซลล์มีแนวโน้มลดลงในเดือนธันวาคม ซึ่งช่วงกลางเดือนพฤษภาคมมีความหนาแน่นเซลล์สูงที่สุดเพียง 2,433 เซลล์ต่อลิตร ในสถานี TN14 ที่ระดับน้ำ 2 เมตร แสดงให้เห็นว่าการแพร่กระจายของ *N. scintillans* ในพื้นที่ปากแม่น้ำท่าเจ็น พบร่วมกับความหนาแน่นมากในบริเวณตอนนอกของปากแม่น้ำ และลดลงในพื้นที่ตอนในตามระดับความเค็มที่ลดลง และที่ระดับผิวน้ำจะมีความหนาแน่นมากกว่าในระดับที่ลึกลงไป ยกเว้นในช่วงกลางเดือนธันวาคม ซึ่งน่าจะเนื่องจากความเข้มแสงที่มีสูงที่ระดับผิวน้ำในช่วงเวลาดังกล่าวจึงส่งผลให้ *N. scintillans* เคลื่อนที่ลงมาอยู่ในระดับน้ำด้านล่างมากกว่าที่อื่นๆ

#### 4.1.2 ขนาดเซลล์ของประชากร *Noctiluca scintillans* (เชิงคุณภาพ)

ผลการศึกษาในด้านขนาดเซลล์ในแต่ละกลุ่มประชากรพบว่า เซลล์ *N. scintillans* ที่พบในพื้นที่ปากแม่น้ำท่าเจ็นมีขนาดตั้งแต่ 100-925 ไมโครเมตร การแพร่กระจายของ

ขนาดในแต่ละครั้งมีรูปแบบที่แตกต่างกันไปเล็กน้อย พบรการเปลี่ยนแปลงในจำนวนเซลล์ที่มีขนาดเล็กกว่า 300 ไมโครเมตร ดังภาพที่ 23 ผลการศึกษาตัวอย่างในแต่ละครั้งของช่วงฤดูน้ำท่าภายในเดือนพฤษภาคม 2552 พบรการเปลี่ยนแปลงของโครงสร้างทางขนาดอย่างชัดเจน มีประชากรที่ประกอบด้วยเซลล์ขนาดเล็ก ( $< 300$  ไมโครเมตร) ถึงร้อยละ 20 ของประชากรทั้งหมด (ภาพที่ 23 a) หลังจากนั้นอีก 2 สัปดาห์ (ต้นเดือนธันวาคม) ประชากรได้พัฒนาเป็นเซลล์ขนาดกลาง-ขนาดใหญ่ ( $\geq 300$  ไมโครเมตร) เกือบทั้งหมด พบรเซลล์ขนาดเล็กน้อยลงมาก ซึ่งมีสัดส่วนของเซลล์ขนาดเล็กเหลือเพียงร้อยละ 2 ของประชากรทั้งหมด โครงสร้างด้านขนาดของประชากรแสดงแนวโน้มเคลื่อนตัวไปทางด้านขวา (ภาพที่ 23 b) ซึ่งเป็นการเพิ่มขนาดในช่วงสัปดาห์แรก และหลังจากนั้น เมื่อเข้าสู่ สัปดาห์ที่ 2 (กลางเดือนธันวาคม) พบร่วงเซลล์ขนาดเล็กเกิดขึ้นในประชากรอีกครั้ง (ภาพที่ 23 c) ซึ่งมีสัดส่วนคิดเป็นร้อยละ 12 ของประชากรทั้งหมด

ในสภาวะที่เกิดเซลล์ขนาดเล็กขึ้นนี้โดยส่วนใหญ่เกิดจากการสืบพันธุ์แบบอาศัยเพศ ที่เกิดจากการรวมตัวของแกมีต ซึ่งในเดือนพฤษภาคม 2552 เป็นช่วงระยะเวลาหลังการสะพรั่ง ประชากรของ *Noctiluca* มีความหนาแน่นของเซลล์สูงพอที่ทำให้เกิดการสืบพันธุ์แบบอาศัยเพศขึ้น ได้จึงพบเซลล์ขนาดเล็กเกิดขึ้นอยู่ในช่วงเวลาเดียวกัน ในระหว่างการสำรวจช่วงเดือน ธันวาคมทั้งสองครั้ง พบรความหนาแน่นของเซลล์ที่สูงอย่างต่อเนื่อง แสดงให้เห็นว่ามีเพิ่มจำนวนเซลล์ของ *N. scintillans* เกิดขึ้นอยู่ nok จากนี้ ในการสำรวจยังพบเซลล์ขนาดเล็กได้ในช่วงกลางเดือนธันวาคม นั้นแสดงให้เห็นว่าความถี่ในการสะพรั่งของประชากร ในพื้นที่ปากแม่น้ำท่าจีนนี้ มีความถี่ในการสะพรั่งของประชากร *N. scintillans* ในพื้นที่ปากแม่น้ำท่าจีนเกิด ได้มากกว่า 1 ครั้งในช่วง 2 สัปดาห์ที่ห่างกัน และยังหลักฐานของการสืบพันธุ์แบบอาศัยเพศที่เกิดได้เป็นระยะๆ ด้วย

เมื่อพิจารณาการเปลี่ยนแปลง โครงสร้างประชากร ในเชิงฤดูกาลพบว่า โครงสร้างทางด้านขนาดของเซลล์ *N. scintillans* มีแนวโน้มเคลื่อนตัวไปทางขวา โดยสัดส่วนของเซลล์ขนาดโน้มมีแนวโน้มลดลงจากช่วงฤดูน้ำท่าภายในปี 2552 ซึ่งในช่วงฤดูแล้งพบสัดส่วนของเซลล์ขนาดเล็กเหลือเพียงร้อยละ 8 ของประชากรทั้งหมด โดยในช่วงต้นฤดูน้ำท่า และฤดูน้ำท่าภายในปี 2553 พบรสัดส่วนของเซลล์ขนาดเล็กเหลือเพียงร้อยละ 1 เท่านั้น (ดังภาพที่ 23 และตารางที่ 6) ซึ่ง เมื่อเปรียบเทียบกับในปี 2552 พบร่วงมีโครงสร้างแตกต่างกัน เนื่องจากเป็นเซลล์ขนาดกลาง-ขนาดใหญ่เกือบทั้งหมด และพบเซลล์ขนาดใหญ่ที่สุดในการศึกษาระบบนี้ โดยมีขนาดใหญ่ถึง 925 ไมโครเมตร และมีความผันแปรของขนาดเซลล์ มากกว่าในการศึกษาระบบนี้ ๆ ทั้งนี้อาจเนื่องจาก

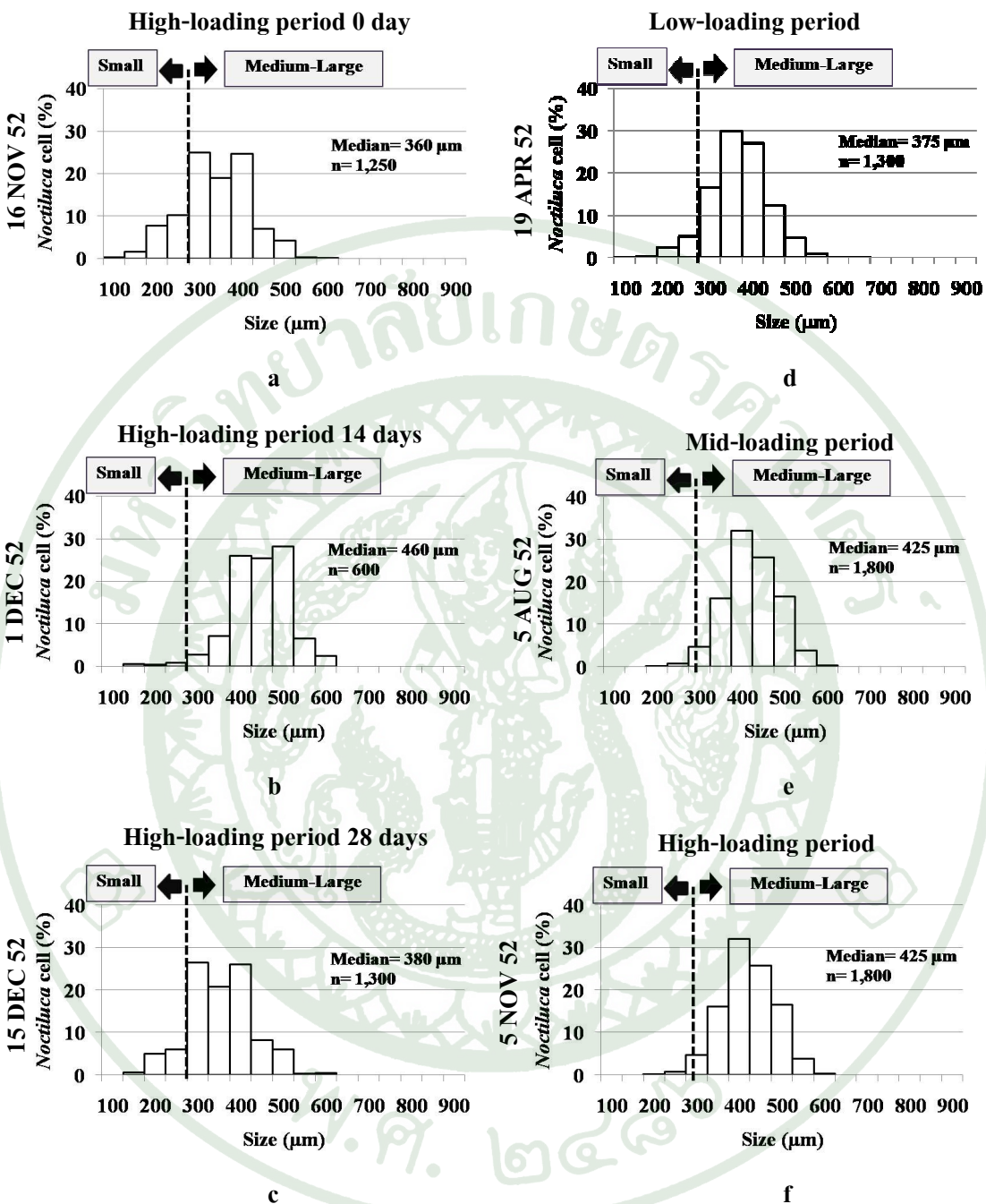
ในฤดูน้ำท่วมในปี 2553 พบรความหนาแน่นของเซลล์น้อยที่สุดจากการศึกษาในรอบปี จึงมีความเป็นไปได้ว่าในช่วงเวลาดังกล่าวนั้นเป็นช่วงหลังการเกิดปรากฏการณ์น้ำทะเลขเปลี่ยนสี ซึ่งเกิดการพัดแทนที่ของแพลงก์ตอนชนิดอื่น ในภาพรวมแสดงให้เห็นว่าการเปลี่ยนแปลงในโครงสร้างทางขนาดเกิดขึ้นได้ตลอดเวลาในพื้นที่ปากแม่น้ำท่าจีน ซึ่งมีอิทธิพลจากการเปลี่ยนแปลงสภาพแวดล้อมประจำการ

เมื่อพิจารณาโครงสร้างของประชากร ขนาดสัดส่วนด้านขนาดของเซลล์ (ตารางที่ 6 และภาพที่ 23) จะพบว่าประชากร *Noctiluca* ที่พบรในพื้นที่ ส่วนใหญ่ประกอบด้วยเซลล์ขนาดกลาง โดยเฉพาะขนาด (300-500 μm) เป็นสัดส่วนที่มากที่สุด เซลล์มีขนาดเส้นผ่านศูนย์กลางเฉลี่ยอยู่ในช่วง 360-460 μm ขนาดดังกล่าวมีค่าค่อนข้างเล็ก เมื่อเทียบกับตัวอย่างที่พบรจากพื้นที่ปากแม่น้ำอื่น ๆ ของประเทศไทย *N. scintillans* ที่พบรจากการศึกษาของ Sriwoon (2006) บริเวณปากแม่น้ำบางปะกงนั้นพบว่ามีขนาดเส้นผ่านศูนย์กลางอยู่ในช่วง 255-765 μm ขนาดเส้นผ่านศูนย์กลางโดยเฉลี่ยเท่ากับ 500 μm Uhlig and Sahling (1990) และ Buskey (1995) รายงานว่า ขนาดของเซลล์นั้นขึ้นอยู่กับสภาพของชาตุอาหารในน้ำ เซลล์ที่ได้รับอาหารอย่างต่อเนื่องจะมีการแบ่งเซลล์ซ้ำ ๆ ซึ่งส่งผลให้เซลล์มีขนาดเล็กลง

ตารางที่ 6 ขนาดเซลล์ และสัดส่วนของเซลล์ขนาดเล็ก: เซลล์ขนาดใหญ่ ของประชากร *Noctiluca scintillans* ในพื้นที่ปากแม่น้ำท่าจีน

วันที่	ขนาดเซลล์ (ไมโครเมตร)	ค่าเฉลี่ยมัธยฐาน (ไมโครเมตร)	สัดส่วนเซลล์ขนาดเล็ก*: ขนาดกลาง-ขนาดใหญ่
16 พ.ย. 52	120-600	360	1:4
1 ธ.ค. 52	160-640	460	1:4.9
15 ธ.ค. 52	160-600	380	1:7.3
19 เม.ย. 53	100-675	375	1:11.5
5 ส.ค. 53	200-625	425	1:99
5 พ.ย. 53	200-925	432	1:99

\*น้อยกว่า 300 ไมโครเมตร



ภาพที่ 23 โครงการสร้างทางนาดของประชากร *Noctiluca scintillans* ในพื้นที่ปากแม่น้ำท่าจีน ช่วงกลางฤดูน้ำหลากร 2552 (a-c: ครั้งที่ 1 (0 วัน) เดือนพฤษภาคม 2552 (a), ครั้งที่ 2 (14 วัน) ต้นเดือนพฤษภาคม (b) และ ครั้งที่ 3 (28 วัน) กดังเดือนพฤษภาคม (c)) ฤดูแล้ง 2553 (d) ต้นฤดูน้ำหลากร 2553 (e) และกดังฤดูน้ำหลากร 2553 (f)

## 4.2 ปัจจัยสิ่งแวดล้อมทางน้ำ และบทบาทต่อ *Noctiluca scintillans*

### 4.2.1 อุณหภูมิ

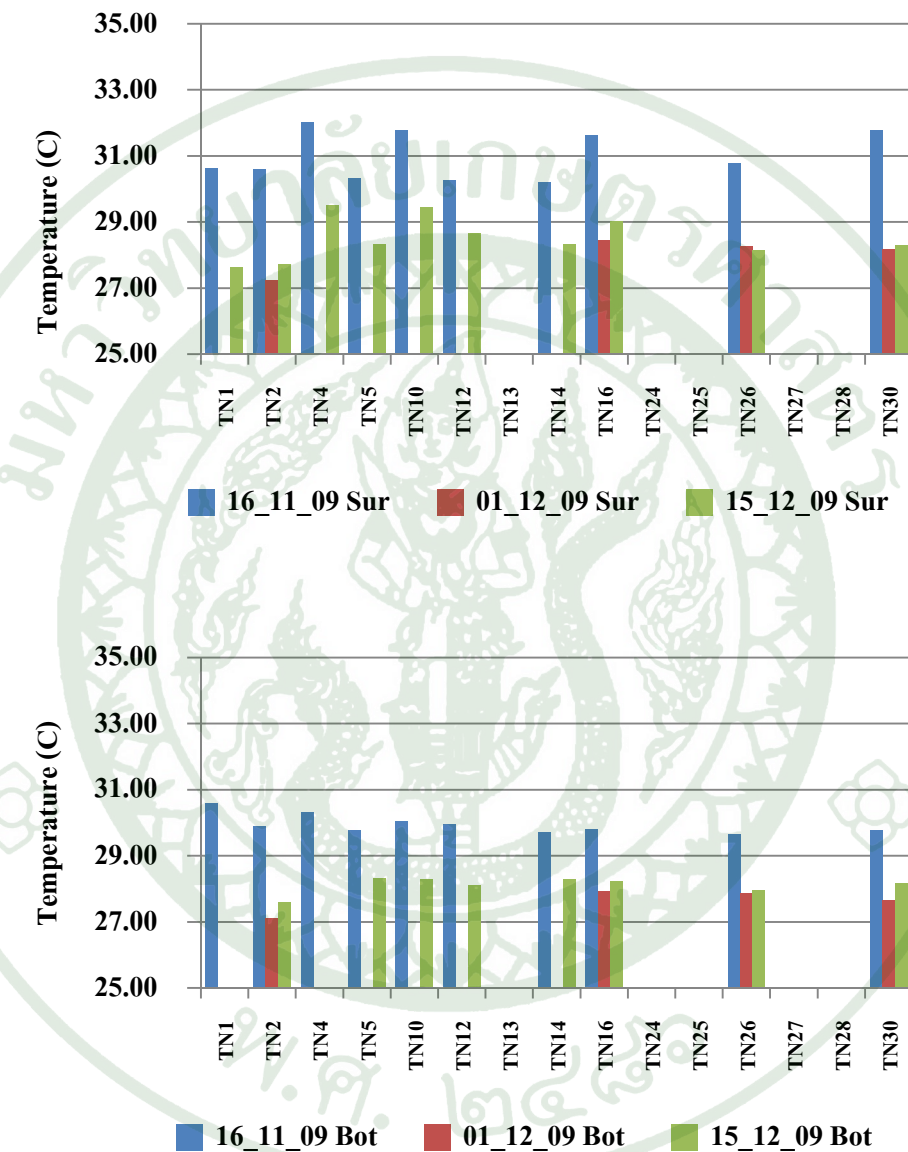
ครั้งที่ 1 (16 พฤษภาคม 2552) อุณหภูมิในพื้นที่ปากแม่น้ำท่าจีนอยู่ระหว่าง 29.24-32.01 องศาเซลเซียส ซึ่งมีค่าสูงสุดในสถานี TN4 และต่ำสุดในสถานี TN26 ที่ระดับน้ำเหนือผิวดินต่ำกว่า 0.5 เมตร อุณหภูมิบริเวณผิวน้ำและที่ระดับน้ำเหนือผิวดินต่ำกว่า 0.5 เมตร มีอุณหภูมิ 30.21-32.01 และ 29.64-30.59 องศาเซลเซียส ตามลำดับ ซึ่งจากค่าเฉลี่ยพบว่าบริเวณผิวน้ำ ( $\bar{X} = 31.00 \pm 0.72$  องศาเซลเซียส) มีอุณหภูมิสูงกว่าที่ระดับน้ำเหนือผิวดินต่ำกว่า ( $\bar{X} = 29.95 \pm 0.30$  องศาเซลเซียส) ประมาณ 1 องศาเซลเซียส

ครั้งที่ 2 (1 ธันวาคม 2552) อุณหภูมิมีค่าอยู่ในช่วง 27.11-28.43 องศาเซลเซียส โดยที่ระดับผิวน้ำและระดับน้ำเหนือผิวดินต่ำกว่า 0.5 เมตร มีอุณหภูมิอยู่ระหว่าง 27.22-28.43 และ 27.11-27.93 องศาเซลเซียส ที่ระดับน้ำดังกล่าวมีค่าเฉลี่ยเท่ากับ  $28.02 \pm 0.54$  และ  $27.64 \pm 0.37$  องศาเซลเซียส ตามลำดับ โดยอุณหภูมิมีค่าสูงสุดในสถานี TN16 และต่ำสุดในสถานี TN2

ครั้งที่ 3 (15 ธันวาคม 2552) อุณหภูมิบริเวณปากแม่น้ำในครั้งนี้มีค่าอยู่ในช่วง 27.59-29.51 องศาเซลเซียส ที่ระดับผิวน้ำและน้ำที่ระดับเหนือผิวดินต่ำกว่า 0.5 เมตร มีอุณหภูมิอยู่ระหว่าง 27.6-29.51 และ 27.59-29.51 องศาเซลเซียส ที่ระดับน้ำดังกล่าวมีค่าเฉลี่ยเท่ากับ  $28.51 \pm 0.65$  และ  $28.27 \pm 0.52$  องศาเซลเซียส ตามลำดับ โดยอุณหภูมิมีค่าสูงสุดในสถานี TN4 และต่ำสุดในสถานี TN2

เมื่อวิเคราะห์ความแตกต่างของอุณหภูมิทางสถิติด้วย One-way ANOVA พบว่า ในเดือนพฤษภาคม อุณหภูมิในพื้นที่ปากแม่น้ำท่าจีนแตกต่างจากในช่วงเดือนธันวาคมอย่างมีนัยสำคัญยิ่งทางสถิติ ที่ระดับความเชื่อมั่นร้อยละ 99 โดยในเดือนพฤษภาคมมีอุณหภูมิสูงกว่าในเดือนธันวาคมประมาณ 1-2 องศาเซลเซียส อุณหภูมิไม่มีความผันแปรตามสถานีศึกษา แต่พบว่า อุณหภูมิที่ระดับผิวน้ำสูงกว่าระดับเหนือผิวดินต่ำกว่า 0.5 เมตร มีความแตกต่างกันอย่างมีนัยสำคัญยิ่งทางสถิติที่ระดับความเชื่อมั่นร้อยละ 99 ในเดือนพฤษภาคม และที่ระดับความเชื่อมั่นร้อยละ 95 ในเดือนธันวาคม แสดงให้เห็นว่าในเดือนพฤษภาคม อุณหภูมิมีความแตกต่างระหว่างระดับน้ำทึบสอง

ระดับมากกว่าในเดือนธันวาคม ทั้งนี้เนื่องจากในเดือนพฤษจิกายนมีระดับน้ำที่ลึกกว่า จึงส่งผลให้อุณหภูมิบริเวณผิวน้ำมีค่าสูงกว่าที่ระดับน้ำด้านล่าง



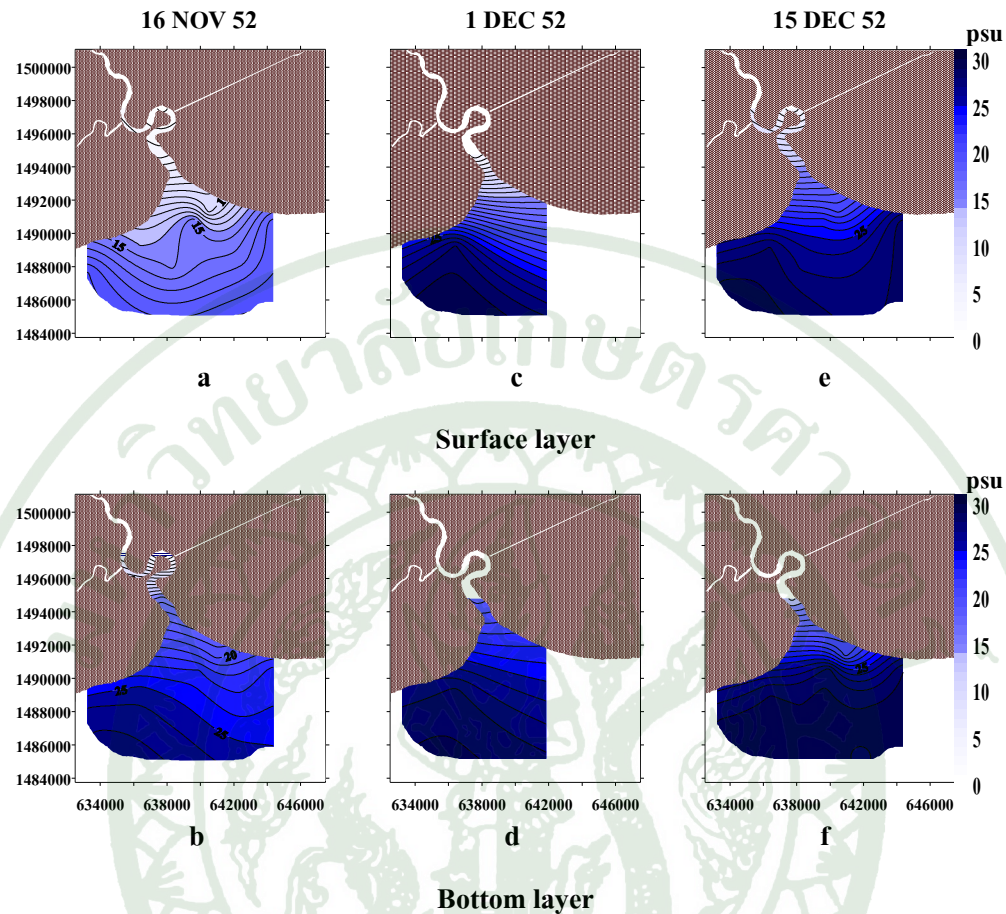
ภาพที่ 24 อุณหภูมิ (องศาเซลเซียส) ที่ระดับผิวน้ำ (ภาพบน) และพื้นที่องค์น้ำหน้าเห็นผิวดินตะกอน (ภาพล่าง) ในพื้นที่ปากแม่น้ำท่าจีนในช่วงกลางฤดูหนาวปี 2552

#### 4.2.2 ความเค็ม

ครั้งที่ 1 (16 พฤษภาคม 2552) ความเค็มในพื้นที่ปากแม่น้ำท่าจีนมีพิสัยอยู่ในช่วง 0.80-26.58 psu โดยที่ระดับผิวน้ำและระดับน้ำเหนือผิวดินต่อกันมีค่าอยู่ระหว่าง 0.80-20.09 และ 0.93-26.58 psu ค่าเฉลี่ยทั้งสองระดับมีค่าเท่ากับ  $13.31 \pm 6.69$  และ  $20.92 \pm 7.77$  psu ตามลำดับ จากผลการศึกษาแสดงให้เห็นว่าความเค็มที่ระดับผิวน้ำต่ำกว่าในระดับน้ำที่ลึกลงไปเนื่องจากมวลน้ำเค็มมีความหนาแน่นมากกว่าน้ำจืด ซึ่งความหนาแน่นของน้ำจะแปรผันตามความเค็มที่เพิ่มขึ้น (สุวัจน์, 2550) ล่างผลให้มวลน้ำที่เค็มกว่ามักจะอยู่ด้านล่างเสมอ ความเค็มในแต่ละสถานีมีความผันแปรมาก โดยจะมีความเค็มต่ำในพื้นที่ตอนในและสูงขึ้นในพื้นที่ตอนนอก ซึ่งเพิ่มขึ้นตามระยะทางที่ห่างจากปากแม่น้ำ โดยมีความเค็มต่ำสุดในสถานี TN1 ที่อยู่ตอนในบริเวณลำน้ำ และสูงสุดในสถานี TN30 บริเวณฝั่งตะวันตกในแนวออกสู่

ครั้งที่ 2 (1 ธันวาคม 2552) ความเค็มในพื้นที่ปากแม่น้ำท่าจีนมีพิสัยอยู่ในช่วง 3.13-28.34 psu โดยที่ระดับผิวน้ำและระดับน้ำที่ 3 เมตร มีค่าอยู่ระหว่าง 3.13-28.11 และ 18.52-28.34 psu ค่าเฉลี่ยทั้งสองระดับมีค่าเท่ากับ  $21.62 \pm 12.33$  และ  $25.84 \pm 4.88$  psu ตามลำดับ โดยมีความเค็มสูงสุดในสถานี TN30 ที่ระดับน้ำ 3 เมตร และต่ำสุดในสถานี TN2 ที่ระดับผิวน้ำ ความเค็มที่ระดับผิวน้ำและที่ระดับ 3 เมตร ไม่มีความแตกต่างกันมากนัก ยกเว้นในสถานีในลำน้ำที่พบว่าบริเวณผิวน้ำมีความเค็มต่ำกว่ามาก เนื่องจากยังได้รับอิทธิพลจากน้ำจีดมากกว่าในสถานีอื่น ๆ แม้ว่าในช่วงเวลาดังกล่าวเป็นช่วงที่น้ำขึ้นสูงสุดของวันก็ตาม รวมถึงความลึกมีค่อนข้างมากทำให้มีความแตกต่างของความเค็มในสถานีดังกล่าวนั่นเอง

ครั้งที่ 3 (15 ธันวาคม 2552) ความเค็มในพื้นที่ปากแม่น้ำท่าจีนมีพิสัยอยู่ในช่วง 3.33-29.00 psu โดยที่ระดับผิวน้ำและระดับน้ำที่ 2 เมตร มีค่าอยู่ระหว่าง 3.33-28.72 และ 12.68-29.00 psu ค่าเฉลี่ยทั้งสองระดับมีค่าเท่ากับ  $22.58 \pm 8.54$  และ  $26.84 \pm 5.72$  psu ตามลำดับ ความเค็มที่ระดับผิวน้ำต่ำกว่าที่ระดับ 2 เมตร ประมาณ 1-3 psu ซึ่งในบางสถานี อาทิ สถานี TN4, TN10 และ TN30 ก็พบว่าไม่มีความแตกต่างกัน โดยในครั้งนี้ตรวจพบความเค็มสูงสุดในสถานี TN5 และ TN4 ที่ระดับความลึก 2 เมตร



ภาพที่ 25 การแพร่กระจายของความเค็ม (psu) ในช่วงกลางฤดูน้ำหลากรปี 2552 (ครั้งที่ 1 (0 วัน) เดือนพฤษจิกายน 2552 (a-b), ครั้งที่ 2 (14 วัน) ต้นเดือนธันวาคม 2552 (c-d) และ ครั้งที่ 3 (28 วัน) กลางเดือนธันวาคม 2552 (e-f))

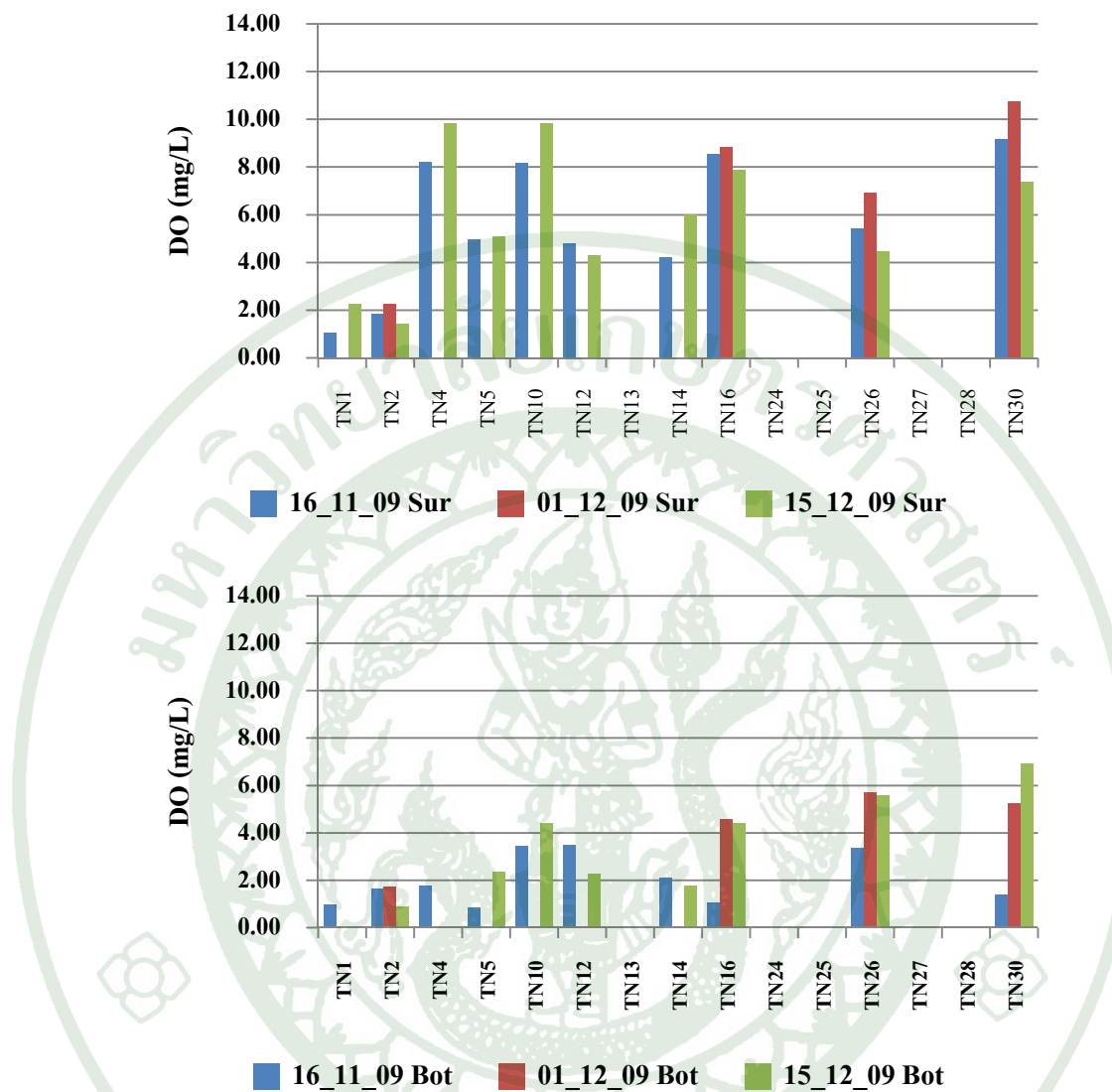
การแพร่กระจายของความเค็มในช่วงกลางฤดูน้ำหลากรปี 2552 พบว่ามีค่าอยู่ในช่วง 0.80-29.00 psu โดยพบว่าในเดือนพฤษจิกายนมีความเค็มต่ำสุด ส่วนในเดือนธันวาคมมีความผันแปรของความเค็มใกล้เคียงกันทั้ง 2 ครั้ง เนื่องจากปริมาณน้ำท่าในเดือนพฤษจิกายนมีปริมาณสูงกว่าในเดือนธันวาคม ซึ่งปริมาณน้ำท่าทั้ง 2 ครั้ง คือ 18.84 และ 13.42 ล้านลูกบาศก์เมตร ตามลำดับ (ศูนย์อุทกวิทยาและบริหารน้ำภาคกลาง กรมชลประทาน, 2555) จากภาพที่ 25 แสดงให้เห็นว่าความเค็มในพื้นที่ปากแม่น้ำท่าจีนในช่วงกลางฤดูน้ำหลากรปี 2552 มีความเค็มต่ำในพื้นที่ตอนในบริเวณลำน้ำซึ่งเป็นจุดเชื่อมต่อระหว่างระบบน้ำ wen น้ำจืดและน้ำเค็ม จึงทำให้ได้รับอิทธิพลจากน้ำจืดมากกว่าสถานีอื่น ๆ และความเค็มน้ำมีแนวโน้มสูงขึ้นในแนวตอนนอกของปากแม่น้ำ เมื่อ

วิเคราะห์ผลทางสถิติพบว่าความเสี่ยงจากการตรวจวัดทั้ง 3 ครั้ง มีความแตกต่างอย่างไม่มีนัยสำคัญทางสถิติ

#### 4.2.3 ออกรชีเจนละลายน้ำ

ครั้งที่ 1 (16 พฤษภาคม 2552) ค่าออกรชีเจนละลายน้ำอยู่ในช่วง 0.88-9.20 มิลลิกรัมต่อลิตร โดยที่ระดับผิวน้ำและระดับน้ำหนึ่งอัตราคิดเห็นต่อส่วนของน้ำค่าอยู่ระหว่าง 1.06-9.20 และ 0.88-3.5 มิลลิกรัมต่อลิตร ค่าเฉลี่ยทั้งสองระดับมีค่าเท่ากับ  $5.65 \pm 2.85$  และ  $2.02 \pm 1.05$  มิลลิกรัมต่อลิตร ตามลำดับ แสดงให้เห็นว่าที่ระดับผิวน้ำและระดับน้ำหนึ่งอัตราคิดเห็นต่อส่วนของน้ำค่าออกรชีเจนละลายน้ำแตกต่างกันมาก เนื่องจากเป็นช่วงเวลาหน้าเขื่น ส่งผลให้เกิดการแปรเปลี่ยนของน้ำโดยบริเวณผิวน้ำ เป็นมวลน้ำจืด และมวลน้ำเคลื่อนย้ายในระดับน้ำด้านล่าง ซึ่งมักจะมีค่าออกรชีเจนละลายน้ำต่ำ ประกอบกับระดับความลึกของน้ำมีมากในครั้งนี้ ทำให้การแพร่ผ่านของออกรชีเจนลงไปในระดับน้ำที่ลึกมีน้อย จึงทำให้เห็นความแตกต่างของค่าออกรชีเจนละลายน้ำอย่างชัดเจน นอกเหนือนี้เพลงก์ตอนพืชที่ล่องลอยอยู่บริเวณผิวน้ำซึ่งมีมากกว่าในระดับน้ำด้านล่างนั้น มีส่วนสำคัญอย่างยิ่งในการเพิ่มปริมาณออกรชีเจนให้กับมวลน้ำที่ผิวน้ำของแหล่งน้ำมากกว่า ดังจะเห็นได้จากการศึกษาในสถานี TN 4, 10, 16 และ 30 ที่มีค่าออกรชีเจนละลายน้ำเกินจุดอิ่มตัว และมีค่าสูงสุดถึง 9.20 ที่ระดับผิวน้ำในสถานี TN 30 นั้นเอง

สำหรับค่าออกรชีเจนในแต่ละสถานีพบว่ามีความแตกต่างกันตามพื้นที่ โดยในสถานีที่อยู่ในลำน้ำ (TN1 และ 2) ที่ระดับผิวน้ำออกรชีเจนละลายน้ำมีค่าต่ำที่สุดในพื้นที่ (1.06 และ 1.83 มิลลิกรัมต่อลิตร) เนื่องจากในบริเวณสถานีดังกล่าวเป็นเขตอุตสาหกรรม ชุมชน รวมถึงการเป็นแหล่งจอดเรือของเรือประมงขนาดใหญ่จำนวนมาก ส่งผลให้มีปริมาณสารอินทรีย์สูง เกิดการย่อยสลายโดยแบคทีเรีย ซึ่งกระบวนการย่อยสลายนั้นจำเป็นต้องใช้ออกรชีเจนในกระบวนการ จึงทำให้ออกรชีเจนในมวลน้ำสูงน้ำไปใช้ในปริมาณมาก ประกอบกับบริเวณดังกล่าวมีลักษณะชุ่มน้ำ ขยาย และซากพร洱 ไม่น้ำ เช่น พักตบชวา บริเวณผิวน้ำน้ำจามนานมาก แสงที่ส่องผ่านลงไปในมวลน้ำจึงมีไนโตรเจน ซึ่งกระบวนการลดออกออกรชีเจนจากการสังเคราะห์แสงของเพลงก์ตอนในบริเวณนั้น



ภาพที่ 26 ออกซิเจนละลายน้ำ (มิลลิกรัมต่อลิตร) ที่ระดับผิวน้ำ (ภาพบน) และพื้นท้องน้ำเหนือดินตะกอน(ภาพล่าง) พื้นที่ปากแม่น้ำท่าเจ็นในช่วงกลางฤดูหนาวปี 2552

สำหรับพื้นที่ในแนวร่องน้ำ (TN5 13 และ 26) และสถานีไกลส์เคียงซึ่งอยู่บริเวณตอนกลางของปากแม่น้ำนั้นออกซิเจนละลายน้ำมีค่าเฉลี่ยเท่ากับ  $4.86 \pm 0.50$  มิลลิกรัมต่อลิตร ส่วนในสถานีที่อยู่ใกล้ริมฝั่งทั้งตะวันออก (TN4 และ 10) และตะวันตก (TN16 และ 30) พบว่ามีปริมาณออกซิเจนละลายน้ำสูงมากจนเกินจุดอิ่มตัว โดยมีค่าเฉลี่ยเท่ากับ  $8.55 \pm 0.46$  มิลลิกรัมต่อลิตร

ครั้งที่ 2 (1 ธันวาคม 2552) ค่าอุกซิเจนและลายน้ำ/oxy ในช่วง 1.73-10.76 มิลลิกรัมต่อลิตร โดยที่ระดับผิวน้ำและระดับน้ำเหนือผิวดินตะกอนมีค่าอยู่ระหว่าง 2.27-10.76 และ 1.73-5.70 มิลลิกรัมต่อลิตร ค่าเฉลี่ยทั้งสองระดับมีค่าเท่ากับ  $7.19 \pm 3.64$  และ  $4.32 \pm 1.79$  มิลลิกรัมต่อลิตร ตามลำดับ แสดงให้เห็นว่าค่าอุกซิเจนและลายน้ำที่ระดับผิวน้ำสูงกว่าระดับน้ำเหนือผิวดินตะกอนโดยในครั้งนี้ตรวจพบค่าอุกซิเจนและลายน้ำสูงสุดในสถานี TN30 และต่ำสุดในสถานี TN2

ครั้งที่ 3 (15 ธันวาคม 2552) ค่าอุกซิเจนและลายน้ำ/oxy ในช่วง 0.90-9.86 มิลลิกรัมต่อลิตร โดยที่ระดับผิวน้ำและระดับน้ำเหนือผิวดินตะกอนมีค่าอยู่ระหว่าง 1.44-9.86 และ 0.90-6.94 มิลลิกรัมต่อลิตร ค่าเฉลี่ยทั้งสองระดับมีค่าเท่ากับ  $5.86 \pm 2.90$  และ  $3.58 \pm 2.08$  มิลลิกรัมต่อลิตร ตามลำดับ ในการศึกษาครั้งนี้พบว่าปริมาณออกซิเจนและลายน้ำมีค่าสูงเกินจุดอิมตัวในแนวริมฝั่งตะวันออกและตะวันตก ซึ่งในฝั่งตะวันออกนั้นมีค่าสูงกว่าในฝั่งตะวันตก และสูงสุดในสถานี TN4 และ TN10 ส่วนในบริเวณตอนกลางของปากแม่น้ำพบว่าปริมาณออกซิเจนและลายน้ำมีค่าเฉลี่ยเท่ากับ  $4.98 \pm 0.77$  มิลลิกรัมต่อลิตร และพบว่าปริมาณออกซิเจนและลายน้ำมีค่าต่ำสุดในสถานีที่อยู่ในตัวลำน้ำ (TN1 และ 2)

ค่าอุกซิเจนและลายน้ำในช่วงฤดูหนาวปี 2552 มีค่าผันแปรอยู่ในช่วง 0.88-10.76 มิลลิกรัมต่อลิตร ซึ่งมีค่าสูงสุดในช่วงต้นเดือนธันวาคม และต่ำสุดในเดือนพฤษภาคม โดยทั้ง 3 ครั้งมีแนวโน้มของค่าอุกซิเจนและลายน้ำใกล้เคียงกัน และเมื่อทำการทดสอบความแตกต่างทางสถิติ พบว่ามีความแตกต่างอย่างไม่มีนัยสำคัญทางสถิติ ในภาพรวมค่าอุกซิเจนและลายน้ำจะมีค่าสูงในพื้นที่ริมฝั่งตะวันออกและตะวันตก และลดลงในพื้นที่ตอนกลางของปากแม่น้ำและแนวริมฝั่ง และมีค่าต่ำสุดในสถานีที่ตั้งอยู่ในตัวลำน้ำ เนื่องจากอิทธิพลของน้ำจืด ซึ่งมีปริมาณออกซิเจนและลายน้ำต่ำจากการนำໄไปใช้ของสิ่งมีชีวิต โดยเฉพาะอย่างยิ่งแบคทีเรียที่นำไปใช้ในกระบวนการย่อยสลายสารอินทรีย์ที่มีสูงมากในพื้นที่ที่เป็นจุดเชื่อมต่อระหว่างลำน้ำท่าจีนและปากแม่น้ำ จึงส่งผลให้ค่าอุกซิเจนในบริเวณนี้ต่ำที่สุดในพื้นที่ และส่งผลต่อค่าอุกซิเจนและลายน้ำในสถานีแนวริมฝั่งน้ำที่ได้รับอิทธิพลจากน้ำจืดมากกว่าพื้นที่อื่น

#### 4.2.4 ค่าความเป็นกรดเป็นด่าง

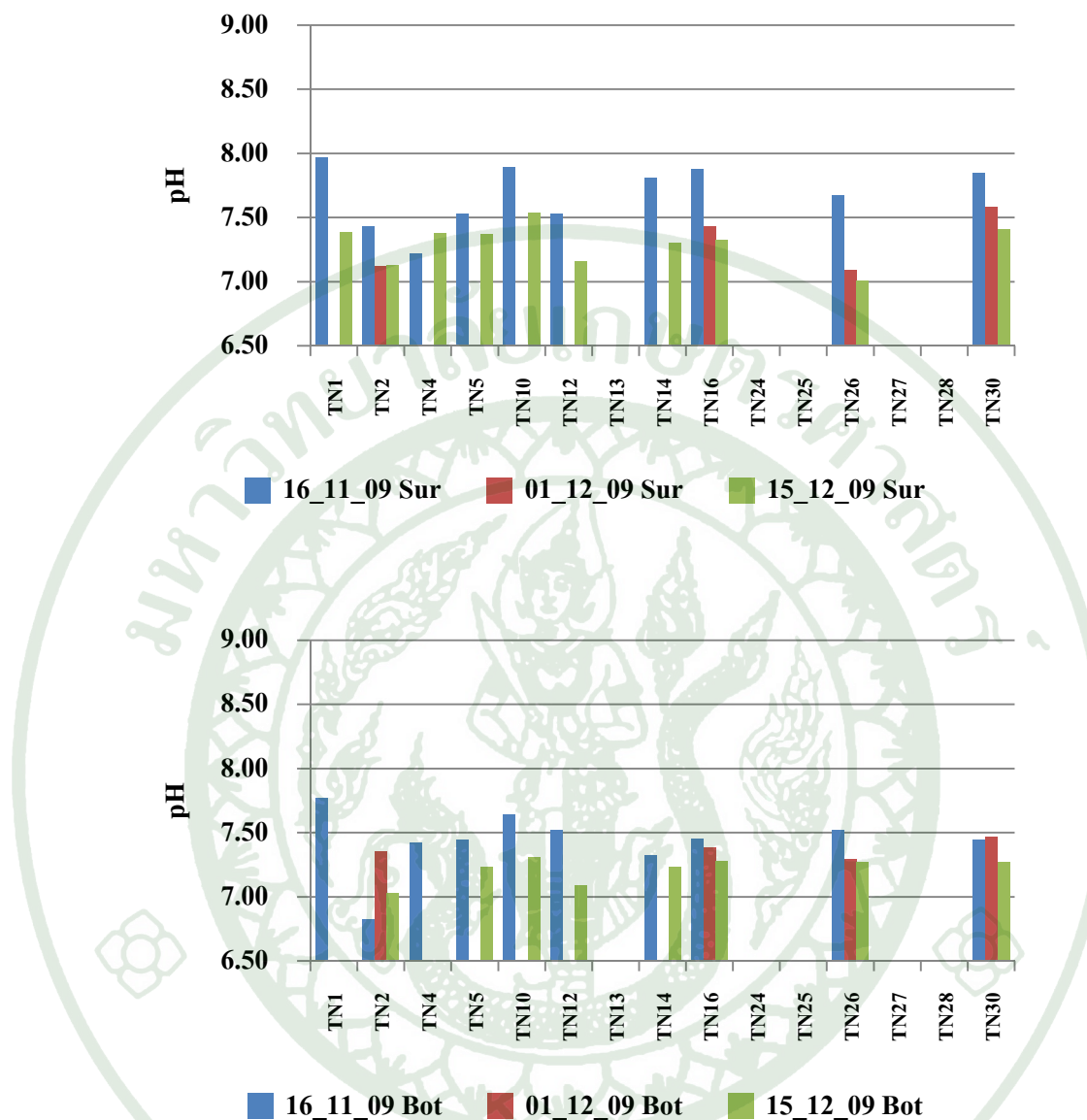
ครั้งที่ 1 (16 พฤษภาคม 2552) ความเป็นกรดเป็นด่างในพื้นที่ปากแม่น้ำท่าจีนอยู่ระหว่าง 6.82-7.97 ซึ่งบริเวณผิวน้ำและที่ระดับน้ำเหนือผิวดินตะกอนมีค่า  $7.22 \pm 0.79$  และ  $6.82-$

7.77 ตามลำดับ ในครั้งนี้ตรวจพบค่าความเป็นกรดเป็นด่างสูงสุดในสถานี TN1 และต่ำสุดในสถานี TN2 ที่ระดับน้ำเหนือผิวดินตะกอน ซึ่งจากค่าเฉลี่ยพบว่าบริเวณผิวน้ำ ( $\bar{X} = 7.68 \pm 0.24$ ) มีค่าสูงกว่าที่ระดับน้ำเหนือผิวดินตะกอน ( $\bar{X} = 7.43 \pm 0.25$ ) เล็กน้อยเนื่องจากบริเวณผิวน้ำมีอุณหภูมิที่สูงกว่า เนื่องจากมีการนำคาร์บอนไดออกไซด์ไปใช้ในการสังเคราะห์แสงของแพลงก์ตอนพืชมากกว่าในระดับน้ำที่ลึกลงไป ซึ่งมักจะมีการย่อยสลายสูง ทำให้เกิดสภาพเป็นกรดมากขึ้น

ครั้งที่ 2 (1 ธันวาคม 2552) ความเป็นกรดเป็นด่างในช่วงนี้พบว่ามีค่าอยู่ระหว่าง 7.09-7.58 ซึ่งบริเวณผิวน้ำและระดับน้ำเหนือผิวดินตะกอนมีค่า 7.09-7.58 และ 7.29-7.47 ซึ่งมีค่าเฉลี่ยเท่ากับ  $7.31 \pm 0.24$  และ  $7.37 \pm 0.07$  ตามลำดับ ในครั้งนี้ตรวจพบความเป็นกรดเป็นด่างสูงสุด ในสถานี TN30 และต่ำสุดในสถานี TN26 โดยที่น้ำทั้งสองระดับมีค่าความเป็นกรดเป็นด่างไม่แตกต่างกัน และไม่มีความแตกต่างในเชิงพื้นที่

ครั้งที่ 3 (15 ธันวาคม 2552) ความเป็นกรดเป็นด่างมีค่าอยู่ในช่วง 7.01-7.54 ซึ่ง บริเวณผิวน้ำและระดับน้ำเหนือผิวดินตะกอนมีค่า 7.01-7.54 และ 7.03-7.38 ซึ่งมีค่าเฉลี่ยเท่ากับ  $7.30 \pm 0.16$  และ  $7.23 \pm 0.11$  ตามลำดับ ในครั้งนี้ตรวจพบความเป็นกรดเป็นด่างสูงสุดในสถานี TN10 และต่ำสุดในสถานี TN26 โดยที่น้ำทั้งสองระดับมีค่าความเป็นกรดเป็นด่างไม่แตกต่างกัน และไม่มีความแตกต่างในเชิงพื้นที่

จากข้อมูลการศึกษาในช่วงฤดูหนาว (พฤษจิกายน-ธันวาคม 2552) พบว่า ค่าความเป็นกรดเป็นด่างมีค่าอยู่ในช่วง 6.82-7.97 ซึ่งไม่มีความแตกต่างกันในทั้ง 3 ครั้งที่ทำการศึกษา และไม่มีความผันแปรมากนักทั้งตามระดับความลึกและพื้นที่ ยกเว้นในเดือนพฤษจิกายนที่พบว่ามีความแตกต่างที่ระดับน้ำผิวน้ำและระดับน้ำเหนือผิวดินตะกอนเล็กน้อย เนื่องจากบริเวณผิวน้ำมีอุณหภูมิที่สูงกว่าเนื่องจากมีการนำคาร์บอนไดออกไซด์ไปใช้ในการสังเคราะห์ด้วยแสงของแพลงก์ตอนพืชมากกว่าในระดับน้ำที่ลึกลงไป ในระดับน้ำที่ลึกลงไปจะมีการย่อยสลายสูงกว่าจึงทำให้ในมวลน้ำมีสภาพเป็นกรดมากขึ้น เมื่อทดสอบความแตกต่างทางสถิติพบว่าไม่มีความแตกต่างจาก การศึกษาทั้ง 3 ครั้งในช่วงฤดูหนาว

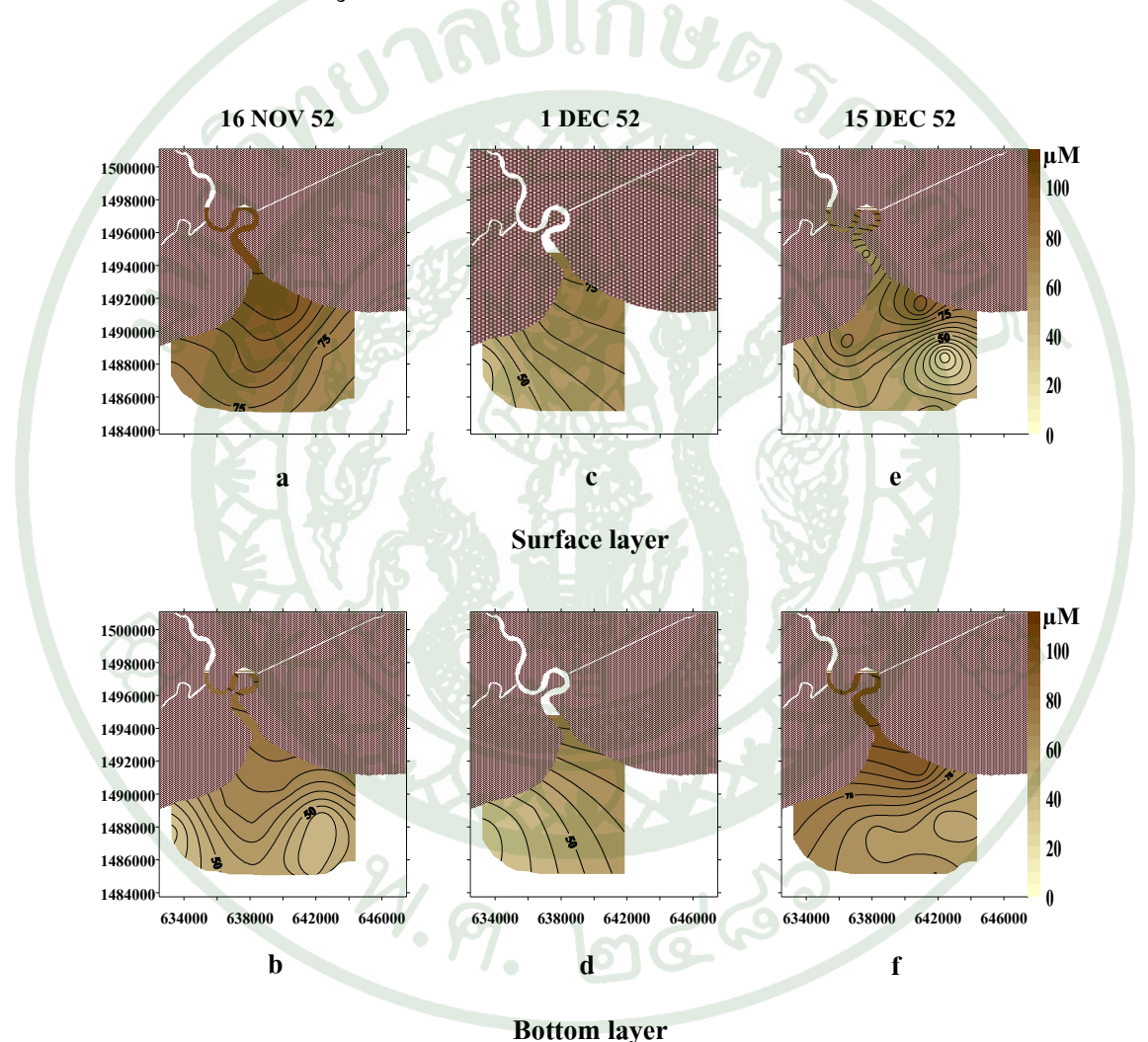


ภาพที่ 27 ความเป็นกรดเป็นด่างที่ระดับผิวน้ำ (ภาพบน) และพื้นท้องน้ำหนึ่งอ่าวคินตะกอน (ภาพล่าง) พื้นที่ปากแม่น้ำท่าจีนในช่วงกลางฤดูหนาวปี 2552

#### 4.2.5 ชิลิกेट-ชิลิคอน

ครั้งที่ 1 (16 พฤศจิกายน 2552) ความเข้มข้นของชิลิกेट-ชิลิคอนในพื้นที่ปากแม่น้ำท่าจีนมีค่าอยู่ระหว่าง 32.19-102.45 ไมโครโมลาร์ โดยที่ระดับผิวน้ำและระดับน้ำหนึ่งอ่าวคินตะกอนมีค่าอยู่ในช่วง 66.64-102.45 และ 32.19-93.38 ไมโครโมลาร์ ซึ่งมีค่าเฉลี่ยเท่ากับ

$84.77 \pm 14.02$  และ  $61.70 \pm 20.19$  ไมโครโมลาร์ ตามลำดับ ซิลิกेट-ซิลิคอนมีความเข้มข้นสูงสุดในสถานี TN1 และ 2 โดยที่ระดับผิวน้ำมีปริมาณของซิลิกेट-ซิลิคอนสูงกว่าระดับน้ำเหนือผิวดินตะกอน และมีแนวโน้มลดลงตามระยะทางที่ห่างจากลำน้ำ ซึ่งมีค่าต่ำสุดในสถานี TN30 ในสถานี ฝั่งตะวันออกพบว่ามีการลดลงของซิลิกेट-ซิลิคอนมากกว่าฝั่งตะวันตก เมื่อทดสอบความแตกต่างทางสถิติพบว่าปริมาณซิลิกेट-ซิลิคอนที่ระดับผิวน้ำและระดับน้ำเหนือผิวดินตะกอนมีความแตกต่างกันอย่างมีนัยสำคัญยิ่งทางสถิติ ที่ระดับความเชื่อมั่นร้อยละ 99



ภาพที่ 28 การแพร่กระจายของซิลิกेट-ซิลิคอน (ไมโครโมลาร์) ในช่วงกลางฤดูหนาวปี 2552  
 (ครั้งที่ 1 (0 วัน) เดือนพฤษภาคม 2552 (a-b) ครั้งที่ 2 (14 วัน) ต้นเดือนธันวาคม 2552  
 (c-d) และ ครั้งที่ 3 (28 วัน) กลางเดือนธันวาคม 2552 (e-f))

ครั้งที่ 2 (1 ธันวาคม 2552) ความเข้มข้นของชิลิกेट-ชิลิคอนในพื้นที่ปากแม่น้ำท่าจีนมีค่าอยู่ระหว่าง 31.73-78.88 ไมโครโมลาร์ โดยที่ระดับผิวน้ำและระดับน้ำเหนือผิวดินตะกอนมีค่าอยู่ในช่วง 36.72-78.88 และ 31.73-78.88 ไมโครโมลาร์ ซึ่งมีค่าเฉลี่ยเท่ากับ  $59.50 \pm 17.33$  และ  $53.27 \pm 19.98$  ไมโครโมลาร์ ตามลำดับ ชิลิกेट-ชิลิคอนมีความเข้มข้นสูงสุดในสถานี TN2 และมีแนวโน้มลดลงตามระยะทางที่ห่างจากลำน้ำ ซึ่งมีค่าต่ำสุดในสถานี TN30 ปริมาณชิลิกेट-ชิลิคอน ที่ระดับผิวน้ำและระดับน้ำเหนือผิวดินตะกอนไม่มีความแตกต่างกันมากนัก

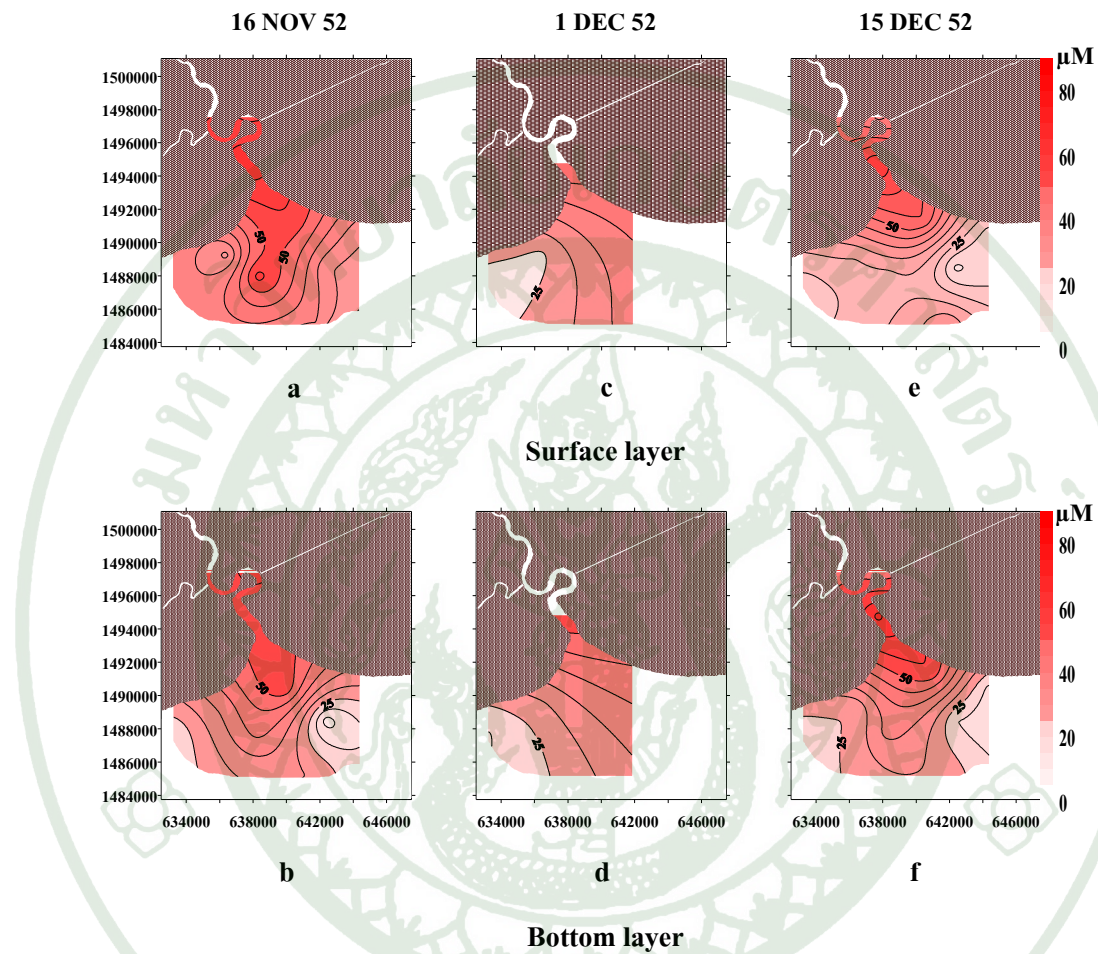
ครั้งที่ 3 (15 ธันวาคม 2552) ความเข้มข้นของชิลิกेट-ชิลิคอนในพื้นที่ปากแม่น้ำท่าจีนมีค่าอยู่ระหว่าง 19.95-102.45 ไมโครโมลาร์ โดยที่ระดับผิวน้ำและระดับน้ำที่ 2 เมตร มีค่าอยู่ในช่วง 19.95-96.10 และ 50.77-102.45 ไมโครโมลาร์ ซึ่งมีค่าเฉลี่ยเท่ากับ  $64.78 \pm 22.60$  และ  $73.89 \pm 17.99$  ไมโครโมลาร์ ตามลำดับ ใน การศึกษาครั้งนี้สถานีส่วนใหญ่จะพบว่ามีชิลิกेट-ชิลิคอนที่ระดับผิวน้ำมีค่าต่ำกว่าที่ระดับผิวน้ำและมีความผันแปรค่อนข้างมาก โดยเฉพาะสถานี TN 2 ซึ่งเป็นสถานีที่พบว่าที่ระดับน้ำ 2 เมตรมีความเข้มข้นสูงสุดในครั้งนี้ แต่ที่ระดับผิวน้ำมีค่าต่ำกว่ามาก เมื่อเปรียบเทียบเฉพาะที่ระดับผิวน้ำนั้นพบว่าสถานี TN1 มีค่าสูงสุด

จากการศึกษาในช่วงฤดูน้ำหลากทั้ง 3 ครั้งพบว่าชิลิกेट-ชิลิคอนมีค่าอยู่ในช่วง 19.95-102.45 ไมโครโมลาร์ โดยในสถานี TN1 และ TN2 นั้นพบว่าเป็นสถานีที่มีค่าสูงสุด และชิลิกेट-ชิลิคอนจะมีแนวโน้มลดลงในสถานีที่อยู่ด้านนอก ซึ่งแปรผันตามระยะทางที่ห่างจากลำน้ำ และมีความผันแปรตามระดับความลึกที่แตกต่างกันในช่วงฤดูน้ำหลากปี 2552 ในเดือนพฤษภาคม ชิลิกेट-ชิลิคอนมีปริมาณสูงกว่าในเดือนธันวาคม เมื่อทดสอบทางสถิติ พบว่าชิลิกेट-ชิลิคอน ในช่วงฤดูน้ำหลากจากการเก็บตัวอย่างทั้ง 3 ครั้งมีความแตกต่างกันอย่างไม่มีนัยสำคัญทางสถิติ

#### 4.2.5 ในโตรเจนที่ละลายน้ำ

ครั้งที่ 1 (16 พฤษภาคม 2552) ในโตรเจนละลายน้ำมีค่าอยู่ระหว่าง 12.80-64.48 ไมโครโมลาร์ โดยที่ระดับผิวน้ำและระดับน้ำเหนือผิวดินตะกอนมีค่าอยู่ในช่วง 28.67-64.48 และ 12.80-56.06 ไมโครโมลาร์ และมีค่าเฉลี่ยเท่ากับ  $44.60 \pm 13.08$  และ  $37.14 \pm 15.33$  ไมโครโมลาร์ ตามลำดับ โดยในโตรเจนละลายน้ำมีค่าสูงสุดที่ระดับผิวน้ำในสถานี TN2 และต่ำสุดที่ระดับน้ำเหนือผิวดินตะกอนในสถานี TN12 ซึ่งเป็นด้านตะวันออกของปากแม่น้ำ ในโตรเจนละลายน้ำมีค่า

สูงในตัวลำน้ำและในแนวร่องน้ำ และมีแนวโน้มลดลงในพื้นที่แนวด้านนอก ฝั่งตะวันออกและฝั่งตะวันตกของปากแม่น้ำ



**ภาพที่ 29** การแพร่กระจายของไนโตรเจนที่ละลายน้ำ (ไนโตรโอมลาร์) ในช่วงกลางฤดูหนาว 2552 (ครั้งที่ 1 (0 วัน) เดือนพฤษภาคม 2552 (a-b) ครั้งที่ 2 (14 วัน) ต้นเดือนธันวาคม 2552 (c-d) และ ครั้งที่ 3 (28 วัน) กลางเดือนธันวาคม 2552 (e-f))

ครั้งที่ 2 (1 ธันวาคม 2552) ในไตรจ恩ละลายน้ำมีค่าอยู่ระหว่าง 19.80-54.17 ไนโตรโอมลาร์ โดยที่ระดับผิวน้ำและระดับน้ำหนึ่งอิฐวิดินตะกอนมีค่าอยู่ในช่วง 23.64-49.44 และ 19.80-54.17 ไนโตรโอมลาร์ และมีค่าเฉลี่ยเท่ากับ  $33.73 \pm 12.34$  และ  $33.94 \pm 14.65$  ไนโตรโอมลาร์ ตามลำดับ โดยพบในไตรจ恩ละลายน้ำสูงสุดและต่ำสุดที่ระดับน้ำหนึ่งอิฐวิดินตะกอน ในสถานี TN2 และสถานี TN30 ตามลำดับ ซึ่งไม่มีความแตกต่างตามระดับความลึกมากนัก

ครั้งที่ 3 (15 ธันวาคม 2552) ในไตรเงนละลายน้ำมีค่าอยู่ระหว่าง 13.89-69.54 ไมโครโมลาร์ โดยที่ระดับผิวน้ำและที่ระดับน้ำ 2 เมตร มีค่าอยู่ในช่วง 13.89-69.54 และ 18.52-66.30 ไมโครโมลาร์ และมีค่าเฉลี่ยเท่ากับ  $37.16 \pm 17.58$  และ  $34.58 \pm 15.89$  ไมโครโมลาร์ ตามลำดับ ซึ่งตรวจพบค่าสูงสุดและต่ำสุดที่ระดับผิวน้ำในสถานี TN2 และสถานี TN12 ตามลำดับ ในไตรเงน ละลายน้ำที่ระดับผิวน้ำและที่ระดับ 2 เมตรพบว่าไม่มีความแตกต่างกัน แต่ที่ระดับน้ำ 4 เมตร ในสถานี TN30 ในไตรเงนละลายน้ำลดลงถึงระดับ 3.25 ไมโครโมลาร์ แสดงว่าในไตรเงนละลายน้ำ มีความผันแปรอย่างมากในระดับที่ลึกมากกว่า 2 เมตร

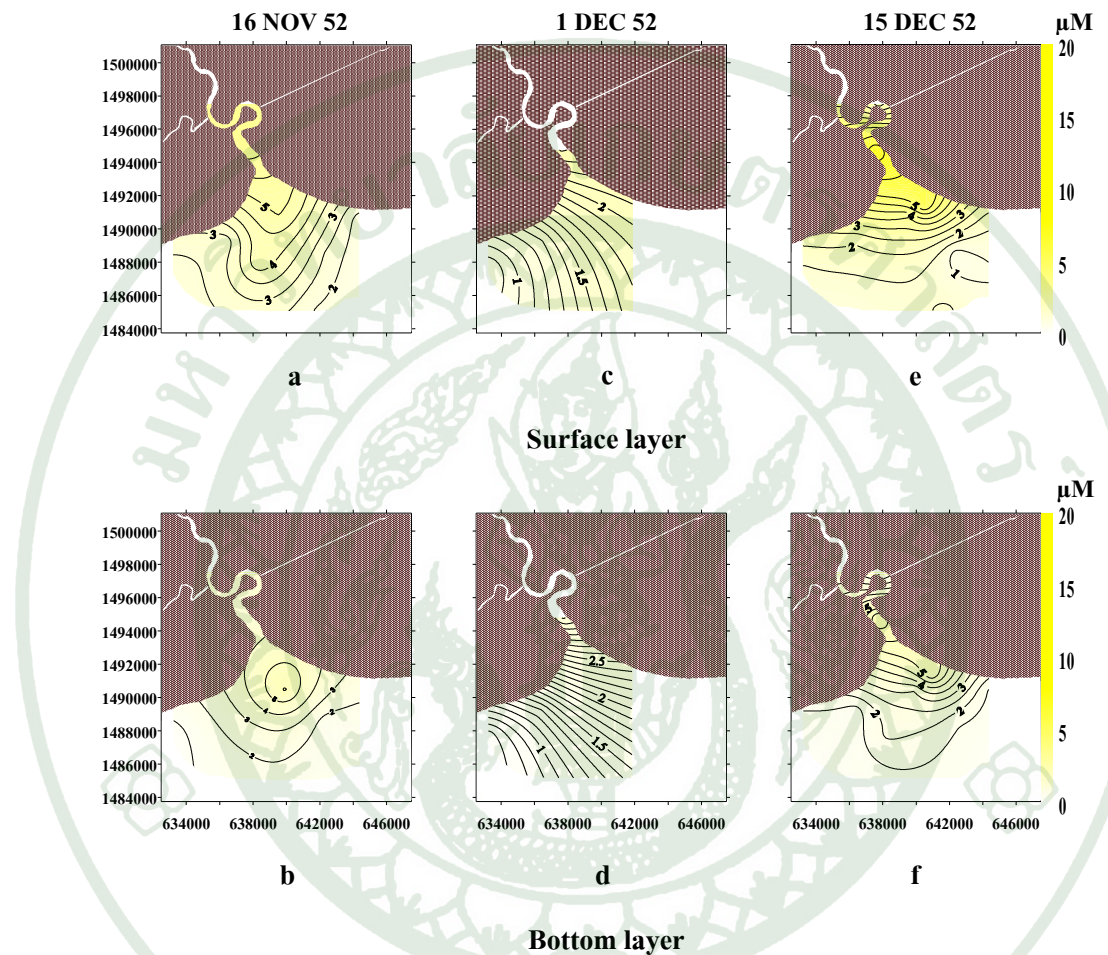
จากผลการศึกษาบริเวณพื้นที่ปากแม่น้ำท่าจีนในช่วงฤดูน้ำหลากปี 2552 ในไตรเงนละลายน้ำมีผันแปรอยู่ระหว่าง 12.80-69.54 ไมโครโมลาร์ โดยในสถานี TN2 มีความเข้มข้นสูงที่สุดในการศึกษาทั้ง 3 ครั้ง และสูงสุดในช่วงกลางเดือนธันวาคม ส่วนในสถานีตอนนอกน้ำปริมาณในไตรเงนละลายน้ำจะลดต่ำลง โดยมีค่าต่ำสุดในเดือนพฤษภาคม ที่ระดับพื้นท้องน้ำหนึ่งอีกเดือนต่อไปในสถานี TN12 แต่ในภาพรวมพบว่าในเดือนพฤษภาคมมีความเข้มข้นของในไตรเงนละลายน้ำสูงกว่าในเดือนธันวาคม และมีความผันแปรตามพื้นที่ไม่นักนัก เมื่อทดสอบทางสถิติพบว่าไม่มีความแตกต่างของในไตรเงนละลายน้ำในช่วงฤดูน้ำหลาก

#### 4.2.6 ออร์โธฟอสเฟต-ฟอสฟอรัส

ครั้งที่ 1 (16 พฤษภาคม 2552) ออร์โธฟอสเฟต-ฟอสฟอรัสมีค่าอยู่ระหว่าง 0.64-6.43 ไมโครโมลาร์ โดยที่ระดับผิวน้ำและระดับน้ำหนึ่งอีกเดือนต่อไปมีค่าอยู่ในช่วง 1.77-6.43 และ 0.64-6.11 ไมโครโมลาร์ และมีค่าเฉลี่ยเท่ากับ  $3.79 \pm 1.79$  และ  $2.64 \pm 1.59$  ไมโครโมลาร์ ตามลำดับ ในครั้งนี้ตรวจพบออร์โธฟอสเฟต-ฟอสฟอรัสสูงสุดที่ระดับผิวน้ำในสถานี TN1 และต่ำสุดที่ระดับน้ำหนึ่งอีกเดือนต่อไปในสถานี TN30 โดยออร์โธฟอสเฟต-ฟอสฟอรัสมีสูงในลำน้ำ เนื่องจากการใช้ประโยชน์ของชุมชนตลอดแนวลำน้ำท่าจีน โดยเฉพาะสารซักล้างที่เป็นแหล่งของฟอสฟอรัส และพบว่ามีแนวโน้มลดลงในพื้นที่ตอนนอกของปากแม่น้ำ

ครั้งที่ 2 (1 ธันวาคม 2552) ออร์โธฟอสเฟต-ฟอสฟอรัส มีค่าอยู่ระหว่าง 0.64-3.22 ไมโครโมลาร์ โดยที่ระดับผิวน้ำและระดับน้ำหนึ่งอีกเดือนต่อไปมีค่าอยู่ในช่วง 0.80-2.41 และ 0.64-3.22 ไมโครโมลาร์ และมีค่าเฉลี่ยเท่ากับ  $1.57 \pm 0.69$  และ  $1.65 \pm 1.10$  ไมโครโม

ลาร์ ตามลำดับ โดยตรวจพบค่าสูงสุดและต่ำสุดที่ระดับน้ำหนึ่งอิฐวัดน้ำตกอนในสถานี TN2 และ TN30 ตามลำดับ ในครั้งนี้แต่ละสถานีไม่มีความผันแปรมากนัก



ภาพที่ 30 การแพร่กระจายของอร์โธฟอสเฟต-ฟอสฟอรัสในช่วงกลางฤดูน้ำแห้งปี 2552  
 ครั้งที่ 1 (0 วัน) เดือนพฤษภาคม 2552 (a-b) ครั้งที่ 2 (14 วัน) ต้นเดือนธันวาคม 2552  
 (c-d) และ ครั้งที่ 3 (28 วัน) กลางเดือนธันวาคม 2552 (e-f)

ครั้งที่ 3 (15 ธันวาคม 2552) ออร์โธฟอสเฟต-ฟอสฟอรัสมีค่าอยู่ระหว่าง 0.80-7.56 ไมโครโมลาร์ โดยที่ระดับผิวน้ำและที่ระดับน้ำ 2 เมตร มีค่าอยู่ในช่วง 0.80-7.56 และ 1.13-6.43 ไมโครโมลาร์ และมีค่าเฉลี่ยเท่ากับ  $2.83 \pm 2.12$  และ  $2.23 \pm 1.68$  ไมโครโมลาร์ ตามลำดับ ในครั้งนี้ตรวจพบออร์โธฟอสเฟต-ฟอสฟอรัสสูงสุดที่ระดับผิวน้ำในสถานี TN2 และต่ำสุดใน

สถานี TN12 โดยออร์โธฟอสเฟต-ฟอสฟอรัสมีความเข้มข้นสูงในสถานีตอนในและมีแนวโน้มลดลงในสถานีตอนนอก

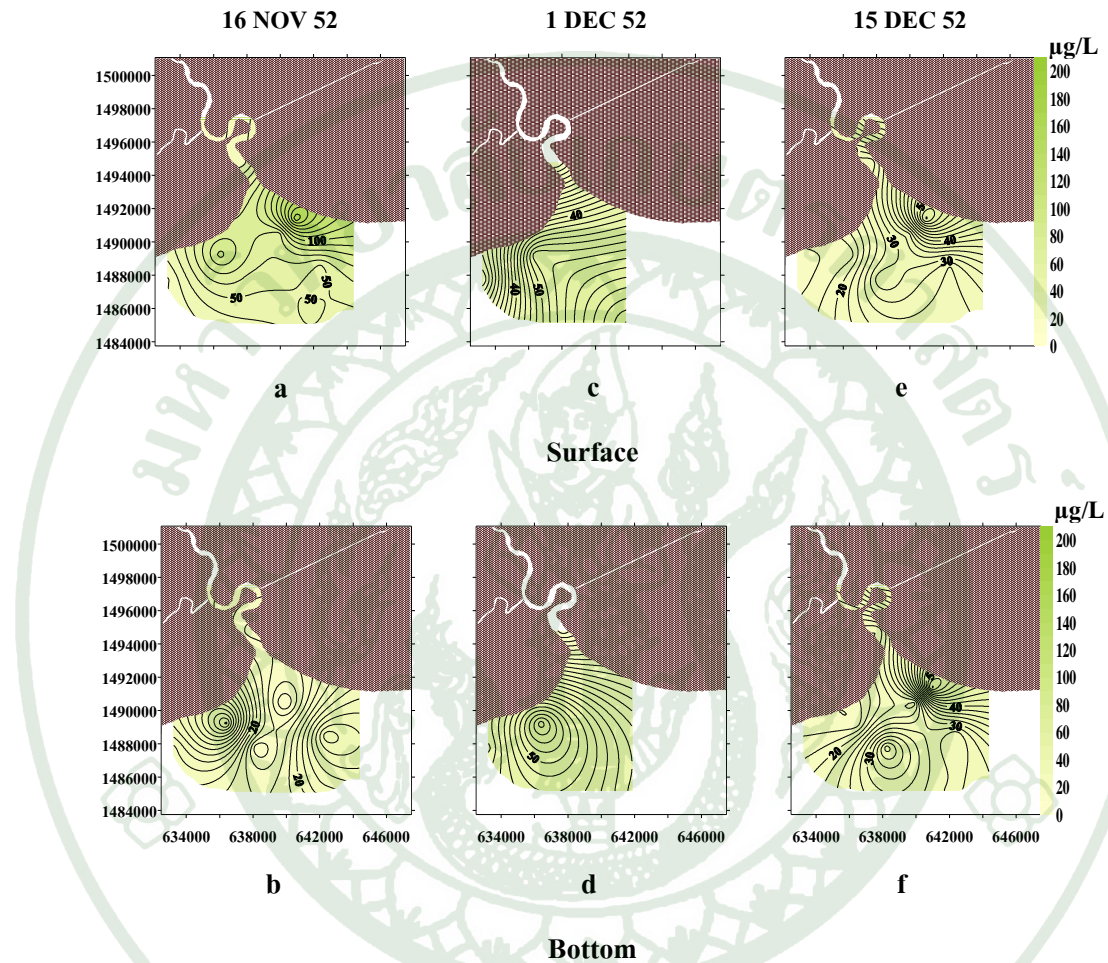
จากการศึกษาในช่วงฤดูน้ำหลาก (พฤษจิกายน-ธันวาคม 2552) พบว่าปริมาณออร์โธฟอสเฟต-ฟอสฟอรัสผันแปรอยู่ในช่วง 0.64-7.56 ไมโครโมลาร์ โดยมีความเข้มข้นสูงในช่วงกลางเดือนธันวาคม และต่ำสุดในช่วงต้นเดือนธันวาคมมีออร์โธฟอสเฟต-ฟอสฟอรัส จาก 3 ครั้งในการศึกษาช่วงกลางฤดูน้ำหลาก เมื่อเปรียบเทียบในเชิงพื้นที่ออร์โธฟอสเฟต-ฟอสฟอรัสมีค่าสูงสุดในสถานี TN2 และลดลงในสถานีตอนนอกของปากแม่น้ำ และมีแนวโน้มลดลงตามระดับความลึก ซึ่งความผันแปรในเชิงพื้นที่ดังกล่าวเนื่องมาจากการผสมผasanของน้ำทะเลที่ทำให้เกิดการเจืองของ ออร์โธฟอสเฟต-ฟอสฟอรัส นอกจากนี้จะมีผลมาจากการใช้ของแพลงก์ตอนพืชในพื้นที่ด้วย

#### 4.2.7 คลอโรฟิลล์ เอ

ครั้งที่ 1 (16 พฤศจิกายน 2552) คลอโรฟิลล์ เอ มีค่าอยู่ระหว่าง 7.63-166.88 ไมโครกรัมต่อลิตร โดยที่ระดับผิวน้ำและระดับน้ำหนึ่งมีผิวดินตะกอนมีค่าอยู่ในช่วง 18.69-166.88 และ 7.63-42.72 ไมโครกรัมต่อลิตร และมีค่าเฉลี่ยเท่ากับ  $65.10 \pm 45.28$  และ  $21.69 \pm 11.33$  ไมโครกรัมต่อลิตร ตามลำดับ โดยที่ระดับผิวน้ำในสถานี TN4 พบการสารร่องของแพลงก์ตอนพืชชนิด *Ceratium furca* ซึ่งตรวจพบค่าคลอโรฟิลล์ เอ สูงสุดในสถานีนี้ถึง 166.88 ไมโครกรัมต่อลิตร และพบค่าคลอโรฟิลล์ เอ ต่ำสุดที่ระดับน้ำหนึ่งมีผิวดินตะกอน ในสถานี TN5 จากภาพที่ 31 a-b แสดงให้เห็นว่าคลอโรฟิลล์ เอ ที่ระดับผิวน้ำมีปริมาณสูงกว่าที่ระดับน้ำหนึ่งมีผิวดินตะกอนอย่างชัดเจน และมีความผันแปรในแต่ละสถานีมาก โดยมีค่าสูงเด่นชัดในฝั่งตะวันออกและฝั่งตะวันตก

ครั้งที่ 2 (1 ธันวาคม 2552) คลอโรฟิลล์ เอ มีค่าอยู่ระหว่าง 10.68-68.09 ไมโครกรัมต่อลิตร โดยที่ระดับผิวน้ำและระดับน้ำหนึ่งมีผิวดินตะกอนมีค่าอยู่ในช่วง 16.02-68.09 และ 10.68-59.12 ไมโครกรัมต่อลิตร และมีค่าเฉลี่ยเท่ากับ  $39.38 \pm 25.44$  และ  $36.14 \pm 19.83$  ไมโครกรัมต่อลิตร ตามลำดับ โดยที่ผิวน้ำในสถานี TN26 พบว่ามีคลอโรฟิลล์ เอ สูงสุดในครั้งนี้ และต่ำสุดที่ระดับน้ำหนึ่งมีผิวดินตะกอนในสถานี TN2 เนื่องจากสถานีดังกล่าวมีตะกอนแbewn อยู่สูง เป็นอุปสรรคในการสัมเคราะห์ด้วยแสงและการเพิ่มจำนวนของแพลงก์ตอนพืช โดยเฉพาะอย่าง

ยิ่งในระดับน้ำมีลักษณะไป ในสถานีด้านนอกของปากแม่น้ำจึงมีแนวโน้มในการเพิ่มจำนวนของแพลงก์ตอนมากกว่า



ภาพที่ 31 การแพร่กระจายของคลอโรฟิลล์ เอ (ไมโครกรัมต่อลิตร) ในช่วงกลางฤดูน้ำหลากปี 2552 ครั้งที่ 1 เดือนพฤษภาคม 2552 (a-b) ครั้งที่ 2 เดือนธันวาคม 2552 (c-d) ครั้งที่ 3 กลางเดือนธันวาคม 2552 (e-f)

ครั้งที่ 3 (15 ธันวาคม 2552) คลอโรฟิลล์ เอ มีค่าอยู่ระหว่าง 14.18-56.60 ไมโครกรัมต่อลิตร โดยที่ระดับผิวน้ำและที่ระดับน้ำ 2 เมตร มีค่าอยู่ในช่วง 15.13-56.60 และ 14.18-41.39 ไมโครกรัมต่อลิตร และมีค่าเฉลี่ยเท่ากับ  $31.54 \pm 12.78$  และ  $27.09 \pm 10.64$  ไมโครกรัมต่อลิตร ตามลำดับ ซึ่งที่ระดับผิวน้ำในสถานี TN4 ตรวจพบค่าคลอโรฟิลล์ เอ สูงสุด และพบต่ำสุดที่ระดับน้ำหนึ่งเดือนก่อนต่อจากสถานี TN16 จากภาพที่ 31 e แสดงให้เห็นว่าที่ระดับผิวน้ำพื้นที่ฝั่ง

ตะวันออกมีปริมาณคลอโรฟิลล์ เอ สูงกว่าในบริเวณอื่น ส่วนในระดับน้ำหนึ่งเดือนผิวดินตะกอนจะมีปริมาณสูงบริเวณตอนกลาง และพื้นที่ฝั่งตะวันออก เช่นเดียวกับที่ผิวน้ำ

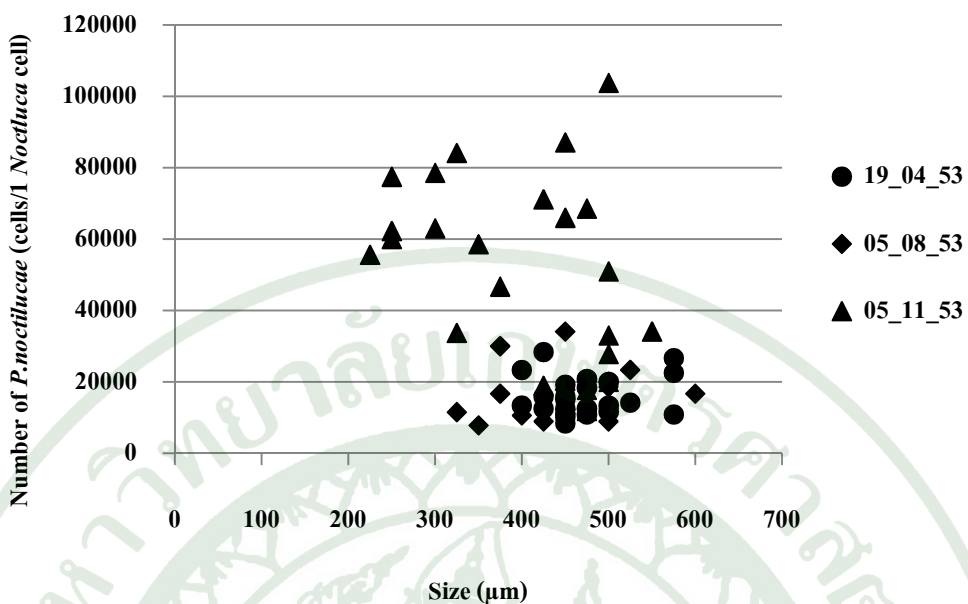
จากการศึกษาในช่วงกลางฤดูน้ำหลากรปี 2552 พบว่าปริมาณคลอโรฟิลล์ เอ มีค่าอยู่ระหว่าง 7.63-166.88 ไมโครกรัมต่อลิตร ในมีค่าสูงสุดและต่ำสุดอยู่ในเดือนพฤษภาคม บริเวณสถานี TN4 ที่ระดับผิวน้ำ และสถานี TN5 ที่ระดับพื้นท้องน้ำหนึ่งเดือนผิวดินตะกอน ตามลำดับ โดยในสถานี TN4 นั้นมีปริมาณคลอโรฟิลล์ เอ สูง อันเนื่องมาจากการสะพรั่งของ *Ceratium furca* ซึ่งมักเกิดขึ้นในบริเวณตอนในของปากแม่น้ำ เช่นเดียวกับการศึกษาของ วริชาและคณะ (2551) ส่วนระดับความลึกในช่วงกลางฤดูน้ำหลากรสั่งผลต่อปริมาณคลอโรฟิลล์ เอ โดยพบว่าที่ระดับผิวน้ำ มีปริมาณคลอโรฟิลล์ เอ สูงกว่าระดับน้ำที่อยู่ลึกลงไป ในภาพรวมการแพร่กระจายของคลอโรฟิลล์ เอ ในช่วงกลางฤดูน้ำหลากรพบว่าจะมีค่าสูงในพื้นที่ฝั่งตะวันออกและฝั่งตะวันตก โดย *Ceratium furca* น่าจะเป็นแพลงก์ตอนชนิดหลักในพื้นที่ฝั่งตะวันออก ส่วนฝั่งตะวันตกนั้นแพลงก์ตอนพีชชนิด *N. scintillans* น่าจะเป็นชนิดที่มีบทบาทสำคัญในการเพิ่มขึ้นของคลอโรฟิลล์ เอ ในพื้นที่

## 5. ระดับคลอโรฟิลล์ เอ ของ *Noctiluca scintillans*

### 5.1 จำนวน *Pedinomonas noctilucae* ภายในเซลล์ *Noctiluca scintillans*

จำนวน *P. noctilucae* ภายในเซลล์ *N. scintillans* จากตัวอย่างเซลล์ในเดือนเมษายน สิงหาคม และพฤษภาคม 2553 พบว่ามีจำนวน *P. noctilucae* พันແປร้อยระหว่าง 7,778-103,704 เซลล์ต่อ *Noctiluca* 1 เซลล์ ซึ่งตัวอย่างเซลล์ *N. scintillans* ผันແປร้อยในช่วง 225-600 ไมโครเมตร ซึ่งพบความสัมพันธ์แบบแปรผกผันระหว่างจำนวน *P. noctilucae* กับขนาดเซลล์ของ *N. scintillans* อย่างมีนัยสำคัญยิ่งทางสถิติ ( $r = -0.415$ ,  $P < 0.01$ )

เมื่อทำการทดสอบทางสถิติด้วย One-way ANOVA พบว่า จำนวนของ *P. noctilucae* จากตัวอย่างเซลล์ในเดือนพฤษภาคมมีความแตกต่างกับเดือนเมษายน และเดือนสิงหาคมอย่างมีนัยสำคัญยิ่งทางสถิติ ที่ระดับความเชื่อมั่นร้อยละ 99 ( $P < 0.01$ ) โดยจำนวนของ *P. noctilucae* จากตัวอย่างเซลล์ในเดือนเมษายน สิงหาคม และพฤษภาคม 2553 อยู่ในช่วง 8,333-28,333 7,778-34,074 และ 11,852-103,704 เซลล์ต่อเซลล์ *Noctiluca* 1 เซลล์ ซึ่งมีค่าเฉลี่ยเท่ากับ  $15,942 \pm 5,501$   $16,909 \pm 8,142$  และ  $50,348 \pm 26,436$  เซลล์ต่อเซลล์ *Noctiluca* 1 เซลล์ ตามลำดับ



ภาพที่ 32 Plots ระหว่างขนาดเซลล์ของ *Noctiluca scintillans* (ในไมโครเมตร;  $\mu\text{m}$ ) และจำนวน *Pedinomonas noctilucae* ที่พบในแต่ละเซลล์ของ *Noctiluca* 1 เซลล์ (Cells/ 1 *Noctiluca* cell)

จากการศึกษาในครั้งนี้แสดงให้เห็นว่าจำนวนเซลล์ *P. noctilucae* ในเซลล์ *N. scintillans* มีความผันแปรสูง โดยเฉพาะในเซลล์ที่มีขนาดใหญ่ 300 ไมโครเมตรขึ้นไป และในเซลล์ขนาดเล็กมีแนวโน้มที่จะมีจำนวนเซลล์ *P. noctilucae* มากกว่าเซลล์ที่มีขนาดใหญ่กว่า และเมื่อเปรียบเทียบกับรายงานการศึกษา ของ Okaichi *et al.* (1991) และ กิตติพร (2530) จากตัวอย่างเซลล์บริเวณปากแม่น้ำเจ้าพระยา จังหวัดสมุทรปราการ พบร่วมกับจำนวน *P. noctilucae* อยู่ระหว่าง 6,000-10,000 และ 2,094-7,890 เซลล์ ตามลำดับ ส่วนในอ่าวไทยฝั่งตะวันออกบริเวณอ่างศิลาพบว่า จำนวน *P. noctilucae* อยู่ระหว่าง 1,670-30,400 เซลล์ (Sriwoon *et al.*, 2008) และ 4,500-7,500 เซลล์ (ไทยดาวร และคณะ, 2548)

## 5.2 ระดับคลอโรฟิลล์ เอ ของ *Pedinomonas noctilucae*

คลอโรฟิลล์ เอ ของ *P. noctilucae* จากตัวอย่างเซลล์ในเดือนสิงหาคมและพฤษจิกายน 2553 มีค่าผันแปรอยู่ระหว่าง  $0.10 \times 10^{-15}$ - $6.32 \times 10^{-15}$  นาโนกรัมกรัมต่อเซลล์ โดยมีค่าเฉลี่ยเท่ากับ  $2.60 \times 10^{-15} \pm 1.35 \times 10^{-15}$  นาโนกรัมต่อเซลล์ ซึ่งเมื่อวิเคราะห์ความแตกต่างของตัวอย่างเซลล์จากเดือน

สิงหาคมและพฤษจิกายนด้วยสถิติ T-test พบร่วมกับความแตกต่างระหว่างระดับคลอโรฟิลล์ เอ ของ *P. noctilucae* ในเดือนทั้งสอง

### 5.3 ระดับคลอโรฟิลล์ เอ ของ *Noctiluca scintillans*

ปริมาณคลอโรฟิลล์ เอ ของ *N. scintillans* จากตัวอย่างเซลล์ในเดือนเมษายน สิงหาคม และพฤษจิกายน 2553 ด้วยวิธี Fluorometric method พบร่วมกับค่าผันแปรอยู่ระหว่าง 3.42-9.37 นาโนกรัมต่อเซลล์ และมีค่าเฉลี่ยเท่ากับ  $5.99 \pm 1.56$  นาโนกรัมต่อเซลล์ โดยเซลล์ขนาดเล็ก ( $<300$  ไมโครเมตร) และเซลล์ขนาดใหญ่ ( $\geq 300$  ไมโครเมตร) มีปริมาณคลอโรฟิลล์ เอ อยู่ในช่วง 3.42-5.57 และ 3.83-9.37 นาโนกรัมต่อเซลล์ ซึ่งมีค่าเฉลี่ยเท่ากับ  $4.62 \pm 0.72$  และ  $6.25 \pm 1.47$  นาโนกรัมต่อเซลล์ จากผลการศึกษาแสดงให้เห็นว่าเซลล์ขนาดใหญ่ ( $\geq 300$  ไมโครเมตร) มีปริมาณคลอโรฟิลล์ เอ มากกว่า เซลล์ขนาดเล็ก ( $<300$  ไมโครเมตร) ประมาณ 1.65 นาโนกรัมต่อเซลล์

ผลการวิเคราะห์ระดับคลอโรฟิลล์ เอ จากเซลล์ของ *N. scintillans* และจากเซลล์ *P. noctilucae* ที่มีชีวิตอยู่ภายในเซลล์ของ *N. scintillans* นั้น ทำให้ทราบว่าภายในเซลล์ *N. scintillans* ยังมีคลอโรฟิลล์ เอ ที่มาจากการย่อยอื่นที่นอกเหนือจากเซลล์ *P. noctilucae* ซึ่งน่าจะเป็นคลอโรฟิลล์ เอ ของเพลงก์ตอนที่เป็นอาหารของ *N. scintillans* โดยพบอยู่ภายใน food vacuole

## 6. บทบาทของ *Noctiluca scintillans* ต่อการใช้ชาต้อาหารในพื้นที่ปากแม่น้ำท่าเจิน

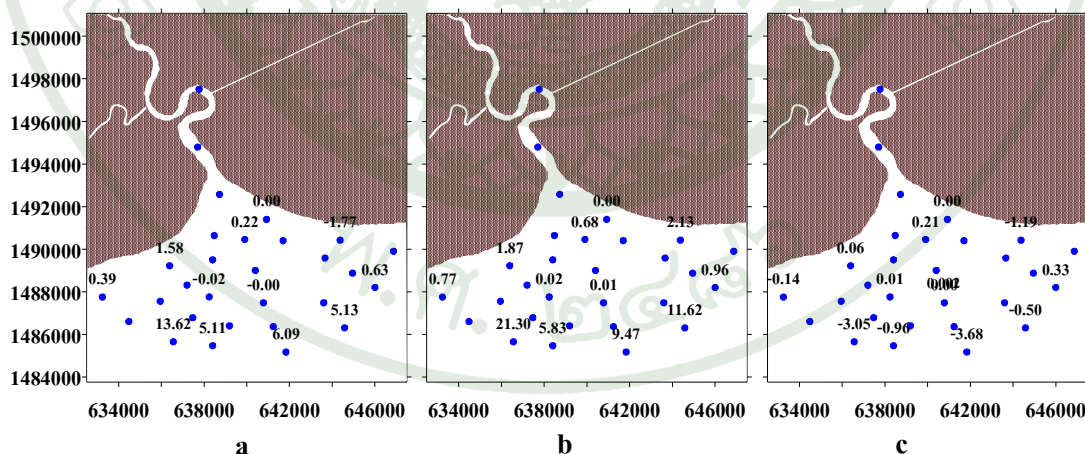
ชาต้อาหารที่เข้าสู่พื้นที่ปากแม่น้ำนั้น โดยส่วนใหญ่จะมีการสะสมตัวในบริเวณลำนำดอน ล่างสุดที่เป็นจุดเชื่อมต่อระหว่างระบบนิเวศแม่น้ำและปากแม่น้ำ อีกทั้งในบริเวณนี้ยังเป็นแหล่งของชุมชนและอุตสาหกรรมจำนวนมาก จึงส่งผลให้มีระดับของชาต้อาหารที่สูงกว่าในลำนำดอนบน รวมถึงพื้นปากแม่น้ำด้วย ซึ่งเมื่อชาต้อาหารเข้าสู่ปากแม่น้ำแล้วจะมีกระบวนการต่าง ๆ ส่งผลทำให้ระดับชาต้อาหารมีการเปลี่ยนแปลง อาทิ กระบวนการทางเคมี การนำไปใช้และเปลี่ยนรูปโดยสิ่งมีชีวิต และการผสมผสานโดยน้ำทะเล เป็นต้น

โดยในการศึกษารังนี้ได้ให้ความสำคัญกับกระบวนการการการนำไปใช้และ/หรือเปลี่ยนรูป โดยสิ่งมีชีวิต ซึ่งถือเป็นกระบวนการที่มีบทบาทต่อการเปลี่ยนแปลงระดับชาต้อาหารในพื้นที่อย่างมาก เนื่องจากรายงานการศึกษาที่ผ่านรวมถึงการศึกษาในครั้งนี้พบการเกิดปรากฏการณ์น้ำทะเลเปลี่ยนสี

โดยแพลงก์ตอนพืชบ่อขึ้น นั่นแสดงถึงจำนวนของแพลงก์ตอนพืชที่มีจำนวนมาก ซึ่งย่อมจะส่งผลต่อการเปลี่ยนแปลงของระดับชาต้อาหารในพื้นที่ โดยในครั้งนี้ได้มุ่งประเด็นไปยังแพลงก์ตอนพืชที่เป็นชนิดหลักของการเกิดปรากฏการณ์น้ำทะเลขเปลี่ยนสีในพื้นที่นี้ ซึ่งได้แก่ *N. scintillans* โดยทำการประเมินโอกาสการนำไปใช้โดย *N. scintillans* ซึ่งจะทำการประเมินเฉพาะที่ระดับผิวน้ำเท่านั้นเนื่องจากเป็นระดับน้ำที่พบรอบชาวบ้าน *N. scintillans* อย่างหนาแน่น จึงเป็นพื้นที่ที่มีโอกาสการนำชาต้อาหารไปใช้โดย *N. scintillans* สูงที่สุด ตามคุณภาพซึ่งมีรายละเอียดดังต่อไปนี้

#### กุฎแล้ง (เมษายน 2553)

อัตราการผสมพันธุ์โดยน้ำทะเล ณ เวลาที่ศึกษาในปีกแม่น้ำท่าจีนช่วงกุฎแล้ง พบร่วมกับอัตราการเจือจางโดยน้ำทะเลอยู่ระหว่าง 0.20-4.08 เท่า โดยมีอัตราการผสมพันธุ์สูงในพื้นที่ตอนนอกซึ่งส่งผลให้ความเข้มข้นของชาต้อาหารลดลงตามอัตราการผสมพันธุ์ดังกล่าว โดยชาต้อาหารที่ลดลงจากการผสมพันธุ์กับน้ำทะเลนั้นถือว่าเป็นระดับชาต้อาหารจากลำน้ำท่าจีนที่เข้ามา ณ สถานีศึกษา โดยพบว่ามีความเข้มข้นของชาต้อาหารในโตรเจนละลายน้ำ ออร์โซฟอสเฟต-ฟอสฟอรัส และซิลิกेट-ซิลิคอน ผันแปรอยู่ในช่วง 17.26-89.59 3.95-15.02 34.88-80.22 ไมโครโนลาร์ ตามลำดับ



ภาพที่ 33 โอกาสการใช้ชาต้อาหารอาหาร (ร้อยละของระดับชาต้อาหารที่เข้ามา ณ สถานีศึกษา) ในโตรเจนละลายน้ำ (a) ออร์โซฟอสเฟต-ฟอสฟอรัส (b) ซิลิกेट ซิลิคอน (c)) ของประชากร *N. scintillans* ในช่วงกุฎแล้ง 2553

เมื่อพิจารณาถึงโอกาสการนำชาตุอาหารไปใช้โดย *N. scintillans* พบโอกาสการนำชาตุอาหารในโตรเจนละลายน้ำ ออร์โซฟอสเฟต-ฟอสฟอรัส และซิลิกेट-ซิลิคอนไปใช้ร้อยละ 0.22-13.62 0.01-21.30 และ 0.002-0.33 ตามลำดับ (ภาพที่ 33) ซึ่งมีแนวโน้มการนำไปใช้สูงในพื้นที่ตอนนอกเช่นเดียวกับแพลงก์ตอนพืชโดยรวม โดยเฉพาะในสถานี TN27 มีโอกาสการนำชาตุอาหารในโตรเจนละลายน้ำ ออร์โซฟอสเฟต-ฟอสฟอรัสไปใช้สูงสุดถึงร้อยละ 13.62 และ 21.30 ทั้งนี้เนื่องจากในสถานีดังกล่าวมีประชากรของ *N. scintillans* หนาแน่นสูงมาก (72,333 เซลล์ต่อลิตร) โดยพื้นที่ตอนนอกพบว่ามีโอกาสการนำไปใช้สูงสุด

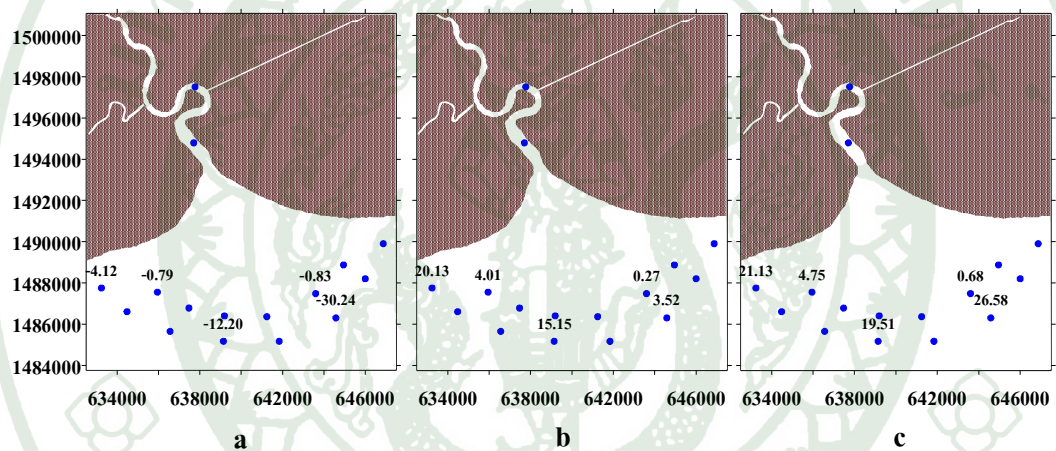
สำหรับในบางสถานีบริเวณฝั่งตะวันออกและตอนกลางของปากแม่น้ำน้ำน้ำ ไม่พบการเปลี่ยนแปลงของระดับชาตุอาหารในโตรเจนละลายน้ำซึ่งการเปลี่ยนแปลงดังกล่าวจะแสดงถึงโอกาสการนำไปใช้โดย *N. scintillans* นอกจากนี้ยังไม่พบการเปลี่ยนแปลงของระดับซิลิกेट-ซิลิคอน เช่นเดียวกันในพื้นที่ตอนนอกของปากแม่น้ำ จากการประเมินในครั้งนี้ ซึ่งเป็นไปได้ว่าในสถานีดังกล่าวได้รับชาตุอาหารในโตรเจนละลายน้ำ และซิลิกेट-ซิลิคอนเข้ามาจากแหล่งอื่นนอกเหนือจากลำน้ำตอนบน และเมื่อพิจารณาจากที่ตั้งของสถานีพบว่าอยู่ใกล้กับคลองซึ่งเชื่อมต่อกับพื้นที่เพาะปลูกจำนวนมาก ซึ่งเป็นแหล่งของชาตุอาหารอีกแหล่งหนึ่งที่เข้าสู่ปากแม่น้ำท่าจีน และเมื่อเปรียบเทียบโอกาสการใช้ของชาตุอาหารทั้งหมดโดย *N. scintillans* ในช่วงฤดูแล้ง พบว่า ออร์โซฟอสเฟต-ฟอสฟอรัส มีโอกาสการนำไปใช้มากที่สุดโดย *N. scintillans* เมื่อเปรียบเทียบกับปริมาณที่เข้ามาในสถานีศึกษา

ต้นฤดูน้ำหลาภ (สิงหาคม 2553)

อัตราการผสมผสานกับน้ำทะเล ณ เวลาที่ศึกษาในปากแม่น้ำท่าจีนช่วงต้นฤดูน้ำหลาภพบว่ามีอัตราการผสมผสานกับน้ำทะเลอยู่ระหว่าง 0.04-5.81 เท่า โดยอัตราผสมผสานดังกล่าวเมื่อนำมาประเมินความเข้มข้นของชาตุอาหารที่ลดลงจากการกระบวนการผสมผสานกับน้ำทะเลเพียงอย่างเดียวแล้ว พบว่า ชาตุอาหารในโตรเจนละลายน้ำ ออร์โซฟอสเฟต-ฟอสฟอรัส และซิลิกेट-ซิลิคอนจากลำน้ำท่าจีนมีการเข้ามา ณ สถานีศึกษาผันแปรอยู่ในช่วง 12.35-75.36 3.74-16.76 36.64-104.23 ไมโครโมลาร์ ตามลำดับ

ในครั้งนี้เราใช้สถานีศึกษาในตอนนอกของปากแม่น้ำเป็นตัวแทนในการประเมินเท่านั้น เนื่องจากในช่วงเวลาการเก็บตัวอย่างเกิดพายุฤดูร้อนทำให้ไม่สามารถเก็บตัวอย่างในสถานี

ตอนกลางของปากแม่น้ำได้ และเมื่อพิจารณาโอกาสการนำชาต้อาหารไปใช้โดยประชากร *N. scintillans* แล้วไม่พบว่ามีโอกาสการนำชาต้อาหารในโตรเจนละลายน้ำไปใช้โดยประชากร *N. scintillans* ในช่วงต้นฤดูน้ำหลากนี้ เนื่องจากในทุกสถานีที่เป็นตัวแทนในครั้งนี้ได้รับชาต้อาหารในโตรเจนละลายน้ำเข้ามาจากการแหล่งอื่นที่นอกจำกัดอนบน ทำให้ไม่สามารถประเมินโอกาสการนำชาต้อาหารในโตรเจนละลายน้ำที่แท้จริงได้ ส่วนชาต้อาหารออร์โซฟอสเฟต-ฟอสฟอรัส และซิลิกेट-ซิลิคอน พบร่วมกันในน้ำที่ตื้นที่สุดและลึกที่สุด คือ 0.27-20.13 และ 0.68-26.58 ตามลำดับ (ภาพที่ 34) ซึ่งมีแนวโน้มการนำออร์โซฟอสเฟต-ฟอสฟอรัสไปใช้สูงในพื้นที่ตื้นและลึกที่สุดในสถานี TN30 ส่วนซิลิกेट-ซิลิคอนมีแนวโน้มการนำไปใช้มากในแนวต้นนอกสุดของปากแม่น้ำโดยเฉพาะสถานี TN25



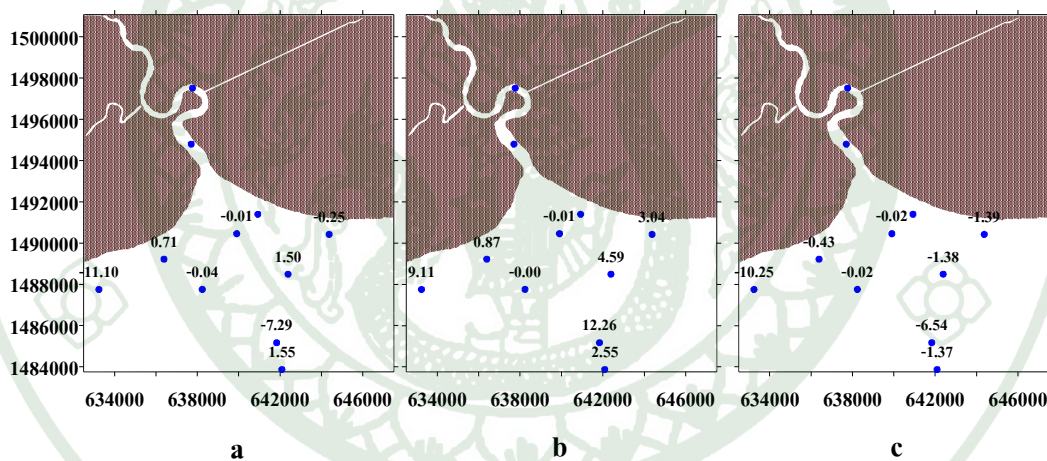
ภาพที่ 34 โอกาสการใช้ชาต้อาหาร อาหาร (ร้อยละของระดับชาต้อาหารที่เข้ามา ณ สถานีศึกษา) (ในโตรเจนละลายน้ำ (a), ออร์โซฟอสเฟต-ฟอสฟอรัส (b) ซิลิกेट-ซิลิคอน (c)) ของประชากร *N. scintillans* ในช่วงต้นฤดูน้ำหลาก 2553

เมื่อเปรียบเทียบโอกาสการนำชาต้อาหารไปใช้โดยประชากร *N. scintillans* ในช่วงต้นฤดูน้ำหลากนี้ พบร่วมกันในน้ำที่ตื้นและลึกที่สุด คือ 0.27-20.13 และ 0.68-26.58 ตามลำดับ (ภาพที่ 34) ซึ่งมีแนวโน้มการนำไปใช้สูงในพื้นที่ตื้นและลึกที่สุดในสถานี TN30 ส่วนซิลิกेट-ซิลิคอนมีแนวโน้มการนำไปใช้มากในแนวต้นนอกสุดของปากแม่น้ำโดยเฉพาะสถานี TN25

ส่งผลให้ความเข้มข้นของไนโตรเจนและลามน้ำไม่มีการเปลี่ยนแปลงจากการนำไปใช้อ่างเทียนได้ชัดเจนนั่นเอง

### คลังกุญแจหลัก (พฤษจิกายน 2552)

อัตราการผสมผสานกับน้ำทะเล ณ เวลาที่ศึกษาในภาคแม่น้ำท่าจีนช่วงคลังกุญแจหลัก พบว่ามีอัตราการผสมผสานกับน้ำทะเลอยู่ระหว่าง 0.28-1.66 เท่า โดยมีอัตราการผสมผสานกับสูง ในพื้นที่ตอนนอกชั้นเดียวกันทุกคุณภาพ และจากการประเมินระดับชาต้อาหารที่ลดลงจากกระบวนการผสมผสานโดยน้ำทะเลนั้น พบว่ามีความเข้มข้นของชาต้อาหารในโตรเจนและลามน้ำ ออร์โฟอสเฟต-ฟอสฟอรัส และซิลิกेट-ซิลิคอน จากลำน้ำท่าจีนที่เข้ามา ณ สถานีศึกษาผันแปรอยู่ ในช่วง 25.19-70.56 3.19-6.43 51.57-102.45 ไมโครโมลาร์ ตามลำดับ



ภาพที่ 35 โอกาสการใช้ชาต้อาหาร (ร้อยละของระดับชาต้อาหารที่เข้ามา ณ สถานีศึกษา) (ในโตรเจนและลามน้ำ (a) ออร์โฟอสเฟต-ฟอสฟอรัส (b) ซิลิกेट-ซิลิคอน (c)) ของประชากร *N. scintillans* ในช่วงคลังกุญแจหลัก 2552

เมื่อพิจารณาโอกาสการนำชาต้อาหารไปใช้โดยประชากร *N. scintillans* ในช่วงคลังกุญแจหลัก พบโอกาสการนำชาต้อาหารในโตรเจนและลามน้ำไปใช้โดยประชากร *N. scintillans* ร้อยละ 0.71-1.55 ของระดับชาต้อาหารที่เข้ามา ณ สถานีศึกษา ซึ่งพบโอกาสการใช้สูงสุดในสถานีนอกสุด และเมื่อเปรียบเทียบกับโอกาสการนำไปใช้โดยแพลงก์ตอนพืชทั้งหมดแล้วพบว่าในสถานี TN10

น่าจะมีโอกาสที่พบแพลงก์ตอนชนิดอื่น ๆ สูงด้วย เนื่องจากสถานีดังกล่าวมีการใช้ชาตุอาหาร ในโตรเจนละลายน้ำสูงกว่าสถานีอื่น ๆ สำหรับชาตุอาหารออร์โซฟอสเฟต-ฟอสฟอรัส พบว่ามีโอกาสการนำไปใช้ร้อยละ 0.87-12.26 ซึ่งมีแนวโน้มการนำออร์โซฟอสเฟต-ฟอสฟอรัสไปใช้สูงในพื้นที่ตอนนอก ส่วนชิลิกेट-ชิลิคอนไม่พบการเปลี่ยนแปลงของระดับชาตุอาหารในครั้งนี้

เมื่อเปรียบเทียบโอกาสการนำชาตุอาหารไปใช้โดยประชากร *N.scintillans* ในช่วงกลางฤดูน้ำหลากร้อน พบว่าออร์โซฟอสเฟต-ฟอสฟอรัสมีแนวโน้มการนำไปใช้สูงกว่าชาตุอาหารอื่น ๆ ในช่วงเวลาเดียวกัน ซึ่งในครั้งนี้พบการเข้ามาของชาตุอาหารทุกรูป อันได้แก่ ชิลิกेट-ชิลิคอน ในโตรเจนละลายน้ำ รวมถึงออร์โซฟอสเฟต-ฟอสฟอรัส และคงถึงปัจจัยของฤดูกาลที่มีผลอย่างยิ่ง โดยในฤดูกาลนี้มีการเติมของชาตุอาหารจากแหล่งอื่น ๆ โดยตลอด อีกทั้งปริมาณน้ำท่าที่มีมากจึงน่าจะมีส่วนอย่างมากในการนำชาตุอาหารเข้าสู่ระบบปากแม่น้ำแห่งนี้อย่างต่อเนื่อง

เมื่อพิจารณาโอกาสการใช้ชาตุอาหารของ *N. scintillans* ในแต่ละฤดูกาล ดังตารางที่ 7 พบว่ามีโอกาสการนำไปใช้มากที่สุดในช่วงฤดูแล้ง ในพื้นที่ตอนนอกของปากแม่น้ำ ทั้งชาตุอาหารในรูปของในโตรเจนละลายน้ำ และออร์โซฟอสเฟต-ฟอสฟอรัส ยกเว้น ชิลิกेट-ชิลิคอน ที่พบโอกาสการนำไปใช้มากที่สุดในช่วงกลางฤดูน้ำหลากร้อน น้ำที่เนื่องมาจากในช่วงฤดูแล้งบริเวณตอนนอกของปากแม่น้ำ พนความหนาแน่นของเซลล์ *N. scintillans* สูงที่สุดในการศึกษารั้งนี้ ซึ่งแสดงให้เห็นว่าประชากร *N. scintillans* ให้ความสำคัญกับชาตุอาหารในรูปของในโตรเจนละลายน้ำ และออร์โซฟอสเฟต-ฟอสฟอรัส โดยในฤดูกาลนี้พื้นที่ปากแม่น้ำท่าจีนได้รับอิทธิพลจากชาตุอาหารที่มาจากแหล่งอื่น ๆ น้อยกว่าในฤดูกาลอื่น การเปลี่ยนแปลงจากการใช้ชาตุอาหารจึงเห็นได้อย่างชัดเจน ซึ่งโอกาสการนำชาตุอาหารไปใช้โดย *N. scintillans* มีแนวโน้มผันแปรตามโอกาสการใช้โดยแพลงก์ตอนพืชทั้งหมด

ส่วนในช่วงต้นฤดูน้ำหลากร้อนมีโอกาสการนำออร์โซฟอสเฟต-ฟอสฟอรัสไปใช้สูงกว่าในช่วงกลางฤดูน้ำหลากร้อนการใช้ในโตรเจนละลายน้ำร่วมด้วย ซึ่งโดยทั่วไปแล้วการคัดซึ่งมีออร์โซฟอสเฟต-ฟอสฟอรัสไปใช้นั้นจะมีสัดส่วนคงที่ แต่ถ้าพบว่าในโตรเจนละลายน้ำ มีความเข้มข้น ต่ำอัตราการคัดซึ่งฟอสฟอรัสก็จะมีแนวโน้มสูงขึ้นได้ (Bourrelly, 1965) โดยในการศึกษารั้งนี้พบว่าระดับของในโตรเจนละลายน้ำในช่วงต้นฤดูน้ำหลากร้อน ( $\bar{X} = 24.70 \pm 19.79$ ) มีความเข้มข้นเฉลี่ยน้อยกว่าในช่วงกลางฤดูน้ำหลากร้อน ( $\bar{X} = 40.75 \pm 15.18$ ) ซึ่งน่าจะส่งผลให้โอกาสการนำออร์โซฟอสเฟต-ฟอสฟอรัสไปใช้มีแนวโน้มสูงขึ้นได้ในพื้นที่

ตารางที่ 7 โอกาสการใช้ชาตุอาหารของแพลงก์ตอนพืชทั้งหมดและการใช้ชาตุอาหารโดยประชากร *Noctiluca scintillans* ในแต่ละช่วงฤดูกาล (Input ( $\mu\text{M}$ ): ระดับของชาตุอาหารที่เข้ามาในสถานศึกษา (ไมโครโมลาร์);  $\text{Uptake}_{\text{Pl}} (\%)$ : โอกาสการใช้ชาตุอาหารของแพลงก์ตอนพืชทั้งหมด (ร้อยละ);  $\text{Uptake}_{\text{Noc}} (\%)$ : โอกาสการใช้ชาตุอาหารโดยประชากร *Noctiluca scintillans* (ร้อยละ))

Parameter	Low-loading period	Mid-loading period	High-loading period
	17.26-89.59	12.35-75.36	25.19-70.56
DIN	$\text{Uptake}_{\text{Pl}} (\%)$	8.10-79.04	-
	$\text{Uptake}_{\text{Noc}} (\%)$	0.22-13.62	-
P	$\text{Input} (\mu\text{M})$	3.95-15.02	3.74-16.76
	$\text{Uptake}_{\text{Pl}} (\%)$	33.16-98.52	11.69-94.79
Si	$\text{Uptake}_{\text{Noc}} (\%)$	0.01-21.30	0.27-20.13
	$\text{Input} (\mu\text{M})$	34.88-80.22	36.64-104.23
	$\text{Uptake}_{\text{Pl}} (\%)$	2.26-30.64	88.28-99.47
	$\text{Uptake}_{\text{Noc}} (\%)$	0.002-0.33	0.68-26.58

ในช่วงกลางต้นฤดูน้ำหลากไม่พบรการใช้ชาตุอาหารในไตรจ恩ละลายน้ำ อาจเนื่องมาจากมีการเข้ามาของชาตุอาหารในระบบ ทำให้ไม่เห็นการเปลี่ยนแปลงดังกล่าว แต่ในช่วงนี้พบว่าซิลิกेट-ซิลิคอน มีโอกาสการนำชาตุอาหารไปใช้สูงที่สุด แต่ในช่วงกลางฤดูน้ำหลาก กลับไม่พบรการเปลี่ยนแปลงของระดับชาตุอาหารซิลิกेट-ซิลิคอน เนื่องจากในช่วงกลางฤดูน้ำหลากได้รับอิทธิพลจากปริมาณน้ำท่าจากลำน้ำและแหล่งอื่น ๆ สูงมากกว่าฤดูกาลอื่น ๆ

การประเมินโอกาสการนำชาตุอาหารไปใช้โดย *N. scintillans* ในการศึกษารังนี้ไม่สอดคล้องกับระดับชาตุอาหารที่พบภายในเซลล์ของ *N. scintillans* จากรายงานการศึกษาที่ผ่านมา ชี้งบว่าปริมาณแอมโมเนียม-ในไตรจ恩มีปริมาณสูงกว่าอร์โซฟอสเฟต-ฟอสฟอรัส (Montani *et al.*, 1998) ทั้งนี้เนื่องจากพื้นที่ปากแม่น้ำท่าจีนได้รับชาตุอาหารจากแหล่งของชาตุอาหารที่นอกเหนือจากลำน้ำต่อนบนที่ทำการประเมินในการศึกษารังนี้ จึงทำให้ชาตุอาหารมีการเติมเข้ามาอย่างต่อเนื่อง ซึ่งส่งผลให้ไม่เห็นการเปลี่ยนแปลงของระดับชาตุอาหารได้ชัดเจน โดยเฉพาะอย่างยิ่ง

แอมโมเนียม-ไนโตรเจน ซึ่งให้เห็นว่าการประเมินในครั้งนี้มีข้อจำกัดจากอิทธิพลของชาตุอาหารที่เข้ามายากแผลงอื่น ๆ รวมถึงความหนาแน่นเซลล์ที่ต่างกันมีผลต่อการประเมินบทบาทในพื้นที่ปากแม่น้ำท่าจีนแห่งนี้ด้วย



## สรุปและข้อเสนอแนะ

### สรุป

การศึกษาการแพร่กระจายของเซลล์ *N. scintillans* ในพื้นที่ป่าแม่น้ำท่าจีนในเดือน พฤษภาคม 2552-2553 พบรความหนาแน่นอยู่ในช่วง 0-72,333 เซลล์ต่อลิตร โดยมีความหนาแน่นสูงในพื้นที่ตอนนอกของป่าแม่น้ำ ส่วนพื้นที่ป่าแม่น้ำด้านในไม่พบรการแพร่กระจายของเซลล์ *N. scintillans* แต่จากการสังเกตในช่วงฤดูแล้งนั้นพบว่าช่วงเวลานำเข้าสูญสุดนั้นสามารถพบเซลล์ *N. scintillans* ในสถานีตอนในของป่าแม่น้ำได้ นั้นแสดงถึงอิทธิพลของนำเข้า-ลง และกระแสนำมีบทบาทสำคัญอย่างมากในการแพร่กระจายของเซลล์ในพื้นที่ป่าแม่น้ำท่าจีน โดยในช่วงฤดูแล้งมีความหนาแน่นของเซลล์ *N. scintillans* สูงสุด รองลงมาคือในช่วงต้นฤดูน้ำหลาก และพบรความหนาแน่นต่ำในช่วงกลางฤดูน้ำหลาก ซึ่งในปี 2553 มีความหนาแน่นอยู่กว่าในปี 2552 พบรูปแบบการแพร่กระจายแตกต่างกันในแต่ละครั้งที่ศึกษา และมีโครงสร้างทางขนาดของเซลล์ *N. scintillans* ที่ขั้นผันแปรตั้งแต่ 100-925 ไมโครเมตร

ปัจจัยสิ่งแวดล้อมทางน้ำในพื้นที่ป่าแม่น้ำท่าจีน ได้แก่ อุณหภูมิ ความเค็ม ออกซิเจน ละลายน้ำ และความเป็นกรดเป็นด่าง ผันแปรอยู่ในช่วง 26.04-28.13 องศาเซลเซียส 0.32-29.00 psu 0.09-12.01 มิลลิกรัมต่อลิตร และ 6.71-8.88 ตามลำดับ โดยพบว่า ความหนาแน่นเซลล์ของ *N. scintillans* มีความสัมพันธ์ในทางเดียวกันกับ อุณหภูมิ ( $r=0.36$ ,  $P<0.01$ ) ออกซิเจนละลายน้ำ ( $r=0.23$ ,  $P<0.01$ ) และความเป็นกรดเป็นด่าง ( $r=0.47$ ,  $P<0.01$ ) และมีความสัมพันธ์แบบแปรผกผัน กับในไตรเจนละลายน้ำ ( $r=-0.28$ ,  $P<0.01$ ) และออร์โธฟอสเฟต-ฟอสฟอรัส ( $r=-0.23$ ,  $P<0.05$ ) นอกจากนี้ยังพบว่าออร์โธฟอสเฟต-ฟอสฟอรัสเป็นปัจจัยระดับที่ทำให้เกิดการเพิ่มจำนวนของเซลล์ขนาดเล็กในพื้นที่นี้ และในไตรเจนละลายน้ำส่งผลต่อการเพิ่มความหนาแน่นในพื้นที่ตอนนอก (ที่มีความเค็มในช่วง 25-29 psu)

จำนวน *P. noctilucae* ภายในเซลล์ *N. scintillans* ผันแปรอยู่ระหว่าง 7,778-103,704 เซลล์ต่อเซลล์ *Noctiluca* 1 เซลล์ และพบรความสัมพันธ์แบบแปรผกผันระหว่างจำนวน *P. noctilucae* กับขนาดเซลล์ของ *N. scintillans* อย่างมีนัยสำคัญยิ่งทางสถิติ ( $r = -0.415$ ,  $P<0.01$ ) ซึ่งมีระดับคลอโรฟิลล์ เอ ของ *P. noctilucae* ค่าผันแปรอยู่ระหว่าง  $0.10 \times 10^{-15}$ - $6.32 \times 10^{-15}$  นาโนกรัมต่อเซลล์

โดยมีค่าเฉลี่ยเท่ากับ  $2.60 \times 10^{-15} \pm 1.35 \times 10^{-15}$  นาโนกรัมต่อเซลล์ โดย *N. scintillans* มีค่าคลอโรฟิลล์ เอ อยู่ระหว่าง 3.42-9.37 นาโนกรัมต่อเซลล์

จากการศึกษาทั้งหมดสามารถนำมาประเมินบทบาทของ *N. scintillans* ต่อการใช้ชาตุอาหารในพื้นที่ป่าแม่น้ำท่าเจ็น ซึ่งพบว่าในฤดูแล้ง *N. scintillans* มีโอกาสการใช้ชาตุอาหารในรูปของไนโตรเจนและลายน้ำและออร์โธฟอสเฟต-ฟอสฟอรัสสูงที่สุดถึงร้อยละ 13.62 และ 21.30

#### ข้อเสนอแนะ

1. ออร์โธฟอสเฟต-ฟอสฟอรัส เป็นชาตุอาหารที่พบรูปเปลี่ยนแปลงและมีแนวโน้มการลดลงอย่างชัดเจนในพื้นที่ แสดงให้เห็นว่าออร์โธฟอสเฟต-ฟอสฟอรัสน่าจะเป็นปัจจัยที่เหมาะสมสำหรับการติดตามการเปลี่ยนแปลงของประชากร *N. scintillans* ในพื้นที่ (เนื่องจากเป็นชาตุอาหารที่สำคัญและมีบทบาทควบคุมการเกิดปรากฏการณ์น้ำทะเลขเปลี่ยนสีจาก *N. scintillans* ได้) ดังนั้นเราจึงควรให้ความสำคัญในการควบคุมปริมาณชาตุอาหารออร์โธฟอสเฟต-ฟอสฟอรัสที่ปรากฏในพื้นที่ป่าแม่น้ำอย่างต่อเนื่องต่อไป
2. การประเมินบทบาทของ *Noctiluca scintillans* ต่อการใช้ชาตุอาหารในพื้นที่ป่าแม่น้ำท่าเจ็นในอนาคต จะเป็นอย่างยิ่งที่จะต้องทราบหรือประเมินปริมาณชาตุอาหารที่เข้าสู่ป่าแม่น้ำท่าเจ็นจาก แหล่งอื่น ๆ ประกอบด้วย โดยเฉพาะอย่างยิ่งในพื้นที่บ่อกุ้งบริเวณชายฝั่ง ซึ่งในครั้งนี้พบว่าบริเวณโดยรอบดังกล่าวจะมีส่วนสำคัญในการเพิ่มปริมาณชาตุอาหารสู่พื้นที่ป่าแม่น้ำแห่งนี้นอกเหนือจากตัวลำนำท่าเจ็นสายหลักที่ไหลลง
3. ปริมาณชาตุอาหารของน้ำทะเลในตอนนอก ที่ไม่ได้รับอิทธิพลโดยตรงจากป่าแม่น้ำ จัดเป็นค่าอ้างอิง ณ ช่วงเวลาหนึ่งเท่านั้น ผู้วิจัยเห็นว่า ค่าอ้างอิงดังกล่าวอาจจะปรับเปลี่ยนตามความผันแปรในฤดูกาล ซึ่งจะส่งผลดีต่อการประเมินในช่วงเวลาจำเพาะต่าง ๆ ได้อย่างถูกต้องชัดเจนยิ่งขึ้น
4. การศึกษาในด้านความสมบูรณ์ของเซลล์ในแต่ละช่วงเวลาในรอบปีเป็นสิ่งที่น่าสนใจ

ในการศึกษาร่วมกับลักษณะโครงการสร้างทางนาดของเชลล์ ทั้งนี้ เพื่อสามารถประเมินศักยภาพที่แท้จริงของเชลล์ได้ ในอนาคตจึงน่าจะมีการศึกษาเพิ่มเติม ซึ่งจะทำให้การประเมินบทบาทของ *Noctiluca scintillans* ต่อการใช้ชาติอาหารในพื้นที่นี้ มีความถูกต้องและสมบูรณ์ยิ่งขึ้น



## เอกสารและสิ่งอ้างอิง

กรมควบคุมมลพิษ กระทรวงทรัพยากรธรรมชาติและสิ่งแวดล้อม และ จุฬาลงกรณ์มหาวิทยาลัย  
สถาบันวิจัยทรัพยากรทางน้ำ. 2546. “การตรวจเฝ้าระวังปรากฎการณ์น้ำทะเลเปลี่ยนสีใน  
ประเทศไทย”. กรมควบคุมมลพิษ, กรุงเทพฯ.

กรมควบคุมมลพิษ. 2547. รายงานสถานการณ์คุณภาพสิ่งแวดล้อมทางทะเล จังหวัดสมุทรสาคร.  
สำนักจัดการคุณภาพน้ำ. กรุงเทพฯ.

กรมควบคุมมลพิษ. 2549. มาตรฐานคุณภาพน้ำทะเล. กรมควบคุมมลพิษ กระทรวงทรัพยากร-  
ธรรมชาติและสิ่งแวดล้อม. กรุงเทพฯ.

กรมชลประทาน. 2546. ข้อมูล 25 ลุ่มน้ำ: ลุ่มน้ำท่าเจ็น, แหล่งที่มา: <http://kromchol.rid.go.th/lproject/2010/index.php/-25-/98-13->, 13 มีนาคม 2555.

กรมชลประทาน. 2555. กราฟข้อมูลน้ำท่ารายปี ลุ่มน้ำท่าเจ็น. แหล่งที่มา: <http://www.hydro-5.com/HD-04/4-05%20Y-RUN-GRAPH/T12A.JPG>, 13 มีนาคม 2555.

กรมชลประทาน. 2555. ตารางข้อมูลน้ำท่ารายเดือน ลุ่มน้ำภาคกลาง. แหล่งที่มา:  
<http://www.hydro-5.com/HD-04/4-03%20M-RUN-TAB/T12A.htm>, 13 มีนาคม 2555.

กรมชลประทาน. 2555. กราฟข้อมูลน้ำท่ารายปี ลุ่มน้ำท่าเจ็น. แหล่งที่มา: <http://www.hydro-5.com/HD-04/4-05%20Y-RUN-GRAPH/T12A.JPG>, 13 มีนาคม 2555.

กรมทรัพยากรทางทะเลและชายฝั่ง. 2549. สถานภาพและแนวทางการจัดการทรัพยากรทางทะเล  
และชายฝั่งอ่าวไทยตอนในฝั่งตะวันตก: รายงานวิจัยฉบับสมบูรณ์ โครงการ “สำรวจ และ<sup>†</sup>  
ประเมินสถานภาพและศักยภาพทรัพยากรทางทะเลและชายฝั่งในบริเวณลุ่มน้ำแม่กลอง-ท่า  
เจ็น”. สูนย์วิจัยทรัพยากรทางทะเลและชายฝั่งอ่าวไทยตอนบน และ จุฬาลงกรณ์  
มหาวิทยาลัย. กรุงเทพฯ.

กิตติพงษ์ ทวีอักษรพันธุ์. 2530. ชีววิทยาและสิ่งมีชีวิตภายในเซลล์ของแพลงก์ตอนฟีช สกุล *Noctiluca*. วิทยานิพนธ์ปริญญาโท, มหาวิทยาลัยเกษตรศาสตร์.

จารุมาศ เมฆสัมพันธ์. 2542. กำลังผลิตเบื้องต้นของแหล่งน้ำ. คณะประมง,  
มหาวิทยาลัยเกษตรศาสตร์. กรุงเทพฯ.

จารุมาศ เมฆสัมพันธ์ เซียร์ฟงษ์ เมฆสัมพันธ์ และแสงเทียน อัจฉิมาง្គ. 2552. โครงการวิจัย เรื่อง แผนงานวิจัยศักย์การผลิตและการอนุรักษ์ทรัพยากรทางน้ำ เพื่อพัฒนาเขตการใช้ประโยชน์ ในบริเวณคุ่นน้ำท่าจีน. สถาบันวิจัยและพัฒนาแห่งมหาวิทยาลัยเกษตรศาสตร์. กรุงเทพฯ

ชุติมันต์ ปรัชญา โภทัย. 2545. การพยากรณ์คุณภาพน้ำในแม่น้ำท่าจีนตอนล่างโดยใช้แบบจำลอง MIKE 11. วิทยานิพนธ์ปริญญาโท, มหาวิทยาลัยพระจอมเกล้าธนบุรี.

ธิติมา วัฒนจัง วิทยา โภคิน กนกพร ล่องจำไฟ และวิษณุ นิยม ไทย. 2552. คุณภาพน้ำทะเลบริเวณปากแม่น้ำท่าจีน จังหวัดสมุทรสาคร, น. 318-326 ใน รายงานการประชุมวิชาการ วิทยาศาสตร์ทางทะเล ครั้งที่ 1. กรมทรัพยากรทางทะเลและชายฝั่ง กระทรวง ทรัพยากรธรรมชาติและสิ่งแวดล้อม, กรุงเทพฯ.

ไทยถาวร เลิศวิทยาประสีฐชี, เซียร์ฟงษ์ เมฆสัมพันธ์, สมกพ รุ่งสุภา และ Ken Furuya. 2548. นิเวศวิทยาของ *Noctiluca* บริเวณปากแม่น้ำบางปะกง-อ่างศิลา จังหวัดชลบุรี. สำนักงานคณะกรรมการวิจัยแห่งชาติ. กรุงเทพฯ.

ธีรพงษ์ สุรตระกูล. 2540. ผลของการเพิ่มความเค็ม ความเป็นกรด-เบส และความเข้มข้นของไนเตรตกับฟอสฟอรัสที่มีต่อการเจริญของ *Noctiluca scintillans*. วิทยานิพนธ์ปริญญาโท จุฬาลงกรณ์มหาวิทยาลัย.

ประเทือง เชาวน์กุล. 2534. คุณภาพน้ำทางการประมง. แผนกประมง คณะวิชาสัตวศาสตร์, สถาบันเทคโนโลยีราชมงคล วิทยาเขตลำปาง.

ปัญจานีย์ พราพงษ์ และกัลยา วัฒยากร. 2532. การแพร่กระจายของชาตุอาหารบริเวณแม่น้ำท่าเจ็น ตอนล่าง, น. 627-637 ใน รายงานการประชุมทางวิชาการของมหาวิทยาลัยเกษตรศาสตร์ ครั้งที่ 28. มหาวิทยาลัยเกษตรศาสตร์, กรุงเทพฯ.

กัตราสุช ไทยพิชิตบูรพา, จาธุมาศ เมฆสัมพันธ์ และเชษฐ์พงษ์ เมฆสัมพันธ์. 2551. การวิเคราะห์ สถานการณ์ปัญหาคุณภาพสิ่งแวดล้อมทางน้ำเพื่อการอนุรักษ์และฟื้นฟูทรัพยากรอยalty : กรณีศึกษาบริเวณปากแม่น้ำท่าเจ็น. ใน การประชุมวิชาการทางการประมง ครั้งที่ 2 วันที่ 8-9 ธันวาคม 2551. คณะเทคโนโลยีการประมงและทรัพยากรทางน้ำ มหาวิทยาลัยแม่โจ้.

ภาคภูมิ ประประเสริฐ. 2550. สรีริวิทยาของพีช. โอดี้นส์โตร์. กรุงเทพฯ

ไนตรี ดวงสวัสดิ์ และจารุวรรณ สมศรี. 2528. คุณสมบัติของน้ำและวิธีวิเคราะห์สำหรับการวิจัย ทางการประมง. กระทรวงเกษตรและสหกรณ์การเกษตร. กรุงเทพฯ.

ลัตดาว วงศ์ตัน. 2530. แพลงก์ตอน. คณะประมง, มหาวิทยาลัยเกษตรศาสตร์. กรุงเทพฯ.

วรินชา วงศ์เมฆินทร์ อมรรัตน์ กลัดกลีบ พัสร์ ต่อวิญญา และวิทยา โภยาผล. 2552. ปรากฏการณ์ น้ำเปลี่ยนสีบริเวณปากแม่น้ำท่าเจ็น จังหวัดสมุทรสาคร, น. 45-54 ใน รายงานการประชุม วิชาการวิทยาศาสตร์ทางทะเล ครั้งที่ 1. กรมทรัพยากรทางทะเลและชายฝั่ง กระทรวง ทรัพยากรธรรมชาติและสิ่งแวดล้อม, กรุงเทพฯ.

วิบูลย์ รักเสรี. 2541. การเติบโตของ *Noctiluca scintillans* และผลของความหนาแน่นเซลล์ต่ออัตรา การตายของกุ้งกุลาคำวัยอ่อนและปลากระพงขาววัยรุ่น. วิทยานิพนธ์ปริญญาโท จุฬาลงกรณ์มหาวิทยาลัย.

สมถวิล จริตควร. 2540. ชีววิทยาทางทะเล. ภาควิชาาริชศาสตร์ คณะวิทยาศาสตร์, มหาวิทยาลัยบูรพา.

สาขาวิชาน้ำ เกษตรศาสตร์ มหาวิทยาลัยศิลปากร จังหวัดชลบุรี บริเวณอ่าวคริรากษา จังหวัดชลบุรี วิทยานพนธ์ ปริญญาโท มหาวิทยาลัยศิลปากร.

สำนักข้อมูลน้ำ กรมควบคุมมลพิษ. 2554. รายงานคุณภาพน้ำทะเลไทยปี 2548 – 2554.  
แหล่งที่มา: <http://wqm.pcd.go.th/water/index.php/2010-12-24-09-20-40/101--2548-2552/305--2552>, 13 มีนาคม 2555

สุวัจน์ ชัยรัตน์. 2550. วิทยาศาสตร์ทางทะเลเมืองตัน, สำนักพิมพ์โอดีเยนส์ โตร์. กรุงเทพฯ

สำนักงานสิ่งแวดล้อมภาคที่ 5 จังหวัดนครปฐม กระทรวงทรัพยากรธรรมชาติและสิ่งแวดล้อม.  
2552. รายงานการติดตามตรวจสอบคุณภาพน้ำแม่น้ำท่าจีนและคลองสาขา. นครปฐม.

อัจฉรากรณ์ เปิ่มสมบูรณ์. 2552. การเปลี่ยนแปลงของปะการังและความชุกชุมของแพลงก์ตอนพืช  
ที่อาจก่อให้เกิดอันตรายบริเวณชายฝั่งจังหวัดสมุทรสาคร-สมุทรสงคราม. ศูนย์วิจัย  
ทรัพยากรทางทะเลและชายฝั่งอ่าวไทยตอนบน. กรุงเทพฯ

Alfred Wegener Institute for Polar and Marine Research. 2003. The UK Harmful Plankton Project. Plankton net. Available Source: [http://planktonnet.awi.de/sci\\_images\\_detail.php?itemid=14955](http://planktonnet.awi.de/sci_images_detail.php?itemid=14955), February 25, 2010.

Buranapratheprat, A., T. Yanagi, D. Ishii and P. Intacharoen. 2010. Vertical diffusivity and water qualities in the upper Gulf of Thailand in March 2009. **Coast. Mar. Sci.** 34(1): 61–67.

Buskey, E. J. 1995. Growth and bioluminescence of *Noctiluca scintillans* on varying algal diets.  
**J. Plankton Res.** 17: 29-40.

Chen, H. and S. Qi. 1991. The feeding and vegetative reproduction diurnal rhythms of *Noctiluca scintillans*. **J Jinan Univ China** 12:104–107.

Chuenniyom, W., C. Meksumpun and S. Meksumpun. 2012. Impacts of nutrients and related environmental factors on distribution and size structure of *Noctiluca scintillans* populations of the Eutrophic Tha Chin Estuary, Thailand. **Water Sci. Technol.** 65(11): 1994-2002

Dela-Cruz, J., J. H. Middleton and I. M. Suthers. 2003. Population growth and transport of the red tide dinoflagellate, *Noctiluca scintillans*, in the coastal water off Sydney Australia, using cell diameter as a tracer. **Limnol. Oceanogr.** 48(2): 656-674.

Elbrächter, M. and Z. Qi. 1998. Aspects of *Noctiluca* (Dinophyceae) population dynamics, **Physiological ecology of harmful algal blooms (D M Anderson, A D Cembella, G M Hallegraeff, eds)** Springer, Berlin, Heidelberg, 315-335.

Eashwar, M., T. Nallathambi, K. Kuberaraj and G. Govindarajan. 2001. *Noctiluca* blooms in Port Blair Bay, Andamans. **Curr. Sci.** 81(2): 203-205.

Enomoto, Y. 1956. On the occurrence and the food of *Noctiluca scintillans* (Macartney) in waters adjacent to the west coast of Kyushu, with special reference to the possibility of the damage caused to the fish eggs by that plankton. **Bull. Jpn. Soc. Sci. Fish.** 22: 82-88.

Escalera L., Y. Pazos, A. Moroño and B. Reguera. 2007. *Noctiluca scintillans* may act as a vector of toxic microalgae, **Harmful Algae** 6 (3), 317-320.

Fogg, G.E. 1980. Phytoplanktonic Primary Production, pp. 24-285. In R.S.K. Barnes and K.H. Mann, eds. **Fundamentals of Aquatic Ecosystem**. Blankwell Scientific Publication, London.

Fukuda, Y. and H. Endoh. 2006. New details from the complete life cycle of the red tide dinoflagellate *Noctiluca scintillans* (Ehrenberg) McCartney. **Eur. J. of Protistology**. 42: 209-219.

- Furuya, K. and T. Lirdwitayaprasit. 2000. Pigment composition of *Pedinomonas noctilucae* (Pedinophyceae), an endosymbiont of green *Noctiluca* (Dinophyceae). **La mer** 38: 95-97
- Furuya, K., H. Saito, R. Sriwoon, T. Omura, E. F. Furio, V. M. Borja and T. Lirdwitayaprasit. 2006. Vegetative growth of *Noctiluca scintillans* with green flagellate endosymbiont *Pedinomonas noctilucae*. **Af. J. Mar. Sci.** 28: 305-308.
- Hansen, P. J., Miranda, L., and Azanza, R. 2004. Green *Noctiluca scintillans*: a dinoflagellate with its own greenhouse. **Mar. Ecol. Prog. Ser.** 275: 79-87.
- Hanslik, M. 1987. **Nahrungsau fnahme und Nahrungsverwertung beim Meeresleuchttierchen *Noctiluca miliaris* (Dinoflagellata)**. Ph.D. Thesis, University of Bonn.
- Harrison, P. J., K. Furuya, P. M. Glibert, J. Xu, H. B. Liu, K. Yin, J. H. W. Lee, D. M. Anderson, R. Gowen, A. R. Al-azri, A. Y. T. Ho. 2011. Geographical distribution of red and green *Noctiluca scintillans*. **Chin. J. Oceanol. Limnol.** 29(4): 807-831
- Huang, C. and Qi, Y. 1997. The abundance cycle and influence factors on red tide phenomena of *Noctiluca scintillans* (Dinophyceae) in Dapeng Bay, the South China Sea. **J. Plankton Res.** 19: 303-318.
- Jakobsen, H.H. and K.W. Tang. 2002. Effects of protozoan grazing on colony formation in *Phaeocystis globosa* (Prymnesiophyceae) and the potential costs and benefits. **Aquat. Microb. Ecol.** 27, 261–273
- Joint, I., A. Rees and M. Woodward. 2001. Primary production and nutrient assimilation in the Iberian Upwelling in August 1998. **Prog. Oceanogr.** 51: 221–248.

Kirchner, M., G. Sahling, C. Schutt, H. Dopke and G. Uhling. 1999. Intracellular bacteria in the red tide-forming heterotrophic dinoflagellate *Noctiluca scintillans*. **Arch. Hydrobiol. Spec. Issues Advanc. Limnol.** 54: 297-310.

Kofoid, C.A. and O. Swezy. 1921. **The free-living unarmored Dinoflagellata**. Vol. 5 pp. i-viii, 1-562.

Lee, R. E. 1980. **Phycology**. Cambridge University Press. Cambridge.

Lee, J.K. and K. Hirayama. 1992. Effects of salinity, food level and temperature on the population growth of *Noctiluca scintillans* (Macartney). **Bull. Fac. Fish. Nagasaki Univ.** 71: 163-168

Miyaguchi, H., T. Fujiki, T. Kikuchi, V. S. Kuwahara and T. Toda. 2006. Relationship between the bloom of *Noctiluca scintillans* and environmental factors in the coastal waters of Sagami Bay, Japan. **J. Plankton Res.** 28(3): 313–324.

Meksumpun, C. and S. Meksumpun. 2008. Integration of Aquatic Ecology and Biological Oceanographic Knowledge for Development of Area based Eutrophication Assessment Criteria Leading to Water Resource Remediation and Utilization Management: A Case Study in Tha Chin, the Most Eutrophic River of Thailand. **Water Sci. Technol.** 58(12): 2303-2311.

Menden-Deuer, S. and E. J. Lessard. 2000. Carbon to volume relationships for dinoflagellates, diatoms, and other protist plankton. **Limnol. Oceanogr.** 45: 569–579.

Merchant, S. and M. R. Sawaya. 2005. The Light Reactions: A Guide to Recent Acquisitions for the Picture Gallery. **The Plant Cell** 17: 648–663.

- Montani, S., S. Pithakpol and K. Tada. 1998. Nutrient regeneration in coastal seas by *Noctiluca scintillans*, a red tide-causing dinoflagellate. **J. Mar. Biotechnol.** 6: 224-228.
- Murray, S. and I. M. Suthers. 1999. Population ecology of *Noctiluca scintillans* macartney, a red-tide-forming dinoflagellate. **Mar. Freshw. Res.** 50: 243-252.
- Nakamura, Y. 1998a. Growth and grazing of a large heterotrophic dinoflagellate, *Noctiluca scintillans* in laboratory cultures. **J. Plankton Res.** 20: 1711-1720.
- Nakamura, Y. 1998b. Biomass, feeding and production of *Noctiluca scintillans* in the Seto Inland Sea, Japan. **J. Plankton Res.** 20: 2213-2222.
- Okaichi, T. and S. Nishio. 1976. Identification of ammonium as the toxic principle of red tide of *Noctiluca miliaris*. **Bull. Plankton Soc. Japan** 23: 75-80.
- Okaichi, T., T. Ochi, K. Tada, T. Urai, S. Wissesang, T. Ishimaru, and Y. Fukuyo. 1991. Isolation and culture of *Pedinomonas noctilucae*, a symbiotic of *Noctiluca scintillans* of Gulf of Thailand. **Proceeding Second Westpac Symposium Penang, Malaysia**, 166-176.
- Prasad, R. R. 1958. A note on the occurrence and feeding habits of *Noctiluca* and their effects on the plankton community and fisheries. **Proc. Indian Acad. Sci Sect. B**, 47: 331-337
- Pithakpol, S., K. Tada, and S. Montani. 2000. Ammonium and phosphate pools of *Noctiluca scintillans* and their supplies to the water column in Harima Nada, the Seto Inland Sea, Japan. **La mer** 37: 153-162.
- Qi, S. and D. Li. 1994. Unequal cell division of *Noctiluca scintillans*. **Oceanogr. Limnol. Sin.** 25: 158-161.

- Ritnim, N. and C. Meksumpun. 2011. Influence of environmental factors on abundance and temporal variation of benthic fauna resources in the eutrophic Tha Chin estuary, Samut Sakhon province, Thailand. **Water Sci. Technol.** 64(6): 1261–1269.
- Saito, H., K. Furuya, and T. Lirdwitayaprasit. 2006. Photoautotrophic growth of *Noctiluca scintillans* with the endosymbiont *Pedinomonas noctilucae*. **Plankton Bentho Res.** 1(2): 97-101.
- Schaumann, K., D. Gerdes and K.J. Hesse. 1988. Hydrographic and biological characteristics of a *Noctiluca scintillans* red tide in the German Bight North Sea, 1984. **Meeresforschung** 32: 77-91.
- Smayda, T. J. 1983. The Phytoplankton of the Estuaries, pp. 65 – 102. In B.H. Ketchum (ed.).
- Sriwoon, R. 2006. **Biology, Physiology and Ecology of a Causative Red Tide Organism, *Noctiluca scintillans* (Macartney) Ehrenberg, in the Upper Gulf of Thailand.** Ph. D. Thesis. Chulalongkorn University.
- Sriwoon R, P. Pholpunthin, S. Tongnunui, T. Lirdwitayaprasit, M. Kishino and K. Furuya .2008. Population dynamics of green *Noctiluca scintillans* (Dinophyceae) associated with the monsoon cycle in the Upper Gulf of Thailand. **J. Phycol.** Vol. 44:605-615.
- Sweeney, B. M. 1971. Laboratory studies of a green *Noctiluca* from New Guinea. **J. Phycol.** 7: 53-58.
- Sweeney, B.M. 1976. *Pedinomonas noctilucae* (Prasinophyceae), the flagellates symbiotic in *Noctiluca* (Dinophyceae) in Southeast Asia. **Indian Journal of Phycology** 6: 79-86.
- Tada, K., S. Pithakpol, R. Yano and S. Montani, 2000. Carbon and nitrogen content of *Noctiluca scintillans* in the Seto Inland Sea, Japan. **J. Plankton Res** 22(6):1203-1211.

Tada, K., S. Pithakpol and S. Montani. 2004. Seasonal variation in the abundance of *Noctiluca scintillans* in the Seto inland sea, Japan. **Plankton Biol. Ecol** 51(1): 7-14.

Thaipichitburapa, P., C. Meksumpun and S. Meksumpun. 2010. Province-based self-remediation efficiency of the Tha Chin river basin, Thailand. **Water Sci. Technol.** 62 (3), 594–602.

Tiselius, P. and T. Kiorboe. 1998. Colonization of diatom aggregates by the dinoflagellate *Noctiluca scintillans*. **Limnol. Oceanogr.** 43 (1): 154-159.

Thong-ra-ar, W., K. Pinkaew, Musika, R. Sangkasila, and W. Lohsiri. 1995. Coastal water quality in Chonburi Province (Sriracha-Muangmai) and red tide phenomena in 1992-1993. **Research Paper 64/1994**. Institute of Marine Scinence, Burapa University.

Torres-Valdés, S. and D.A. Purdie. 2006. Nitrogen removal by phytoplankton uptake through a temperate non-turbid estuary. **Estuar. Coast. Shelf Sci.** 70 (3), 473–486.

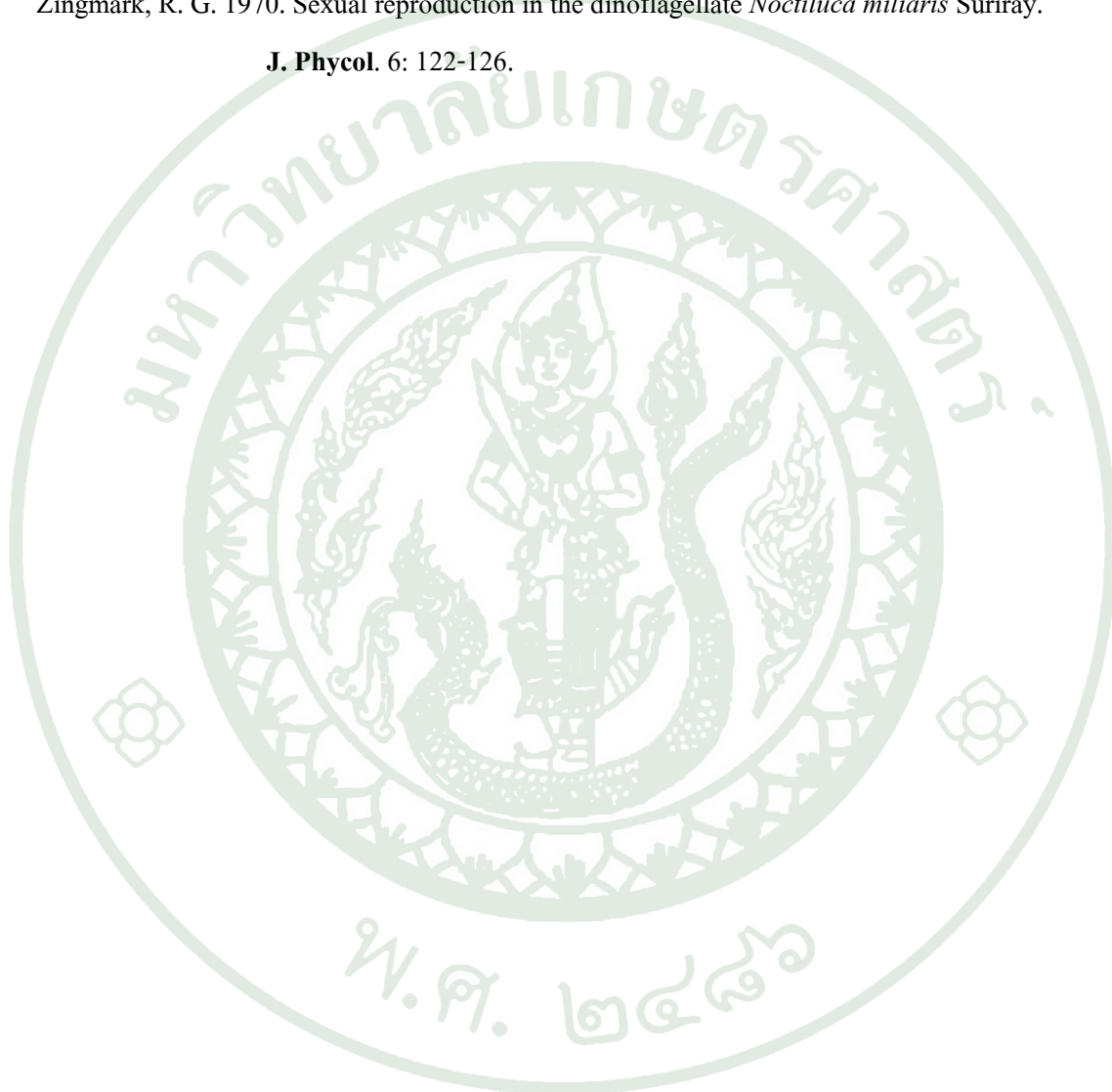
Uhlig, G. and G. Sahling. 1990. Long-Term studies on *Noctiluca scintillans* in the German Bight, population dynamics and red tide phenomena 1968-1988. **Neth. J. Sea Res.** 25(1/2): 101-112.

Uhlig, G. and G. Sahling. 1995. *Noctiluca scintillans*: zeitliche Verteilung bei Helgoland und räumliche Verbreitung in der Deutschen Bucht (Langzeitreihen 1970 - 1993). **Ber. Biol. Anst. Helgoland** 9: 1-127.

Umani, S. F., A. Beran, S. Parlato, D. Virgilio, T. Zollet, A. De Olazabal, B. Lazzarini and M. Carrini. 2004. *Noctiluca scintillans* Macarney in the Northern Adriatic Sea: long-term dynamics, relationships with temperature and eutrophication, and role in the food web. **J. Plankton Res.** 26(5): 545-561.

ZHOU, C. and Y. WU. 1999. The trigger and regulation mechanism of dinoflagellate red tide and its toxin and metabolism pathway of nitrogen in *Noctiluca scintillans*. **Chinese J. Oceano. Limnol.** 4:454-459.

Zingmark, R. G. 1970. Sexual reproduction in the dinoflagellate *Noctiluca miliaris* Suriray. **J. Phycol.** 6: 122-126.





## การวิเคราะห์ตัวอย่าง

### การวิเคราะห์หาค่าคลอโรฟิลล์ *أو*

1. นำตัวอย่างที่เก็บไว้ในถุงเก็บน้ำขนาด 1,000 มิลลิลิตร มากรองผ่านอุปกรณ์ชุดเครื่องแก้วกรองนำเสนอที่มีกระดาษกรอง GF/F บรรจุอยู่ ทำการกรองน้ำจนกระหั่งมีสีเกิดขึ้นบนกระดาษกรอง และนำรีบผ่านกระดาษกรองได้ไม่ดี บันทึกปริมาณน้ำที่ผ่านการกรอง
2. ใช้ Millipore forceps คีบกระดาษกรองออกจากแท่นกรอง และพับครึ่งเก็บไว้ในหลอดขนาด 10 มิลลิลิตร ที่มี Acetone 90 เปอร์เซ็นต์ บรรจุอยู่ปริมาตร 5 มิลลิลิตร เขย่าให้ทั่ว ห่อหลอดเก็บน้ำตัวอย่างด้วย Aluminium foil ให้มิดชิด (ควรเก็บไว้ในที่เย็นอย่างน้อย 24 ชั่วโมง)
3. นำหลอดเก็บตัวอย่างนำมาผ่านเครื่อง Sonicator เป็นเวลา 10 นาที เพื่อให้เซลล์ของแพลงก์ตอนพีซแตกอย่างสมบูรณ์ นำไปทำให้ตกละกอนด้วยเครื่องเหวี่ยงหนีศูนย์กลาง (Centrifuge) ที่ความเร็ว 3,000 รอบ/นาที เป็นเวลา 10 นาที
4. นำไปวิเคราะห์หาค่าคลอโรฟิลล์ *أو* โดยใช้เครื่อง Spectrophotometer
5. ดูดน้ำที่อยู่ส่วนบนออก ใส่ลงในเซลล์ (Cuvette) ขนาดความกว้าง 1 เซนติเมตร ปริมาตร 3 มิลลิลิตร ทำการวัดค่า Extinction ที่ความยาวคลื่น 665 นาโนเมตร และ 750 นาโนเมตร ทันที
6. เติมกรด HCl 1.2 N ลงไป 0.1 มิลลิลิตร เขย่าเบา ๆ และทำการวัดค่า extinction ที่ความยาวคลื่น 665 นาโนเมตร และ 750 นาโนเมตร อีกครึ่ง และนำค่าที่ได้ไปคำนวณตามสมการ

$$\text{Chlorophyll a} (\mu\text{g/l}) = \frac{26.7 \left[ (665_{\text{o}} - 750_{\text{o}}) - (665_{\text{a}} - 750_{\text{a}}) \right] \times v}{(V/100) \times l}$$

โดยที่	
$665_{\text{o}}$	= ค่า Extinction ที่ 665 นาโนเมตร ก่อนเติมกรด
$665_{\text{a}}$	= ค่า Extinction ที่ 665 นาโนเมตร หลังเติมกรด
$750_{\text{o}}$	= ค่า Extinction ที่ 750 นาโนเมตร ก่อนเติมกรด
$750_{\text{a}}$	= ค่า Extinction ที่ 750 นาโนเมตร หลังเติมกรด
v	= Volume of acetone extract (มิลลิลิตร)
V	= Volume of water filtered (ลิตร)
l	= Path length of the cuvette cell (เซนติเมตร)

ตารางผนวกที่ 1 ผลการวิเคราะห์ความสัมพันธ์ระหว่างปัจจัยลิستแวดล้อม และ ความหนาแน่นของเซลล์ *Noctiluca scintillans* ในพื้นที่ปากแม่น้ำท่าจีนที่ศึกษา ในช่วงเดือนพฤษภาคม 2552-2553 (TEMP: temperature, COND: conductivity, SAL: salinity, DO: dissolved oxygen, PH: pH, CELLS: cell density of *Noctiluca scintillans*, CHL: chlorophyll a, SI: silicate-silicon, P: orthophosphate phosphorous, DIN: dissolved inorganic nitrogen)

		TEMP	COND	SAL	DO	PH	CELLS	CHL	SI	P	DIN
TEMP	Pearson Correlation	1	0.03	0.23**	0.16*	0.72**	0.36**	0.31**	0.01	0.07	-0.15
	Sig. (2-tailed)	.	0.66	0.00	0.03	0.00	0.00	0.00	0.94	0.49	0.12
	N	200	174	187	200	200	114	110	111	111	111
COND	Pearson Correlation	0.03	1	0.78**	-0.02	-0.07	-0.29**	-0.23*	-0.35**	-0.56**	-0.50**
	Sig. (2-tailed)	0.66	.	0.00	0.75	0.35	0.01	0.02	0.00	0.00	0.00
	N	174	175	175	174	174	93	101	101	101	101
SAL	Pearson Correlation	0.23**	0.78**	1	0.28**	0.16*	0.05	-0.10	-0.59**	-0.68**	-0.68**
	Sig. (2-tailed)	0.00	0.00	.	0.00	0.03	0.61	0.31	0.00	0.00	0.00
	N	187	175	190	187	187	104	113	113	113	113
DO	Pearson Correlation	0.16*	-0.02	0.28**	1	0.18**	0.23**	0.23**	-0.24**	-0.41**	-0.46**
	Sig. (2-tailed)	0.03	0.75	0.00	.	0.01	0.01	0.01	0.01	0.00	0.00
	N	200	174	187	201	200	114	110	111	111	111
PH	Pearson Correlation	0.72**	-0.07	0.16*	0.18**	1	0.47**	0.06	-0.08	0.11	-0.16
	Sig. (2-tailed)	0.00	0.35	0.03	0.01	.	0.00	0.55	0.40	0.24	0.10
	N	200	174	187	200	200	114	110	111	111	111

ตารางผนวกที่ 1 (ต่อ)

		TEMP	COND	SAL	DO	PH	CELLS	CHL	SI	P	DIN
CELLS	Pearson Correlation	0.36**	-0.29**	0.05	0.23**	0.47**	1	0.54**	0.05	-0.23*	-0.28**
	Sig. (2-tailed)	0.00	0.01	0.61	0.01	0.00	.	0.00	0.63	0.03	0.01
	N	114	93	104	114	114	118	90	88	88	88
CHL	Pearson Correlation	0.31**	-0.23*	-0.10	0.23**	0.06	0.54**	1	0.09	0.08	0.06
	Sig. (2-tailed)	0.00	0.02	0.31	0.01	0.55	0.00	.	0.37	0.42	0.55
	N	110	101	113	110	110	90	117	113	113	113
SI	Pearson Correlation	0.01	-0.35**	-0.59**	-0.24**	-0.08	0.05	0.09	1	0.49**	0.47**
	Sig. (2-tailed)	0.94	0.00	0.00	0.01	0.40	0.63	0.37	.	0.00	0.00
	N	111	101	113	111	111	88	113	119	119	119
P	Pearson Correlation	0.07	-0.56**	-0.68**	-0.41**	0.11	-0.23*	0.08	0.49**	1	0.81**
	Sig. (2-tailed)	0.49	0.00	0.00	0.00	0.24	0.03	0.42	0.00	.	0.00
	N	111	101	113	111	111	88	113	119	119	119
DIN	Pearson Correlation	-0.15	-0.50**	-0.68**	-0.46**	-0.16	-0.28**	0.06	0.47**	0.81**	1
	Sig. (2-tailed)	0.12	0.00	0.00	0.00	0.10	0.01	0.55	0.00	0.00	.
	N	111	101	113	111	111	88	113	119	119	119

- หมายเหตุ \* มีความสัมพันธ์อ่อนโยนกับสำนักงานคุณภาพสากลที่ระดับความเชื่อมั่นร้อยละ 95  
\*\* มีความสัมพันธ์อ่อนโยนกับสำนักงานคุณภาพสากลที่ระดับความเชื่อมั่นร้อยละ 99



## ประวัติการศึกษา และการทำงาน

ชื่อ – นามสกุล	นางสาววรรณศิริ ชื่นนิยม
วัน เดือน ปี ที่เกิด	18 เมษายน 2530
สถานที่เกิด	อ่างทอง
ประวัติการศึกษา	ระดับปริญญาตรี วิทยาศาสตร์บัณฑิต (ประมง) คณะประมง มหาวิทยาลัยเกษตรศาสตร์ ปีการศึกษา 2552
ตำแหน่งหน้าที่การทำงานปัจจุบัน	ผู้ช่วยนักวิจัย
สถานที่ทำงานปัจจุบัน	ห้องปฏิบัติการวิจัยคิดตะกอนและสิ่งแวดล้อมทางน้ำ ภาควิชาชีววิทยาประมง คณะประมง มหาวิทยาลัยเกษตรศาสตร์
ผลงานคีเด่นและรางวัลทางวิชาการ	-
ทุนการศึกษาที่ได้รับ	ทุนสนับสนุนการตีพิมพ์ผลงานวิทยานิพนธ์ใน วารสารวิชาการระดับนานาชาติ บัณฑิตวิทยาลัย มหาวิทยาลัยเกษตรศาสตร์ ประจำปีงบประมาณ 2552